
Počítačová grafika I

PGR 003

**© 1995-2001 Josef Pelikán
KSVI MFF UK Praha**

e-mail: Josef.Pelikan@mff.cuni.cz
WWW: <http://cgg.ms.mff.cuni.cz/~pepca/>

Obsah a forma

◆ základy 2D i 3D grafiky

- v letním semestru na ni navazuje Počítačová grafika II (PGR004) a Pokročilá 2D počítačová grafika (PGR007)

◆ 2/1 Z, Zk

- přednáška jednou týdně
- každý druhý týden cvičení v laboratoři
- zkouška se dá skládat společně s PGR004 a/nebo PGR007 v létě (ale zapisují se **zvlášt'**)

Stručný plán přednášky:

① grafický HW, 2D kreslicí algoritmy (~3)

- kreslení úseček, kružnic, vyplňování n-úhelníka, záplavové vyplňování, ořezávání, vyhlazování

② barvy a jejich zobrazování (~4)

- půltónování a rozptylování, barevné vidění, barevné prostory (RGB, CMYK, HSV), zobrazování barev, speciální palety

③ kódování rastrových obrázků (~1)

- kódování obrazu, grafické formáty (TGA, GIF, ..)

Stručný plán přednášky:

④ matematika pro 3D grafiku (~2)

- lineární transformace, homogenní souřadnice, projekce a jejich implementace

⑤ reprezentace 3D scén (~2)

- výčtové, objemové a povrchové reprezentace

⑥ výpočet viditelnosti (2-3)

- plovoucí horizont, Appelův algoritmus, malířův algoritmus, Z-buffer, řádkový rozklad, Warnockův algoritmus, BSP strom

Literatura (CZ):

- Jiří Žára, Bedřich Beneš, Petr Felkel:
Moderní počítačová grafika, Computer Press,
Brno, 1998, ISBN: 80-7226-049-9
- Jiří Sochor, Jiří Žára: *Algoritmy počítačové
grafiky*, skriptum ČVUT FEL, Praha, 1992
- Jiří Žára a kol.: *Počítačová grafika*, principy
a algoritmy, GRADA, Praha, 1992

Literatura (US):

- J. Foley, A. van Dam, S. Feiner, J. Hughes:
Computer Graphics, Principles and Practice,
2nd edition, Addison-Wesley, Reading, 1990
- D. F. Rogers: *Procedural elements for
Computer Graphics*, McGraw-Hill, New
York, 1985
- W. Newmann, R. F. Sproull: *Principles of
Interactive Computer Graphics*, 2nd edition,
McGraw-Hill, New York, 1979

Předpoklady:

- **Základní kurs programování (jazyk Pascal)**
 - Programování I, Programování II
- **Základy programování v jazyku Java**
 - výuková knihovna JaGrLib
- **Základní kurs matematické analýzy a lineární algebry**

Další grafické přednášky (zima):

- ◆ **Digitální zpracování obrazu:** 3/0, PGR002 (Jan Flusser, ÚTIA AV ČR)
- ◆ **Počítačové vidění a inteligentní robotika:** 2/1, PGR001 (Václav Hlaváč, FEL ČVUT)
- ◆ **Virtuální realita:** 2/1, PGR012 (Jiří Žára, FEL ČVUT)
- ◆ **Křivky a plochy v počítačové grafice:** 2/0, PGR009 (Zdeněk Töpfer, Auto Škoda M.B., nekoná se každý rok)
- ◆ **Úvod do mobilní robotiky:** 2/0, AIL028 (Martin Dlouhý, Zbyněk Winkler, Haptica Ireland, MFF)

Jiné zdroje informací:

- aktuální informace na WWW:
 - **<http://cgg.ms.mff.cuni.cz/>**
 - **<http://cgg.ms.mff.cuni.cz/~pepca/>**
- LAN na MFF:
 - **barbora\usr:\vyuka\pelikan**
- knihovna JaGrLib:
 - **<http://cgg.ms.mff.cuni.cz/JaGrLib/>**

Grafický hardware

**© 1995-2001 Josef Pelikán
KSVI MFF UK Praha**

e-mail: Josef.Pelikan@mff.cuni.cz
WWW: <http://cgg.ms.mff.cuni.cz/~pepca/>

Grafický výstup

- ◆ podle trvalosti zobrazení:
 - zobrazovací zařízení (displej, graf. projektor)
 - tiskové zařízení (tiskárna, plotter, osvitová jedn.)
- ◆ podle barevných schopností:
 - černo-bílé zobrazení (*2 barvy*)
 - monochromatické zobrazení (odstíny šedi: 256)
 - barevná paleta (pevná nebo nahrávaná: *16-1024*)
 - plná barevnost (“true-color” - maximální barevné využití zobrazovací technologie: *16.7mil. i více*)

Rastrový / vektorový přístup

◆ rastrový výstup:

- jsou přímo ovládány (adresovány) jednotlivé pixely
- data jsou závislá na rozlišení (a nelze je jednoduše škálovat)

◆ vektorový výstup:

- zobrazují se přímo složitější objekty (čáry, křivky, písmo)
- data nejsou závislá na rozlišení (lze je škálovat až v zobrazovacím zařízení)

Grafický výstup

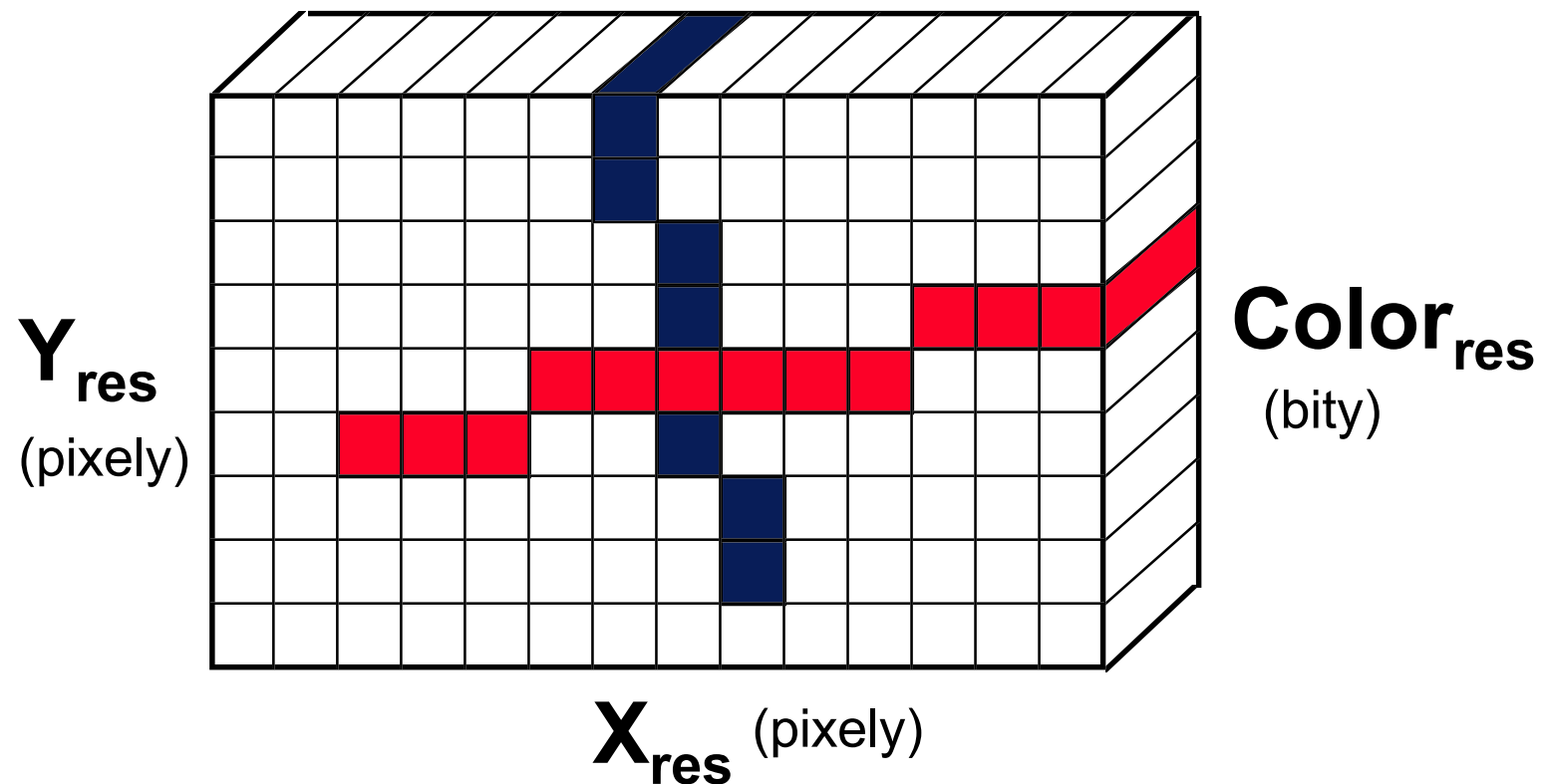
- ◆ podle **technologie výstupu:**

- vektorový výstup (staré displeje, plotter, některé osvitové jednotky)
- rastrový výstup (displeje, tiskárny, plottery)

- ◆ podle **komunikace:**

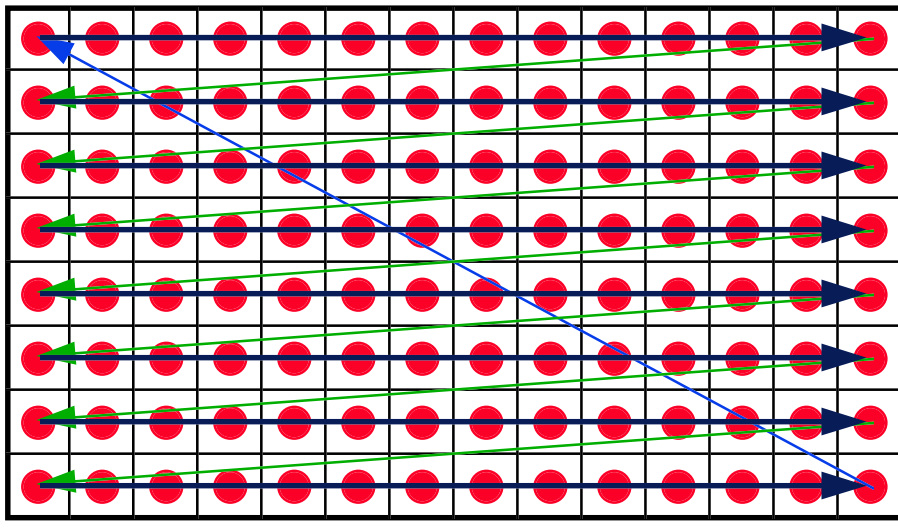
- vektorové zařízení (urychlované video-adaptéry, plottery, PostScript[®])
- rastrové zařízení (běžné video-adaptéry, tiskárny v grafickém režimu)

Rastrový displej



Např: **640×480×8** bitů, **1600×1200×24** bitů

Řádkový rozklad



1024×768 (72 Hz)

neprokládaný režim
("non-interlaced" - NI)

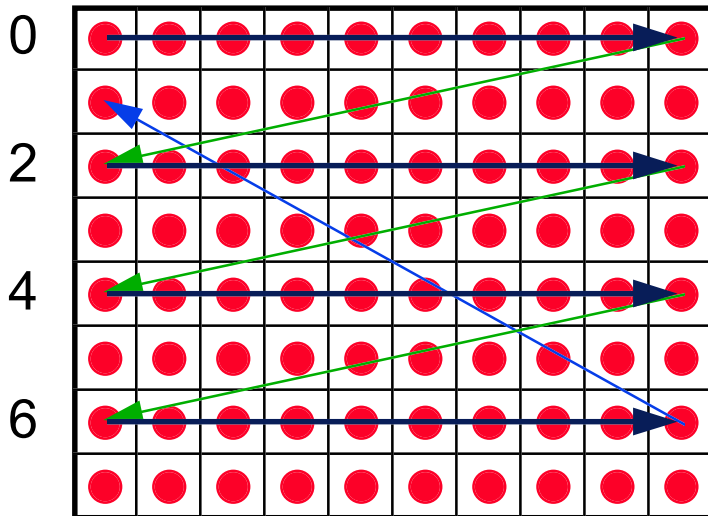
72Hz - 69kHz - 85MHz (12ns/pix)

→ **přímý chod**
(modulace - zobrazování)

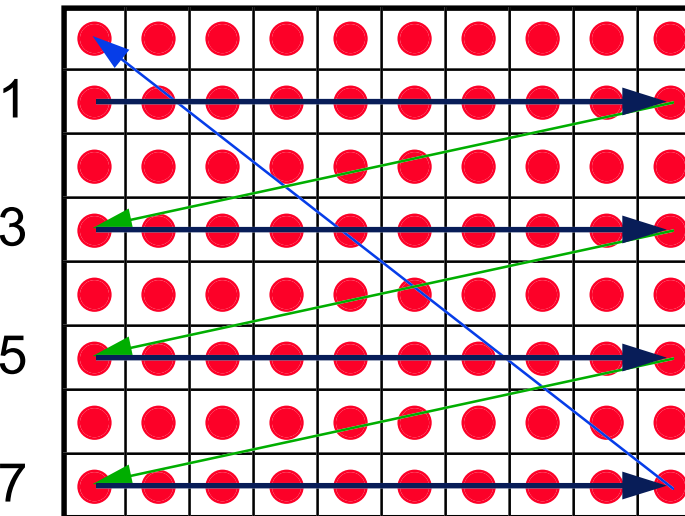
← **návratový paprsek**
(horizontální zatemnění)

↑ **návratový paprsek**
(vertikální zatemnění)

Prokládání



I. sudé pole



II. liché pole

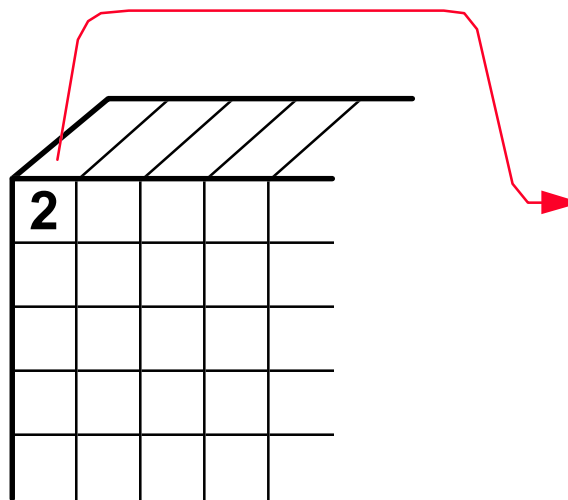
prokládaný režim

(“interlaced” - I)

72Hz - 35kHz - 42MHz (24ns/pix)

Barevná paleta

Video-RAM



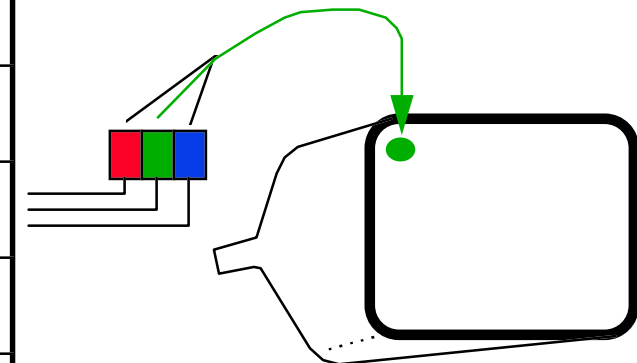
Paleta

0	0	0
1	0	128
2	128	0
3	128	128
4	128	0
...		

R G B

(0 až 255)

DAC



Monitor

Color_{res} = 4 až 10 bitů
(16 až 1024 barev)

Vektorový displej

- ◆ přijímá vektorové příkazy a ukládá je ve své paměti (“display list”) - úspora paměti
 - **MoveTo(x,y)**, **LineTo(x,y)**, **Circle(x,y,r)**, ..
- ◆ příkazy v seznamu se **cyklicky** překreslují
 - při velkém množství kreslených příkazů obrázek bliká
 - stínítko s dlouhým dosvitem
- ◆ kreslené čáry **nejsou zubaté** (jako u rastrových zařízení)

Grafický vstup

◆ rastrový vstup:

- **scannery** (*300dpi* až *2000dpi*, *16 odstínů šedi* až *3×12 bitů RGB*)

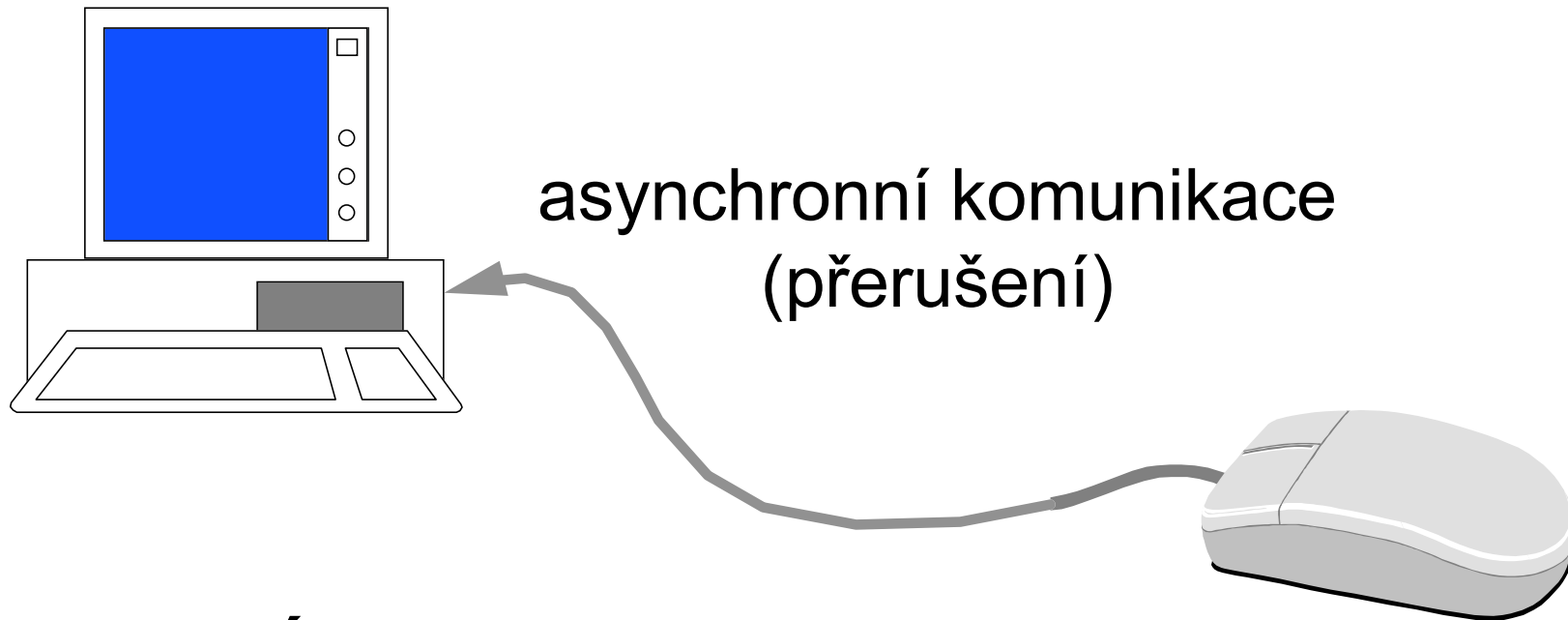
◆ interaktivní vstup:

- **ukazovátko** (“pick”: výběr z menu, výběr objektu)
- **vstup polohy** (“locator”: zadání souřadnice $[x,y]$)

→ **myš**: levná, méně přesná, relativní vstup

→ **tablet**: velmi přesný, absolutní vstup

Komunikace myš - PC



zprávy:
Move (dx, dy)
Button (n, down)

relativní pohyb myši
stisk/uvolnění n-tého tlačítka

Obslužný program pro myš:

- ◆ přijímá zprávy od myši, pamatuje si stav
 - poskytuje pohodlnější informace aplikacním programům
- ➔ kreslí ukazovátko na obrazovce
- ➔ on-line i off-line zjištování stavu myši
- ➔ pamatuje si poslední stisk každého tlačítka

Konec

Další informace:

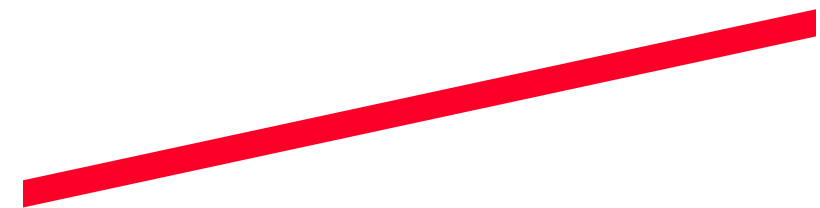
- J. Foley, A. van Dam, S. Feiner, J. Hughes:
Computer Graphics, Principles and Practice,
8-15, 145-199
- Jiří Žára a kol.: *Počítačová grafika*, principy
a algoritmy, 29-49
- ➔ LAN na Malé Straně:
 - **barbora\usr:\vyuka\pelikan\1**

Kreslení čar

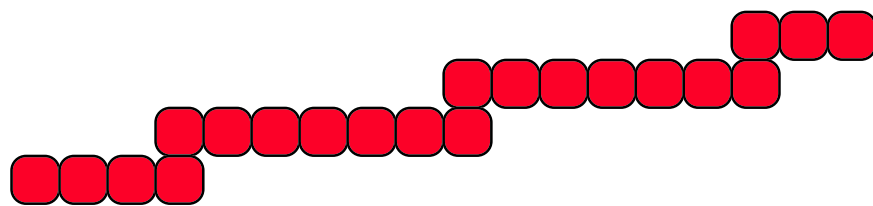
**© 1995-2001 Josef Pelikán
KSVI MFF UK Praha**

e-mail: Josef.Pelikan@mff.cuni.cz
WWW: <http://cgg.ms.mff.cuni.cz/~pepca/>

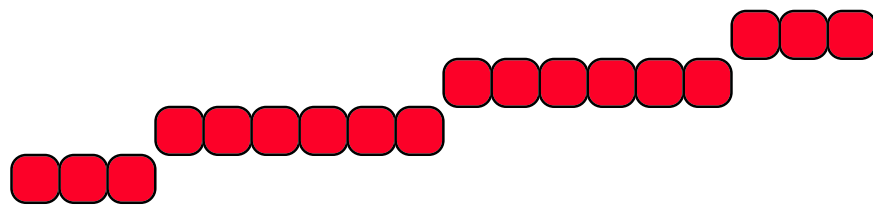
Kreslení úseček



vektorové zařízení

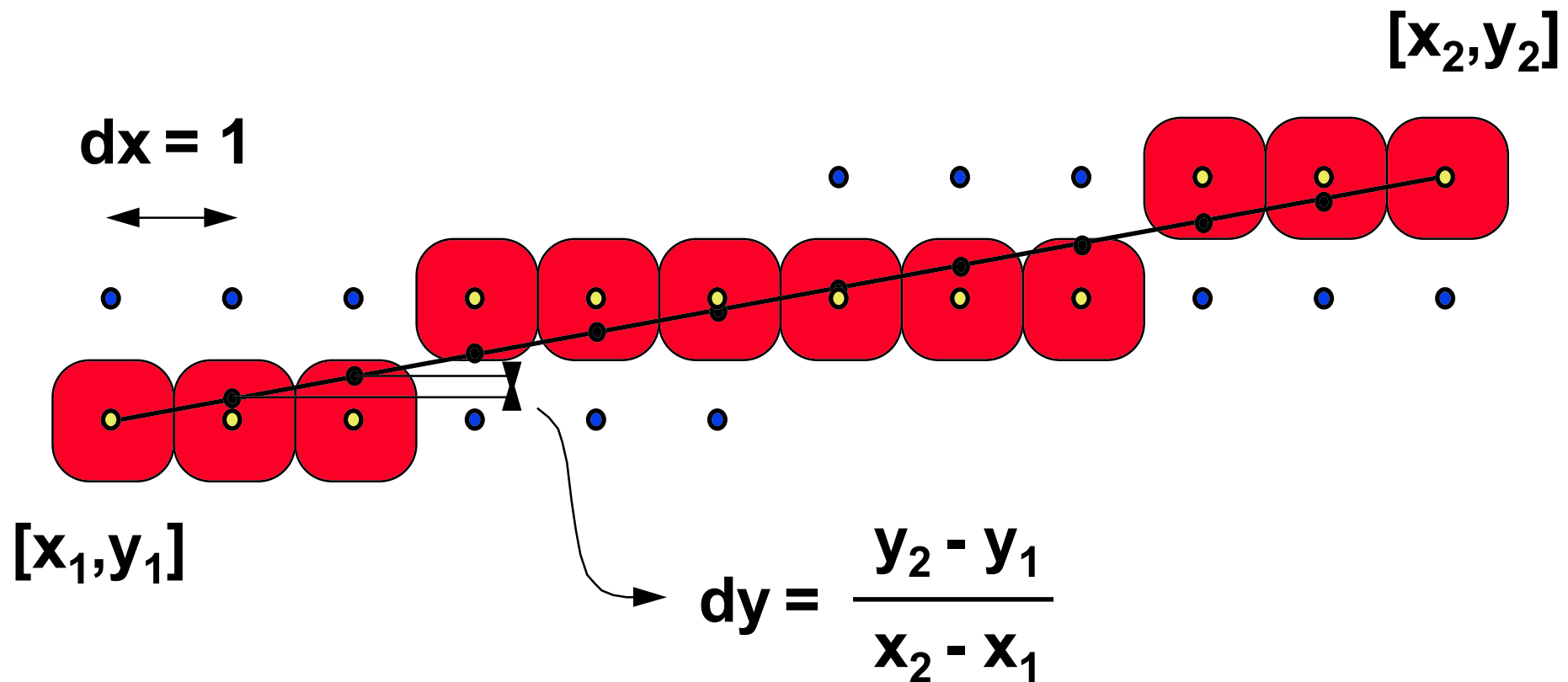


rastrové zařízení



OK

DDA algoritmus



DDA algoritmus

```
procedure LineDDA ( x1, y1, x2, y2, color : integer );
               { předpoklady: x1 < x2, |y2-y1| < |x2-x1| }
var y, dy : real;
begin
    y := y1;
    dy := (y2-y1) / (x2-x1);
    PutPixel(x1,y1,color);
    while x1 < x2 do
        begin
            x1 := x1 + 1;
            y := y + dy;
            PutPixel(x1,round(y),color);
        end;
end;
```

DDA algoritmus

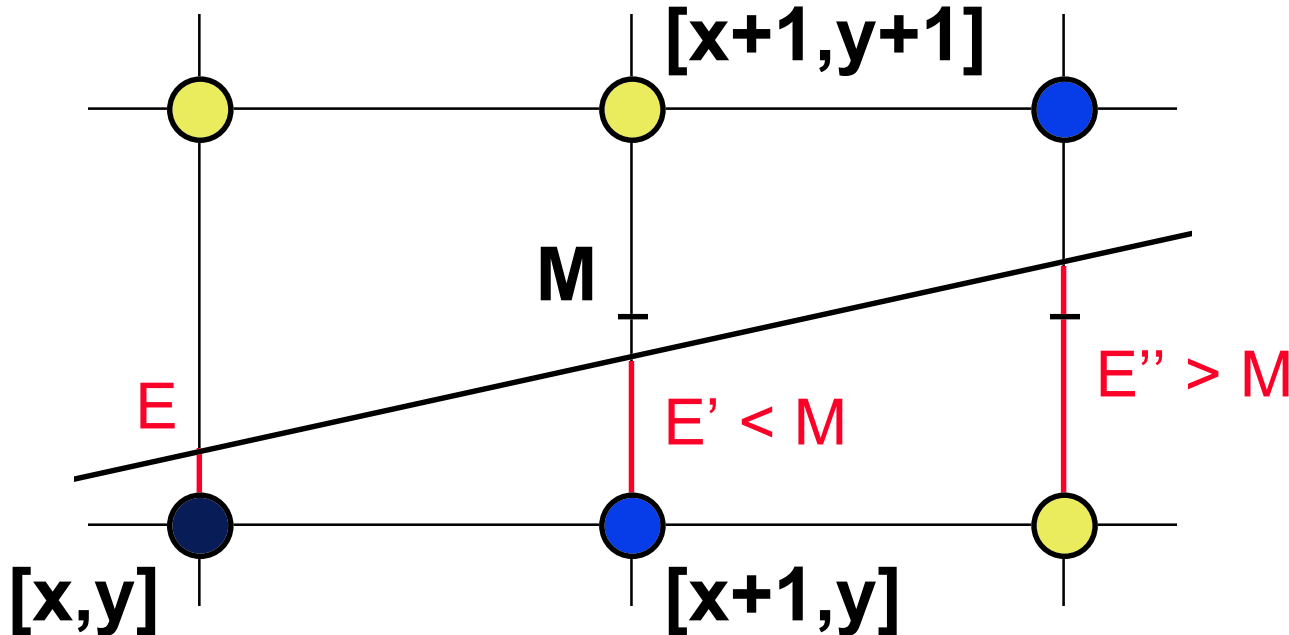
+ výhody:

- snadná implementace (HW)

→ nevýhody:

- nutno počítat s velkou **přesností** (real, fixed point)
- jedno **dělení** a v cyklu **zaokrouhlování**

Bresenhaműv algoritmus



$$dx = x_2 - x_1$$

$$dy = y_2 - y_1$$

$$E' = E + \frac{dy}{dx} \leq M = \frac{1}{2}$$

Celočíselné odvození

$$E' = E + \frac{dy}{dx} \leq \frac{1}{2} \quad / \cdot 2dx$$

$$2dx \cdot E' = 2dx \cdot E + 2dy \leq dx \quad / - dx$$

$$dx(2E' - 1) = dx(2E - 1) + 2dy \leq 0$$



$$D' = D + 2dy \leq 0$$

$$D_0 = 2dy - dx$$

$$D \leq 0 \Rightarrow D' = D + 2dy, \quad y' = y$$

$$D > 0 \Rightarrow D' = D + 2dy - 2dx, \quad y' = y + 1$$

Bresenhamův algoritmus

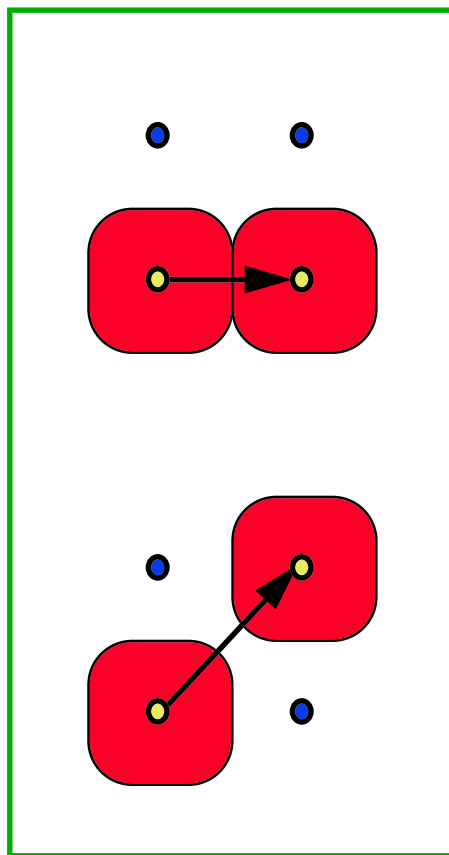
```
procedure LineBres ( x1, y1, x2, y2, color : integer );
               { předpoklady: x1 < x2, |y2-y1| < |x2-x1| }
var dx, dy, D, inc0, incl : integer;
begin
  dx := x2 - x1;
  dy := y2 - y1;
  D := 2*dy - dx;
  inc0 := 2*dy;
  incl := 2* (dy - dx);
  PutPixel(x1,y1,color);
  ...

```

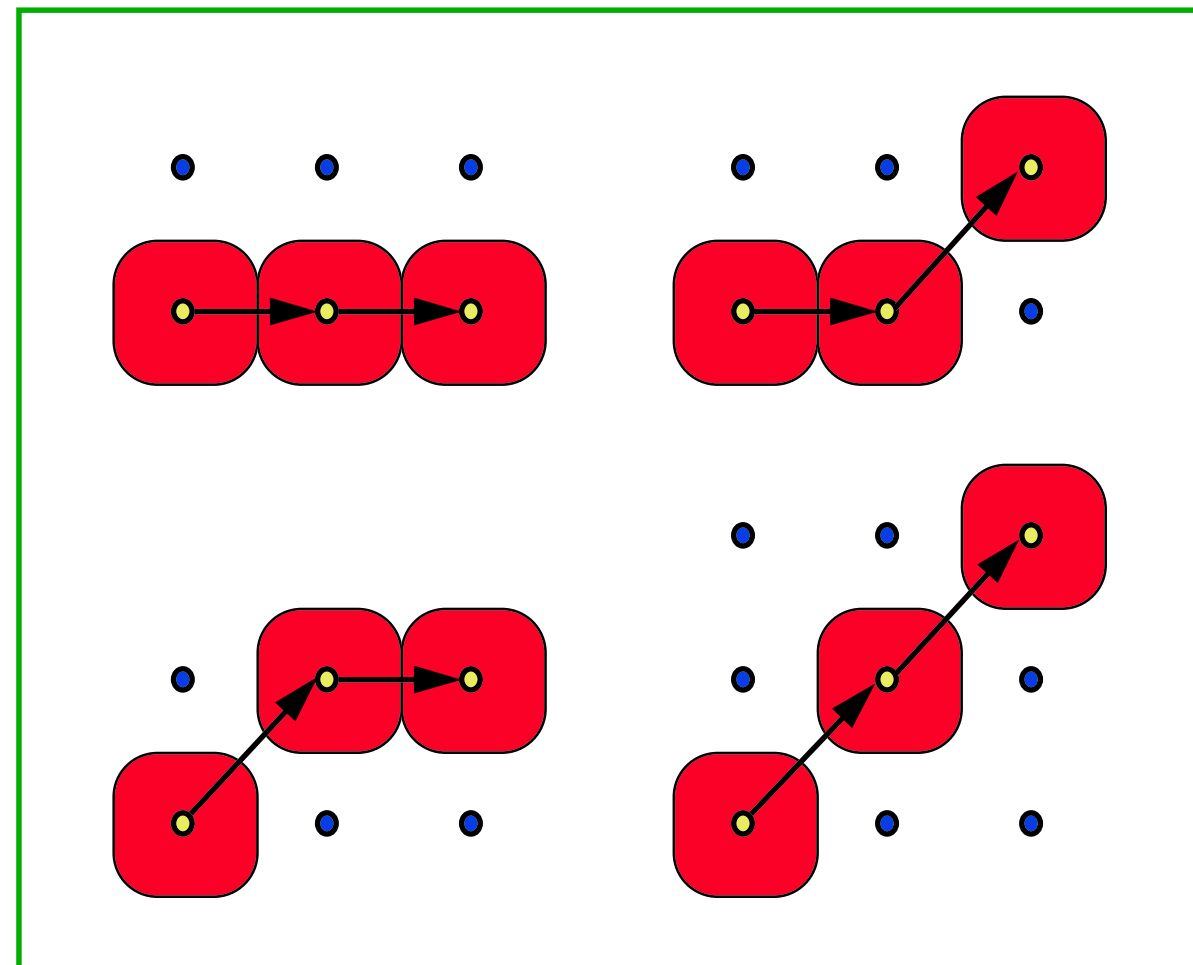
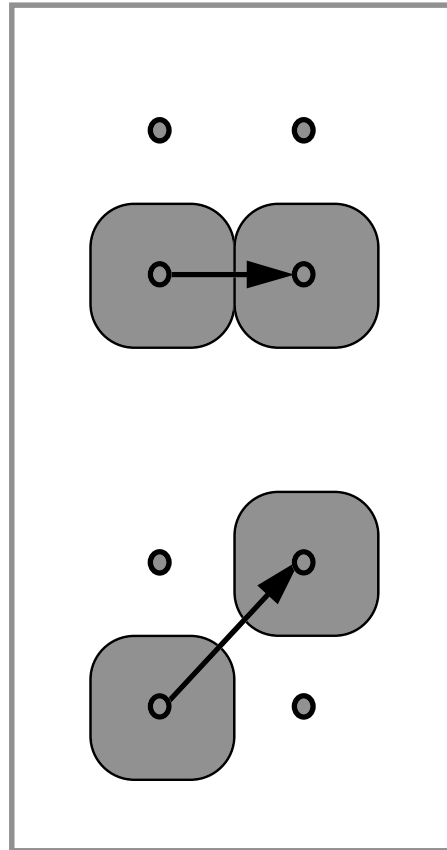
Bresenhaműv algoritmus

```
...
while x1 < x2 do
    begin
        if D <= 0 then D := D + inc0
        else
            begin
                D := D + incl;
                y1 := y1 + 1;
            end;
        x1 := x1 + 1;
        PutPixel(x1,y1,color);
    end;
end;
```

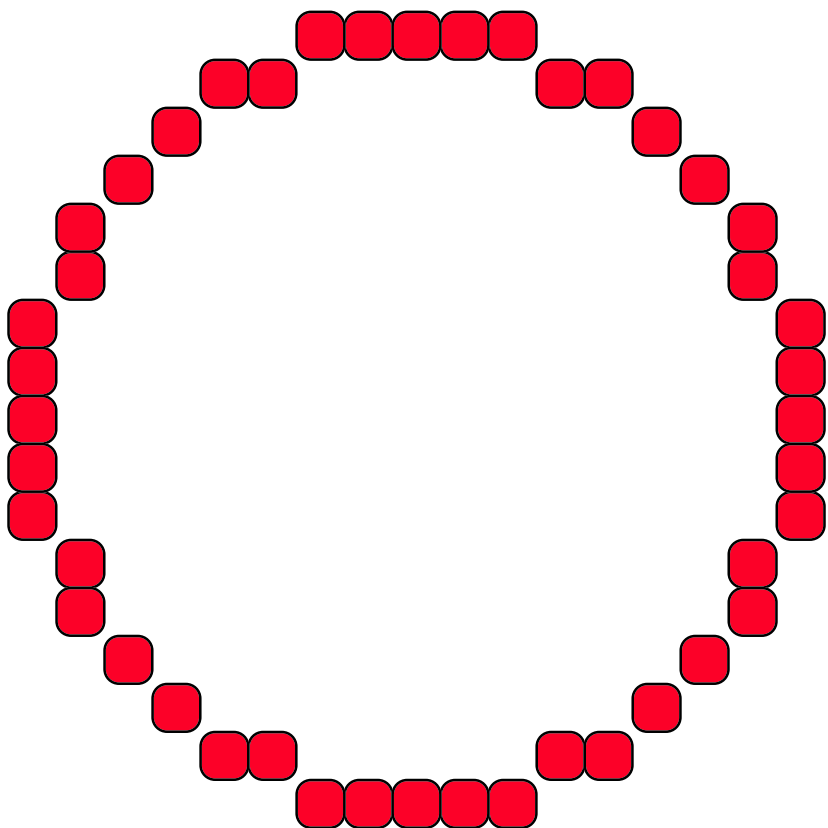
Jednokrokový algoritmus



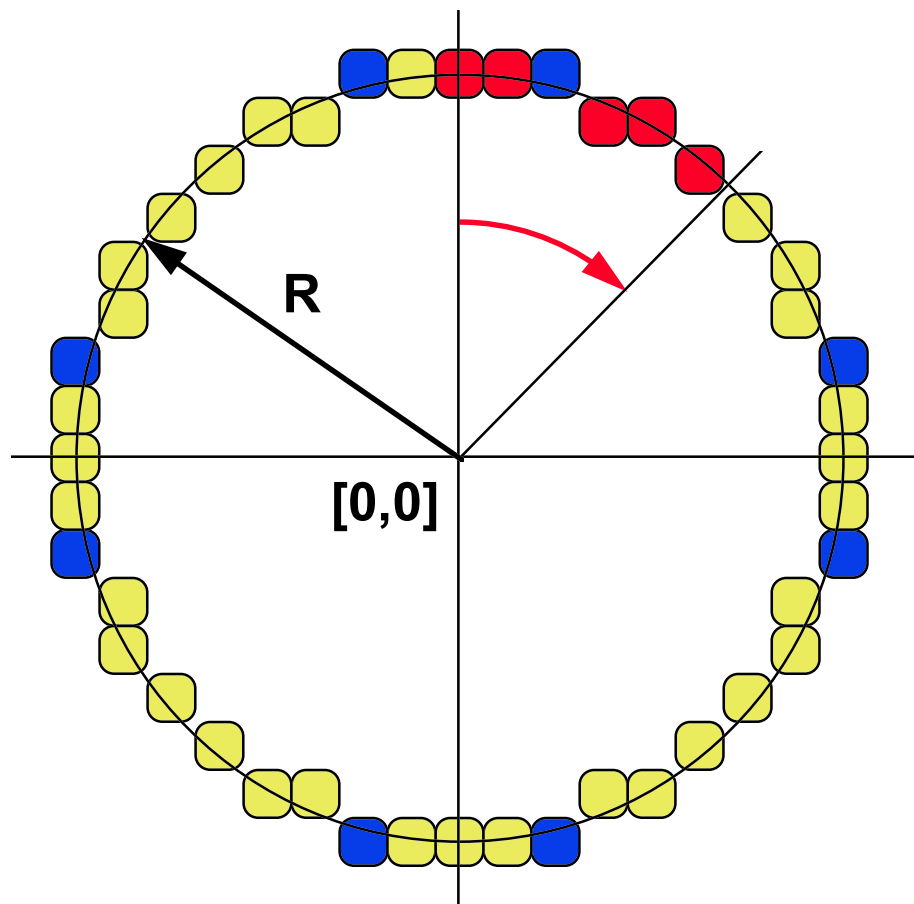
Vícekrokové algoritmy



Kreslení kružnice

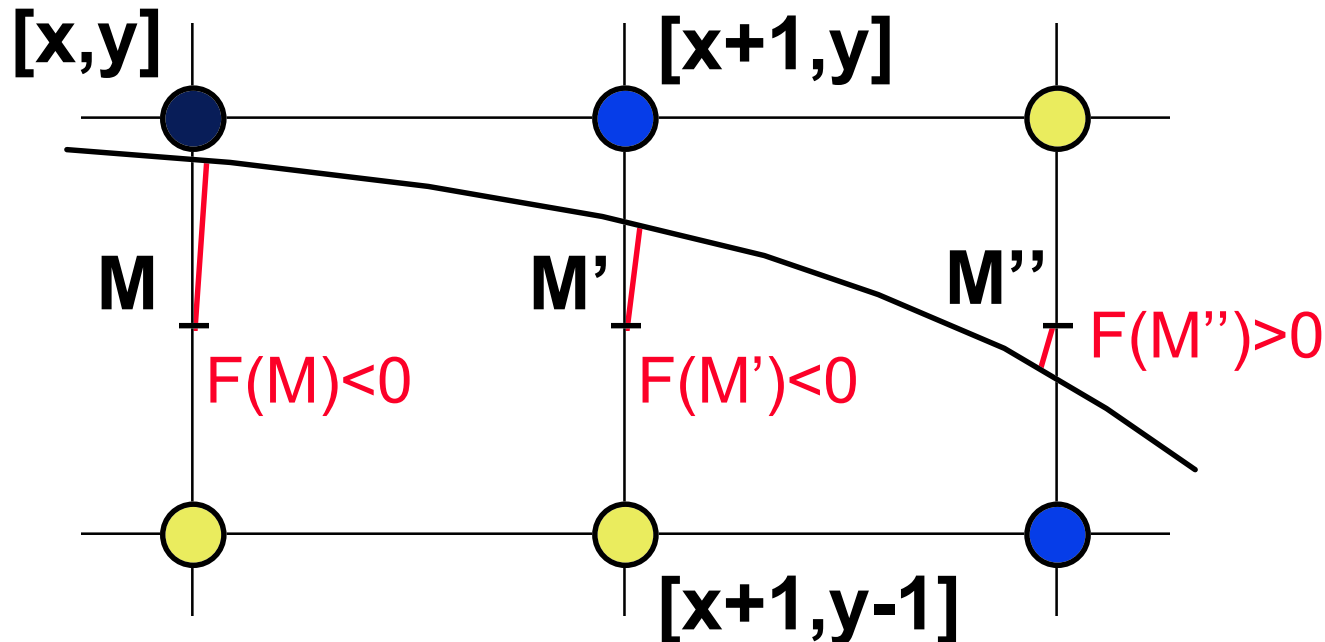


Kreslení kružnice



Kreslí se jen jedna
osmina oblouku
- zbytek se přenese
pomocí symetrií

Bresenhaműv algoritmus



$$F(M) = M_x^2 + M_y^2 - R^2$$

Inkrementální odvození

$$1) \quad F(M') = (x + 1)^2 + (y - \frac{1}{2})^2 - R^2 < 0$$

$$F(M'') = (x + 2)^2 + (y - \frac{1}{2})^2 - R^2 = F(M') + 2x + 3$$

$$2) \quad F(M') \geq 0$$

$$F(M'') = (x + 2)^2 + (y - \frac{3}{2})^2 - R^2 = F(M') + 2x - 2y + 5$$

$$D_0 = 1.25 - R \quad \{1 - R\}$$

$$D < 0 \Rightarrow D' = D + 2x + 3, \quad y' = y$$

$$D \geq 0 \Rightarrow D' = D + 2x - 2y + 5, \quad y' = y - 1$$

Kreslení kružnice

```
procedure CirclePoints ( x, y, color : integer ) ;
    { předpoklad: střed kružnice je v počátku }
begin
    PutPixel( x, y,color);
    PutPixel( y, x,color);
    PutPixel( x,-y,color);
    PutPixel( y,-x,color);
    PutPixel(-x, y,color);
    PutPixel(-y, x,color);
    PutPixel(-x,-y,color);
    PutPixel(-y,-x,color);
end;
```

...

Kreslení kružnice

```
procedure CircleBres ( R, color : integer ) ;
var x, y, D : integer;
begin
    x := 0; y := R; D := 1 - R;
    CirclePoints(0,R,color);
    while y > x do
        begin
            if D < 0 then D := D + 2*x + 3
                else
                    begin
                        D := D + 2*(x - y) + 5;
                        y := y - 1;
                    end;
            x := x + 1;
            CirclePoints(x,y,color);
        end;
end;
```

Konec

Další informace:

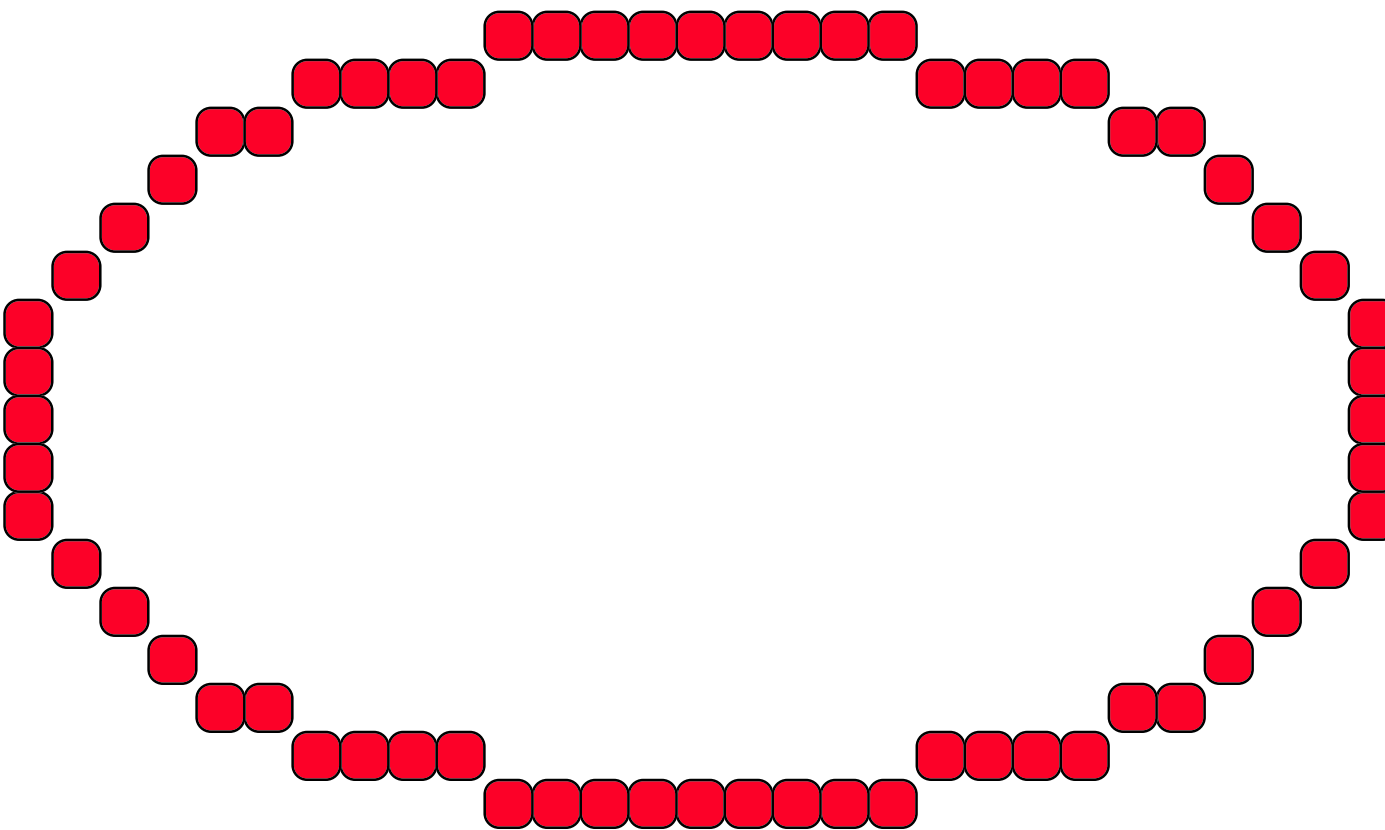
- J. Foley, A. van Dam, S. Feiner, J. Hughes:
Computer Graphics, Principles and Practice,
72-87
- Jiří Žára a kol.: *Počítačová grafika*, principy
a algoritmy, 91-100, 106-112
- ➔ LAN na Malé Straně:
 - **barbora\usr:\vyuka\pelikan\2**

Kreslení křivek

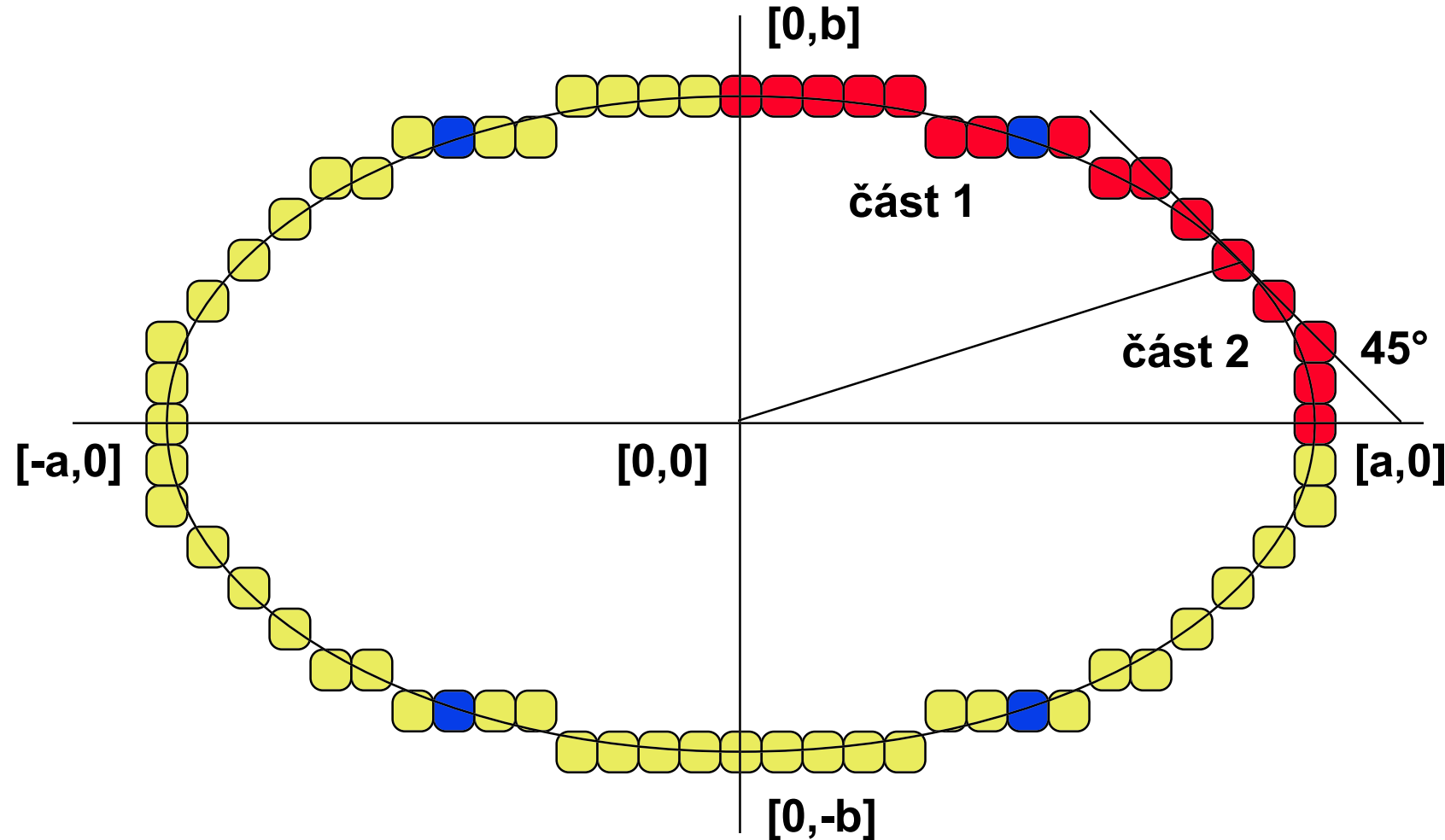
**© 1995-2001 Josef Pelikán
KSVI MFF UK Praha**

e-mail: Josef.Pelikan@mff.cuni.cz
WWW: <http://cgg.ms.mff.cuni.cz/~pepca/>

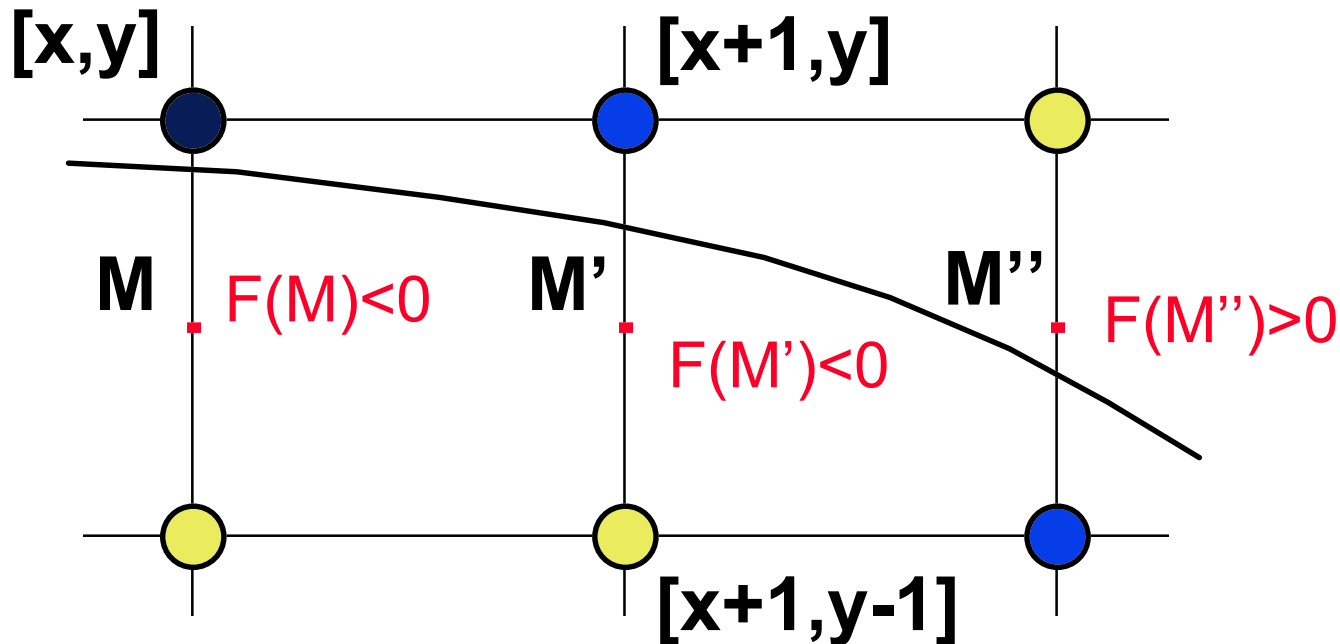
Elipsa



Elipsa se středem v počátku



“midpoint” algoritmus



$$F(M) = b^2 M_x^2 + a^2 M_y^2 - a^2 b^2$$

Inkrementální odvození

$$1) \underline{F(M')} = b^2(x+1)^2 + a^2(y - \frac{1}{2})^2 - a^2b^2 < 0$$

$$F(M'') = b^2(x+2)^2 + a^2(y - \frac{1}{2})^2 - a^2b^2$$

$$\underline{F(M'') = F(M') + b^2(2x+3)}$$

$$2) \underline{F(M') \geq 0}$$

$$F(M'') = b^2(x+2)^2 + a^2(y - \frac{3}{2})^2 - a^2b^2$$

$$\underline{F(M'') = F(M') + b^2(2x+3) + a^2(-2y+2)}$$

Inkrementální odvození

I) inicializace:

$$F[1, b - \frac{1}{2}] = b^2 - a^2b + \frac{1}{4}a^2$$

II) přechod z části 1 do části 2:

$$\frac{\partial F}{\partial x} = \frac{\partial F}{\partial y}, \quad \text{tj.} \quad 2b^2x = 2a^2y$$

pomocné diferenční proměnné pro $[x+1, y-1/2]$:

$$dx = \frac{\partial F}{\partial x} = b^2(2x + 2), \quad dy = \frac{\partial F}{\partial y} = a^2(2y - 1)$$

Inkrementální odvození

III) inicializace pro část 2:

$$F[x + \frac{1}{2}, y - 1] = b^2(x + \frac{1}{2})^2 - a^2(y - 1)^2 - a^2b^2$$

testy v části 2:

$$\underline{F(M') \geq 0 \Rightarrow F(M'') = F(M') + a^2(-2y + 3)}$$

$$\underline{F(M') < 0 \Rightarrow F(M'') = F(M') + b^2(2x + 2) + a^2(-2y + 3)}$$

Kreslení elipsy

```
procedure EllipsePoints ( x, y, color : integer ) ;
    { předpoklad: střed elipsy je v počátku }
begin
    PutPixel( x, y,color);
    PutPixel( x,-y,color);
    PutPixel(-x, y,color);
    PutPixel(-x,-y,color);
end;
```



```
procedure EllipseMidpoint ( a, b, color : integer );
var x, y, D, dx, dy, aa, aa2, bb, bb2 : longint;
begin
    x := 0; y := b;          { souřadnice prvního bodu }
    aa := sqr(a); aa2 := 2*aa; bb := sqr(b); bb2 := 2*bb;
    D := bb - aa*b + aa div 4;
    dx := bb2; dy := aa*(2*b - 1);      { dF/dx, dF/dy }
    ...
    ...
```

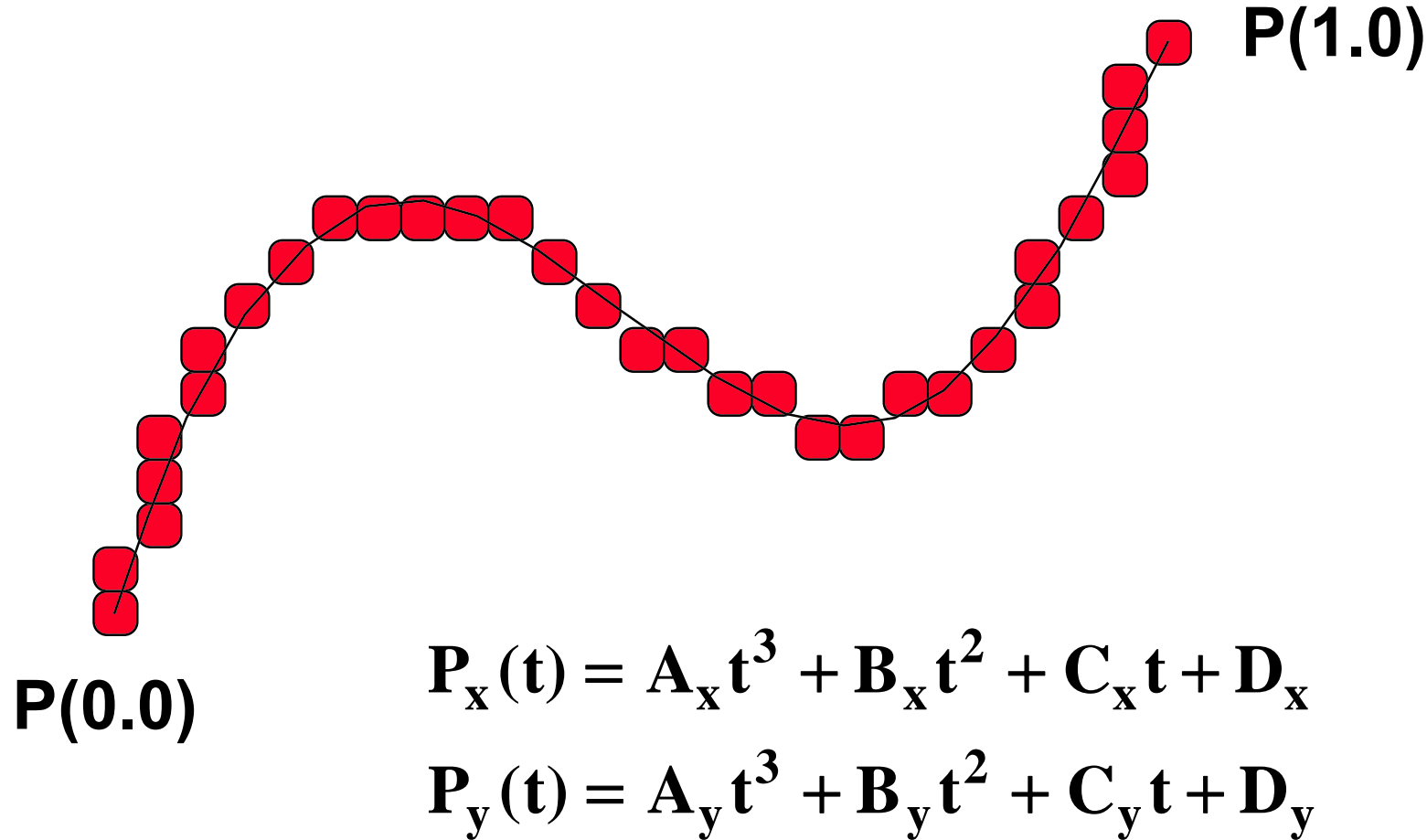
Kreslení elipsy

```
...
EllipsePoints(0,b,color);
while dx < dy do { část 1 }
  begin
    if D >= 0 then
      begin { klesám o jednu řádku }
        D := D - dy + aa;
        dy := dy - aa2;
        y := y - 1;
      end;
    D := D + dx + bb;
    dx := dx + bb2;
    x := x + 1;
    EllipsePoints(x,y,color);
  end;
...
```

Kreslení elipsy

```
...
D := bb*(sqr(x)+x) + bb div 4 + aa*(sqr(y-1)-bb);
while y < 0 do { část 2 }
    begin
        if D < 0 then
            begin { posun doprava }
                D := D + dx;
                dx := dx + bb2;
                x := x + 1;
            end;
            D := D - dy + aa2;
            dy := dy - aa2;
            y := y - 1;
            EllipsePoints(x,y,color);
        end;
    end;
```

Kubická křivka v rovině



Diferenční algoritmus

- ◆ výpočet hodnot **polynomu P** v bodech **P(0), P(h), P(2h), .. P(ih), ..** pouze pomocí **sčítání**
- ◆ pro **kubický polynom**:
 - ① inicializace proměnných **a, b, c, d**
 - ② krok: **Output(d)**
d := d + c
c := c + b
b := b + a

Maticová notace

- ◆ inicializace:

$$\begin{bmatrix} d \\ c \\ b \\ a \end{bmatrix} = \begin{bmatrix} 1 & 0 & 0 & 0 \\ 0 & h & h^2 & h^3 \\ 0 & 0 & 2h^2 & 6h^3 \\ 0 & 0 & 0 & 6h^3 \end{bmatrix} \cdot \begin{bmatrix} D \\ C \\ B \\ A \end{bmatrix}$$

- ◆ krok:

$$\begin{bmatrix} d \\ c \\ b \\ a \end{bmatrix} = \begin{bmatrix} 1 & 1 & 0 & 0 \\ 0 & 1 & 1 & 0 \\ 0 & 0 & 1 & 1 \\ 0 & 0 & 0 & 1 \end{bmatrix} \cdot \begin{bmatrix} d \\ c \\ b \\ a \end{bmatrix}$$

Úpravy kroku h:

- ◆ **U** - zvětšení kroku na dvojnásobek (“Up”):

$$\mathbf{U} = \begin{bmatrix} 1 & 0 & 0 & 0 \\ 0 & 2 & 1 & 0 \\ 0 & 0 & 4 & 4 \\ 0 & 0 & 0 & 8 \end{bmatrix}$$

- ◆ **D** - zmenšení kroku na polovinu (“Down”):

$$\mathbf{D} = \begin{bmatrix} 1 & 0 & 0 & 0 \\ 0 & 1/2 & -1/8 & 1/16 \\ 0 & 0 & 1/4 & -1/8 \\ 0 & 0 & 0 & 1/8 \end{bmatrix}$$

Adaptivní diferenční algoritmus

```
procedure CubicCurve;
var B1, B2, B3 : POINT2D; { x, y : real }
    X, Y : DiffRecord;      { a, b, c, d, h : real }
    t : real;                { parametr křivky }

begin
    "inicializace X, Y"   { inicializace diferenci }
    t := 0.0; B1.x := X.d; B1.y := Y.d;
    B2 := B1; B3 := B1;    { B1=B2=B3=začátek křivky }
    repeat                  { jeden krok křivky }
        if |B3-B1| > 1 then Output(B1); B1 := B2
        B2 := B3;             { zapomenu B2 }
        while (X.c > 1) or (Y.c > 1) do Down(X); Down(Y);
        while (X.c < 0.5) and (Y.c < 0.5) do Up(X); Up(Y);
        Step(X); Step(Y); B3.x := X.d; B3.y := Y.d;
        t := t + X.h;
    until t > 1.0;
    Output(B1); Output(B2); { dokreslím zbytek křivky }
end;
```

Celočíselná implementace

- ◆ pro uložení proměnných **a, b, c, d** použiji 32-bitové registry (v pevné desetinné čárce)

	celá část	desetinná část
a		
b	12 bitů	20 bitů
c		
d		

- ◆ díky **akumulaci chyb** nelze nakreslit křivku delší než cca **100 pixelů**

Zvětšená přesnost členu d:

- ◆ pro uložení proměnných a, b, c použiji více desetinných bitů (28)

	celá část	desetinná část
a		
b	4 bity	28 bitů
c		
d	16 bitů	16 bitů

- ◆ přibyla jedna operace “shift”, ale již lze nakreslit až 512 kroků křivky

Dynamické řízení přesnosti:

- ◆ pro uložení proměnných **a**, **b**, **c** použiji více desetinných bitů (**n** mohu adaptivně měnit)

	celá část	desetinná část
a		
b	32-3n bitů	3n bitů
c	32-2n bitů	2n bitů
d	32-n bitů	n bitů

- ◆ přibyly dvě operace “shift”, ale např. pro **n=14** lze již nakreslit 8K kroků křivky

Literatura

- J. Foley, A. van Dam, S. Feiner, J. Hughes:
Computer Graphics, Principles and Practice,
88-91
- D. Da Silva: *Raster Algorithms for 2D
Primitives*, Master's Thesis, Brown
University, 1989
- Jiří Žára a kol.: *Počítačová grafika*, principy
a algoritmy, 112-115

Konec

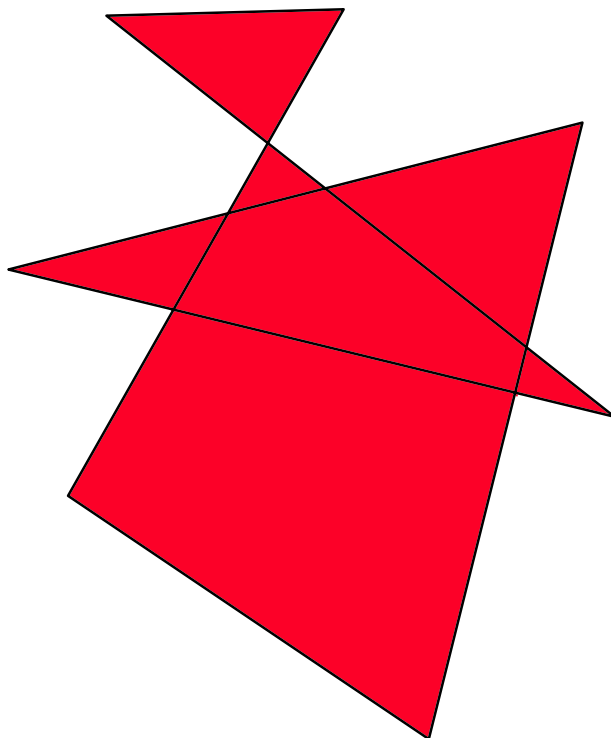
- S.-L. Chang, M. Chantz, R. Rocchetti:
Rendering Cubic Curves and Surfaces with Integer Adaptive Forward Differencing,
Computer Graphics, vol. 23, #3, 157-166
- ➔ LAN na Malé Straně:
– **barbora\usr:\vyuka\pelikan\3**

Vyplňování n-úhelníka

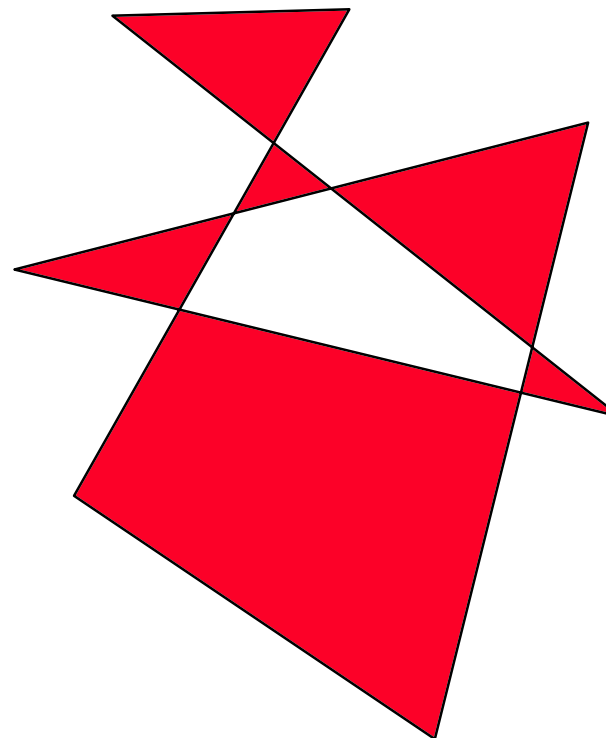
**© 1995-2001 Josef Pelikán
KSVI MFF UK Praha**

e-mail: Josef.Pelikan@mff.cuni.cz
WWW: <http://cgg.ms.mff.cuni.cz/~pepca/>

Pravidla vyplňování:

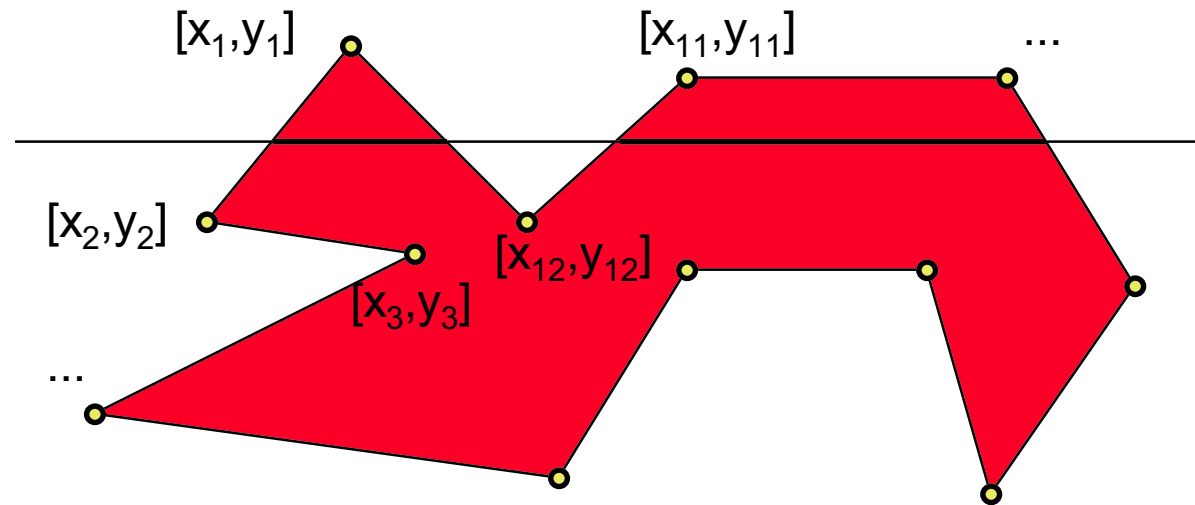


všechny vnitřní body



jen liché body
("odd-even" rule)

Řádkový algoritmus

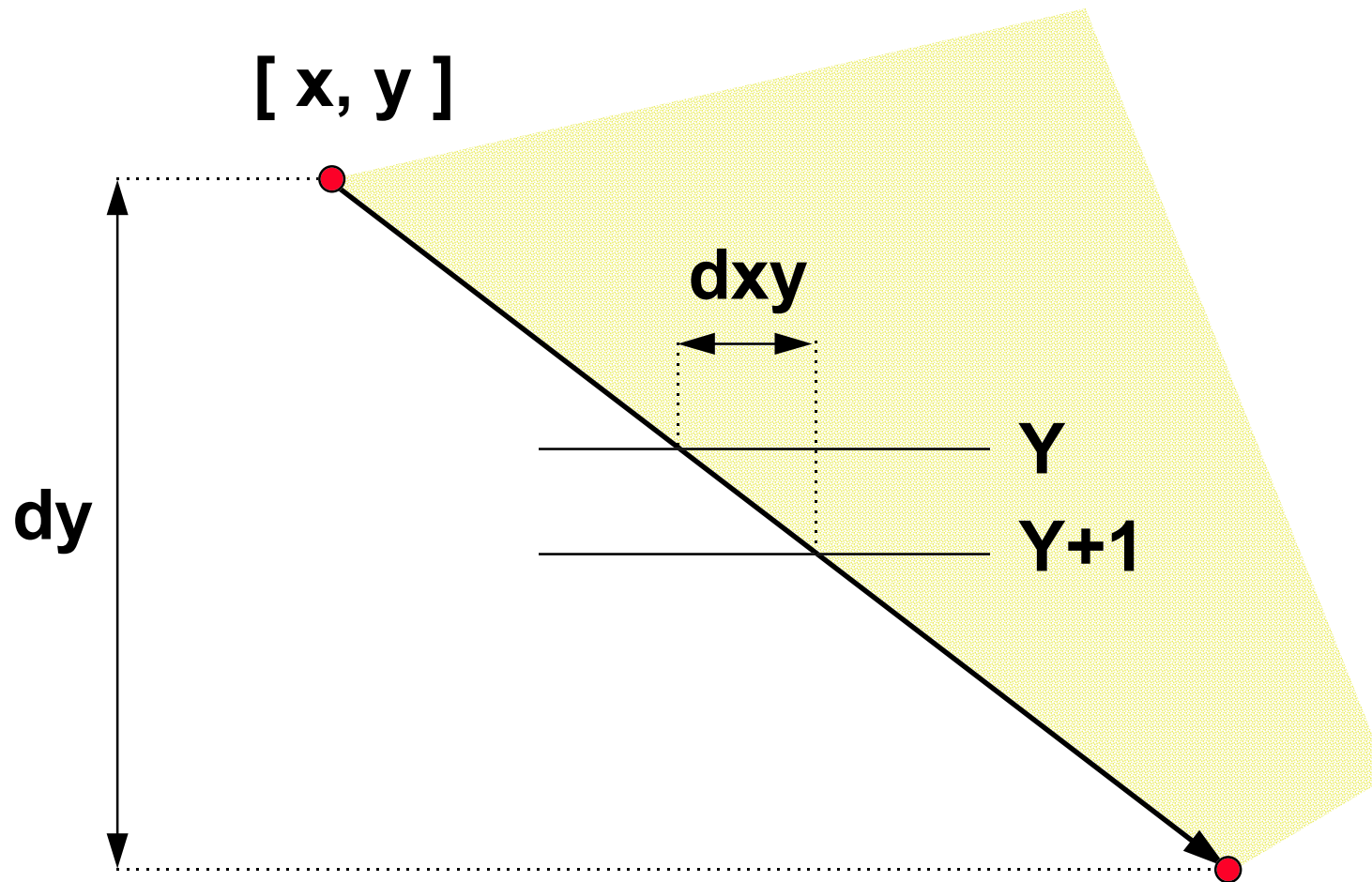


- ◆ **n-úhelník** je zadán posloupností svých vrcholů
- ◆ může být **nekonvexní**
- ◆ zjednodušení: vyplňují se jen **liché body**

1. předzpracování

- n-úhelník rozložíme na **jednotlivé hrany**
- **vodorovné hrany odstraníme**
- pro ostatní hrany vytvoříme **pracovní záznamy**
 - hrany orientujeme směrem dolů

pracovní záznam pro hranu:



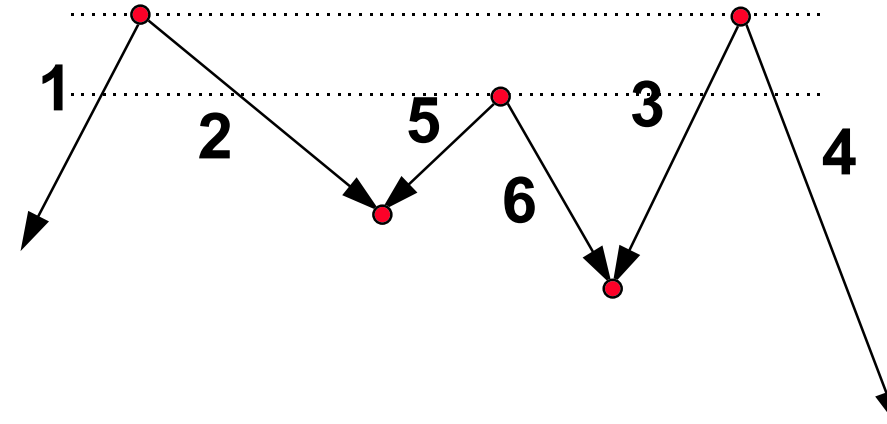
pracovní záznam pro hranu:

- **x** : **real**; { x horního koncového bodu,
později souřadnice průsečíku s aktuální řádkou }
- **y** : **integer**; { y horního koncového bodu }
- **dy** : **integer**; { výška hrany v pixelech: $|y_2 - y|$ }
- **dxy** : **real**; { změna x při posunutí na
následující řádku (směrnice pro x): $(x_2 - x) / dy$ }

2. inicializace seznamu S

Všechny předzpracované hrany setřídíme do **vstupního seznamu S** podle kritérií:

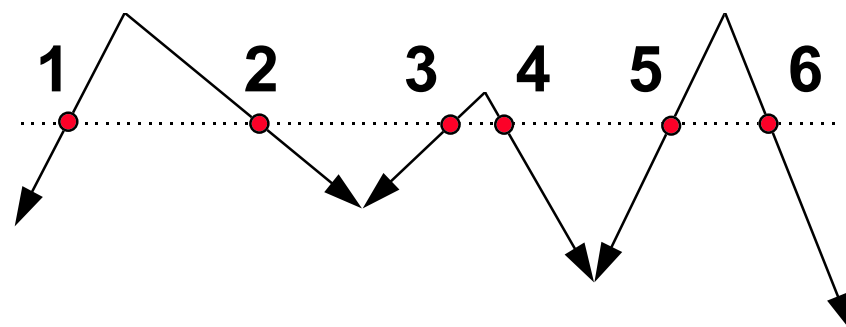
- ① vzestupně podle y
- ② vzestupně podle x
- ③ vzestupně podle d_{xy}



3. aktuální seznam A

Aktuální seznam A bude obsahovat všechny hrany, které protínají aktuální řádku. Seznam budeme udržovat setříděný podle:

- ② vzestupně podle x
- ③ vzestupně podle dxy

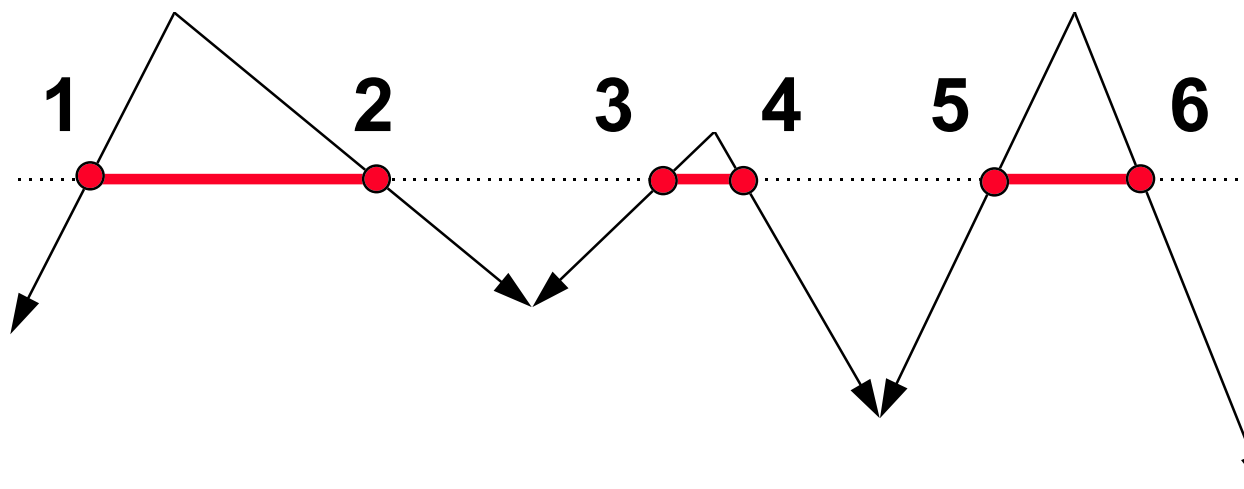


Na začátku zařadíme do A počáteční úsek seznamu S - hrany se shodným (tj. minimálním) y .

4. vykreslení aktuální řádky

Je třeba projít **aktuální seznam** A a vykreslit úseky odpovídající vnitřku n-úhelníka:

- kreslím každý úsek mezi lichým a sudým záznamem
- při jiném pravidle vyplňování by byly podmínky složitější



5. přechod na další řádku

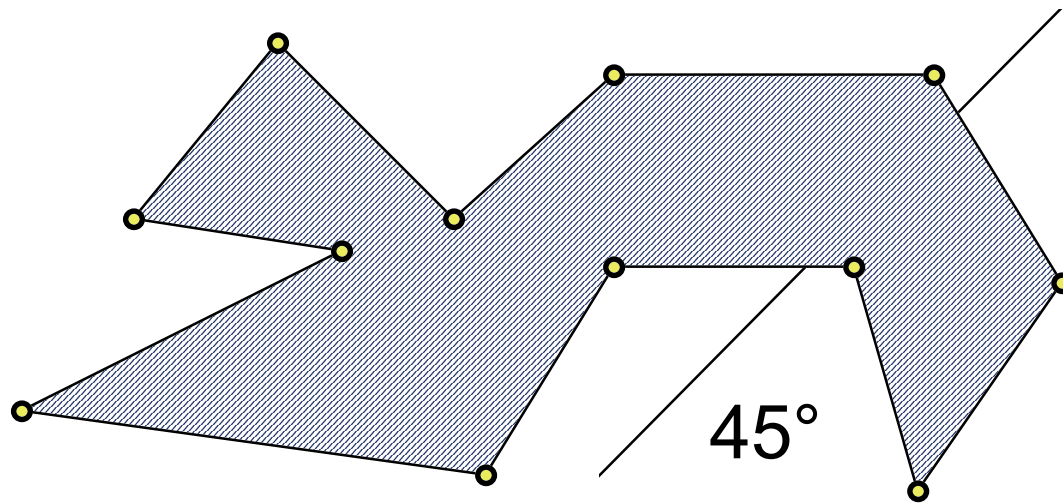
Aktualizace seznamu A :

- $\text{dy} := \text{dy} - 1;$
 - if $\text{dy} = 0$ then "odstraň hranu ze seznamu A "
 - $\text{x} := \text{x} + \text{dxy};$
-
- ◆ kontrola setřídění A
 - ◆ zatřídění nových hran z S do A (počáteční úsek S)

6. podmínka ukončení cyklu

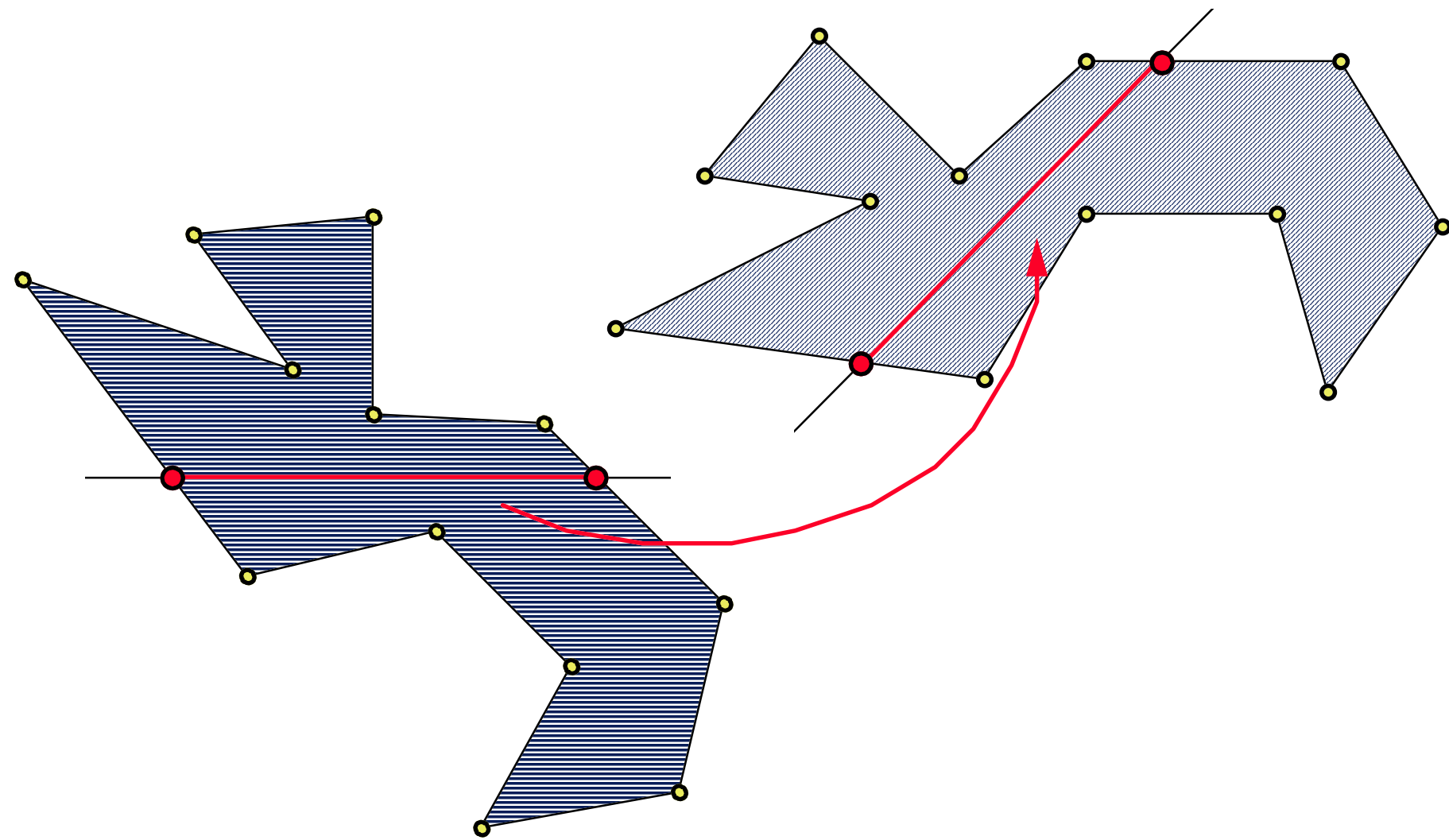
- ◆ jestliže je seznam A neprázdný, výpočet pokračuje krokem 4
- jinak algoritmus končí

Šrafování

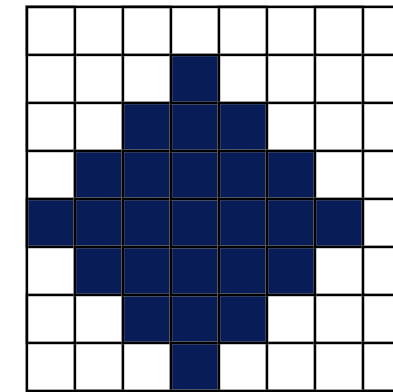
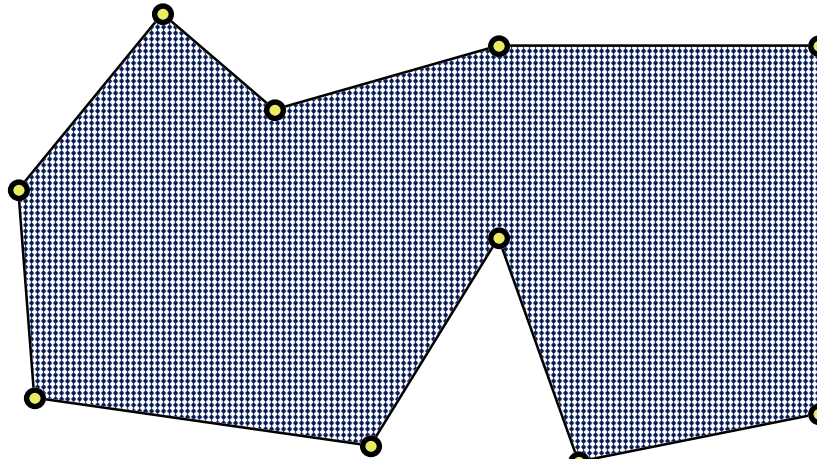


- ◆ otočím vrcholy n-úhelníka o opačný úhel
- ◆ kreslím každý k-tý řádek
- ◆ před kreslením každou úsečku otočím zpátky

Šrafování



Vyplňování vzorkem



matice $M[8 \times 8]$

- ◆ vzorek je zadán **maticí pixelů** (např. 8×8)
- ◆ každý pixel kreslím podle předpisu:
 - `PutPixel(x, y, M[y mod 8, x mod 8]);`

Konec

Další informace:

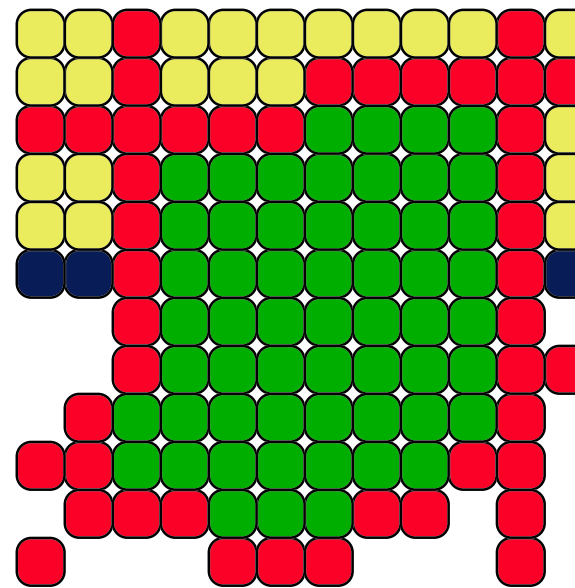
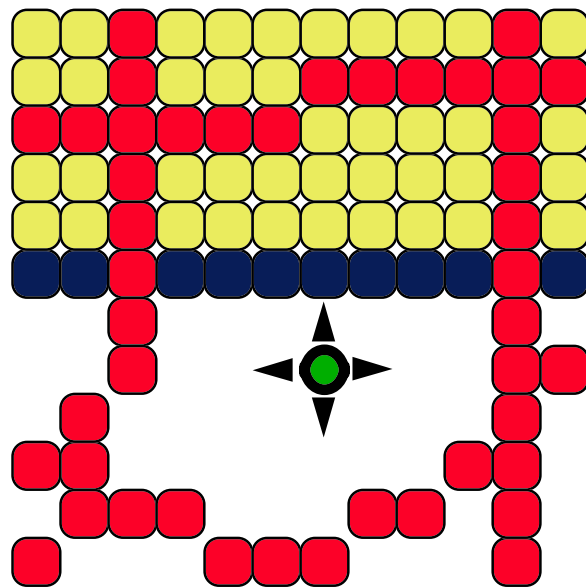
- J. Foley, A. van Dam, S. Feiner, J. Hughes:
Computer Graphics, Principles and Practice,
92-99
- Jiří Žára a kol.: *Počítačová grafika*, principy
a algoritmy, 129-138
- ➔ LAN na Malé Straně:
 - **barbora\usr:\vyuka\pelikan\2**

Vyplňování souvislé oblasti

**© 1995-2001 Josef Pelikán
KSVI MFF UK Praha**

e-mail: Josef.Pelikan@mff.cuni.cz
WWW: <http://cgg.ms.mff.cuni.cz/~pepca/>

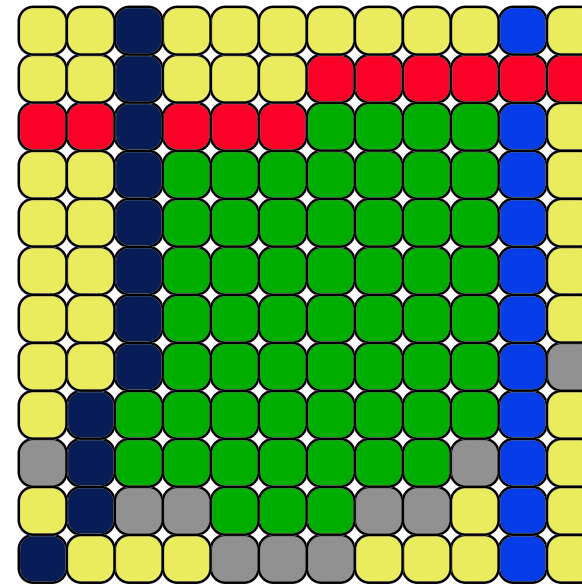
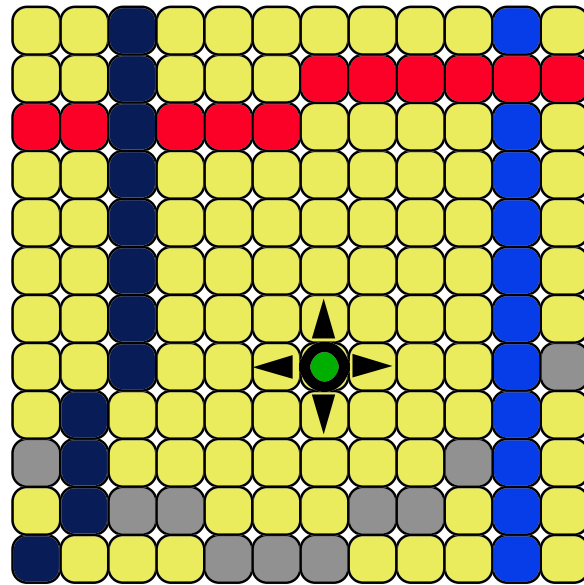
Hraniční vyplňování



vyplnění až ke hranici dané barvy

GetPixel(x,y) <> barva_hranice

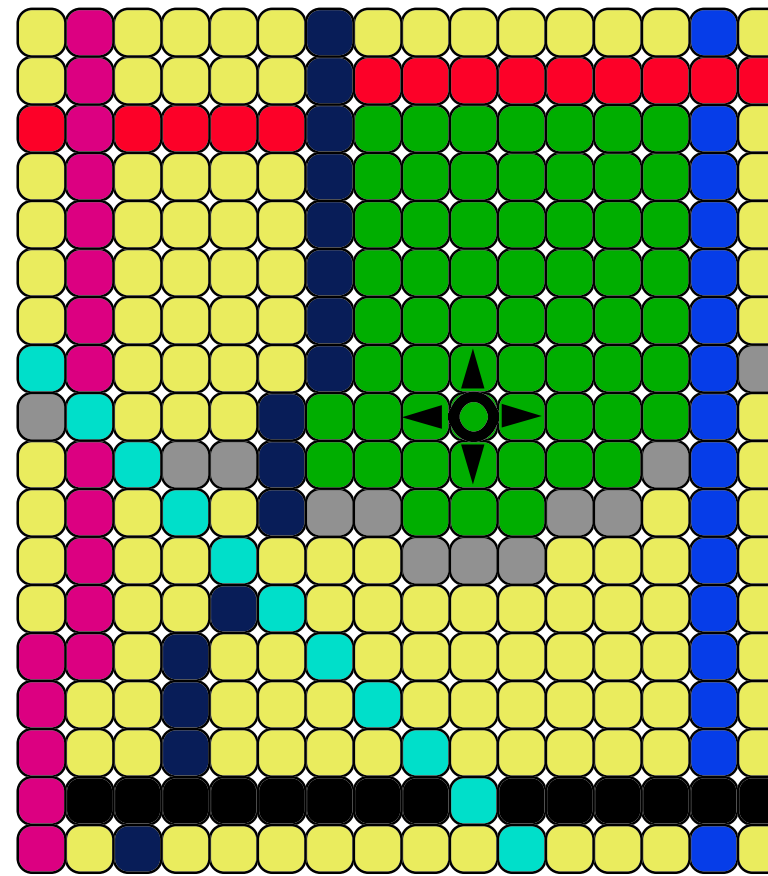
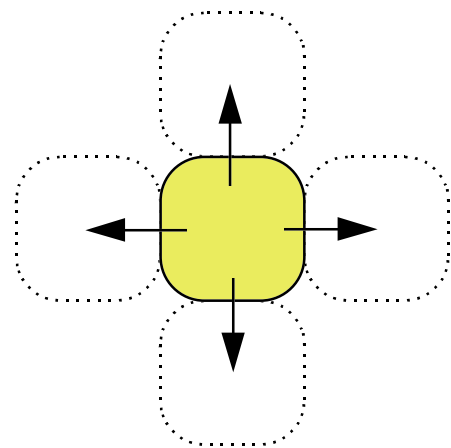
Záplavové vyplňování



přebarvení pixelů dané barvy

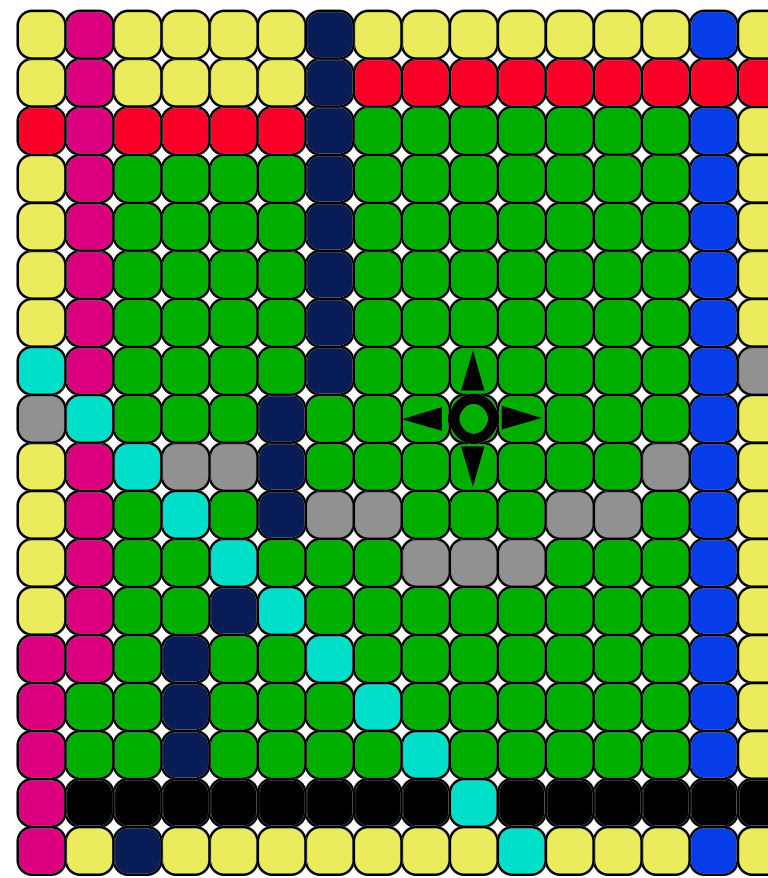
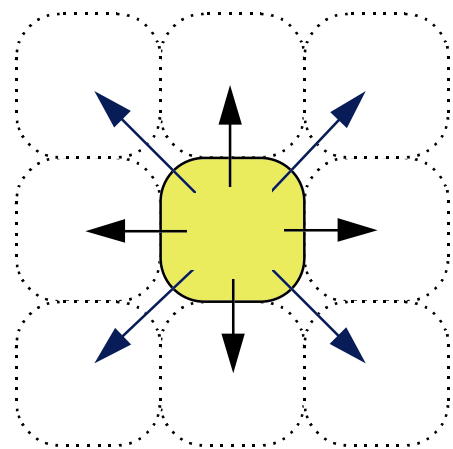
~~GetPixel(x,y) = původní_barva~~

4-souvislá oblast



záplavová varianta

8-souvislá oblast



záplavová varianta

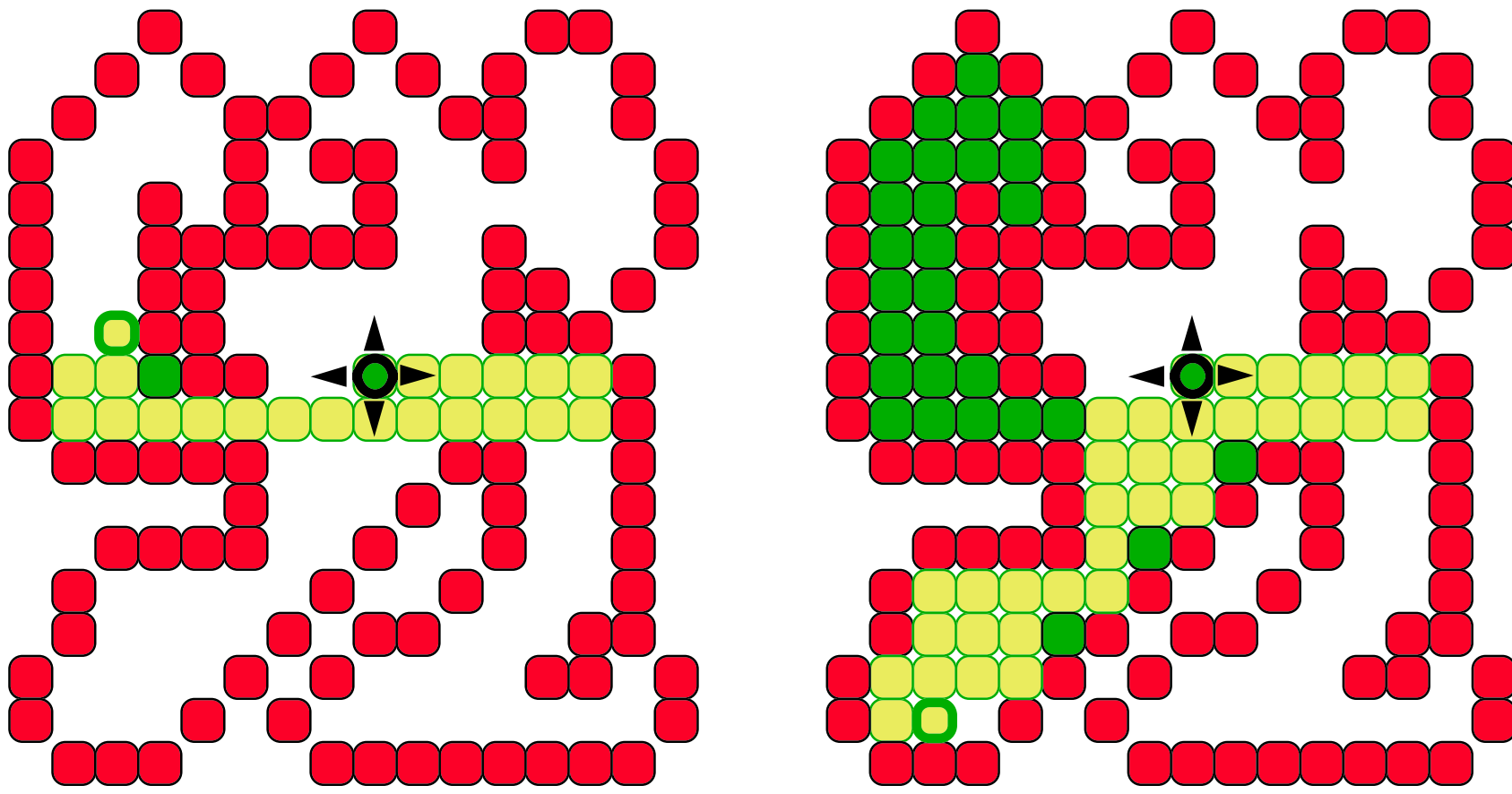
Naivní rekurzivní algoritmus

```
procedure FloodFill4 ( x, y, oldc, newc : integer ) ;
    { záplavová 4-souvislá varianta, oldc <> newc }
begin
    if GetPixel(x,y) = oldc then
        begin          { pixel [x,y] patří do oblasti }
            PutPixel(x,y,newc);
            FloodFill4(x+1,y,oldc,newc);   { čtyři sousedé: }
            FloodFill4(x-1,y,oldc,newc);
            FloodFill4(x,y+1,oldc,newc);
            FloodFill4(x,y-1,oldc,newc);
        end;
    end;
```

hraniční varianta:

(GetPixel(x,y) <> boundc) and
(GetPixel(x,y) <> newc)

Postup vyplňování:



■ hranice

■ vyplněno

■ zásobník

Použití fronty místo zásobníku

```
procedure FloodFill4 ( x, y, oldc, newc : integer );
    { záplavová 4-souvislá varianta, oldc <> newc }
var Q : Queue;
begin
    Q.Init; Q.Put(x,y);
    repeat
        Q.Get(x,y);
        if GetPixel(x,y) = oldc then
            begin { pixel [x,y] patří do oblasti }
                PutPixel(x,y,newc);
                Q.Put(x+1,y); Q.Put(x-1,y);
                Q.Put(x,y+1); Q.Put(x,y-1);
            end;
        until Q.Empty;
end;
```

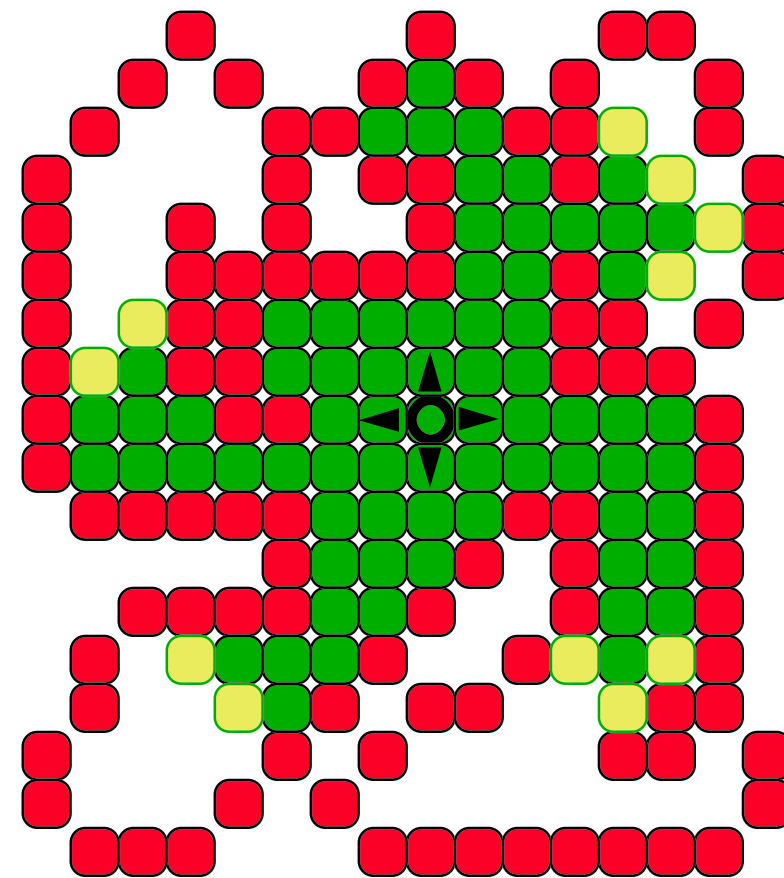
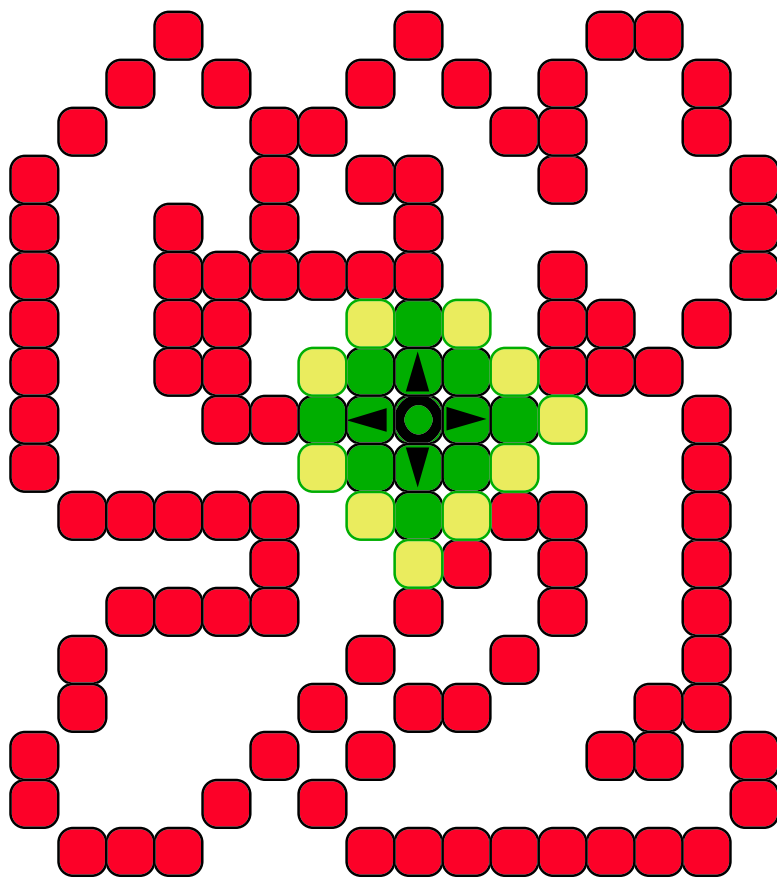
Úspornější varianta

```
procedure FloodFill4 ( x, y, oldc, newc : integer );
    { záplavová 4-souvislá varianta, oldc <> newc }
var Q : Queue;

procedure NextPixel ( x, y : integer );
begin      { patří-li pixel do oblasti, uloží ho do fronty }
    if GetPixel(x,y) = oldc then
        begin
            PutPixel(x,y,newc); Q.Put(x,y);
        end;
    end;

begin
    Q.Init; NextPixel(x,y);           { startovní pixel }
repeat
    Q.Get(x,y);
    NextPixel(x+1,y); NextPixel(x-1,y); { čtyři sousedé: }
    NextPixel(x,y+1); NextPixel(x,y-1);
until Q.Empty;
end;
```

Postup vyplňování:



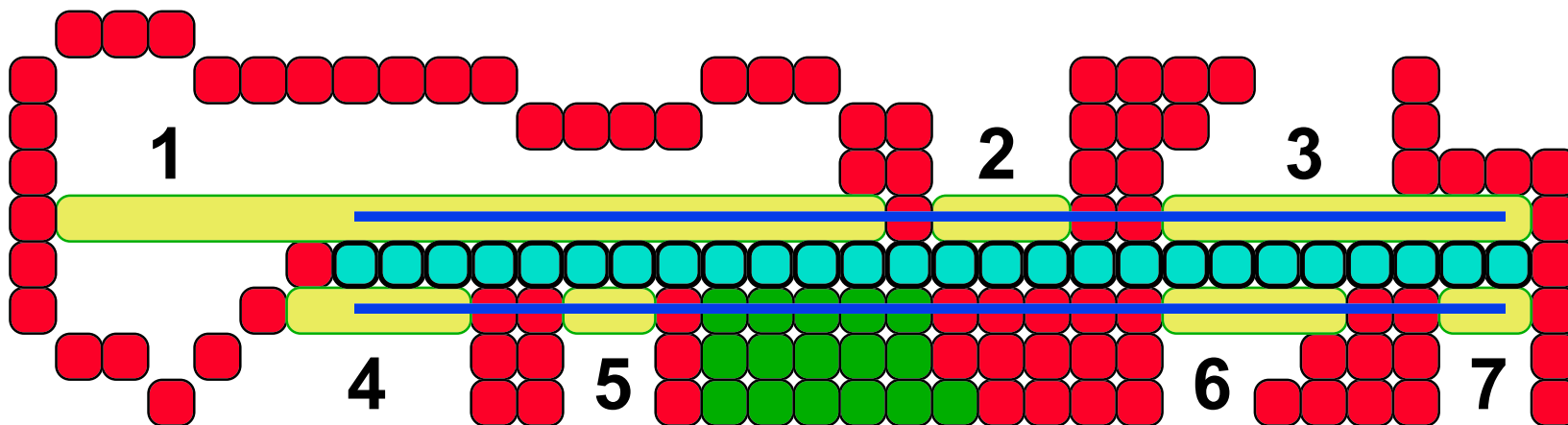
Řádkové vyplňování

```
procedure LineFloodFill4 ( x, y, oldc, newc : integer );
    { záplavová 4-souvislá varianta, oldc <> newc }
var S : Stack;           { položka: [Xmin,Xmax,y] }
    Xmin, Xmax : integer; { meze na aktuální řádce }

procedure Search ( Xmin, Xmax, y : integer );
var Xm : integer;
begin      { najde všechna pokračování v daném úseku řádky }
    while GetPixel(Xmin-1,y) = oldc do Dec(Xmin);
    repeat      { zkouším [Xmin,y] }
        Xm := Xmin;          { hledám pravý konec úseku: }
        while GetPixel(Xm+1,y) = oldc do Inc(Xm);
        S.Push(Xmin,Xm,y);
        Xmin := Xm+2;         { hledám následující úsek: }
        while (Xmin <= Xmax) and (GetPixel(Xmin,y) <> oldc) do
            Inc(Xmin);
        until Xmin > Xmax;
end;
```

...

Hledání následníků:



■ hranice

■ dříve vyplněné pixely

■ naposledy vyplněné pixely

— prohledávané řádky

1-7 ■ nové položky na zásobníku

Řádkové vyplňování

...

```
begin
    S.Init; Search(x,x,y); { první bod (semínko) }
repeat
    S.Pop(Xmin,Xmax,y);
    if GetPixel(Xmin,y) = oldc then
        begin { úsek ještě nebyl vyplněn }
            Line(Xmin,y,Xmax,y,newc);
            Search(Xmin,Xmax,y-1);
            Search(Xmin,Xmax,y+1);
        end;
    until S.Empty;
end;
```

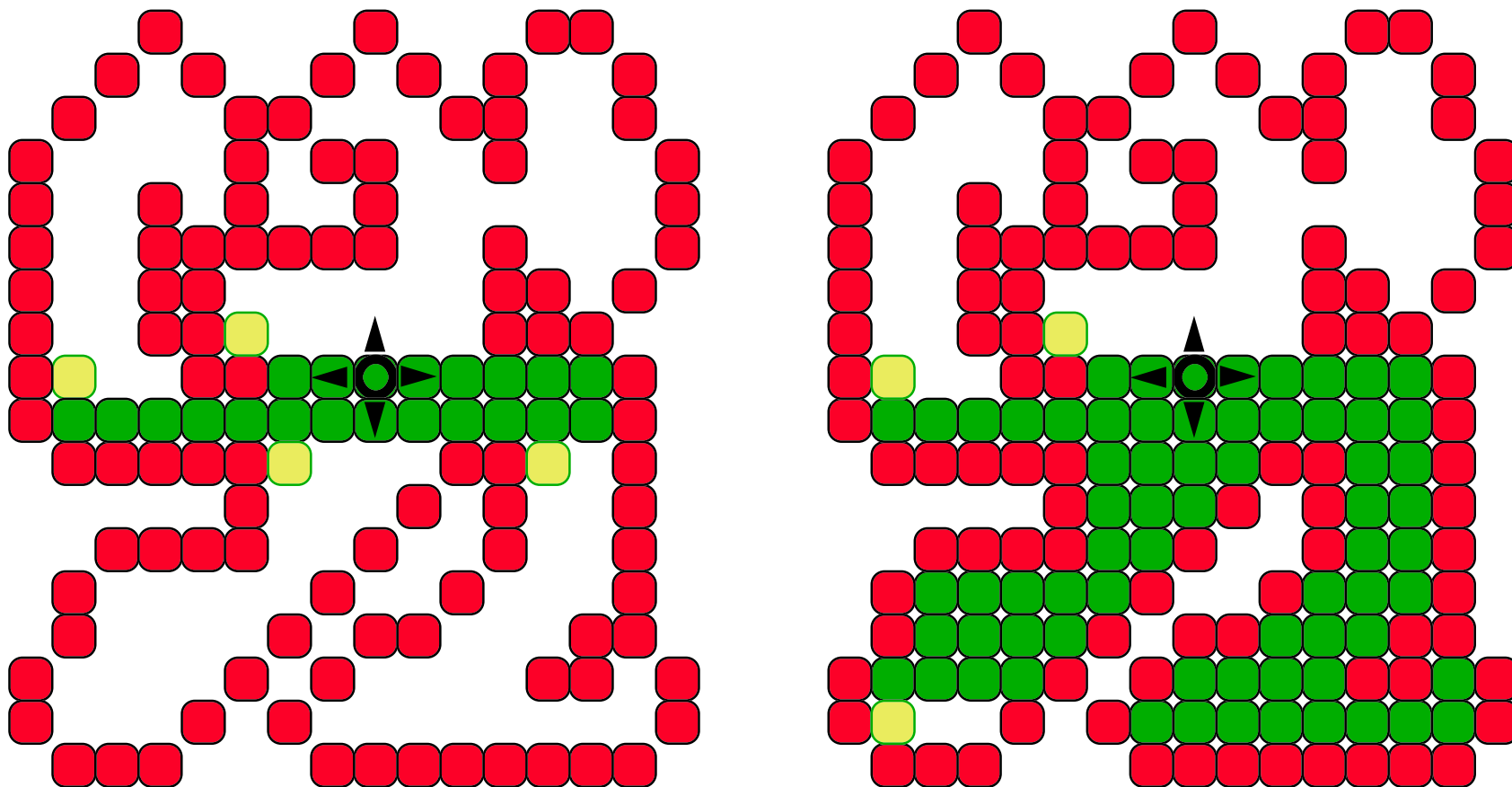
hraniční varianta:

(GetPixel(Xmin,y) <> boundc)
and (GetPixel(Xmin,y) <> newc)

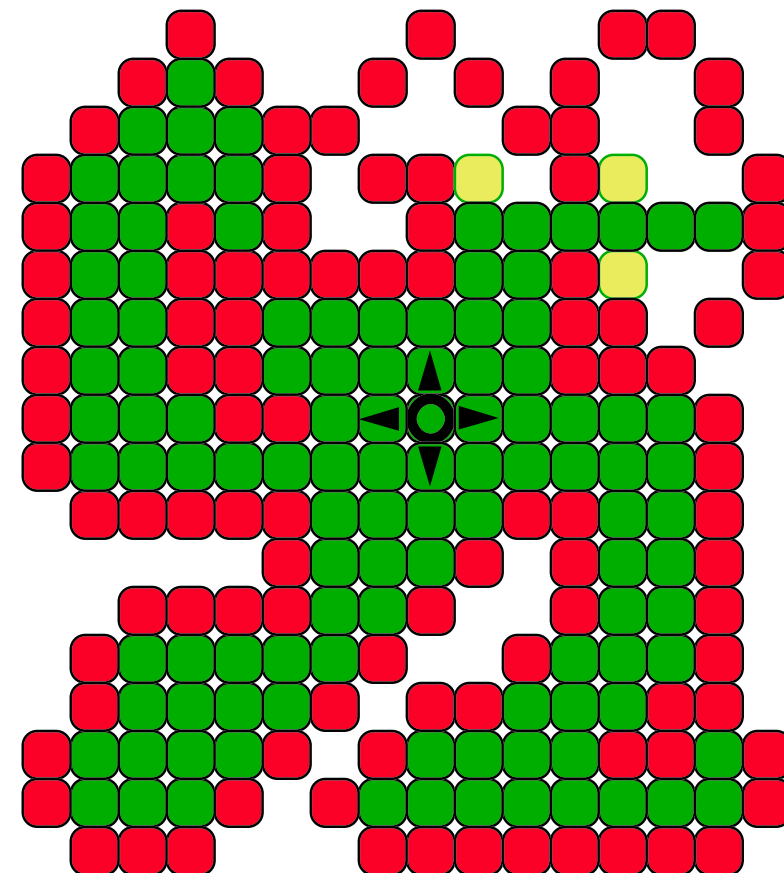
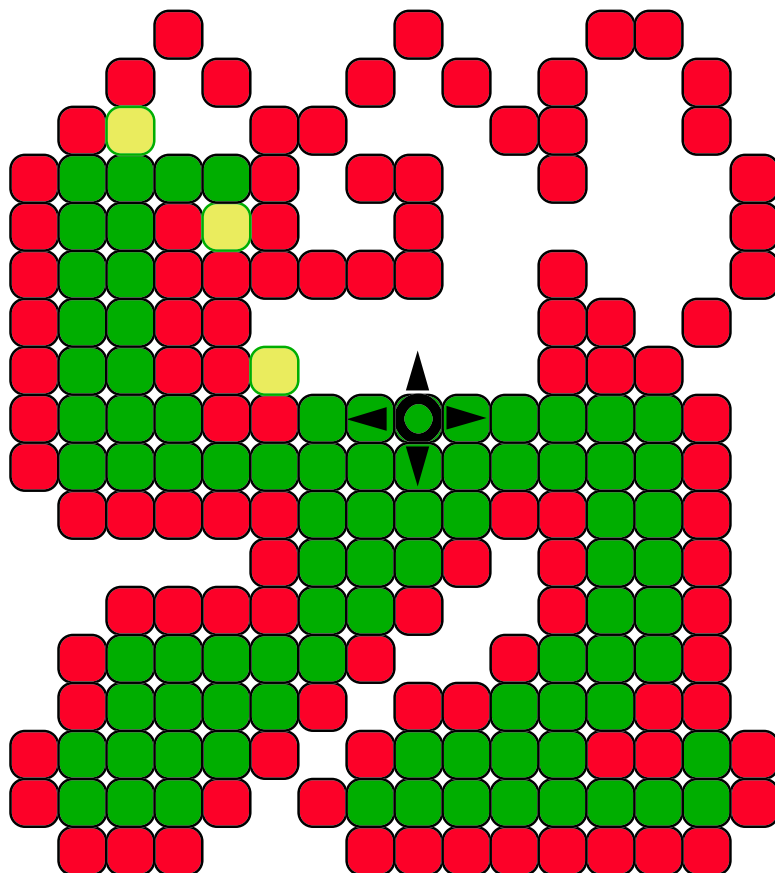
8-souvislé vyplňování:

Search(Xmin-1,Xmax+1,*)

Postup vyplňování:



Postup vyplňování:



Výhody řádkového algoritmu

- + **menší spotřeba paměti**

- zásobník v běžných případech roste jen pomalu

- + **větší rychlosť**

- úspornější přístup do VideoRAM po řádkách

- ◆ **zásobník versus fronta:**

- při použití zásobníku je postup vyplňování lokální
 - výhodné při přepínání stránek VideoRAM

Konec

Další informace:

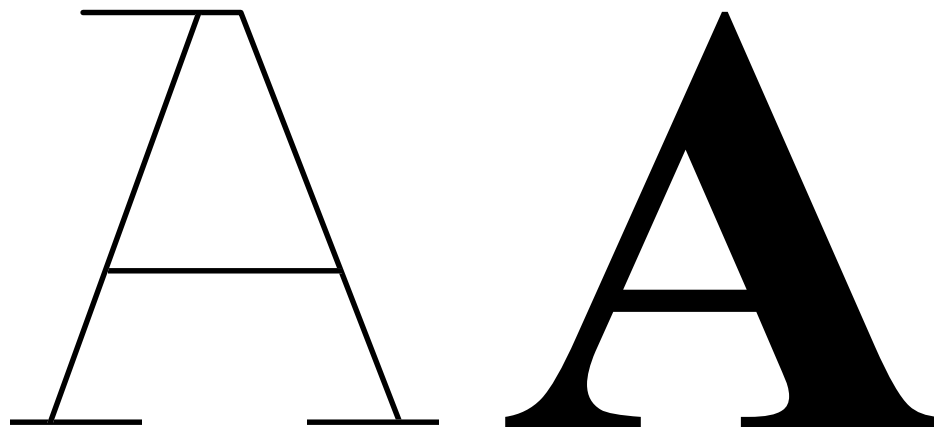
- J. Foley, A. van Dam, S. Feiner, J. Hughes:
Computer Graphics, Principles and Practice,
979-982
- Jiří Žára a kol.: *Počítačová grafika*, principy
a algoritmy, 142-147
- ➔ LAN na Malé Straně:
 - **barbora\usr:\vyuka\pelikan\2**

Kreslení písma

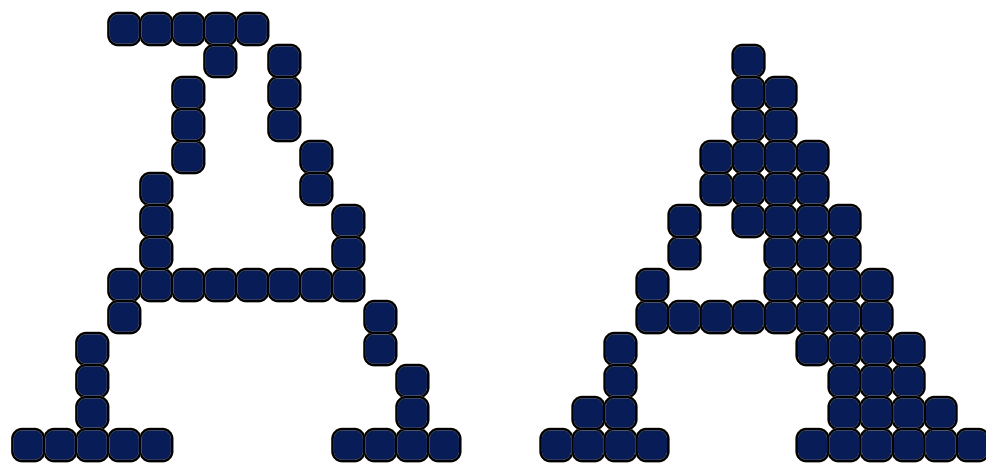
**© 1995-2001 Josef Pelikán
KSVI MFF UK Praha**

e-mail: Josef.Pelikan@mff.cuni.cz
WWW: <http://cgg.ms.mff.cuni.cz/~pepca/>

Definice písma



vektorové písmo
(čárové a vyplněné)



rastrové písmo

Definice písma

◆ **vektorové písmo:**

- obrysy písmen jsou zadány pomocí úseček, oblouků kružnic a elips nebo spline křivek
- před kreselním se musí převést do **rastrové podoby**
- lze jej snadno **škálovat** (neprofesionálně) a **otáčet**

◆ **rastrové písmo:**

- písmena jsou zadána **bitovou maticí** (“bitmapou”) pro každou velikost písma
- snadno se kreslí (HW “BitBlt” operace)

“Font cache”

- ◆ převod vektorového písma do rastrové podoby je časově náročný
 - jednotlivá písmena se v textu mnohokrát opakují
 - rastrová podoba písmen se ukládá do “font cache”
- ◆ prvek “font cache”:
 - druh písma (font), velikost (v pt), orientace, kód písmene, velikost rastrového obrazu (v pixelech)
 - “bitmapa” nebo odkaz do společného bitového pole

Použití “font cache”

- ◆ je-li potřeba nakreslit konkrétní písmeno X, podívám se nejprve do cache
 - pro rychlé vyhledávání mohu použít **hašování**
 - jestliže jsem písmeno našel, nakreslím ho pomocí operace “BitBlt”
- ◆ neúspěch při hledání ve “font cache”:
 - písmeno musím převést do rastrové podoby, přidám ho do “cache”
 - z “cache” odstraňuji **nejdéle nepoužívané položky**

Konec

Další informace:

- J. Foley, A. van Dam, S. Feiner, J. Hughes:
Computer Graphics, Principles and Practice,
127-131, 976-979
- Jiří Žára a kol.: *Počítačová grafika*, principy
a algoritmy, 119-126

Vyhľazování ("anti-aliasing")

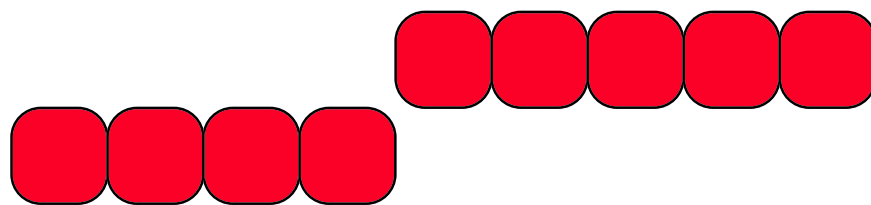
**© 1995-2001 Josef Pelikán
KSVI MFF UK Praha**

e-mail: Josef.Pelikan@mff.cuni.cz
WWW: <http://cgg.ms.mff.cuni.cz/~pepca/>

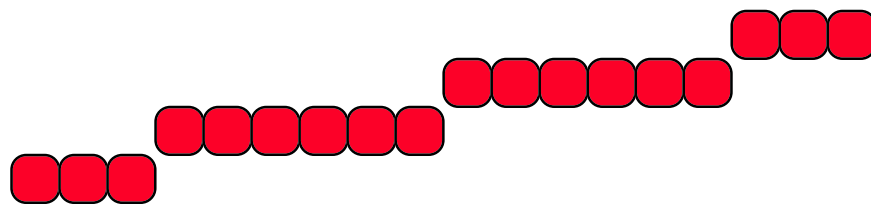
Úsečky na rastrovém zařízení



ideální úsečka

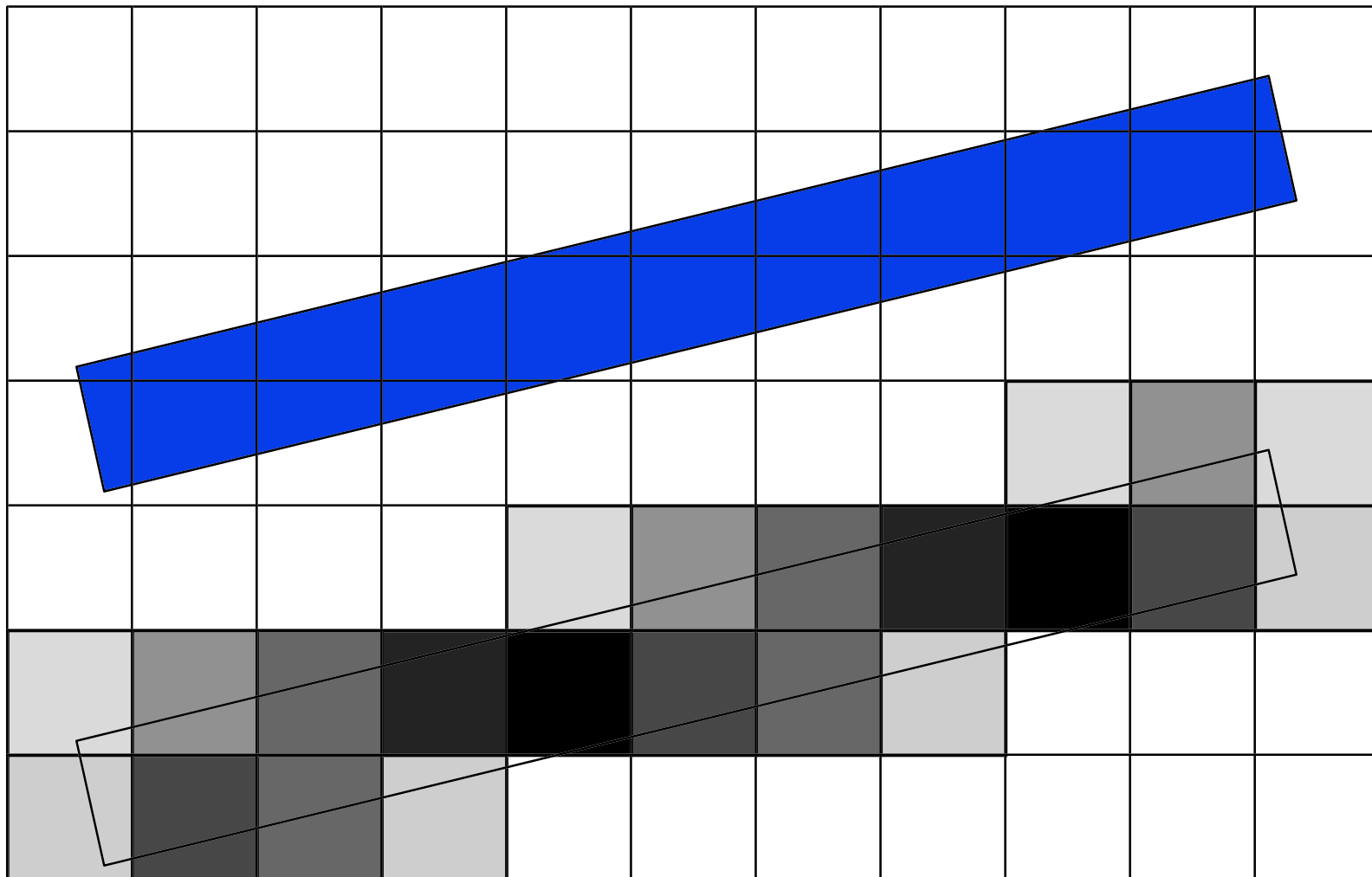


rastrová kresba

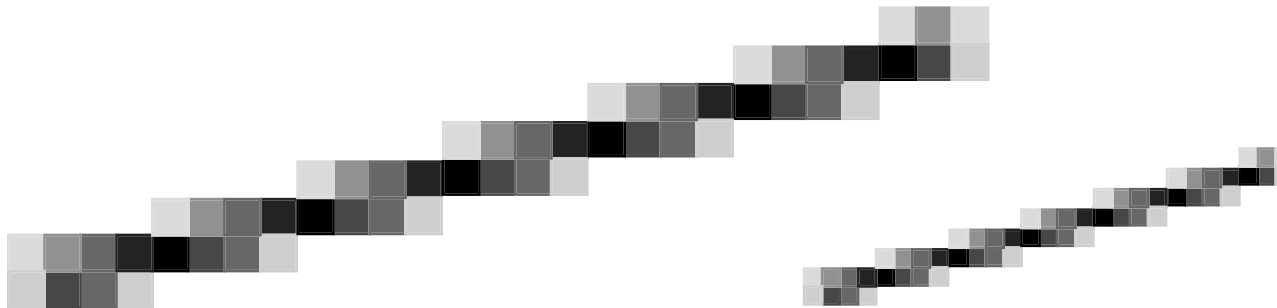


dvakrát větší
rozlišení

Pokrytí plochy pixelu

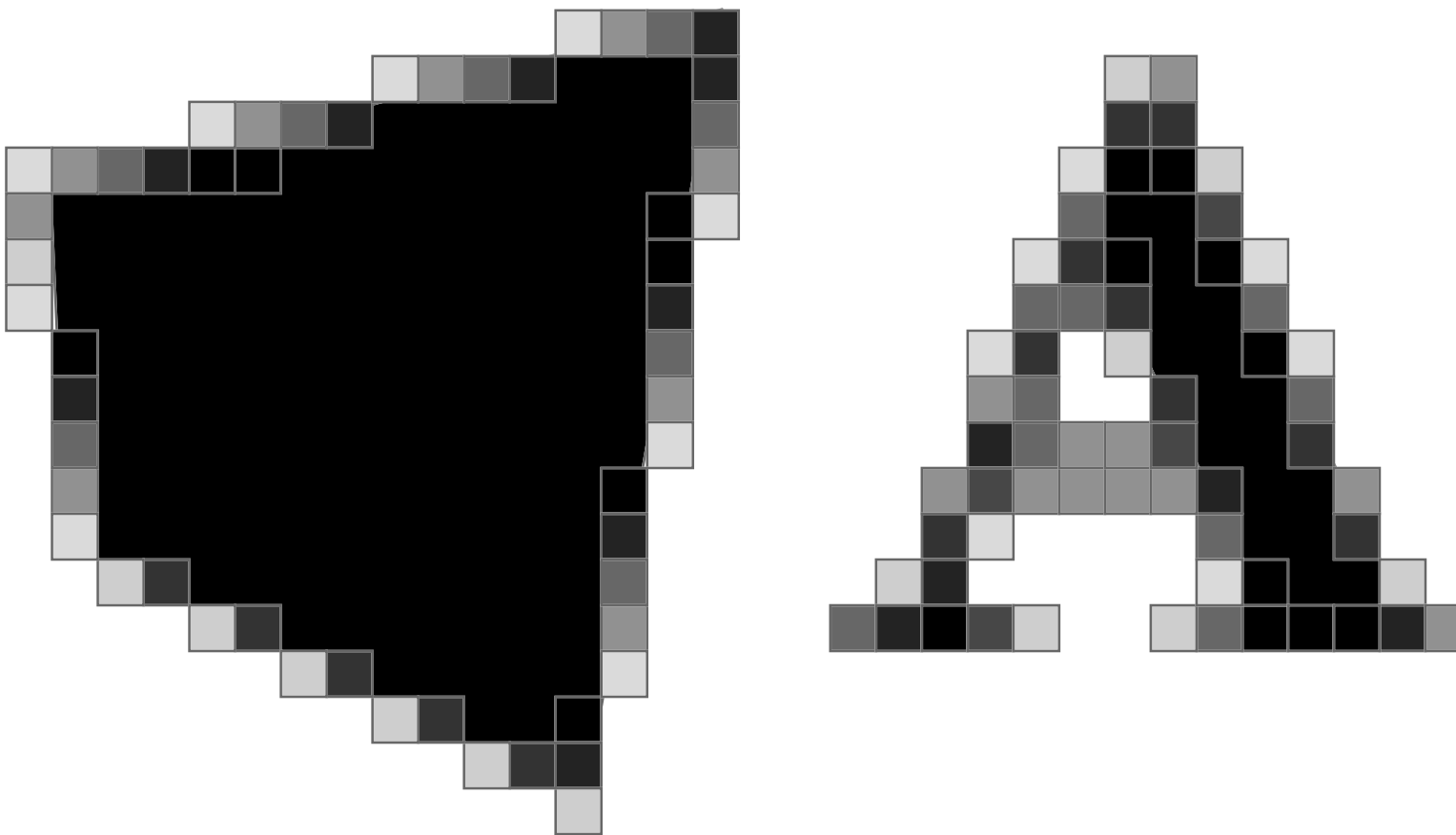


Pokrytí plochy pixelu



- ◆ ke kreslení použiji **více odstínů** dané barvy
 - zvětším prostorové rozlišení na úkor barevného
- ◆ pixely i kreslené objekty jsou **plošné útvary**
- ◆ každý pixel rozsvítím intenzitou úměrnou **ploše jeho pokryté části**

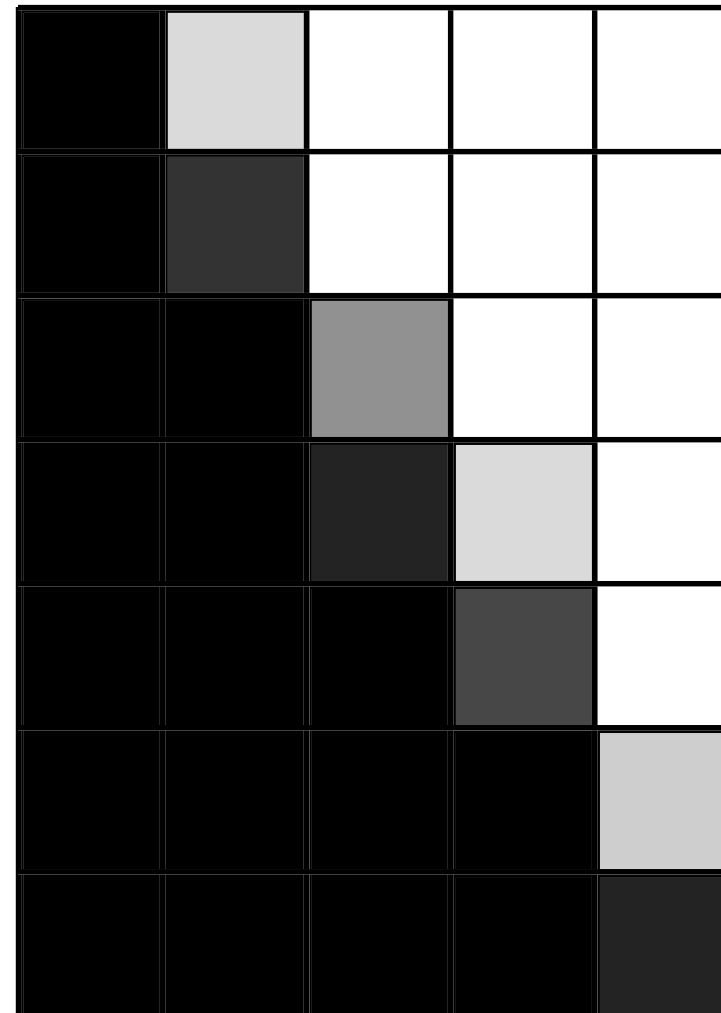
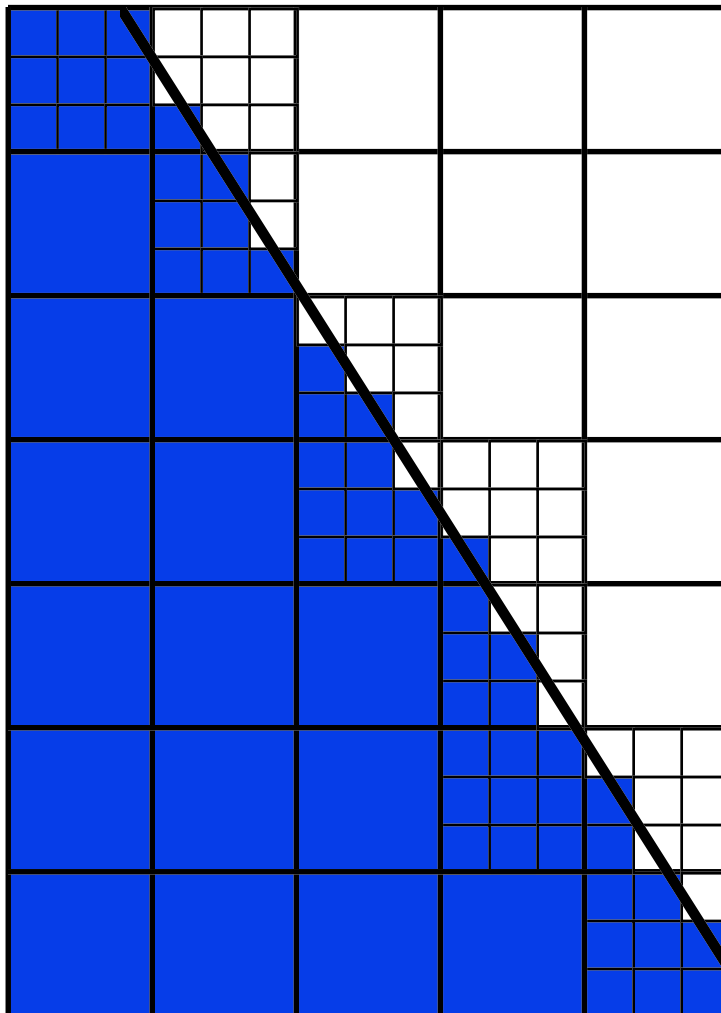
N-úhelníky a text:



Kreslení s vylazováním

- ◆ **úsečka:** kreslím vždy oba pixely, mezi kterými úsečka prochází
 - intenzitu určím podle vzdálenosti středu pixelu od úsečky (desetinná část y v DDA, člen **D** v Bresenhamově algoritmu)
- ◆ **n-úhelník:** kreslím všechny pixely, do jejichž plochy n-úhelník zasahuje
 - intenzitu okrajových pixelů spočítám opět podle vzdálenosti (desetinná část y, **D**)

Vícenásobné vzorkování ("supersampling")



Vícenásobné vzorkování

- ◆ objekt nakreslím do bufferu **ve větším rozlišení** (při zvětšení např. $2\times$ až $4\times$)
 - každý pixel se rozloží na “subpixely”
- ◆ **barevný odstín** skutečně kresleného pixelu určím jako aritmetický průměr odstínů jeho subpixelů
 - někdy se používá **vážený průměr** (subpixely ležící ve středu pixelu mají větší váhu)

Konec

Další informace:

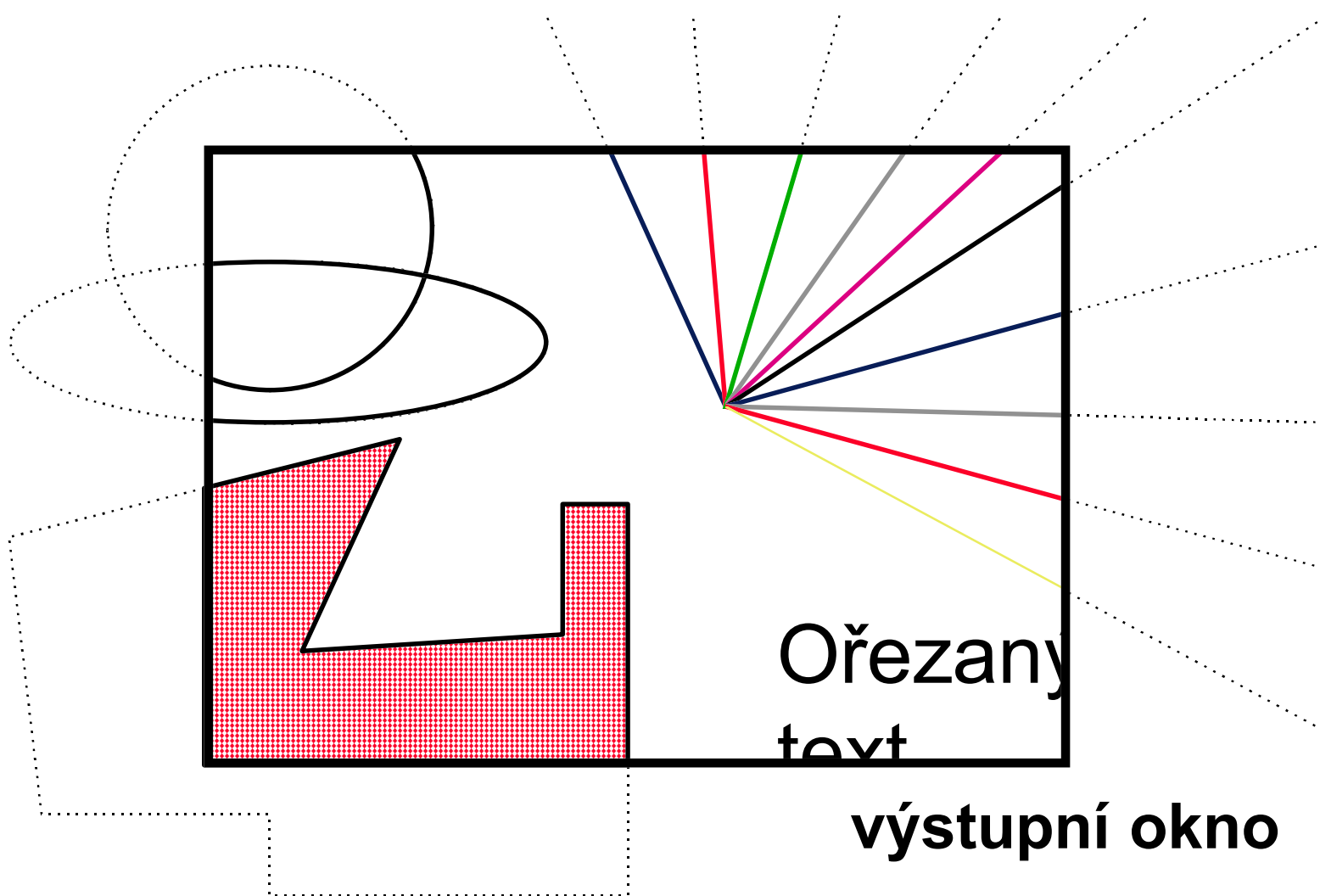
- J. Foley, A. van Dam, S. Feiner, J. Hughes:
Computer Graphics, Principles and Practice,
132-140
- Jiří Žára a kol.: *Počítačová grafika*, principy
a algoritmy, 100-101, 147-151
- ➔ LAN na Malé Straně:
 - **barbora\usr:\vyuka\pelikan\2**

Ořezávání v rovině

© 1995-2001 Josef Pelikán
KSVI MFF UK Praha

e-mail: Josef.Pelikan@mff.cuni.cz
WWW: <http://cgg.ms.mff.cuni.cz/~pepca/>

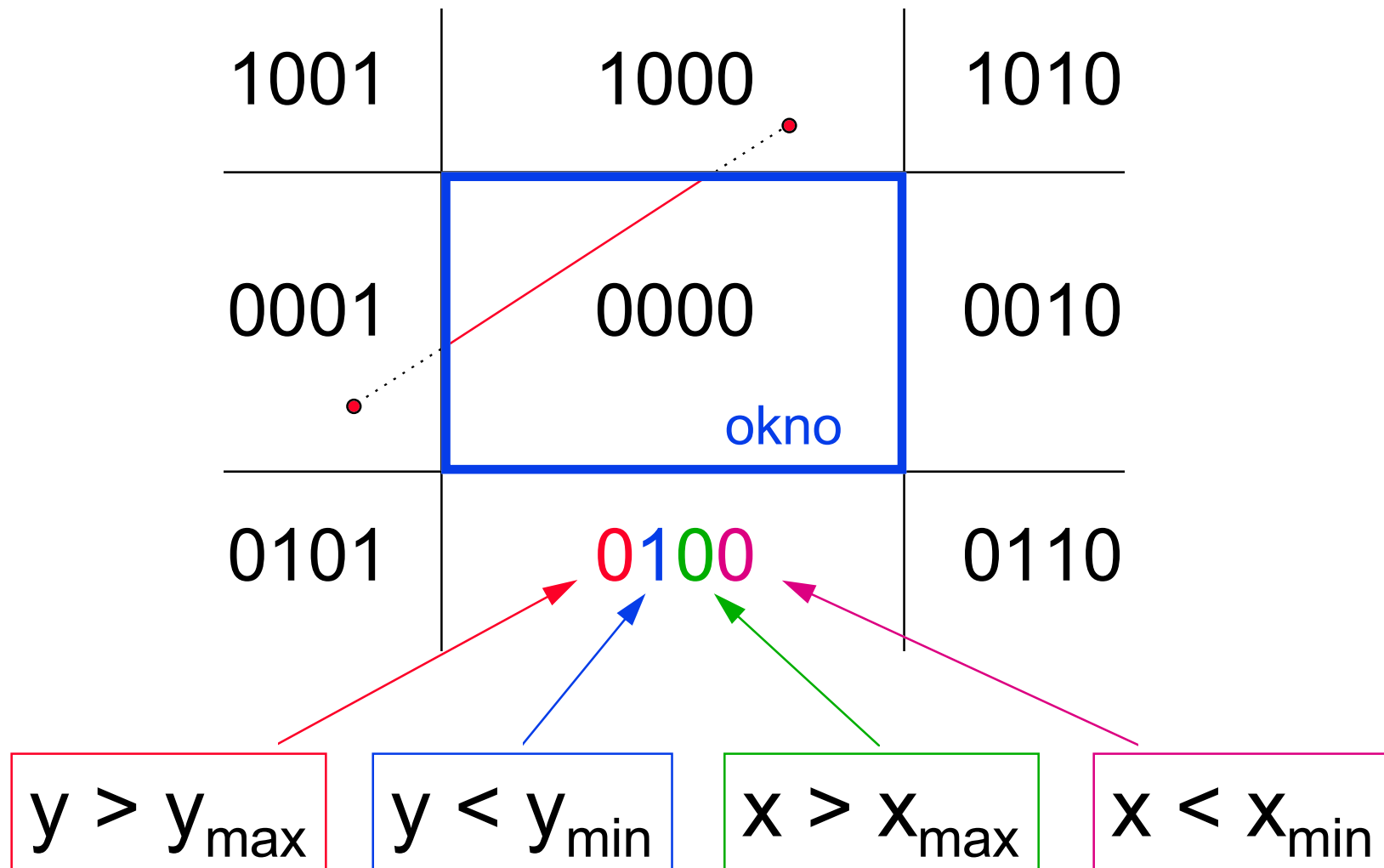
2D ořezávání



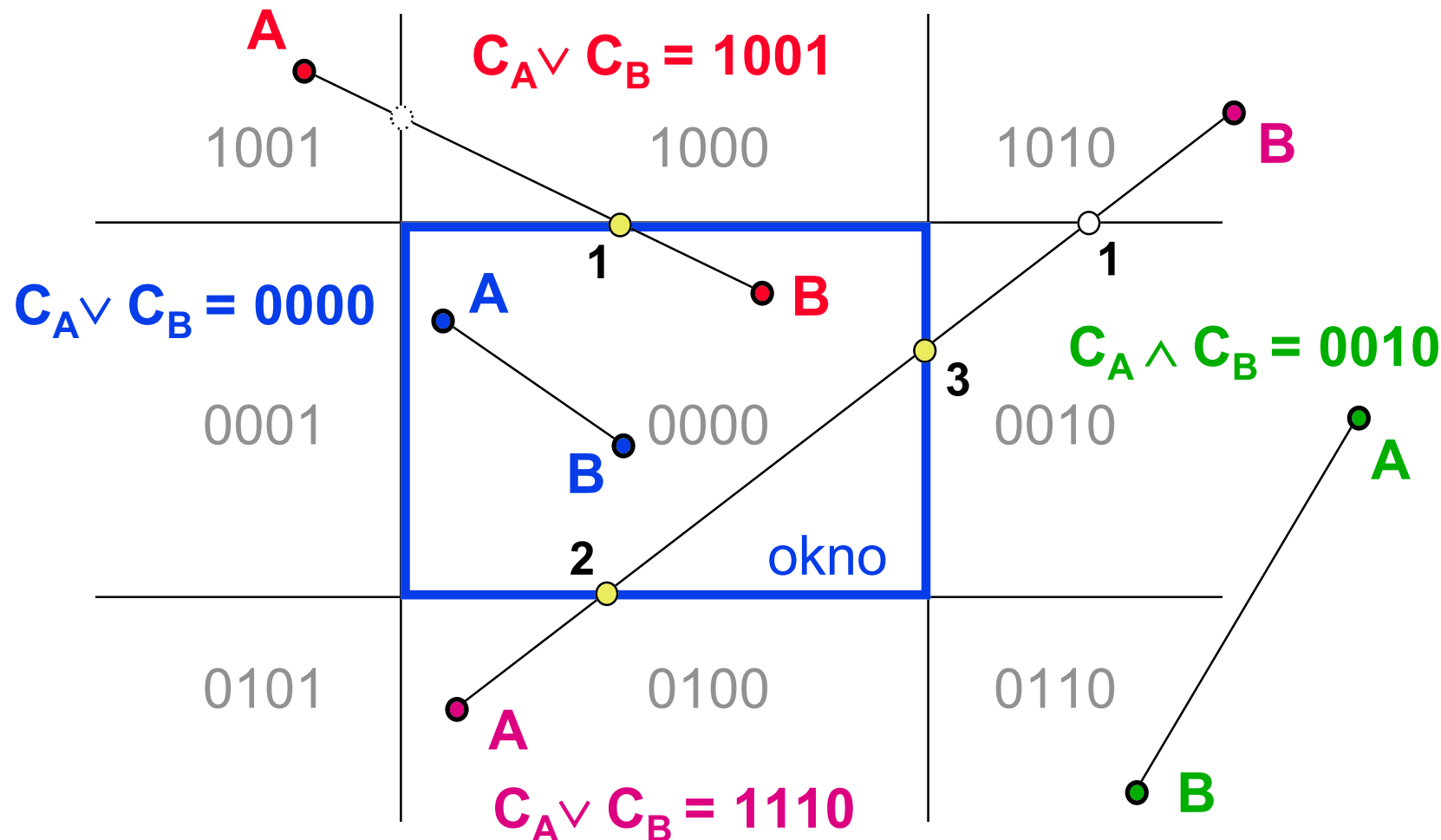
Ořezávání úseček

- přepočítávají se **koncové body** úseček:
 - $[x_1, y_1] - [x_2, y_2] \rightarrow [x_A, y_A] - [x_B, y_B]$ nebo \emptyset
- běžně jsou x_A, y_A, x_B, y_B v **celočíselném** formátu
 - nepřesnosti v kresbě
- **racionální** souřadnice jsou nepraktické
 - algoritmus kreslení úsečky mívá celočíselný vstup
- nejlepší by bylo spočítat **mezivýsledky** algoritmu na kreslení úsečky (Bresenham)

Kódy oblastí (Cohen-Sutherland)



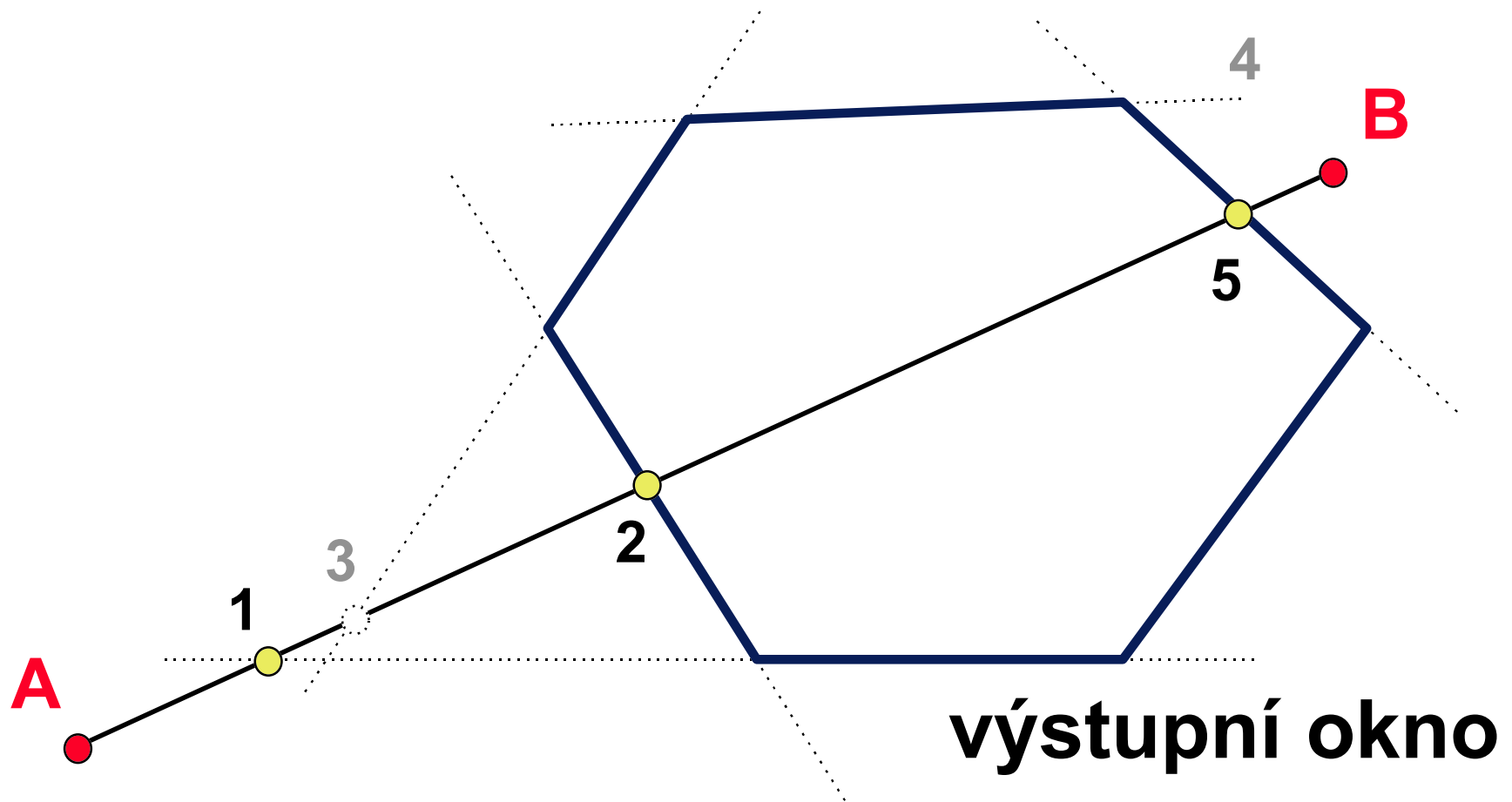
Cohen-Sutherland



Cohen-Sutherland

- ① spočítám kódy koncových bodů C_A, C_B
- ② je-li $C_A \vee C_B = 0$, celá úsečka leží **uvnitř okna**
- ③ je-li $C_A \wedge C_B \neq 0$, celá úsečka leží **mimo okno**
- ④ pro každou jedničku v $C_A \vee C_B$ postupně úsečku ořezávám - např. pro Y_{\max} počítám:
 - $X := X_A + (X_B - X_A) * (Y_{\max} - Y_A) / (Y_B - Y_A)$
 - $Y := Y_{\max}$
 - (A nebo B) := [X, Y], opravím kód C_A nebo C_B

Okno = konvexní n-úhelník



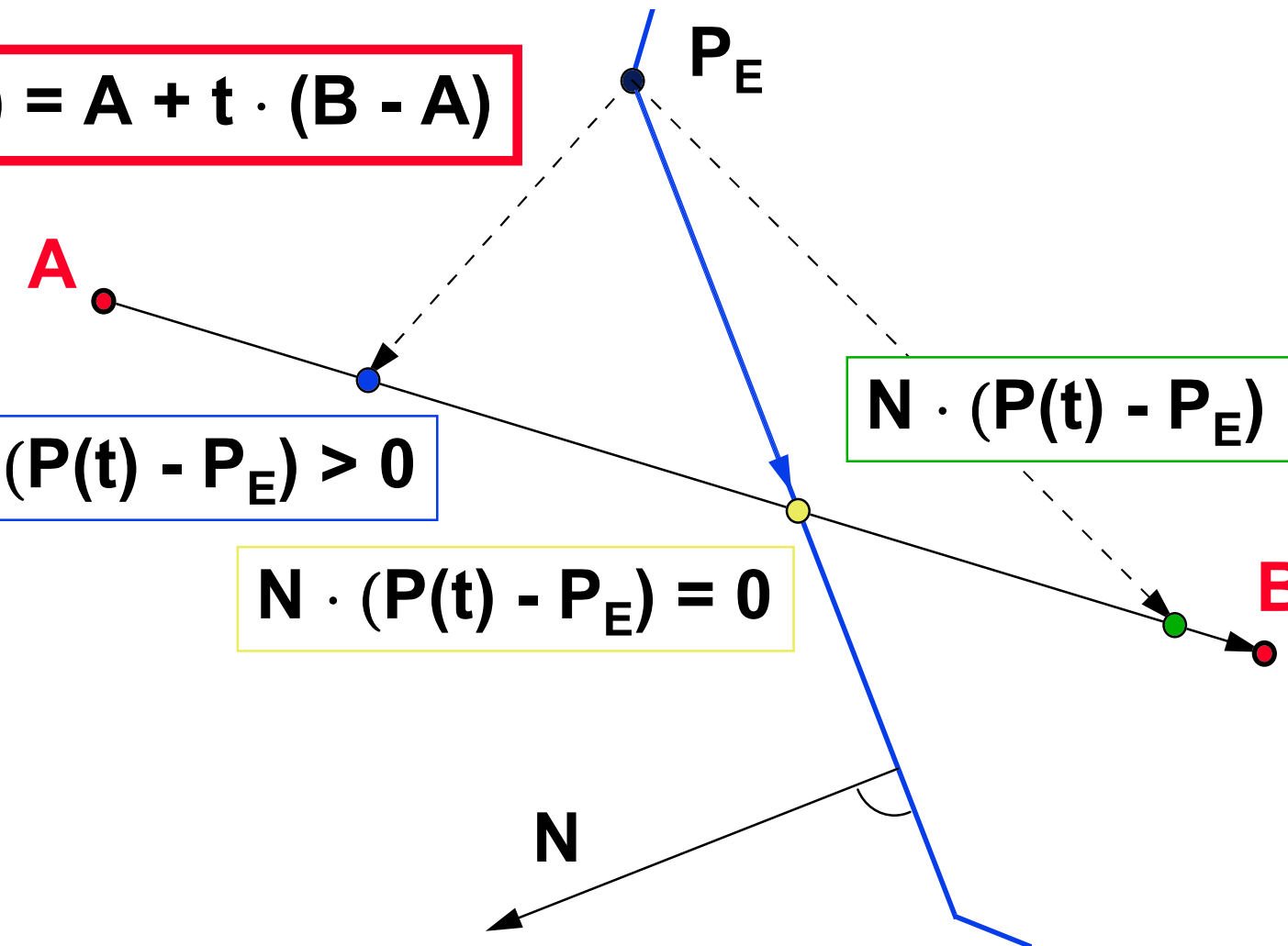
Parametrické ořezávání (Cyrus-Beck)

$$P(t) = A + t \cdot (B - A)$$

$$N \cdot (P(t) - P_E) > 0$$

$$N \cdot (P(t) - P_E) < 0$$

$$N \cdot (P(t) - P_E) = 0$$



Výpočet průsečíku:

$$\mathbf{N} \cdot (\mathbf{P}(t_0) - \mathbf{P}_E) = 0$$

$$\mathbf{N} \cdot [\mathbf{A} + t_0 \cdot (\mathbf{B} - \mathbf{A}) - \mathbf{P}_E] = 0$$

$$t_0 = -\frac{\mathbf{N} \cdot (\mathbf{A} - \mathbf{P}_E)}{\mathbf{N} \cdot (\mathbf{B} - \mathbf{A})}$$

$\mathbf{N} \cdot (\mathbf{B} - \mathbf{A}) = 0 \Rightarrow$ úsečka je rovnoběžná s hranicí

$\mathbf{N} \cdot (\mathbf{B} - \mathbf{A}) < 0 \Rightarrow$ úsečka míří dovnitř okna

$\mathbf{N} \cdot (\mathbf{B} - \mathbf{A}) > 0 \Rightarrow$ úsečka míří ven z okna

Cyrus-Beck

① $t_{\min} := 0.0; t_{\max} := 1.0$

② dokud $t_{\min} < t_{\max}$, opakuji pro každou hraniční přímku kroky ③ a ④ [pak spočtu $P(t_{\min})$ a $P(t_{\max})$]

③ je-li $N \cdot (B - A) = 0$, celá úsečka leží v jedné polorovině (rozhodnu podle znaménka $N \cdot (A - P_E)$)

④ jinak spočítám t_0 a podle znaménka $N \cdot (B - A)$ opravím t_{\min} nebo t_{\max} :

$$t_{\min} := \max\{ t_{\min}, t_0 \} \text{ nebo } t_{\max} := \min\{ t_{\max}, t_0 \}$$

Liang-Barsky

→ efektivní úprava parametrického algoritmu pro
obdélníkové okno

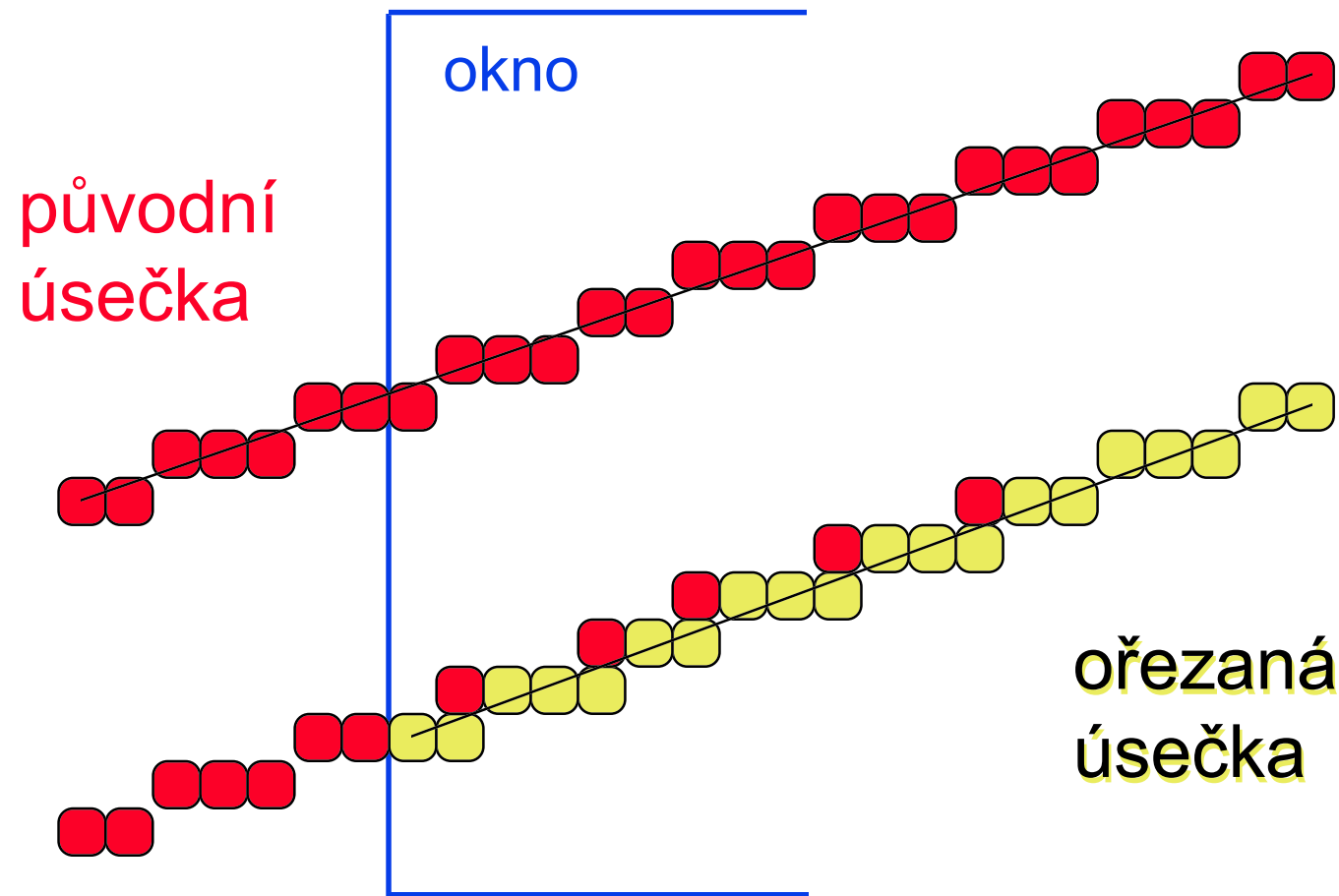
- původní algoritmus Cyrus-Beck počítá s obecným konvexním n-úhelníkem
- normálové vektory jsou triviální ($[1,0]$, $[0,-1]$, ...)
- maximálně: 8 add/sub , 14 cmp , 4 div, 4 mul

+ **Cohen-Sutherland**: většina případů je triviálních

+ **Liang-Barsky**: většina úseček se ořezává

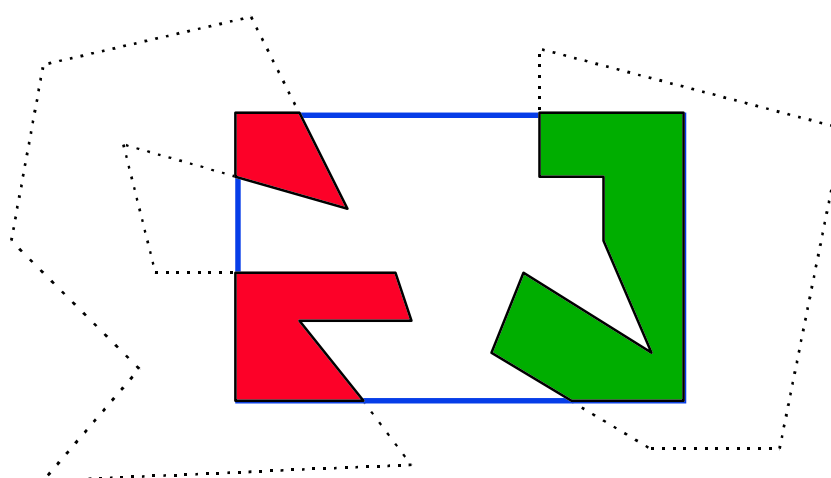
- čím více se ořezává, tím je výhodnější než C-S

Zaokrouhlovací chyby

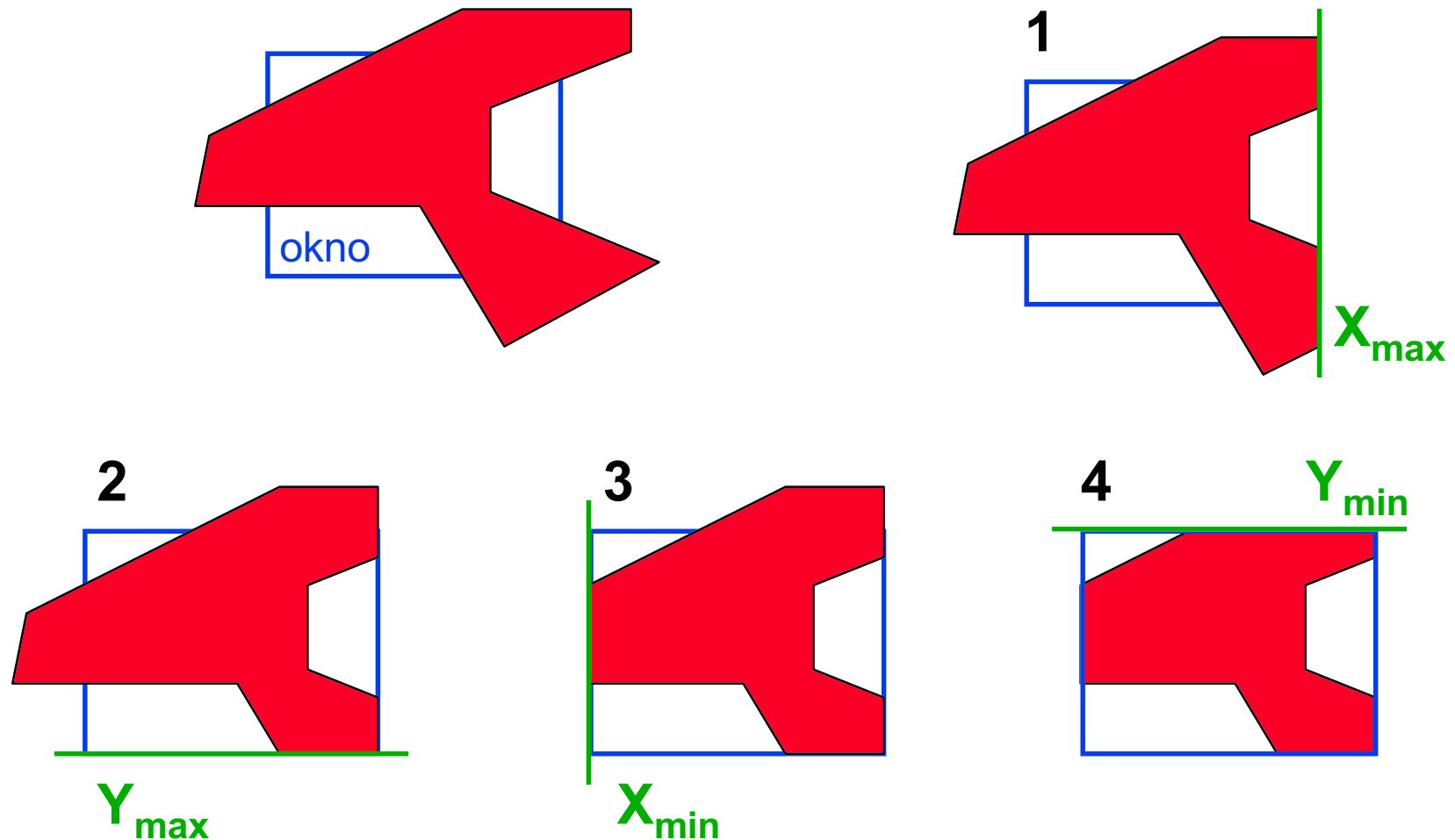


Ořezávání n-úhelníků

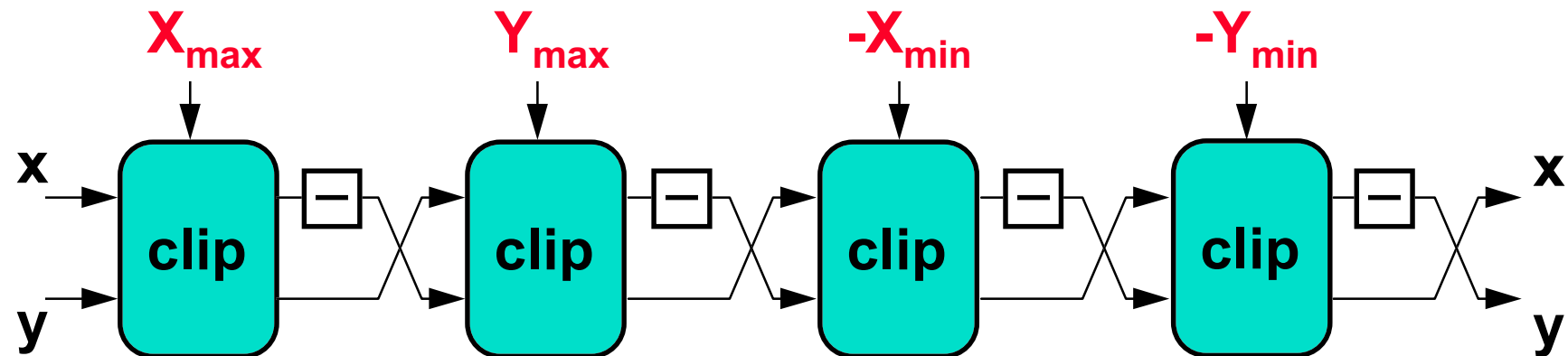
- jestliže chceme kreslit pouze **obrys** n-úhelníku, pak stačí ořezávat hrany samostatně jako úsečky
- chceme-li vybarvovat vnitřek n-úhelníku, musíme ho oříznout speciálním algoritmem:



Proudové ořezávání (Sutherland-Hodgman)



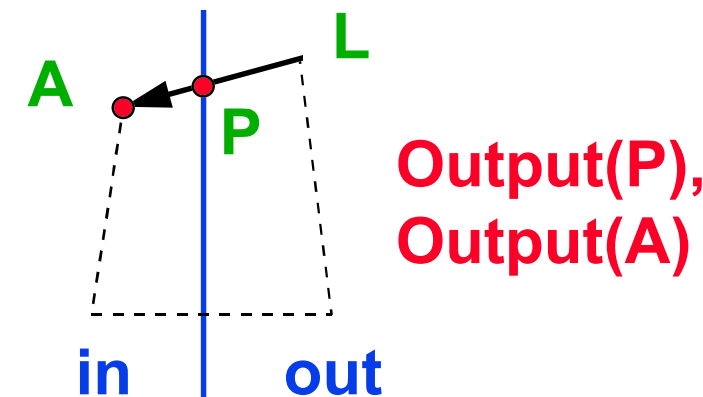
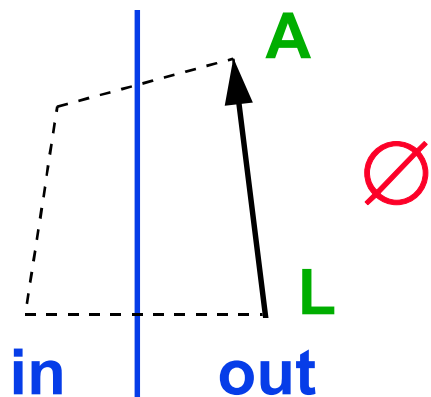
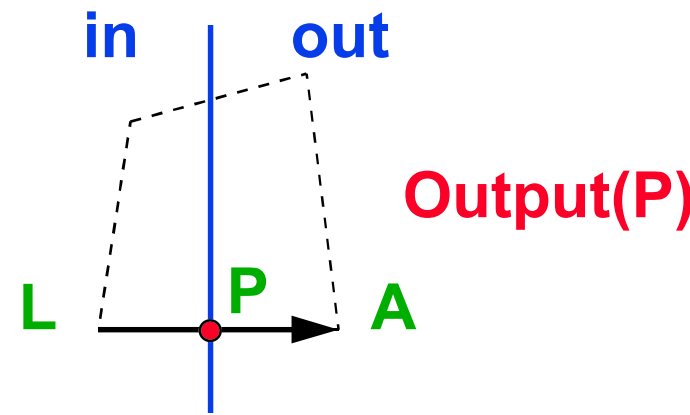
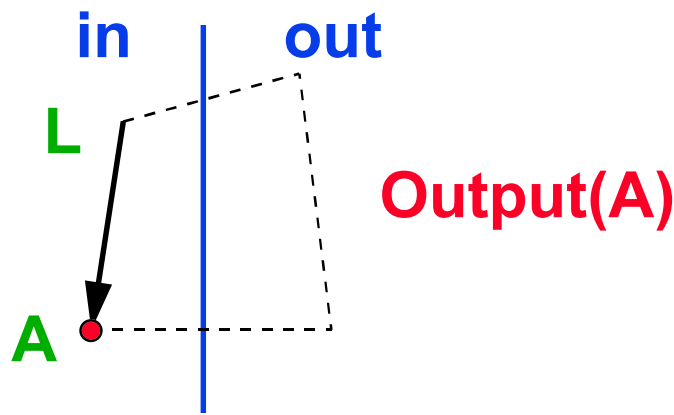
Sutherland-Hodgman (HW)



- modul “**clip**” ořízne n-úhelník podle hranice $x=X_{\max}$
- mezi jednotlivými moduly se souřadnice **otáčejí** o 90°

Modul “clip”:

- ◆ pamatuje si poslední dva vrcholy L a A



Konec

Další informace:

- J. Foley, A. van Dam, S. Feiner, J. Hughes:
Computer Graphics, Principles and Practice,
111-127
- Jiří Žára a kol.: *Počítačová grafika*, principy
a algoritmy, 153-168
- ➔ LAN na Malé Straně:
 - **barbora\usr:\vyuka\pelikan\3**

Monochromatické zobrazování

**© 1995-2001 Josef Pelikán
KSVI MFF UK Praha**

e-mail: Josef.Pelikan@mff.cuni.cz
WWW: <http://cgg.ms.mff.cuni.cz/~pepca/>

Vnímání šedých odstínů

- ◆ šedý odstín má jediný **atribut**
 - **intenzita** (fyzikální smysl, vyzařovaná energie)
 - **jas** (subjektivní vjem člověka)
- vztah mezi intenzitou a jasem **není lineární**
 - člověk vnímá intenzity **relativně**
 - pro rovnoměrně odstupňované jasové odstíny je třeba použít **logaritmickou stupnici** intenzit
 - minimální zobrazitelná intenzita: $I_0 = 0.005 \div 0.025$, ostatní intenzity $I_j = I_0 * r^j$ ($r \approx 1.015$ pro 256 odstínů)

Gamma korekce

- ◆ intenzita světla vyzařovaného stínítkem monitoru **nezávisí lineárně** na hodnotě napětí přiváděného do monitoru
 - $I = K \cdot V^\gamma$, kde **I je intenzita světla, V hodnota pixelu a K, γ konstanty závislé na typu monitoru** (exponent γ má typickou hodnotu **2.2 ÷ 2.5**)
 - požadovaná hodnota pixelu $V_j = (I_j/K)^{1/\gamma}$
- “**gamma-korekce**” se často provádí už při digitalizaci obrázku (přepočet jen při změně monitoru)

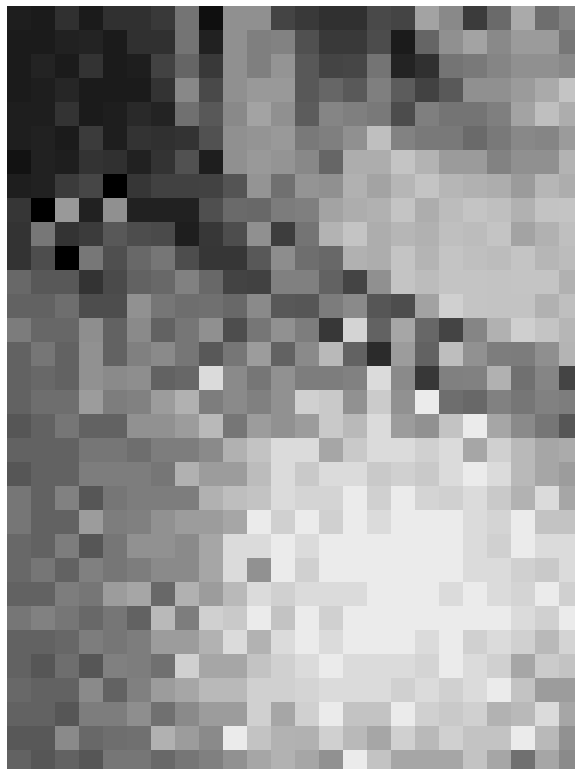
Počet odstínů šedi

- ◆ počet potřebných zobrazovacích odstínů n závisí na dynamickém rozsahu výstupního zařízení (předpokládáme $r = 1.01$):

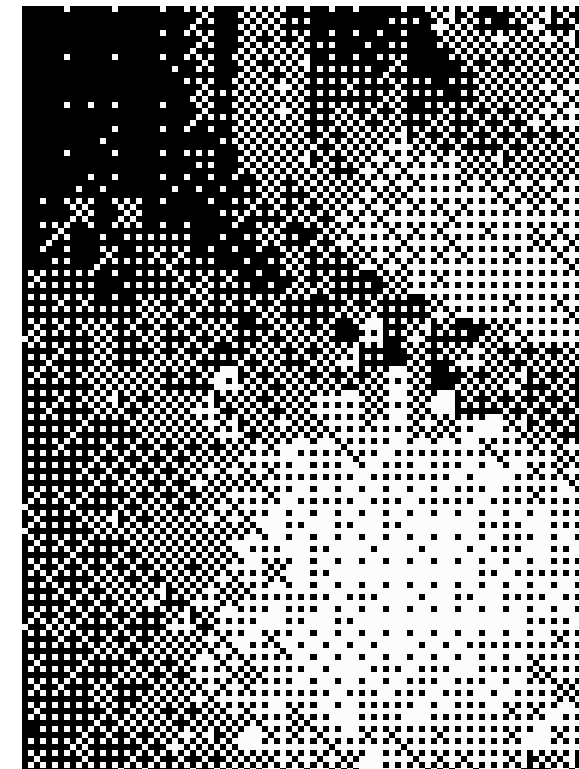
zařízení	dynamika ($1/I_0$)	n
displej	50-200	400-530
fotografie	100	465
diapozitiv	1000	700
černobílý tisk	100	465
barevný tisk	50	400

→ na displeji většinou postačí **64 ÷ 256** úrovní šedi

Půltónování a rozptylování



odstíny šedi



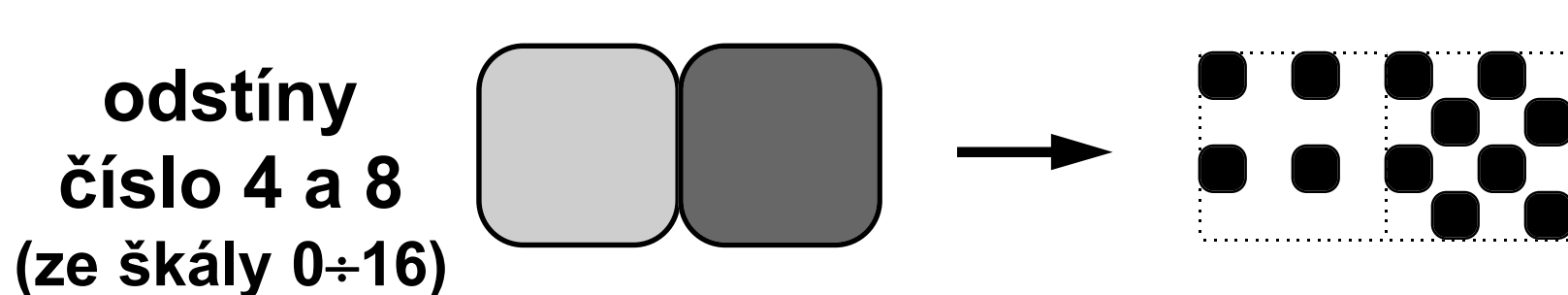
**černobílé výstupní
zařízení**

Půltónování a rozptylování

- ◆ napodobení vjemu šedých (barevných) odstínů na zařízení s **malým barevným rozlišením**
 - zvětšuji barevné rozlišení na úkor prostorového
 - typické použití: **černobílé tiskárny** nebo displeje
- ◆ **půltónování** (“halftoning”): na výstupu mohu zvětšit rastrové rozlišení obrázku ($1 : N$)
- ◆ **rozptylování** (“dithering”): musím zobrazovat bez zvětšování ($1 : 1$)

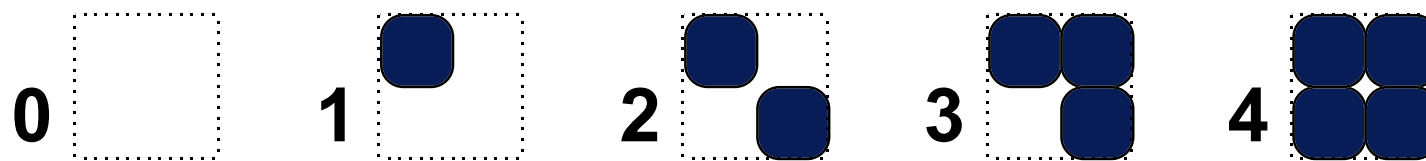
Půltónování

- ◆ situace: výstupní zařízení umí zobrazovat pouze **černé body (1)** na **bílém pozadí (0)**
- ◆ jeden vstupní pixel (s rozsahem hodnot $0 \div N^2$) nakreslím jako **čtverec $N \times N$ pixelů** na výstupu
 - výsledný vjem šedého odstínu závisí na počtu černých bodů v rastru $N \times N$

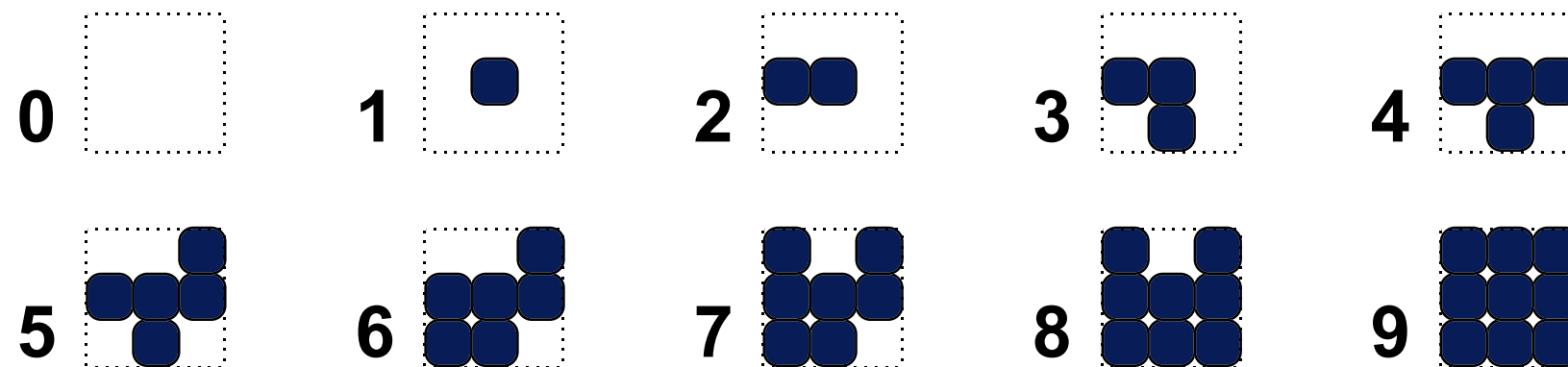


Půltónovací rastry

pravidelný rastr 2×2



rastr 3×3



Inkrementální rastry

- ◆ půltónovací rastr je **inkrementální**, jestliže:
 - vzorek odstínu k obsahuje právě k černých pixelů
 - dva sousední vzorky (k a $k+1$) se mezi sebou liší právě v jednom pixelu ($k+1$ má o jeden černý pixel více)
- inkrementální rastr lze uložit do **matice** velikosti $N \times N$ obsahující celá čísla $0 \div N^2-1$

– např. $M = \begin{matrix} 6 & 8 & 4 \\ 1 & 0 & 3 \\ 5 & 2 & 7 \end{matrix}$

Pravidelný rastr

I) velikost 2×2 : $M^{(2)} = \begin{bmatrix} 0 & 2 \\ 3 & 1 \end{bmatrix}$

II) přechod $N \times N \rightarrow 2N \times 2N$:

$$M^{(2N)} = \begin{bmatrix} 4M^{(N)} & 4M^{(N)} + 2J^{(N)} \\ 4M^{(N)} + 3J^{(N)} & 4M^{(N)} + J^{(N)} \end{bmatrix}$$

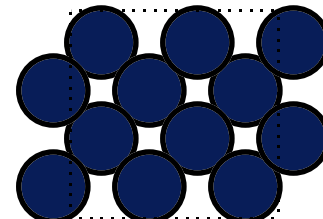
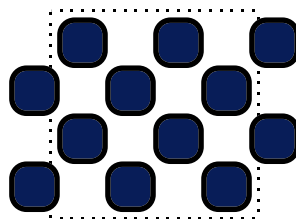
matice $J^{(N)}$ je typu $N \times N$ a obsahuje samé jedničky

Pravidelný rastr

$$M^{(4)} = \begin{bmatrix} 0 & 8 & 2 & 10 \\ 12 & 4 & 14 & 6 \\ 3 & 11 & 1 & 9 \\ 15 & 7 & 13 & 5 \end{bmatrix}$$

- ◆ body pravidelných vzorků jsou vždy rozmístěny **rovnoměrně**
- **pravidelný rastr** je vhodný pro **obrazovku** a některé tiskárny (jehličkové s malým rozlišením)

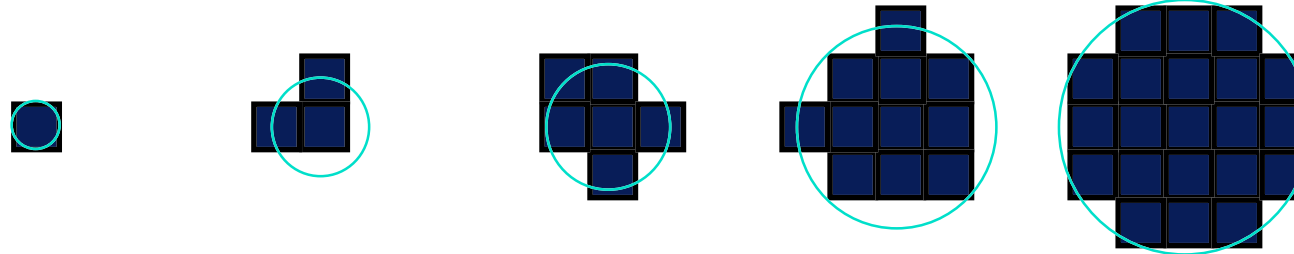
Pravidelný rastr na tiskárně



odstín 8 na obrazovce a tiskárně s velkým rozlišením

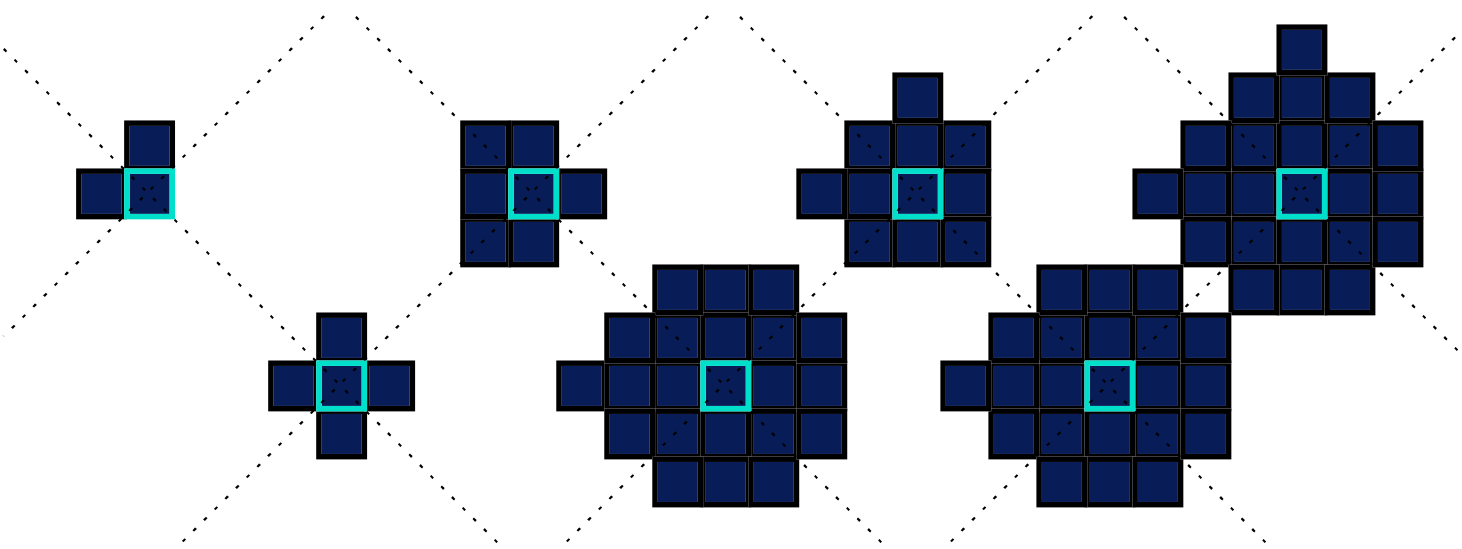
- u vyšších odstínů se sousední kapičky barvy slévají
- nižší odstíny obsahují **samostatné tečky**, které se špatně udrží na papíře

Tečkový rastr (“screen”)



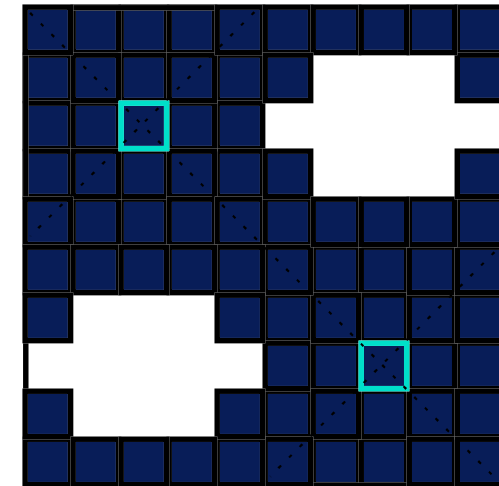
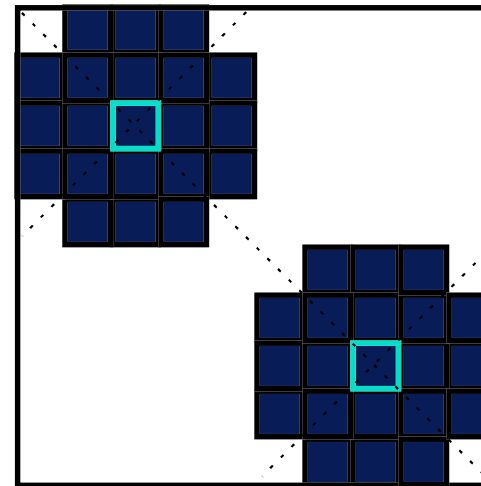
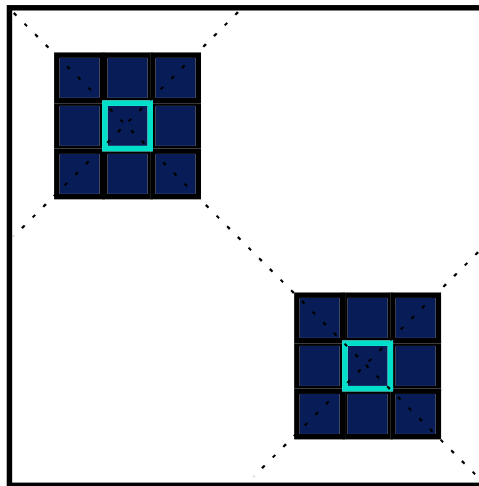
- ◆ jednotlivé vzorky jsou tvořeny **tečkami** různých poloměrů
 - netisknou se samostatné kapičky (až na odstín č.1)
 - rozpíjení kapiček způsobí pouze malou změnu poloměru teček

Tečkový rastr - otáčení



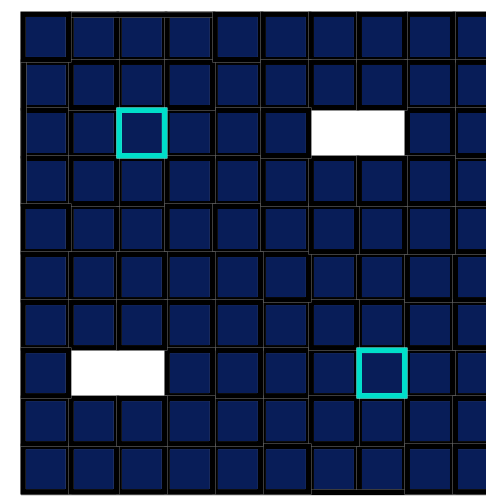
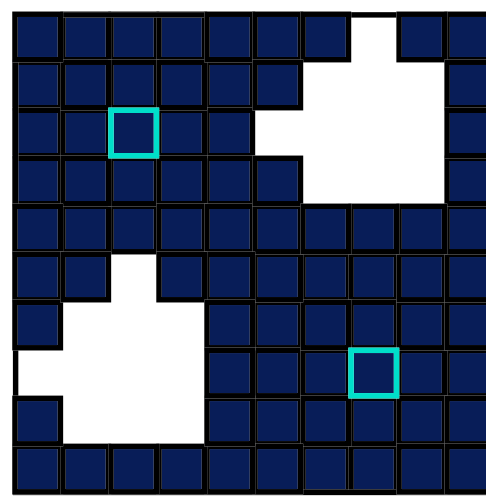
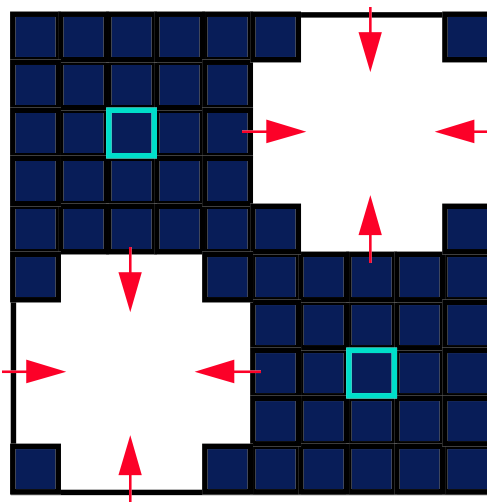
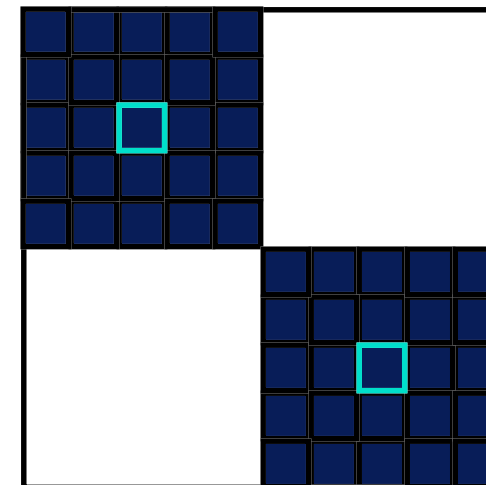
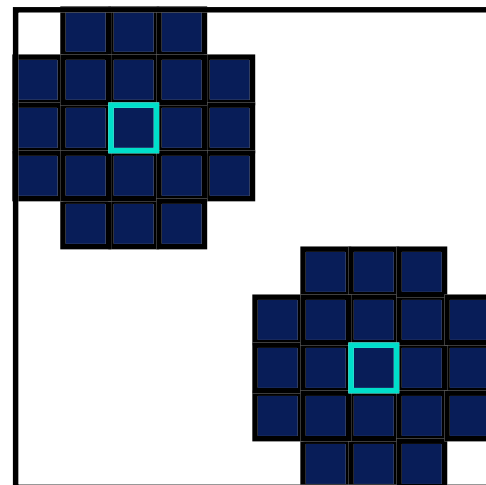
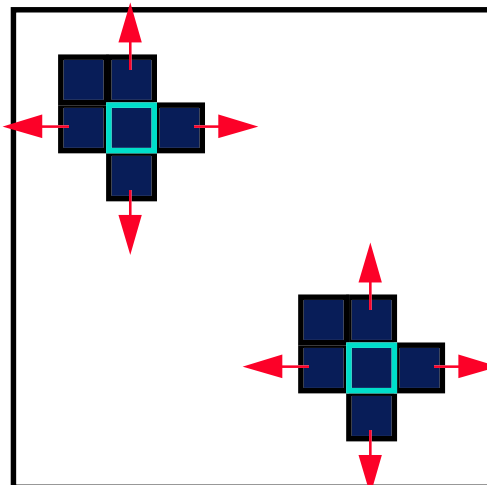
- ◆ tečkový rastr se často **otáčí** (o 45°, 15°, 75°,..)
 - eliminují se svislé a vodorovné linie (nejzřetelnější pro lidské oko)
 - pro racionální směrnice lze tečky ukládat v matici

Varianty tečkového rastru



- **čtvercové tečky** (problémy při jemných přechodech odstínů - “vignettes”)
- **kruhové tečky** (plus různé modifikace)

Konstrukce tečkového rastru

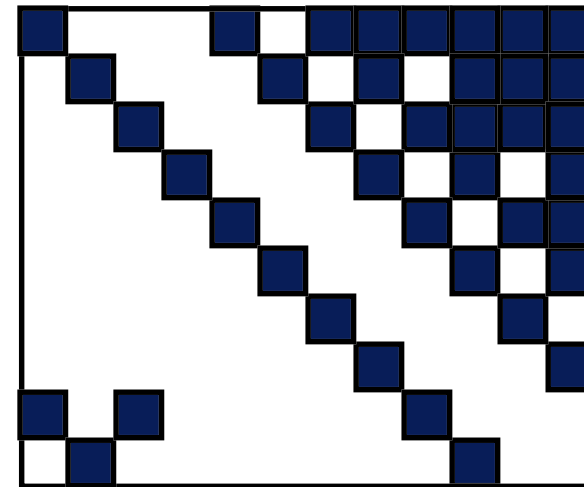
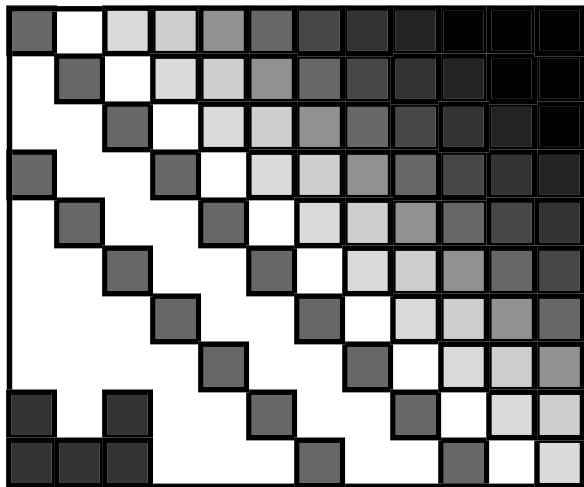


Maticové rozptylování

- ◆ zobrazuje se v **měřítku 1:1** (jeden vstupní pixel na jeden výstupní pixel)
 - ◆ lze použít libovolnou **půltónovací matici**
 - nejčastěji se používá matice pravidelného rastru
- několik sousedních pixelů sdílí jednu matici:

```
procedure MatrixDither ( x, y, color : integer ) ;  
begin  
    if M[ y mod N, x mod N ] < color  
    then PutPixel(x,y,1)  
    else PutPixel(x,y,0);  
end;
```

Maticové rozptylování



- drobné detaily (čáry) bývají velmi zkreslené
- při použití **neinkrementálního rastru** by mohly být zvýrazněny hranice mezi sousedními odstíny

Náhodné rozptylování

- ◆ šum a nahodilost jsou pro lidské oko přirozenější než pravidelný rastr
- velmi jednoduchá implementace:

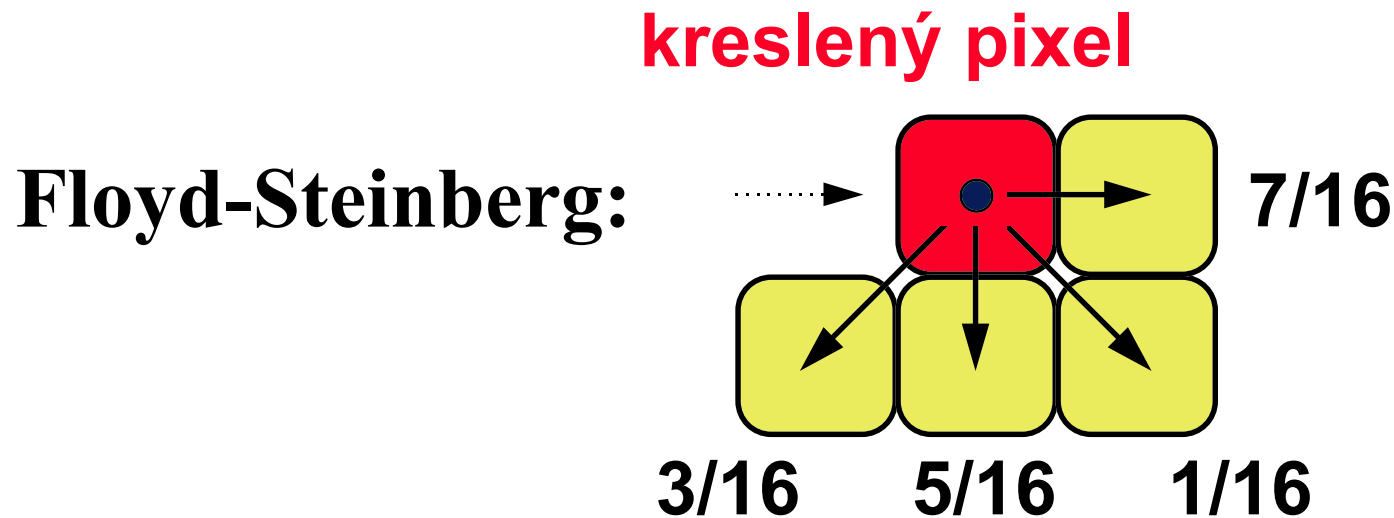
```
procedure RandomDither ( x, y, color : integer ) ;  
begin  
    if Random( MaxGray ) < color  
    then PutPixel( x, y, 1 )  
    else PutPixel( x, y, 0 ) ;  
end ;
```

- ◆ u Č/B obrázků je výstup příliš zašuměný
 - lepší výsledky dává při více výstupních odstínech

Metody distribuce chyby

- intenzitu kresleného pixelu **zaokrouhlím** na nejbližší zobrazitelnou hodnotu a nakreslím ji:
 - 0/1 pro Č/B výstupní zařízení
 - 0, 1, .. K pro víceúrovňové zařízení
- **rozdíl mezi požadovanou a skutečně zobrazenou intenzitou** rozdělím ve vhodném poměru do sousedních pixelů
 - je zachován lokální poměr počtu černých a bílých pixelů (odpovídající vstupnímu odstínu)
 - chyba se předává jen do dosud nenakreslených pixelů

Metoda distribuce chyby



- kreslení musí postupovat **po řádkách**
 - řádky lze procházet střídavě zleva a zprava
- pro **akumulaci chyb** na následující řádce je nutné použít **pomocný buffer**

Jiné distribuční filtry

F. Sierra:

			1/2
1/4	1/4	0	

J. Jarvis,
C. Judice,
W. Ninke:

			7	5
3	5	7	5	3
1	3	5	3	1

/ 48

Stucki:

			8	4
2	4	8	4	2
1	2	4	2	1

/ 42

Metody distribuce chyby

- + **vysoká kvalita výstupu na monitoru**
 - vzorek je nepravidelný a příjemný pro lidské oko
- **nevýhody:**
 - nutnost kreslit výstup **po řádkách**
 - není možné se **vracet zpět** (proto se nepoužívá ve vyplňovacích rutinách grafických knihoven)
 - je potřeba **pomocný buffer** minimálně na 1 řádku
 - větší **časová náročnost**

Více výstupních odstínů

- ◆ na výstupu předpokládáme **K+1 odstínů**
 - $0 \div K$ ($0 ..$ bílá, $K ..$ černá)
 - ◆ naše rozptylovací metoda umí zpracovat **M+1 vstupních odstínů** do dvou výstupních barev:
 - vstup: $0 \div M$
 - výstup: $0 / 1$
- na vstupu kombinované metody může být **K*M+1 odstínů**

Více výstupních odstínů

```
function Dither ( x, y, color : integer ) : integer;  
  { vstupní odstín: 0 až M, vrací 0 nebo 1 }  
  ...  
  
procedure MultiDither ( x, y, color : integer );  
  { vstupní odstín: 0 až K*M, kreslený odstín: 0 až K }  
var base : integer;  
begin  
  base := color div M;          { 0 <= base <= K }  
  PutPixel(x,y, base + Dither(x,y,color mod M) );  
end;
```

Literatura

- J. Foley, A. van Dam, S. Feiner, J. Hughes:
Computer Graphics, Principles and Practice,
563-573
- V. Skala: *Algoritmy počítačové grafiky III*,
skriptum ZČU, 1992, 5-22
- Jiří Žára a kol.: *Počítačová grafika*, principy
a algoritmy, 329-335

Konec

Další informace:

■ J. Jarvis, C. Judice, W. Ninke: *A Survey of Techniques for the Image Display of Continuous Tone Pictures on Bilevel Displays*, CGIP vol.5, #1, March 1976

➔ LAN na Malé Straně:

– **barbora\usr:\vyuka\pelikan\3**

Barevné vidění

**© 1995-2001 Josef Pelikán
KSVI MFF UK Praha**

e-mail: Josef.Pelikan@mff.cuni.cz
WWW: <http://cgg.ms.mff.cuni.cz/~pepca/>

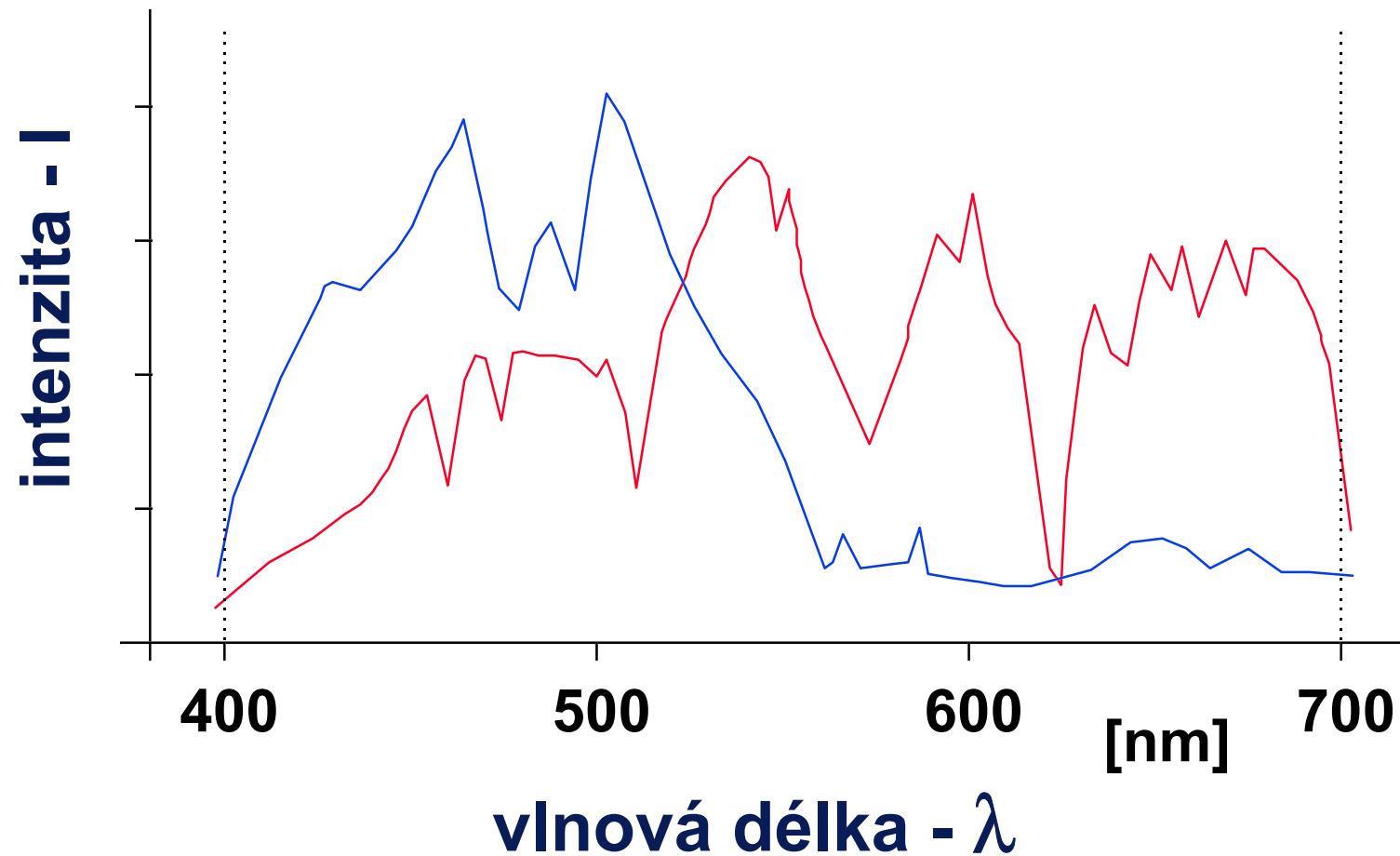
Co je světlo?

Špatnota bludy tvořitelská:

Newton stvořil blud, že Sluno vysílá ze sebe jemné částečky proti Huyghensovým ukám, že světlo jsou chvěje tenýra zrakovým čivem pojaté ...

(Jakub Hron: “*Skutky lidské, čili Jeden tisíc špatnot žijby a konby lidské*”, 1907)

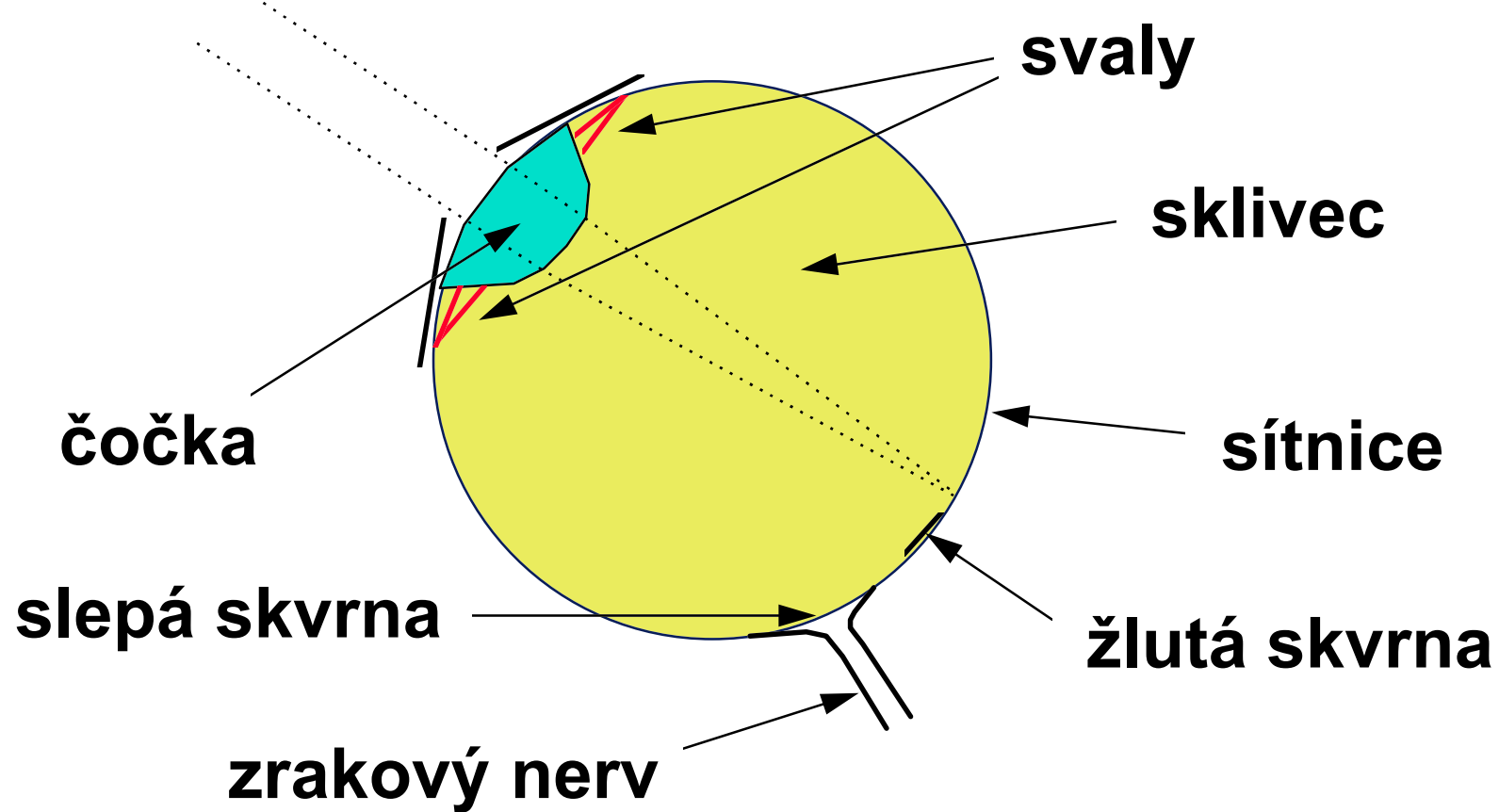
Viditelné světlo, spektrum



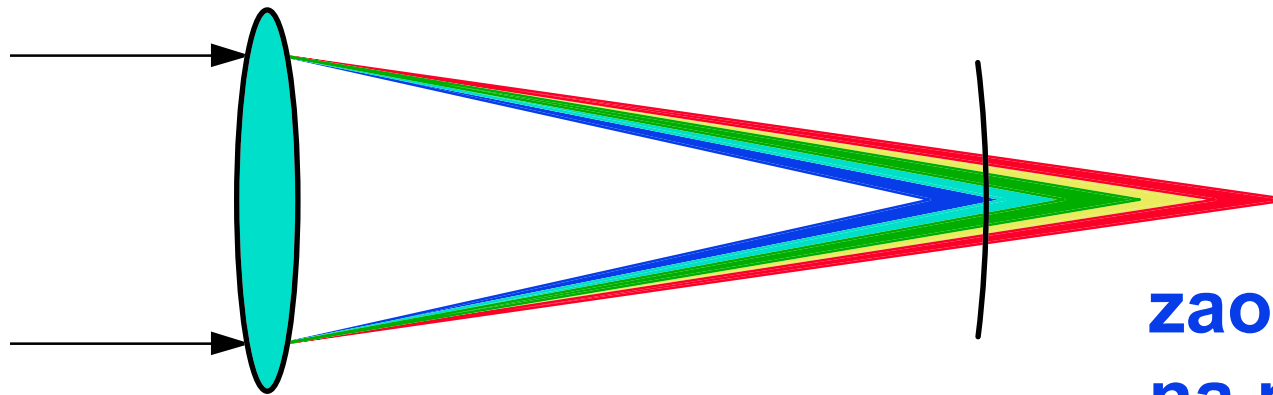
Barevný vjem

- ◆ prostor všech spekter má **nekonečnou dimenzi**
 - systém lidského vidění je však nedokáže všechny rozeznat (“metamery”)
- ◆ **Grassmanovy zákony** (1854) - lidské oko vnímá:
 - **dominantní vlnovou délku** (odstín, “hue”)
 - **čistotu barvy** (sytost, “saturation”)
 - **intenzitu** (jas, “brightness”)barvy lze aditivně skládat ($A=B$, $C=D \Rightarrow A+C=B+D$)

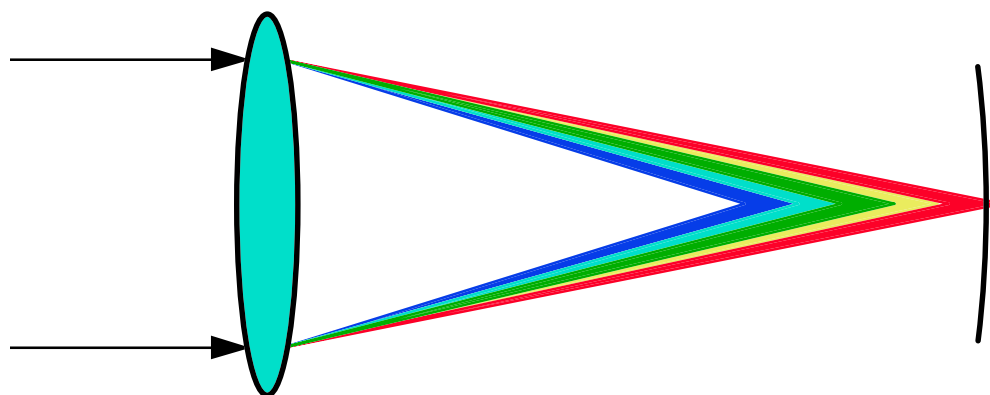
Lidské oko



Barevná aberace

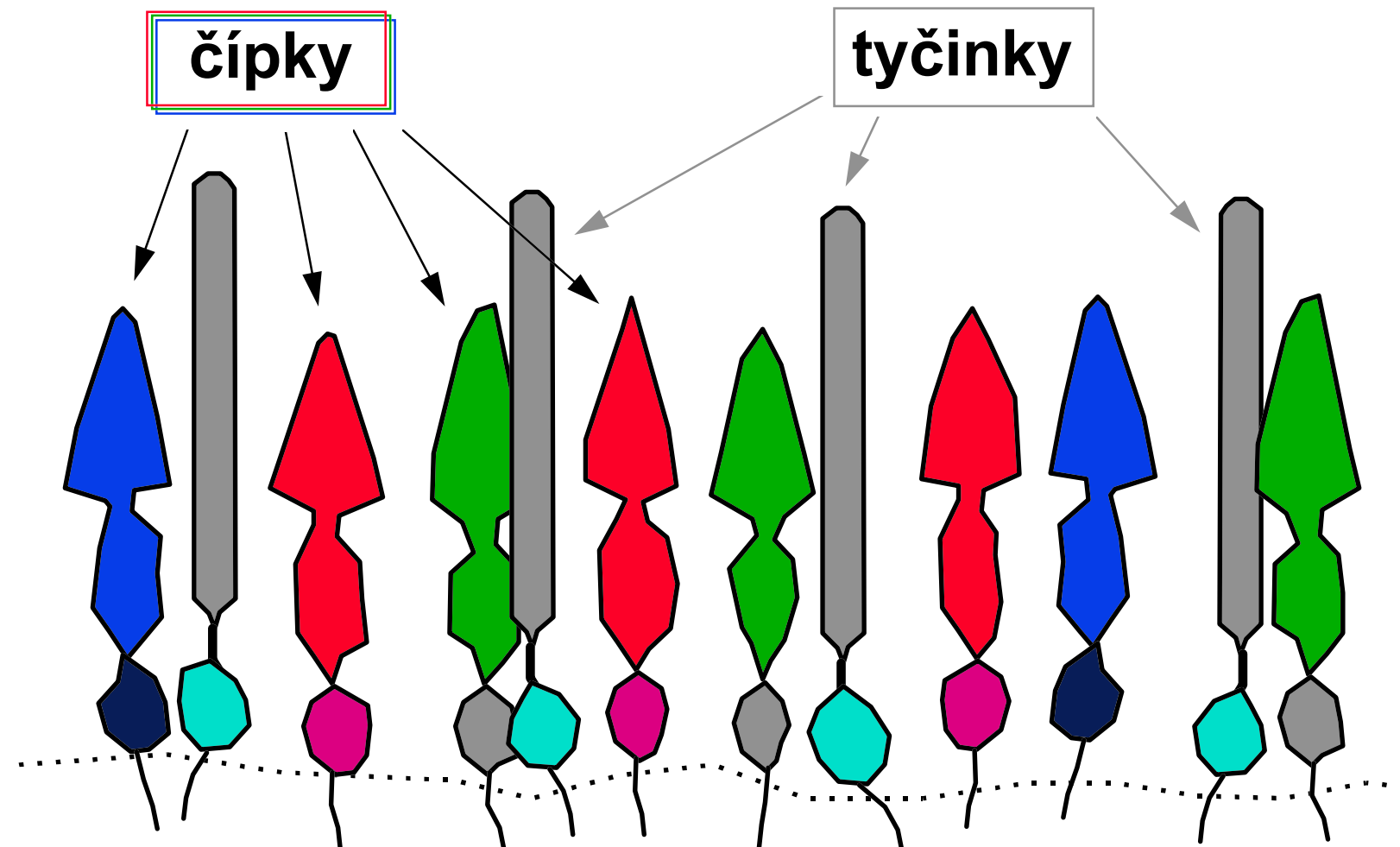


zaostřeno
na modrou

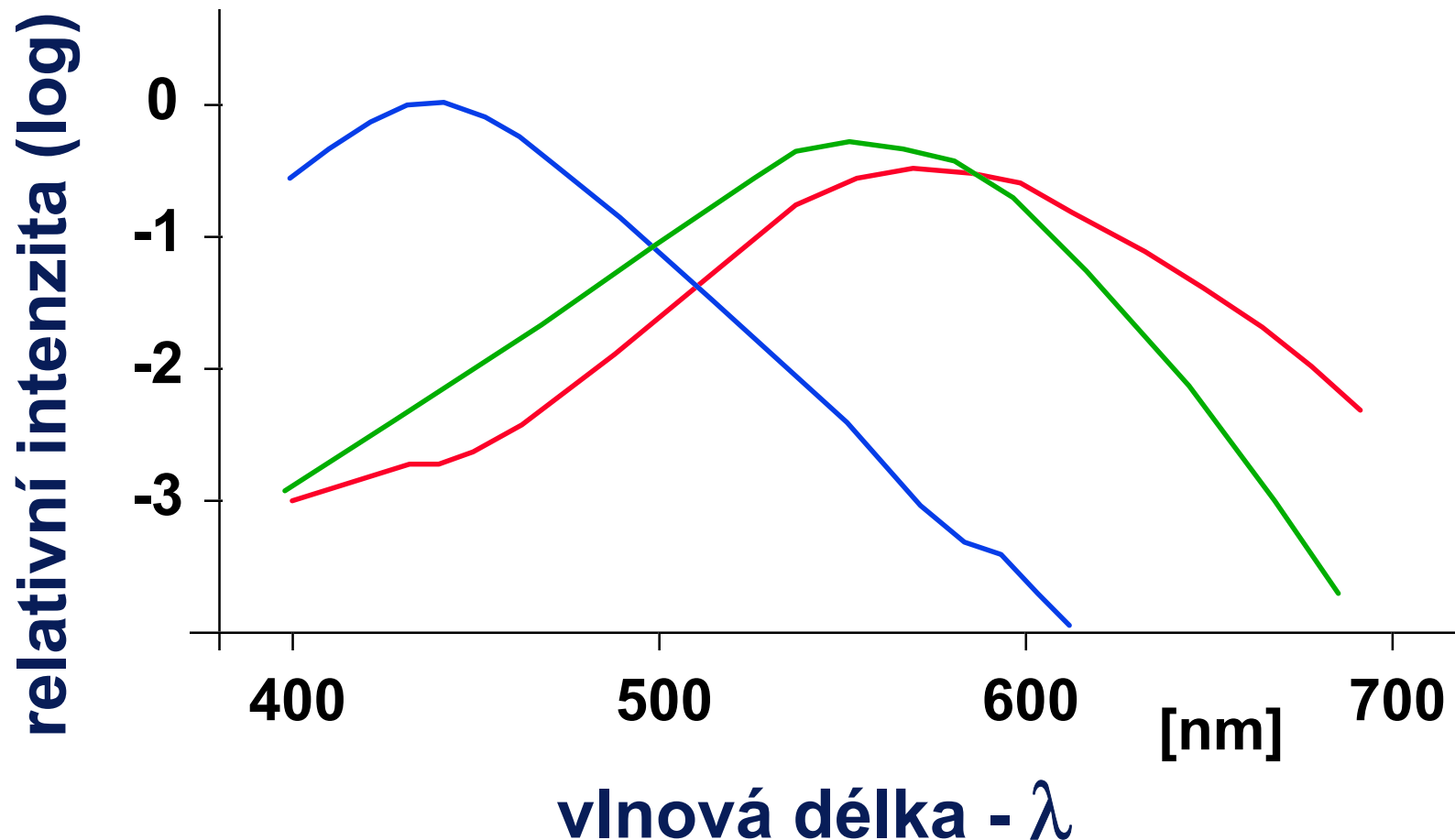


zaostřeno
na červenou

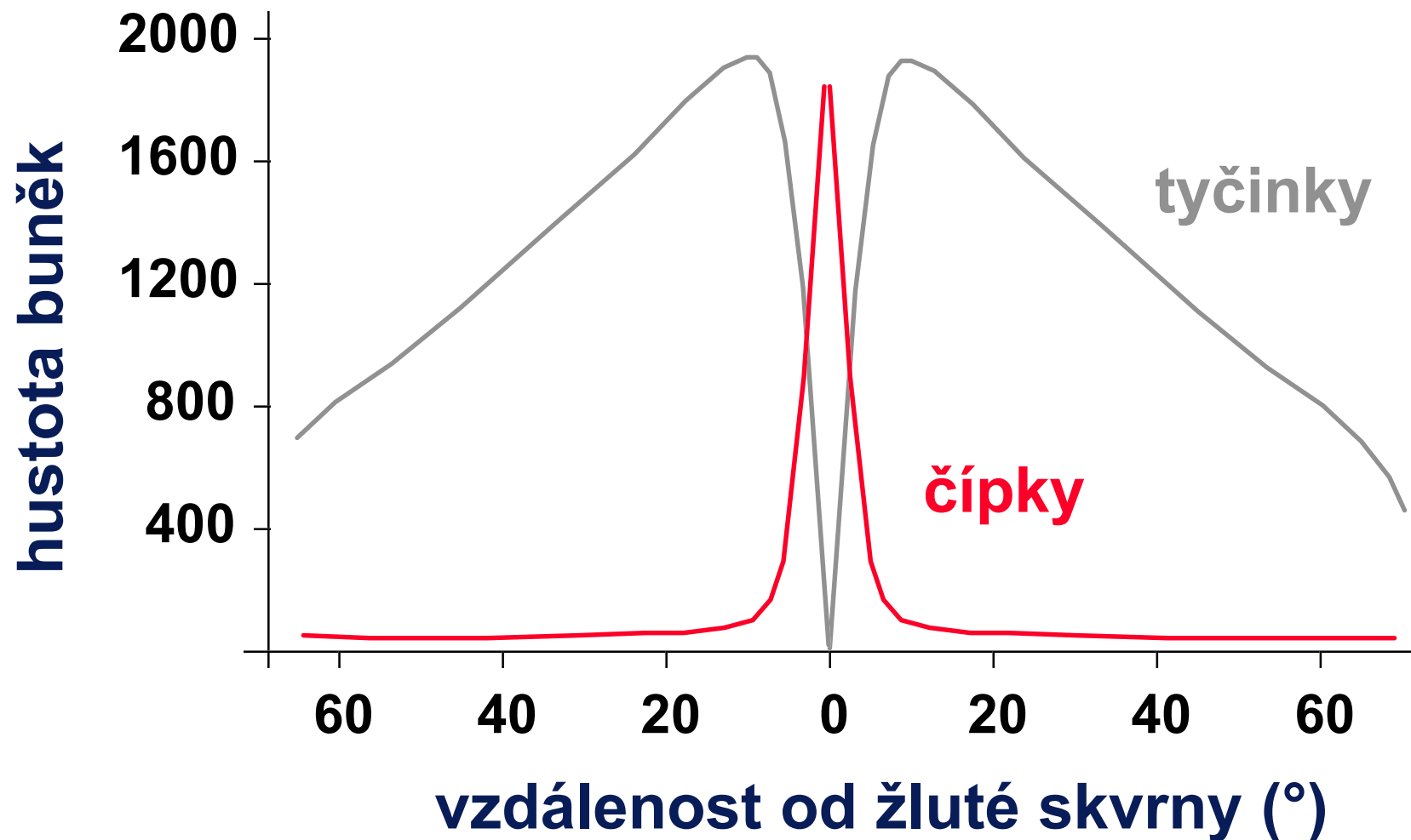
Sítnice



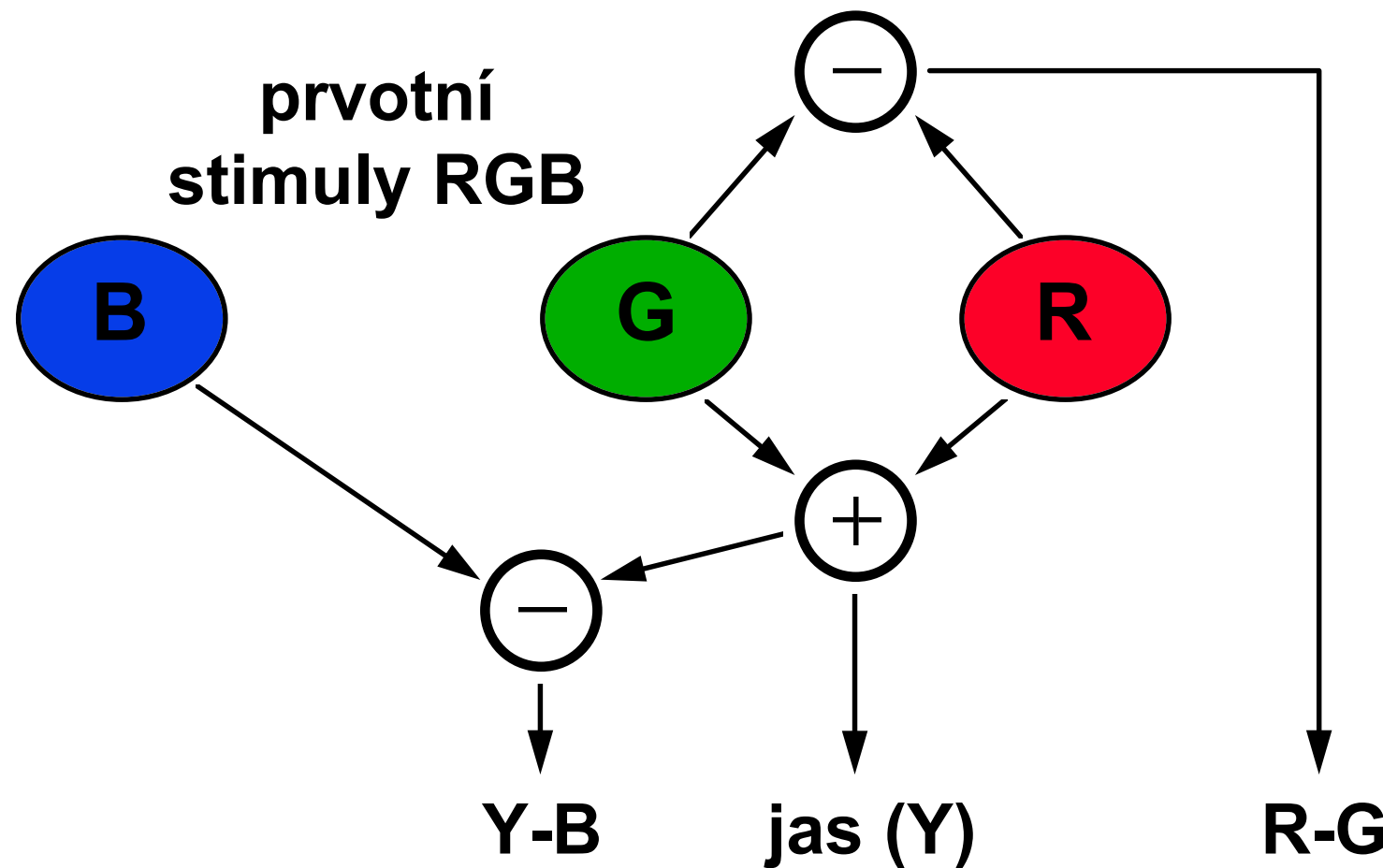
Citlivost tří druhů fotopigmentu



Rozložení fotoreceptorů



Předzpracování barev

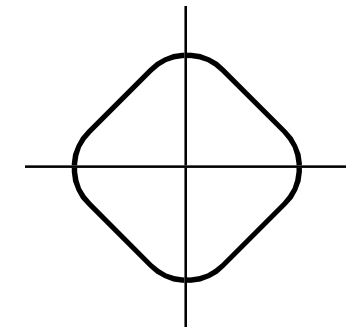


Vlastnosti systému vidění

- ◆ různá citlivost na **červenou** (0.3), **zelenou** (0.6) a **modrou** (0.1) barvu
 - navíc střed žluté skvrny téměř neobsahuje “modré” čípky
- ◆ zaostřuje se **podle jasové složky** ($Y = R+G$)
 - nelze dobře zaostřit na rozdíly v modré složce
- ◆ **integrační schopnost** sítnice
 - vnímáme samostatné tečky a zároveň jejich hustotu
 - umožňuje použít rozptylovací metody

Vlastnosti systému vidění

- ◆ **větší rozlišovací schopnost** ve svislém a vodorovném směru
 - v šikmých směrech asi o 30% menší
- ◆ **přeostřování** na barvy vzdálené ve spektru
- ◆ **setrvačnost** (“afterimage”)
 - laterální inhibice nervových buněk
- ◆ **očekávání** (“expectation”)
 - psycho-fyziologická vlastnost



Vlastnosti systému vidění

- ◆ **vliv okolí (“surround”)**
 - vjem barvy závisí na okolních barvách/intenzitách
 - hnědá barva “neexistuje”
- ◆ **čočka a sklavec se zbarvují stále více do žluta**
 - ve stáří klesá schopnost vidět krátké vlnové délky
- ◆ **vady barevného vidění:**
 - splynutí “červeného” a “zeleného” pigmentu (nebo absence jednoho z nich) - **nejčastější vada**
 - chybí “modrý” pigment
 - chybějí čípky vůbec (“monochromats”)

Doporučení

- **používat barvy střízlivě**
 - maximálně 4-6 různých barev, odstínů může být víc
- **nekreslit malé objekty a tenké čáry modře**
 - málo “modrého” pigmentu ve středu žluté skvrny
- **na pozadí nepoužívat červenou a zelenou**
 - modrá i žlutá vyhovují
- **nekreslit vedle sebe syté barvy vzdálené ve spektru**
- **používat barvy logicky a konzistentně**

Literatura

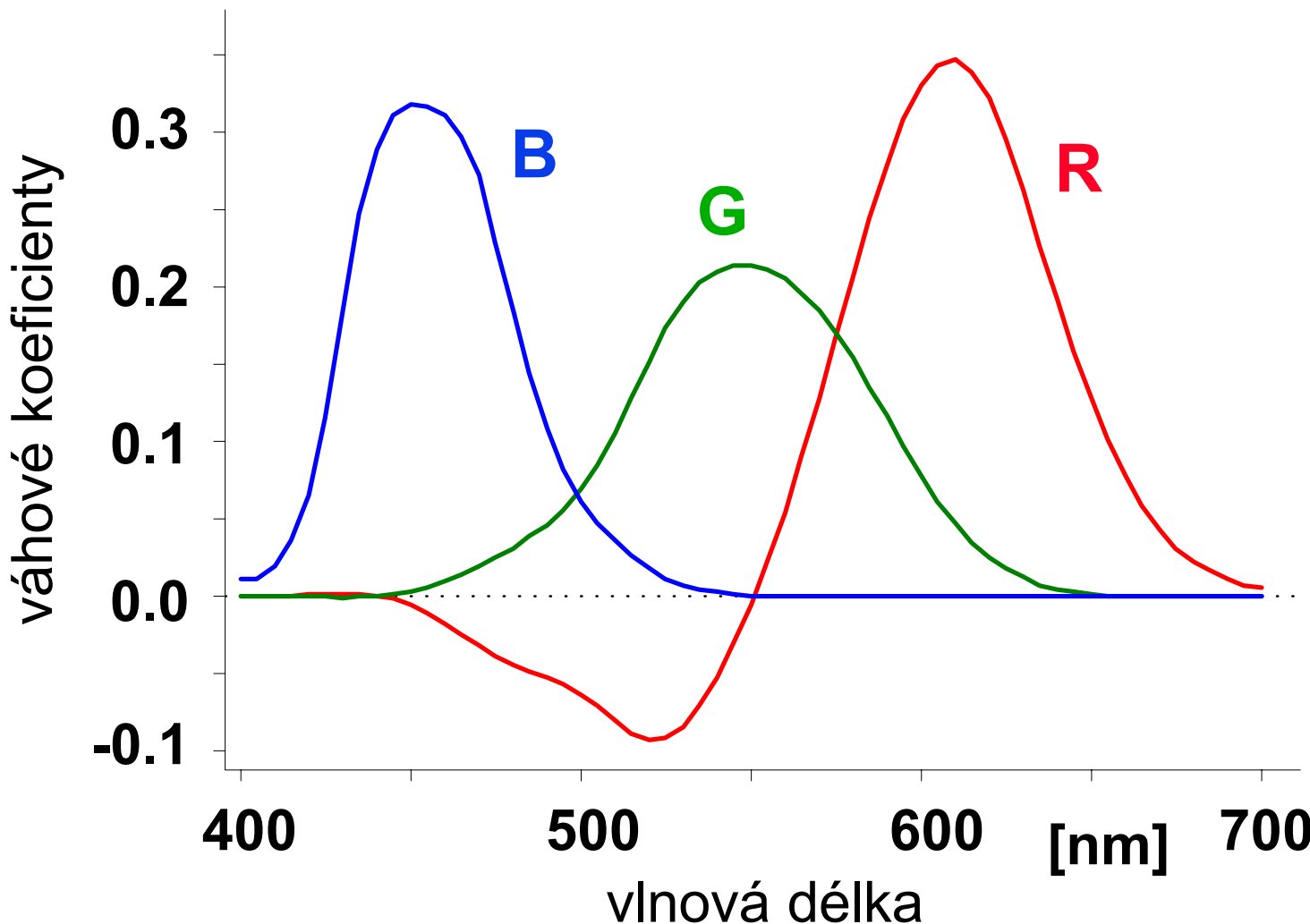
- G. Murch: *Human Factors of Color Displays*, in Advances in Computer Graphics II, Springer, 1986, 1-27
- D. Pritchard: *U.S. Color Television Fundamentals - A Review*, IEEE Transactions on Consumer Electronics, vol. CE-23, #4, 467-478
- J. Foley, A. van Dam, S. Feiner, J. Hughes: *Computer Graphics, Principles and Practice*, 574-579

Barevné systémy

**© 1995-2001 Josef Pelikán
KSVI MFF UK Praha**

e-mail: Josef.Pelikan@mff.cuni.cz
WWW: <http://cgg.ms.mff.cuni.cz/~pepca/>

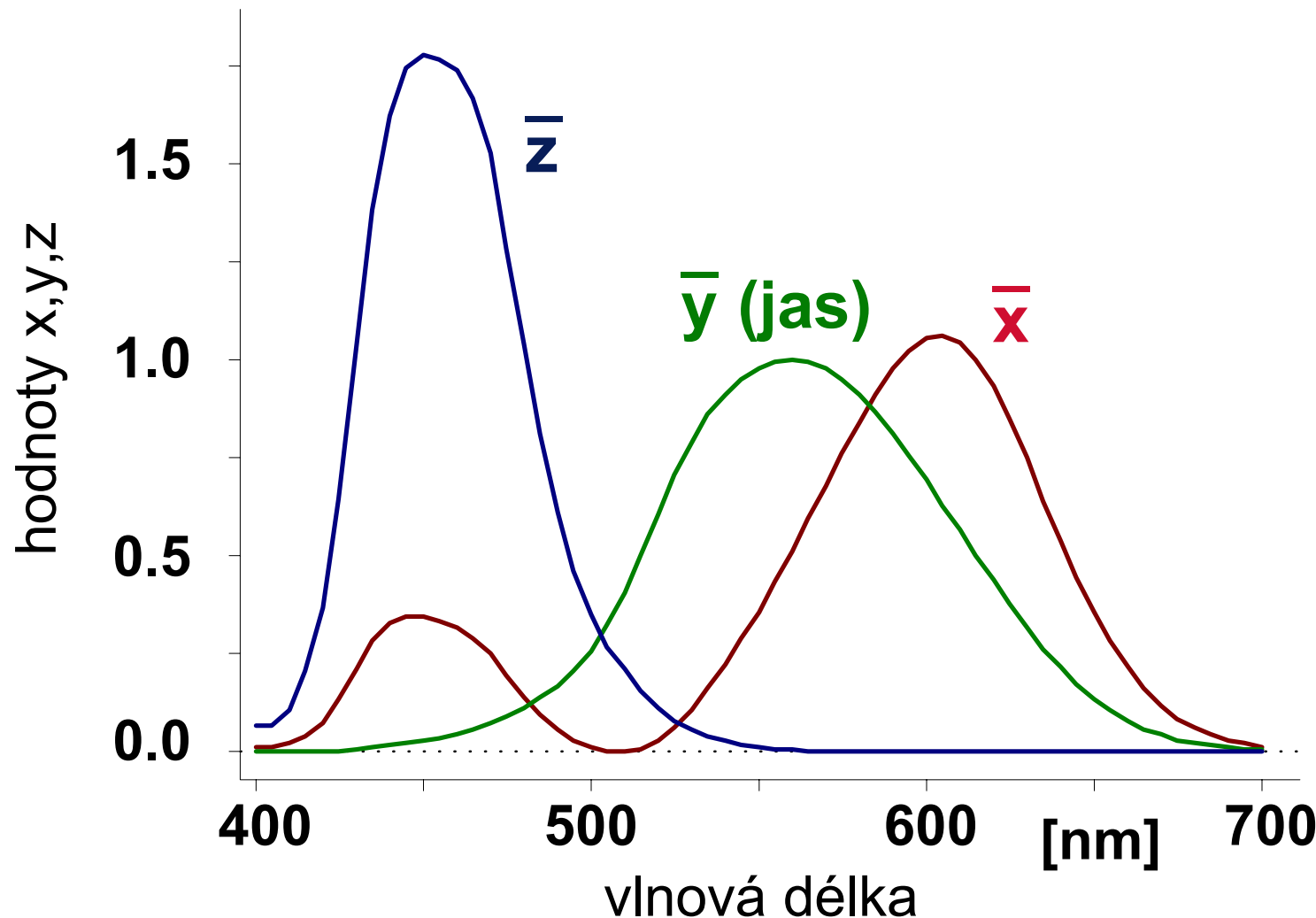
Rozklad spektrálních barev



Virtuální barevná primitiva X,Y,Z

- ◆ *Commision Internationale de l' Éclairge* (CIE) v roce 1931 definovala tři virtuální barvy X, Y, Z, jejichž **konvexní kombinací** již vytvoříme libovolnou viditelnou barvu
 - X, Y, Z jsou definovány pomocí svých spektrálních charakteristik x, y, z (tabelovaných po 1nm)
- ◆ závislost mezi složkami R,G,B a X,Y,Z je **lineární**
 - převodní matice 3×3

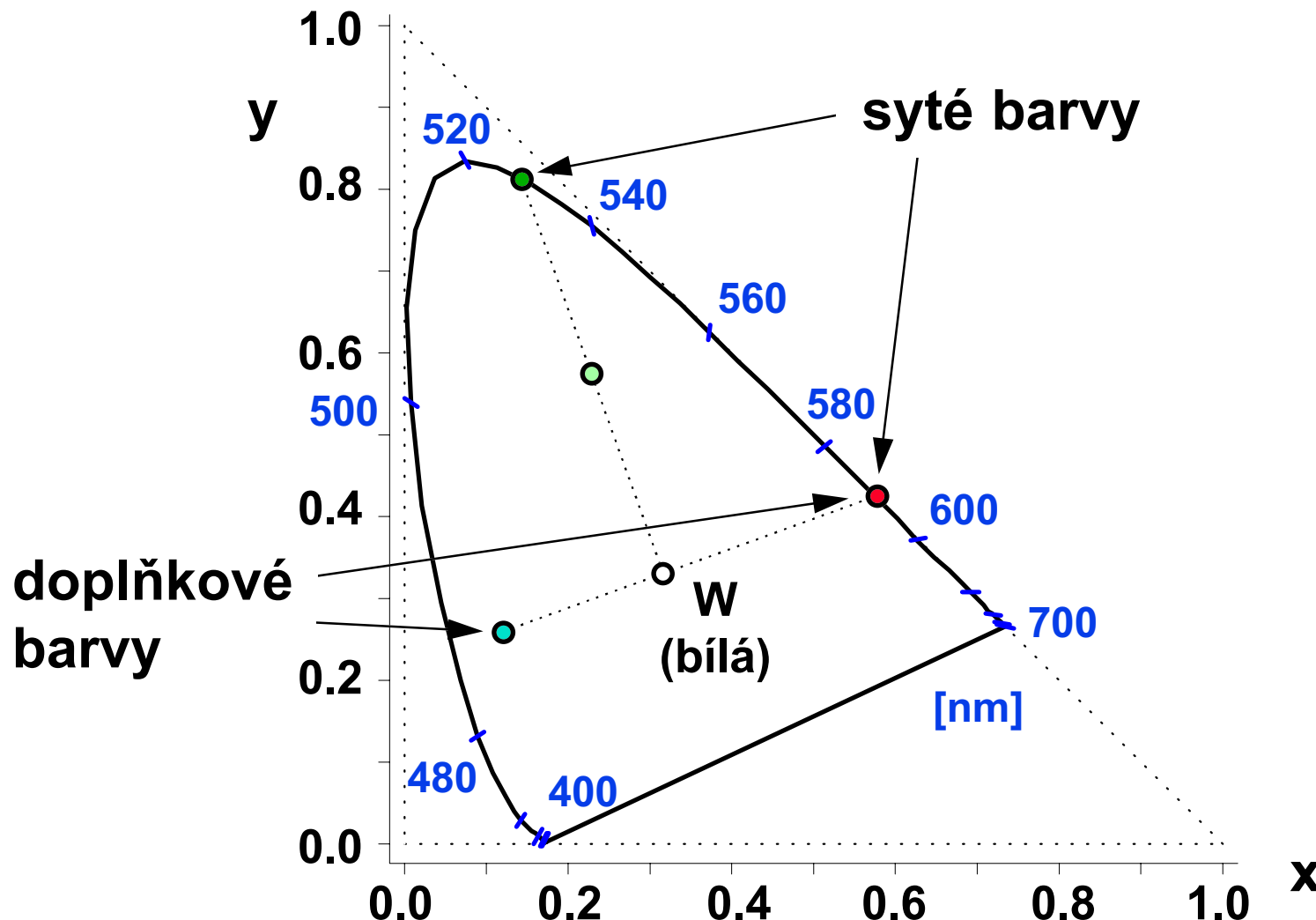
Srovnávací funkce CIE



Barevný prostor CIE-xy

- ◆ normalizované barevné složky x, y, z:
 - $x = X/(X+Y+Z)$, $y = Y/(X+Y+Z)$, $z = Z/(X+Y+Z)$
 - x, y, z nesou pouze informace o odstínu a sytosti, jas chybí
- ◆ barevný diagram CIE-xy nepoužívá složku z
 - je závislá na předchozích dvou ($z = 1 - x - y$)
- ◆ systém CIE-xy nezohledňuje subjektivní citlivost na barevné rozdíly (uniformní CIE-uv)

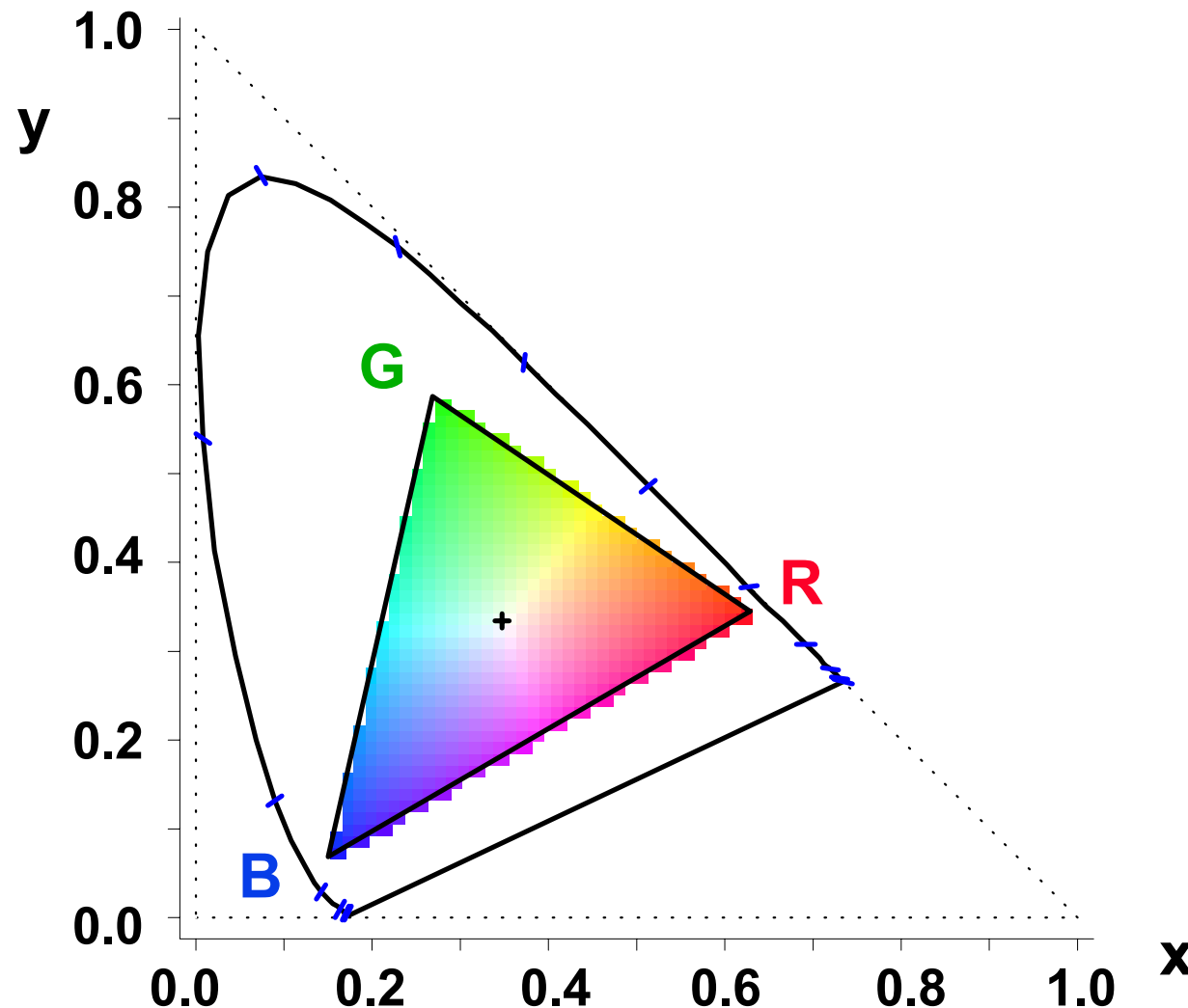
Barevný diagram CIE-xy



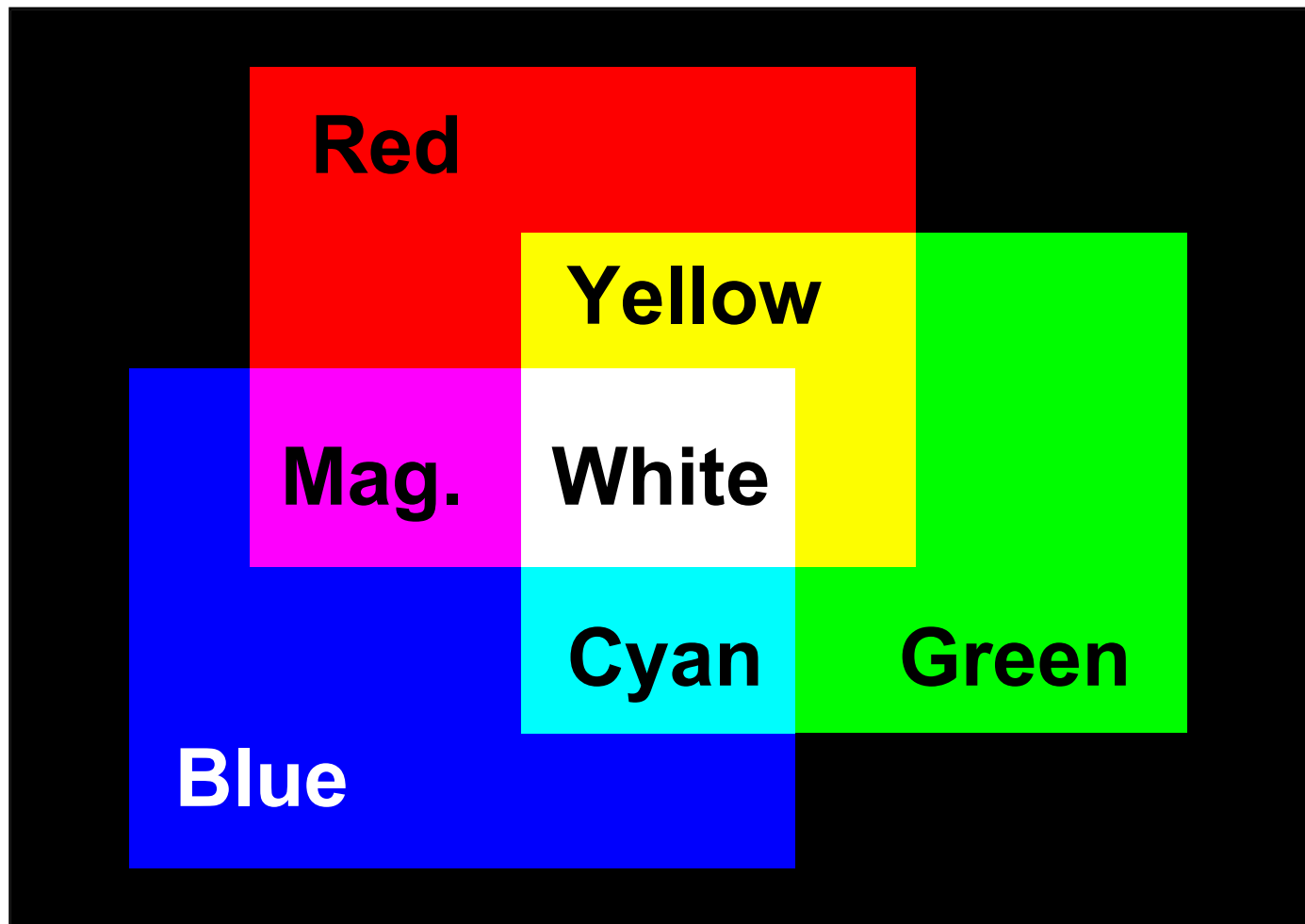
Barevná primitiva RGB

- ◆ odpovídají poloze tří typů barevných luminoforů:
 - $R = [0.628, 0.346]$, $G = [0.268, 0.588]$, $B = [0.150, 0.070]$
 - bílá $W(D_{6500}) = [0.313, 0.329]$
- ◆ izoenergetická bílá W má souřadnice $[1/3, 1/3]$, bílá R podle televizní NTSC normy $[0.31, 0.316]$

Gamut monitoru v CIE-xy



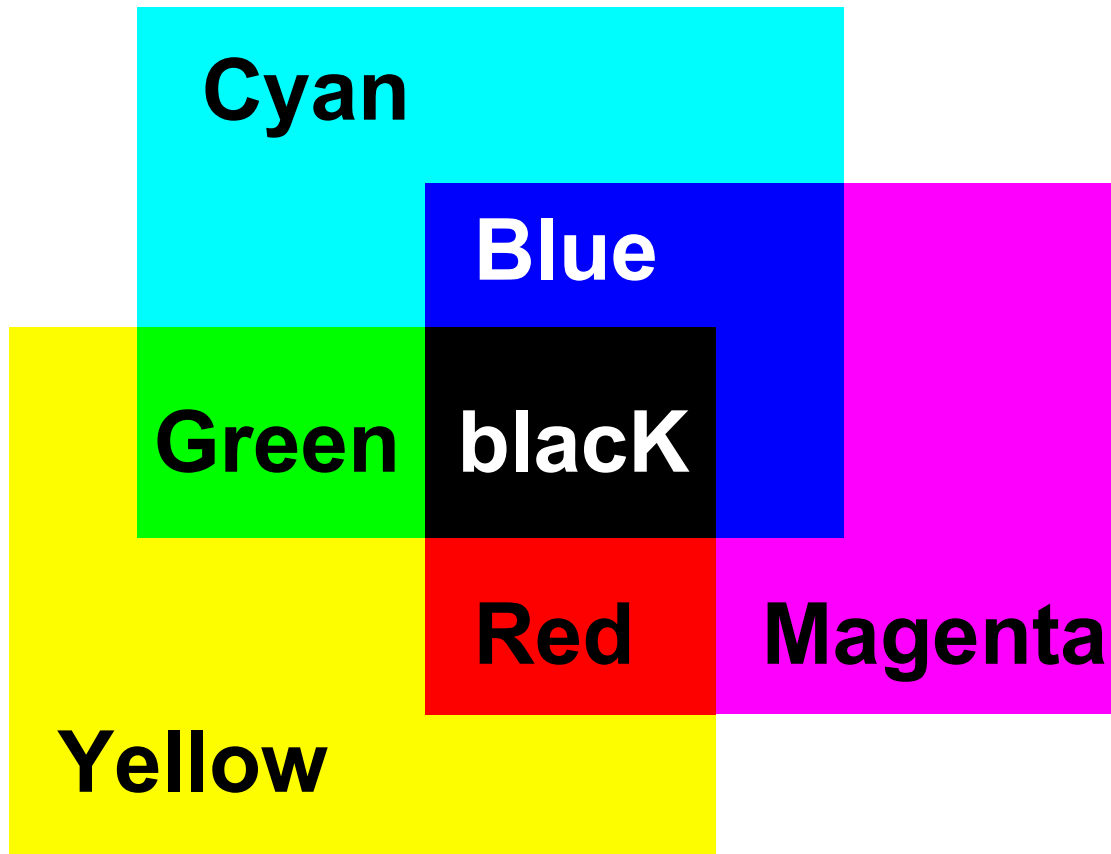
Aditivní skládání barev (RGB)



Barevný systém CMY(K)

- ◆ používá se při **tisku** a ve **fotografii**
 - tam, kde barevný dojem vzniká **pohlcením** některých složek bílého světla
- ◆ barvy se skládají **subtraktivně**
- ◆ základní barevná primitiva **C** (cyan), **M** (magenta), **Y** (yellow) odpovídají tiskařským barvám
 - C, M, Y jsou doplňkové k R, G, B

Subtraktivní skládání barev (CMY)



Barevný systém CMY(K)

- ◆ převody mezi CMY a RGB:
 - $C = 1 - R$, $M = 1 - G$, $Y = 1 - B$
- ◆ ke třem složkám C, M, Y se ještě často přidává černá K:
 - černá barva složená z C, M a Y není dostatečně kvalitní
 - černý inkoust (toner) je mnohem levnější než barevný
 - $K' = \min(C, M, Y)$, $C' = C - K$, $M' = M - K$, $Y' = Y - K$

Barevný systém YIQ

- ◆ používá se při barevném televizním vysílání
 - zaveden komisí NTSC v roce 1953
 - kompatibilita s černobílými TV přijímači

$$\begin{bmatrix} Y \\ I \\ Q \end{bmatrix} = \begin{bmatrix} 0.299 & 0.587 & 0.114 \\ 0.596 & -0.275 & -0.321 \\ 0.212 & -0.528 & 0.311 \end{bmatrix} \cdot \begin{bmatrix} R \\ G \\ B \end{bmatrix}$$

- ◆ barevné rozdílové složky (I,Q) jsou pro lidské oko méně důležité
 - menší rozlišení nebo užší přenosové pásmo

Barevný systém HSV

- ◆ orientovaný na uživatele
 - intuitivní veličiny: **barevný odstín** (“hue”), **sytost** (“saturation”) a **jas** (“value”)
- ◆ význam jednotlivých složek:
 - H: základní spektrální barva (dominantní vlnová délka) - rozsah **0°** až **360°**
 - S: sytost, čistota barvy (poměr čisté barvy a bílé) - rozsah **0** (bílá) až **1** (spektrální barva)
 - V: jas, intenzita - rozsah **0** (černá) až **1**

Převod RGB → HSV

```
procedure RGB2HSV ( R,G,B : real; var H,S,V : real );
var min, max, delta : real;
begin
  min := minimum(R,G,B); max := maximum(R,G,B);
  V := max; delta := max - min;
  if max <> 0.0 then S := delta/max
    else S := 0.0;
  if delta <> 0.0 then
    begin { chromatický případ }
      if R = max then H := (G - B)/delta else
        if G = max then H := 2 + (B - R)/delta
          else H := 4 + (R - G)/delta;
      H := H * 60.0; { převod na stupně }
      if H < 0.0 then H := H + 360.0;
    end;
  end;
```

Převod HSV → RGB

```
procedure HSV2RGB ( H,S,V : real; var R,G,B : real );
var i, f, p, q, t: real;
begin
  if S = 0.0 then
    begin                                { achromatický případ }
      R := V; G := V; B := V;
    end      else
    begin                                { chromatický případ }
      if H = 360.0 then H := 0.0;
      H := H/60.0;                         { 0 <= H < 6 }
      i := trunc(H);                      { číslo výseče: 0 <= i <= 5 }
      f := H-i;                            { 0 <= f < 1 }
      p := V * (1.0 - S);
      q := V * (1.0 - S*f);
      t := V * (1.0 - S*(1.0 - f));
      ...
    
```

Převod HSV → RGB

```
...
case i of { šest výsečí: }
    0: (R,G,B) := (V,t,p); { zkratka za 3 ":"= " }
    1: (R,G,B) := (q,V,p);
    2: (R,G,B) := (p,V,t);
    3: (R,G,B) := (p,q,V);
    4: (R,G,B) := (t,p,V);
    5: (R,G,B) := (V,p,q);
end;
end; { chromaticky případ }
end;
```

Další barevné systémy

- ◆ **HLS** (“hue”, “lightness”, “saturation”)
 - podobný jako **HSV**, dvojity kužel
- ◆ firemní systémy
 - např. **TekHVC** (Tektronix)
- ◆ vzorníky a katalogy barev:
 - **PANTONE®** (Pantone Inc.)
 - **Munsellův systém** (tiskařství) - klasifikace barev
“odstín jas/sytost” (např. žlutá barva “5Y 7/4”)
 - **Ostwaldův systém** (1931)

Literatura

- G. Murch: *Human Factors of Color Displays*,
in Advances in Computer Graphics II, Springer,
1986, 1-27
- J. Foley, A. van Dam, S. Feiner, J. Hughes:
Computer Graphics, Principles and Practice,
579-599
- V. Skala: *Algoritmy počítačové grafiky III*,
skriptum ZČU, 1992, 23-65

Konec

Další informace:

- Jiří Žára a kol.: *Počítačová grafika, principy a algoritmy*, 316-328
- LAN na Malé Straně:
 - **barbora\usr:\vyuka\pelikan\4**

Zobrazování barev

**© 1995-2001 Josef Pelikán
KSVI MFF UK Praha**

e-mail: Josef.Pelikan@mff.cuni.cz
WWW: <http://cgg.ms.mff.cuni.cz/~pepca/>

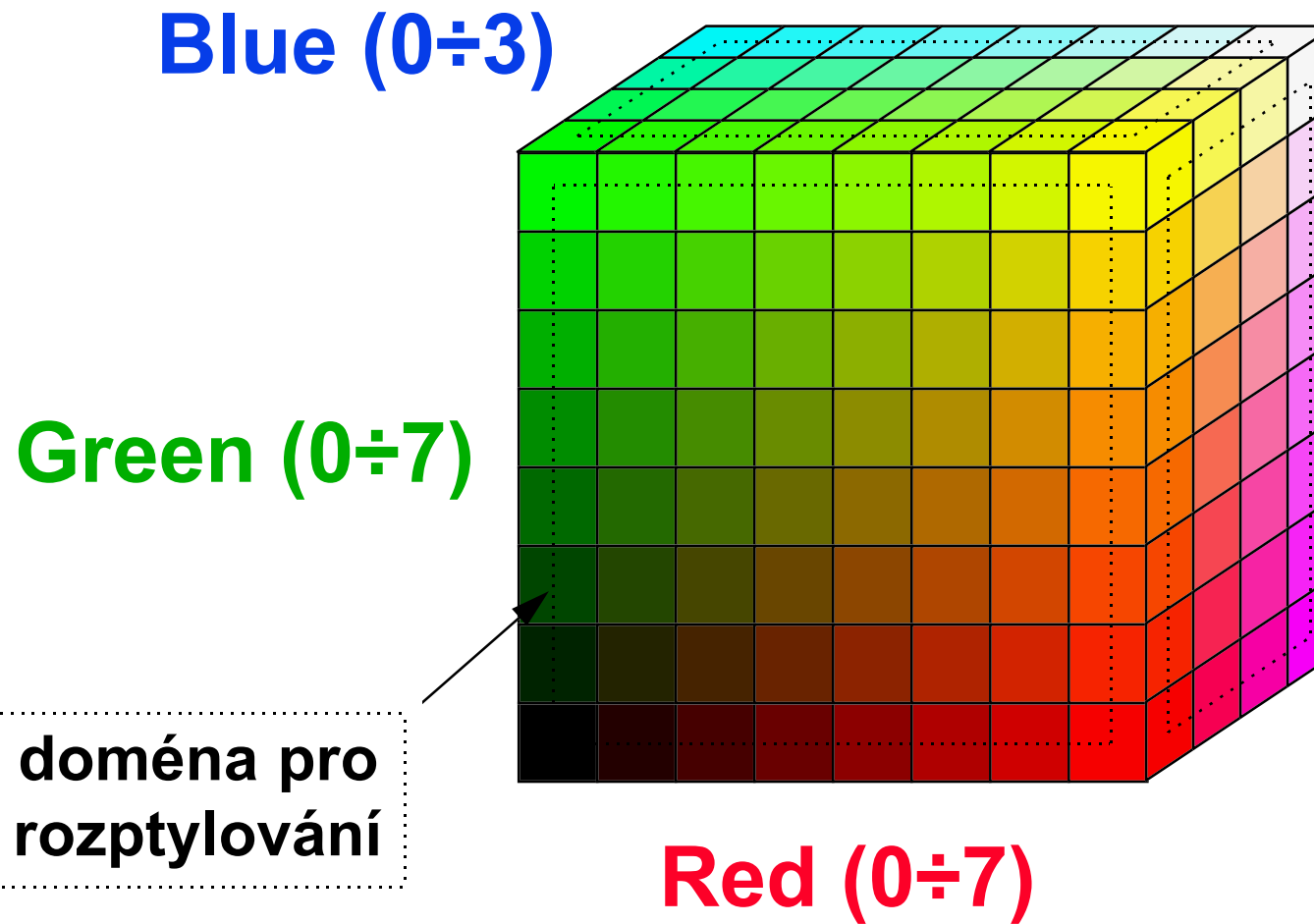
Barevné schopnosti HW

- ◆ “True-color” nebo “pseudo true-color”
 - přímý výstup barevných složek: **RGB, CMY(K)**
 - alespoň 5 bitů na složku a pixel (typicky 8)
 - displeje: **15, 16 (5-6-5), 24-bitová barva**
 - zvětšení barevného rozsahu: rozptylování
- ◆ zařízení s **barevnou paletou** (“colormap”)
 - pevná nebo nahrávaná paleta
 - počet barev: **16 ÷ 4096** (nejčastěji **256**)
 - **redukce počtu barev** (“color quantization”)

Zobrazení barev pomocí palety

- ◆ převod barev na **odstíny šedi**
 - složka Y (**0.2989*R + 0.5866*G + 0.1144*B**)
- ◆ **univerzální barevná paleta** + rozptylování
 - např. **3-3-2 paleta** (256 barev), 6-7-6 (252 barev)
 - maticové, náhodné rozptylování, distribuce chyby
- ◆ **adaptovaná barevná paleta** (+ rozptylování)
 - paleta optimalizovaná pro jeden konkrétní obrázek
 - metody konstrukce palety “**shora-dolů**” (Heckbert) a “**zdola-nahoru**” (shluková analýza)

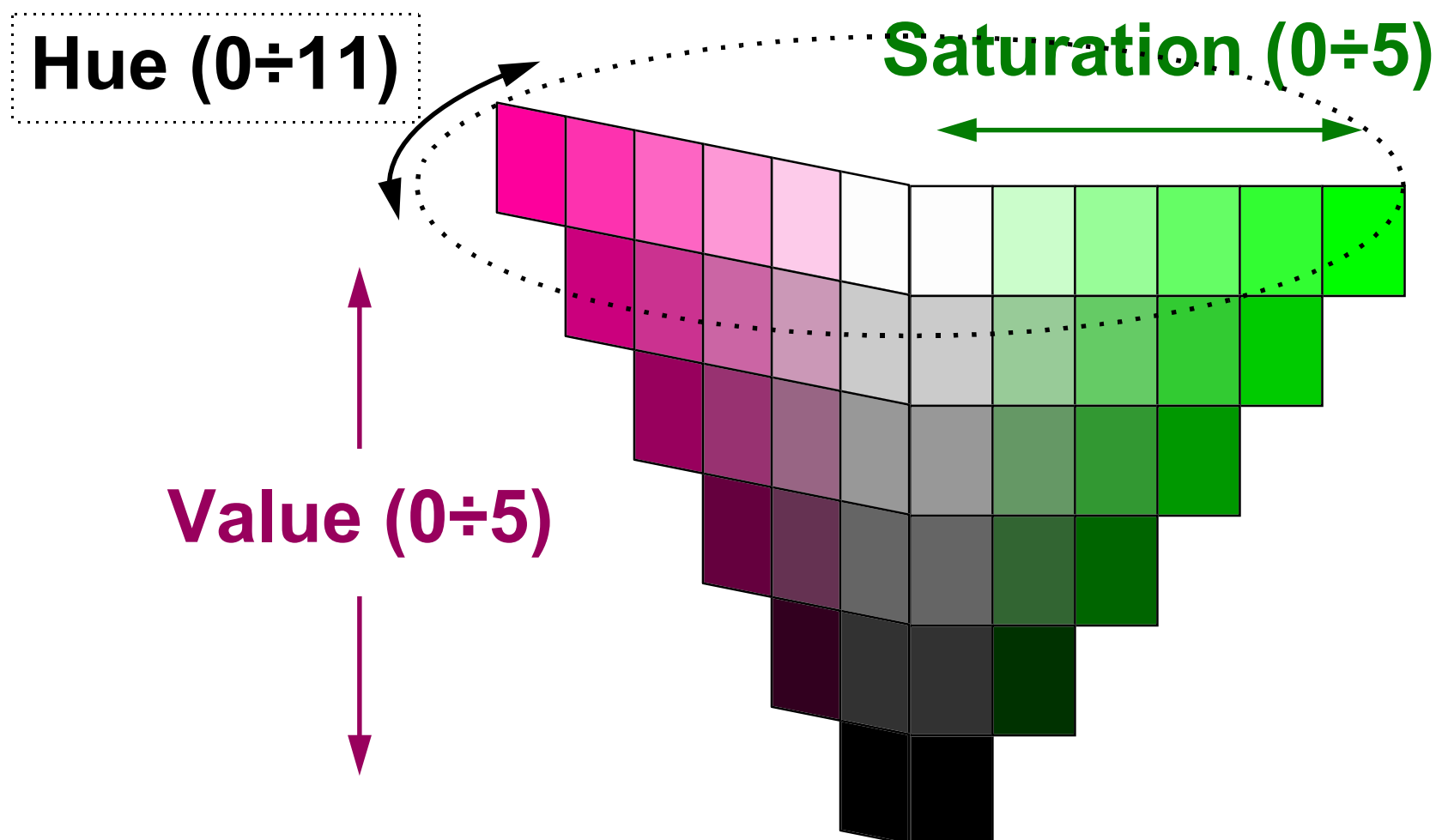
Univerzální “3-3-2 paleta”



Univerzální palety

- ◆ **paleta “3-3-2”:** $8 \times 8 \times 4$ barvy (256 barev)
 - snadné převody (bez operace násobení)
- ◆ **paleta “6×7×6”:** $6 \times 7 \times 6$ barev (252 barev)
 - rovnoměrné rozdělení RGB prostoru
- ◆ **paleta “7×12×3”:** $7 \times 12 \times 3$ barvy (252 barev)
 - zohledňuje různou citlivost oka na barevné složky
- ◆ **palety pro jiné barevné systémy**
 - např. $12 \times (1+2+3+4+5+6)$ pro HSV (186 barev)

Univerzální paleta pro HSV



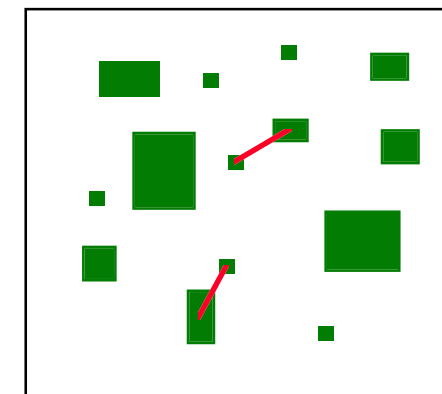
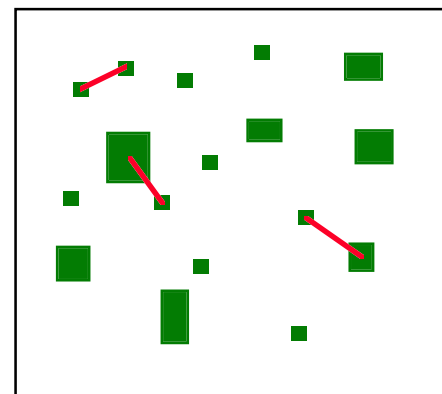
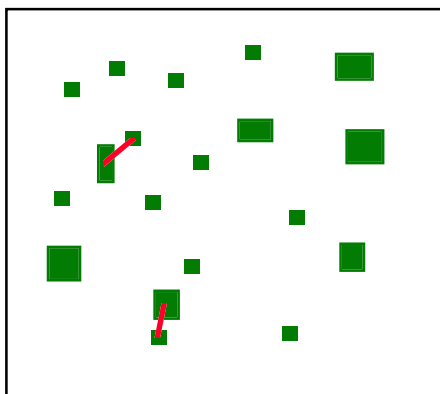
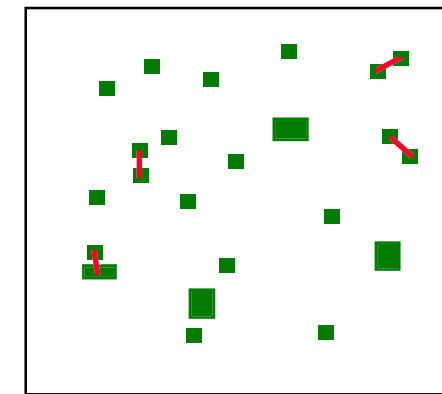
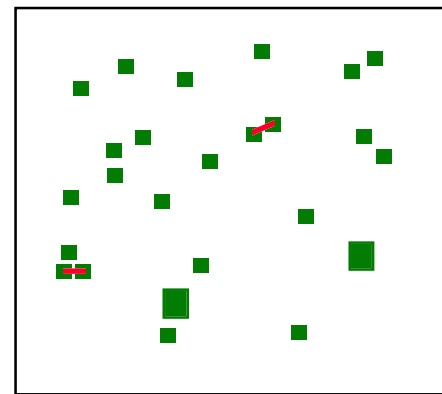
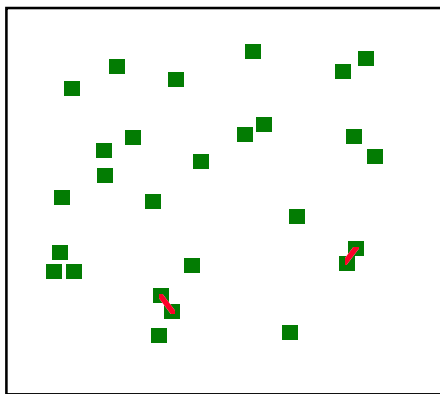
Konstrukce adaptované palety

- ➔ speciální paleta přizpůsobená pro zobrazení **jednoho konkrétního obrázku**
 - její výpočet může být značně časově náročný
- ◆ konstrukce metodou **“shora-dolů”**
 - dělím množinu použitých barev tak dlouho, až dostanu žádaný počet skupin (např. 256)
- ◆ konstrukce metodou **“zdola-nahoru”**
 - sdružuji příbuzné barvy do skupin, dokud nemám požadovaný počet skupin (shluková analýza)

Metoda shlukové analýzy

- ① vytvořím **barevný histogram** obrázku
 - výčet všech použitých barev včetně jejich četnosti
 - každá barva tvoří na začátku samostatnou skupinu
- ② najdu dvě **nejbližší** skupiny barev a spojím je
 - kritéria podobnosti: **vzdálenost** ($\min\{|C_i - C_j|\}$),
poloměr ($\max\{|C_i - C_j|\}/2$), **rozptyl** ($\sum(C_i - \bar{C})^2/n$)
- ③ krok ② opakuji tak dlouho, dokud nedostanu požadovaný počet skupin **N** (např. 256)
 - slučovacích kroků je třeba udělat velmi mnoho!

Postup výpočtu



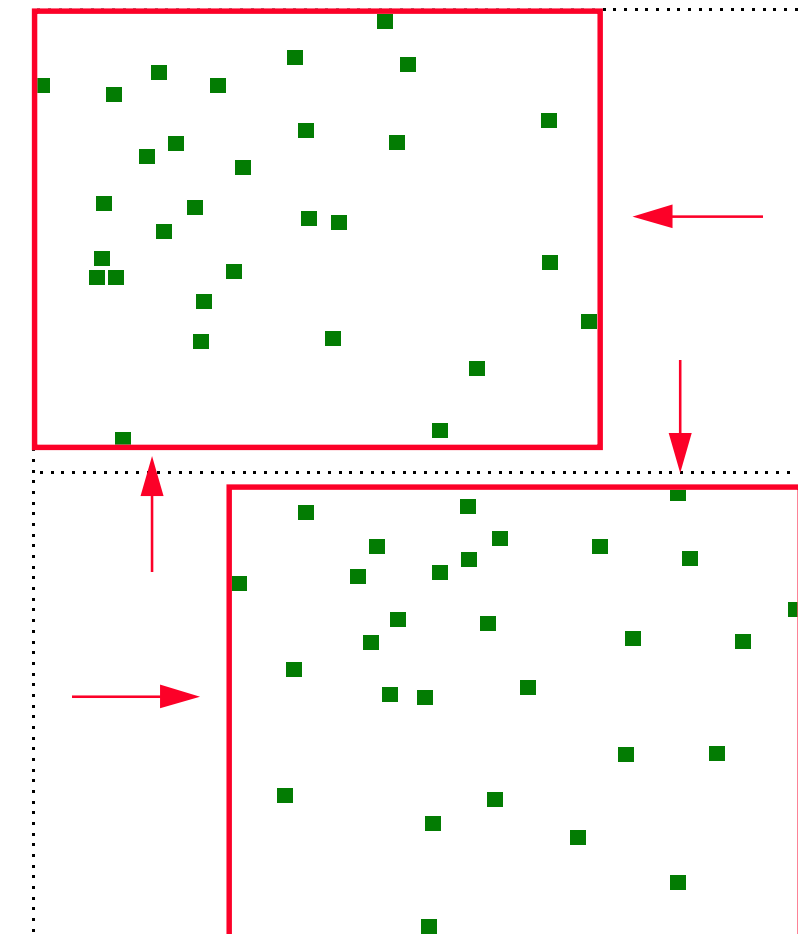
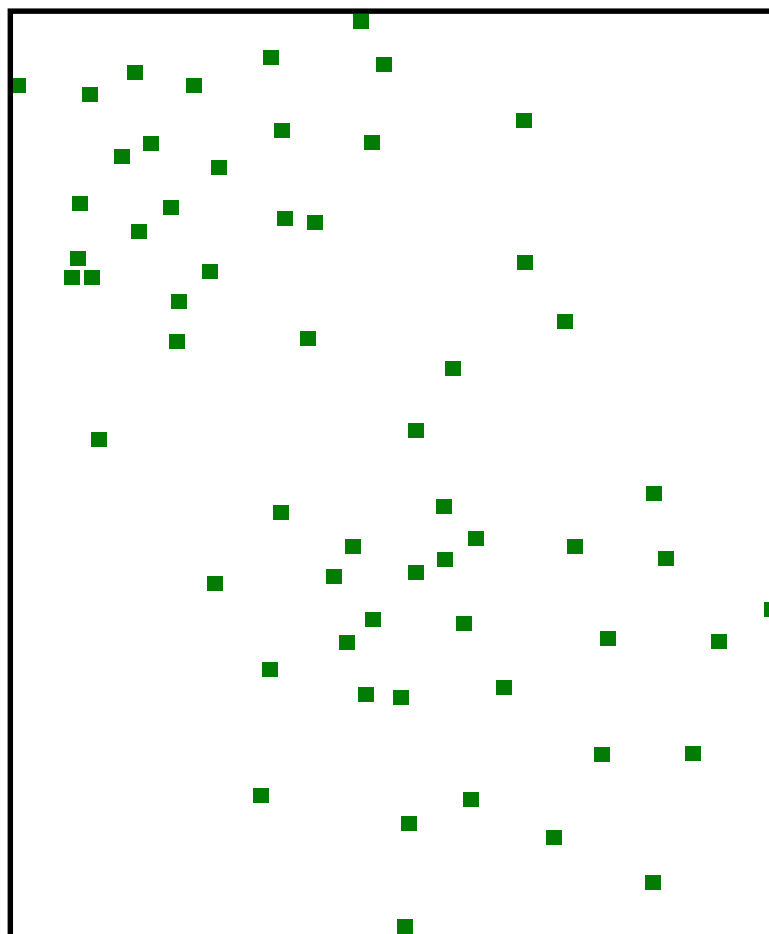
Algoritmus “octree”

- šetří paměť i čas výpočtu
 - rychlejší hledání nejbližších skupin barev
- ① z prvních **N různých barev** vytvořím skupiny
- ② načítám zbytek obrázku a pro každý pixel s dosud se nevyskytující barvou provedu:
- ③ z **N+1 skupin** vyberu dvě nejbližší a sloučím je
 - algoritmus není symetrický (záleží na vstupním pořadí barev)

Heckbertův algoritmus (“median cut”)

- ① vytvořím **barevný histogram** obrázku
 - všechny barvy tvoří na začátku jednu skupinu (tvaru kvádru)
- ② vyberu “**největší**” skupinu barev a rozdělím ji na dvě
 - různé metody pro výběr i dělení skupiny barev
- ③ krok ② opakuji tak dlouho, dokud nedostanu požadovaný počet skupin **N** (např. 256)
 - při mapování barev se může použít rozptylování

Dělení skupiny



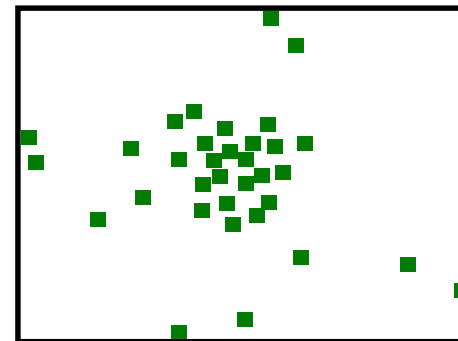
Kritéria dělení skupin barev

- ◆ **velikost kvádru** (délka nejdelší hrany)
 - nejdelší hranu kvádru rozdělím v polovině
- ◆ **subjektivní velikost kvádru**
 - jednotlivé složky jsou váženy citlivostí lidského oka
- ◆ **počet barev** (počet vstupních pixelů)
 - rozdělím nejdelší hranu kvádru v místě mediánu
- ◆ **rozptyl barev** (vážený počtem pixelů)
 - rozdělím nejdelší hranu kvádru v průměrné hodnotě

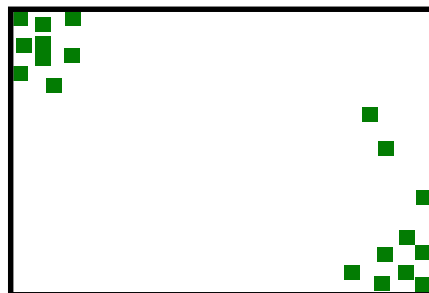
Kritéria dělení - příklady



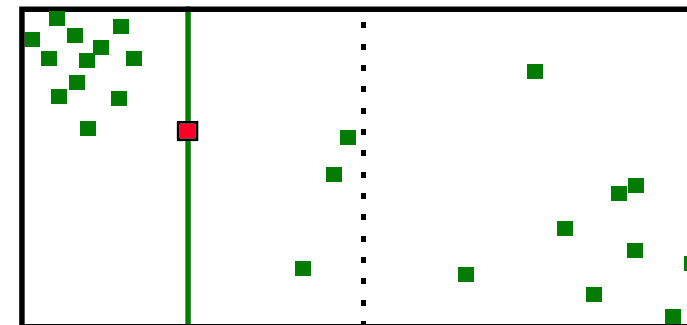
málo barev



více barev, malý rozptyl



méně barev, velký rozptyl



dělení podle mediánu

Implementace

- ➔ **vytváření histogramu** je velmi náročné na čas i paměť
 - řídké uložení histogramu (šetří paměť)
 - datová struktura s rychlým vyhledáváním (hašování)
- ➔ **přemapování barev**
 - **zaokrouhlení** (vyhledání příslušné skupiny - boxu)
 - **rozptylování** mezi nejbližšími barvami palety
(distribuce chyby: hledání nejbližší barvy, vstupní barvy musí ležet v konvexním obalu barev palety)

Barevný tisk

- ◆ **malý počet základních barev (2-6)**
 - velké základní - pixelové - rozlišení (tisíce dpi)
 - univerzální čtyřbarevný tisk: **CMYK**
- ◆ **každá základní barva se půltónuje**
 - jednotlivé půltónovací rastry (“screens”) mívají rozlišení **60 ÷ 480 lpi**
 - používají se rastry s čtvercovými, kruhovými, eliptickými tečkami, kombinované a speciální rastry (“Monet”, náhodný rastr, ..)

Soutisk rastrů

- ◆ rastry se navzájem **otáčejí**
 - zabraňuje se tak vzniku rušivých interferencí
 - klasická sada úhlů pro čtyřbarevný tisk **CMYK**:
0°, 15°, 45°, 75° (“Offset angles”)
 - jiná sada úhlů: **7.5°, 22.5°, 37.5°, 52.5°, 67.5°, 82.5°** (“Flexo angles”)
 - úhly s racionální směrnicí jsou výhodnější pro implementaci

Konec

Další informace:

- Jiří Žára a kol.: *Počítačová grafika, principy a algoritmy*, 335-342
- V. Skala: *Algoritmy počítačové grafiky III*, skriptum ZČU, 1992, 60-61
- LAN na Malé Straně:
 - **barbora\usr:\vyuka\pelikan\4**

Redukce barev - praktické výsledky

**© 1995-2001 Josef Pelikán
KSVI MFF UK Praha**

e-mail: Josef.Pelikan@mff.cuni.cz
WWW: <http://cgg.ms.mff.cuni.cz/~pepca/>

Podmínky měření

- ◆ **dva testovací obrázky:**
 - “**Lena**” $512 \times 480 \times 24$ bitů (145.126 různých barev)
 - “**cube**” $440 \times 330 \times 24$ bitů (4.839 různých barev)
- ◆ byla měřena **střední kvadratická odchylka** výsledných obrázků od originálu (“RMS error”):
 - barevné složky odchylek byly násobeny váhovými koeficienty **0.299** (R), **0.587** (G), **0.114** (B)
 - pro napodobení vlivu rozptylovacích metod byly odchylky měřeny i přes **obdélníkové filtry** velikosti 2×2 a 3×3

Detaily implementace

◆ adaptivní algoritmy obecně:

- základní kriterium slučování/rozdělování skupin:
Euklidovský průměr (barevné složky jsou váženy)
- “**variance**”: kritériem je **rozptyl** barev ve skupině
- “**error**”: kritériem je **celková kvadratická chyba** barev ve skupině
- pro **rozptylování** je v paletě zafixováno osm barev (rohy RGB krychle) - vybírá se jen **N-8** barev
- výběr **reprezentanta do palety**: **těžiště** skupiny barev

Detaily implementace

→ Heckbertův algoritmus:

- dělí se **nejdelší** (vážená) hrana kvádru v místě **těžiště**
- ve variantách “**variance**” a “**error**” se dělí hrana s **největším** (váženým) rozptylem hodnot v místě **těžiště**
- + “**number**”: kritériem je počet pixelů ve skupině (pokud skupina obsahuje alespoň dvě různé barvy)

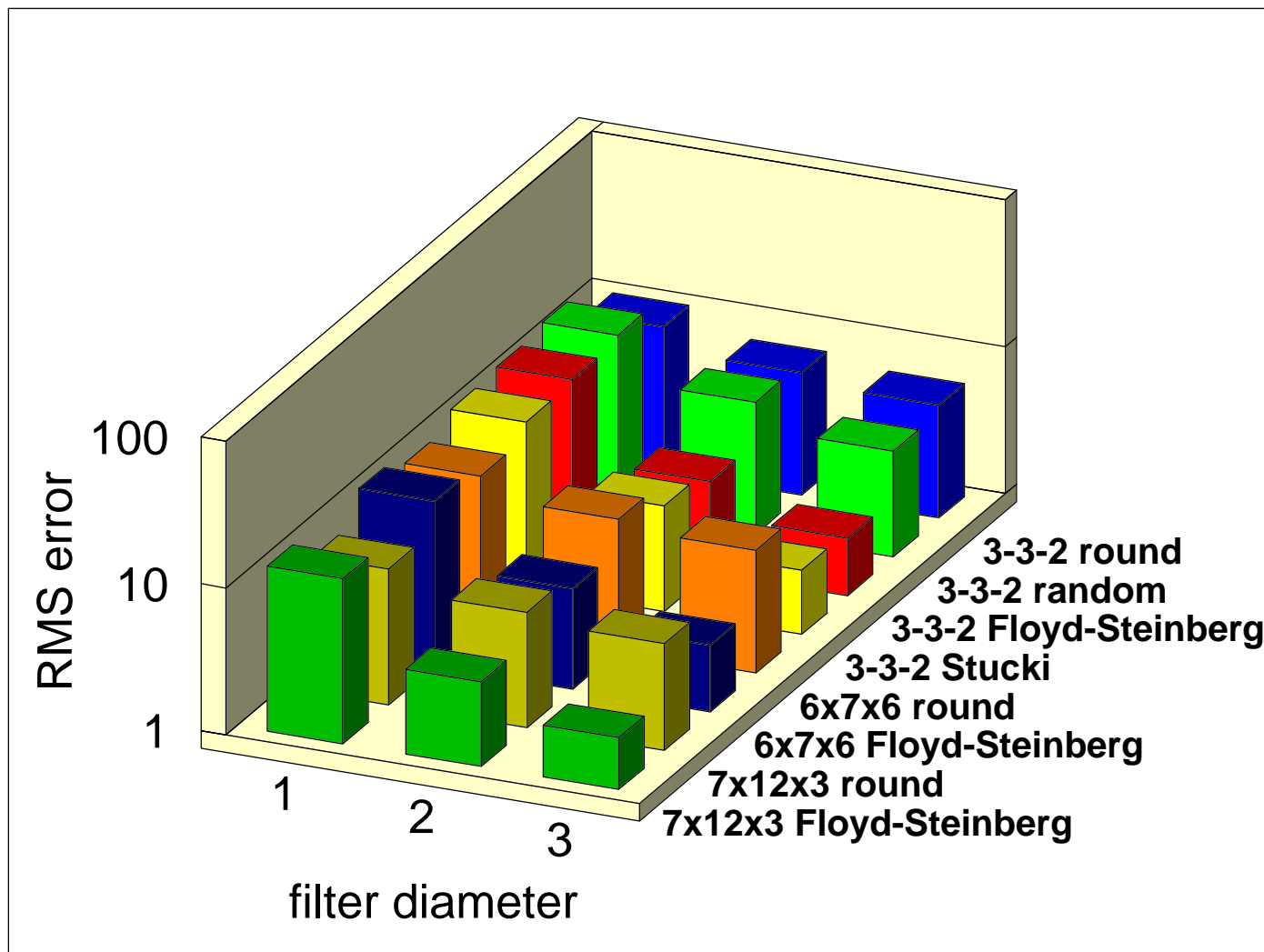
Výsledky - univerzální palety

průměr filtru:	“Lena”			“cube”		
	1	2	3	1	2	3
3-3-2 round	9.80	6.83	5.88	13.88	13.57	13.33
3-3-2 random	15.81	7.90	5.26	10.46	5.26	3.53
3-3-2 Floyd-Steinb.	14.46	4.19	2.46	10.22	3.07	1.87
3-3-2 Stucki	13.62	5.24	2.73	9.99	3.59	1.81
6x7x6 round	10.75	7.81	6.84	15.76	15.41	15.15
6x7x6 Floyd-Steinb.	13.29	4.83	2.85	11.52	3.54	2.07
7x12x3 round	8.45	6.10	5.38	11.47	11.19	10.97
7x12x3 Floyd-Steinb.	13.29	3.76	2.25	9.69	2.83	1.66

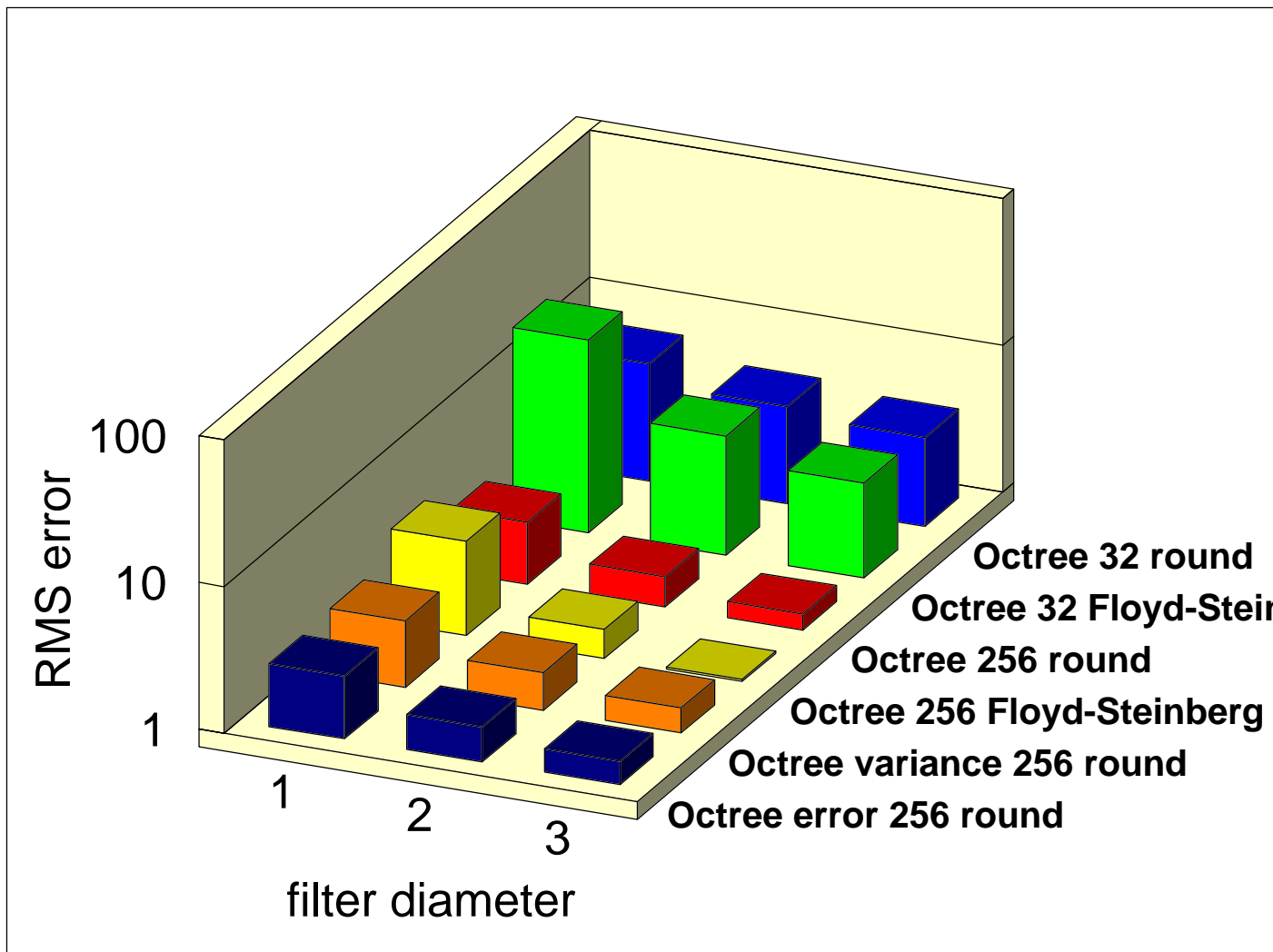
Výsledky - adaptované palety

		“Lena”		“cube”		
Octree 32 round	6.32	4.60	4.06	11.15	10.77	10.51
Octree 32 F.-S.	20.52	6.52	4.45	29.96	7.62	6.15
Octree 256 round	2.66	1.61	1.28	3.72	3.35	3.10
Octree 256 F.-S.	4.40	1.58	1.03	6.30	2.05	1.49
Octree variance 256	2.85	1.80	1.48	17.48	16.91	16.48
Octree error 256	2.69	1.73	1.44	5.46	5.12	4.89
Heckbert 32 round	5.71	3.93	3.39	10.96	10.65	10.44
Heckbert 32 F.-S.	16.74	5.55	3.75	32.66	7.78	6.32
Heckbert 256 round	2.79	1.62	1.26	3.54	3.20	2.96
Heckbert 256 F.-S.	3.97	1.50	0.94	5.96	2.31	1.79
Heckbert number 256	2.59	1.61	1.31	3.59	3.18	2.89
Heckbert variance 256	2.69	1.65	1.33	3.95	3.64	3.42
Heckbert error 256	2.34	1.49	1.24	3.15	2.83	2.60

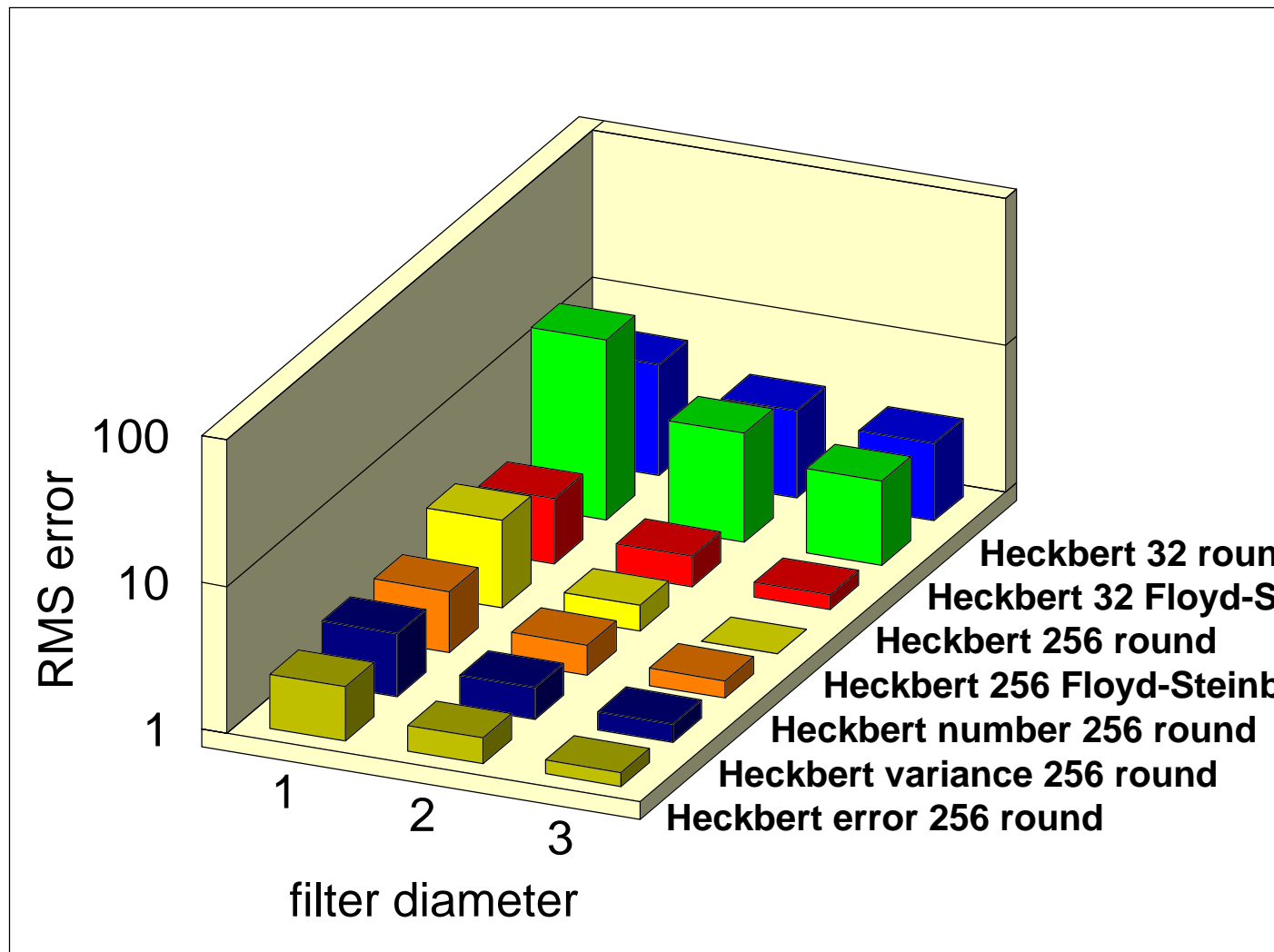
“Lena” - univerzální palety



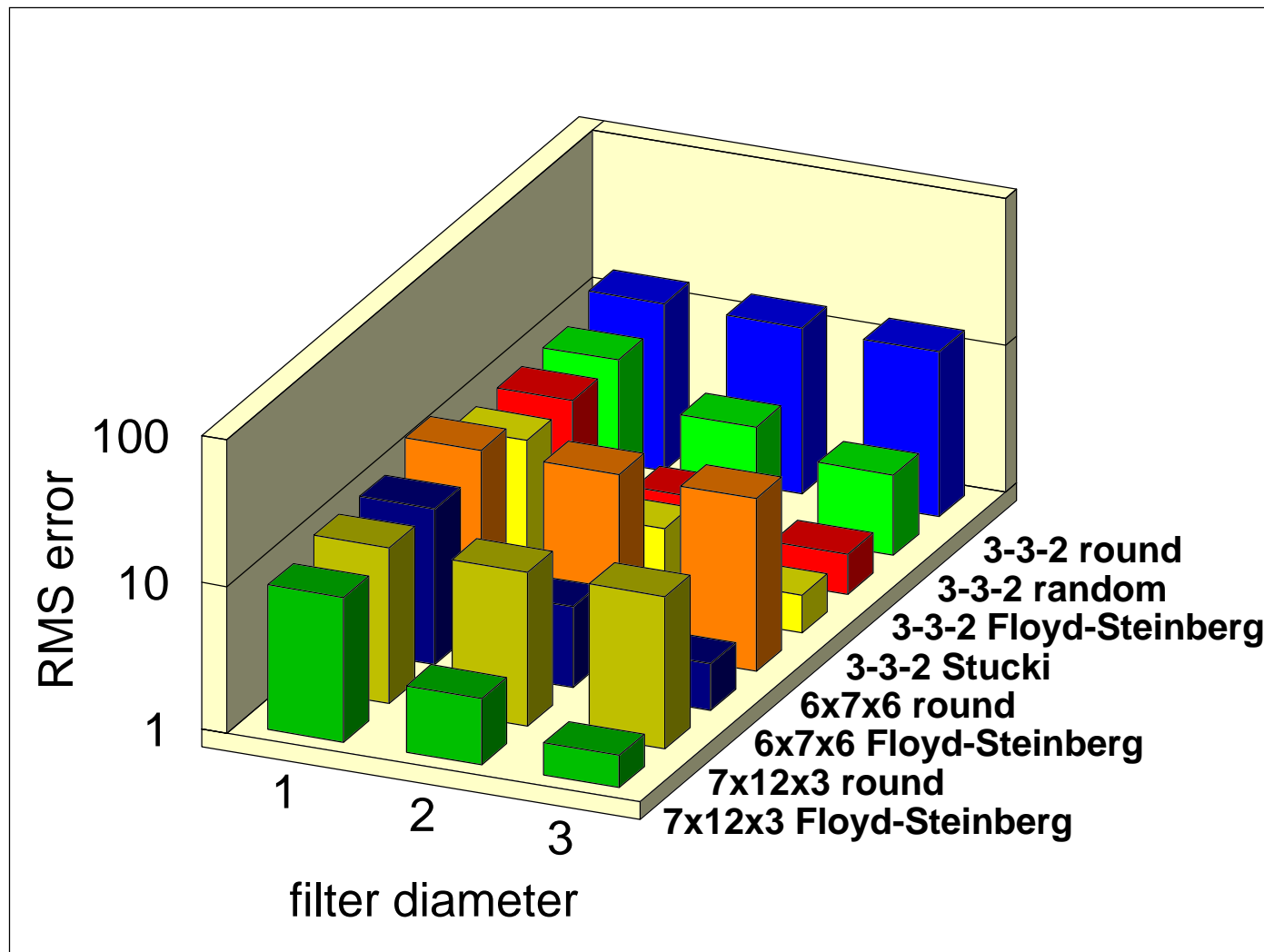
“Lena” - algoritmus “octree”



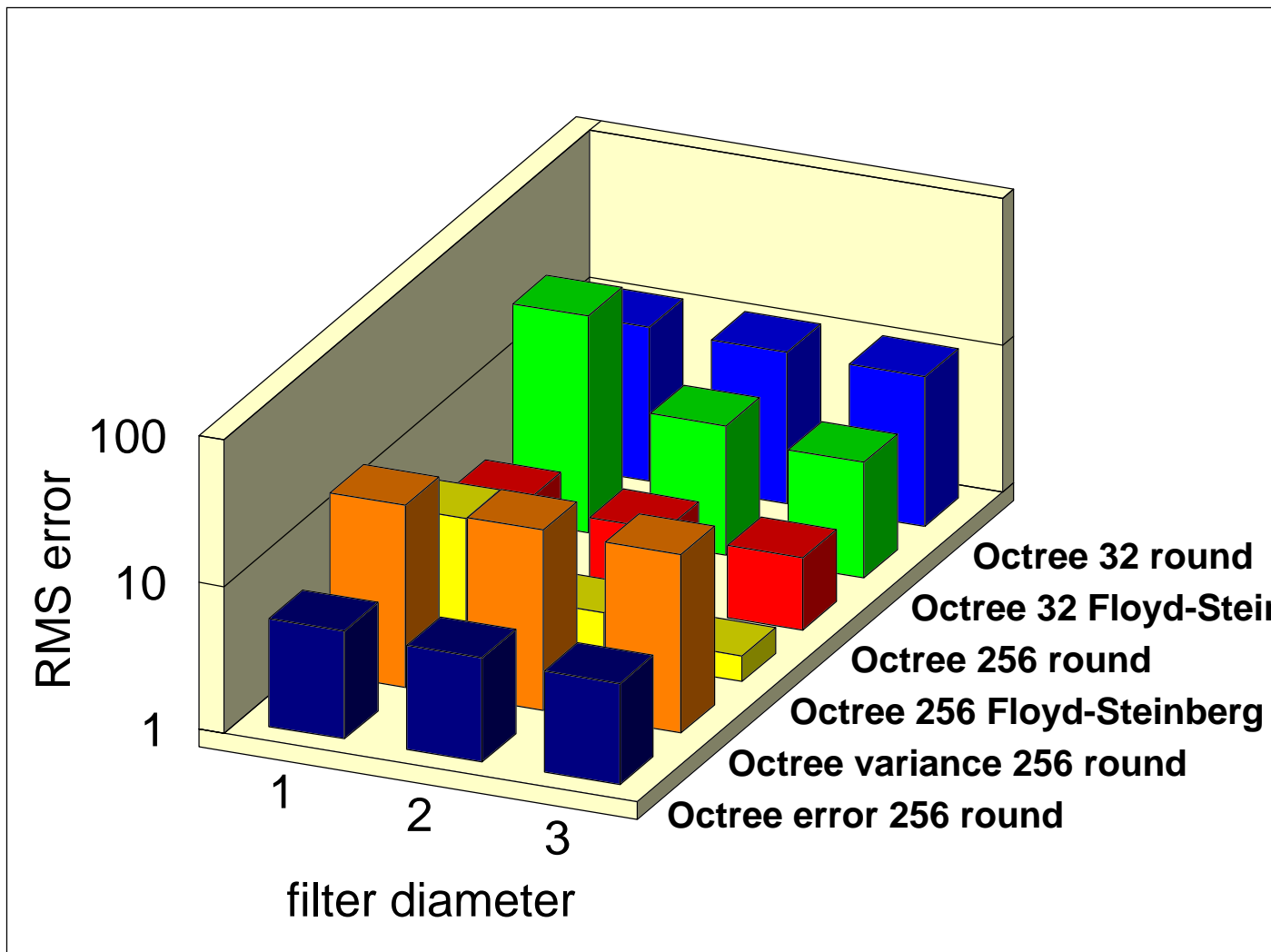
“Lena” - Heckbertův algoritmus



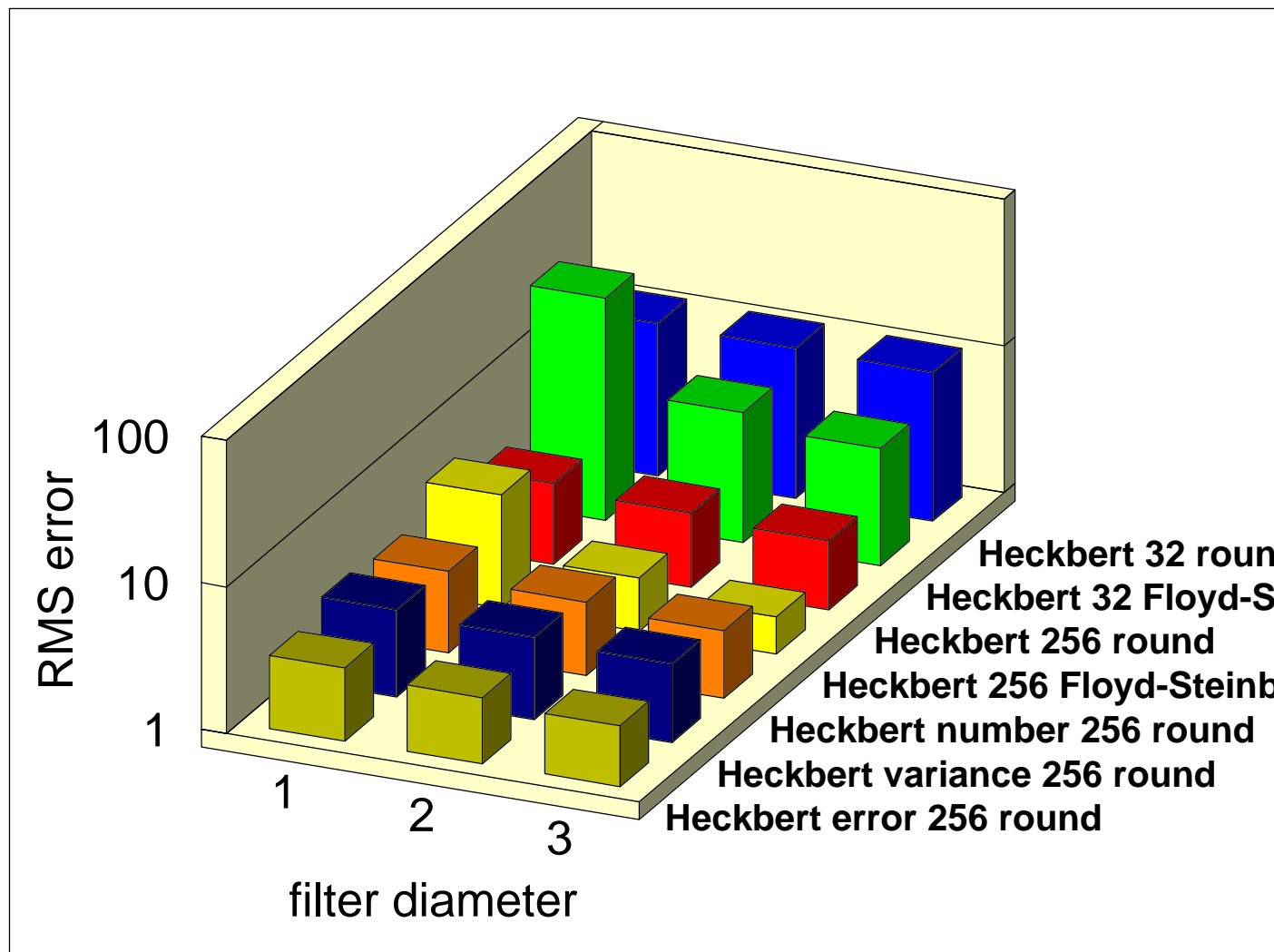
“cube” - univerzální palety



“cube” - algorithmus “octree”



“cube” - Heckbertův algoritmus



Barevné palety

**© 1995-2001 Josef Pelikán
KSVI MFF UK Praha**

e-mail: Josef.Pelikan@mff.cuni.cz
WWW: <http://cgg.ms.mff.cuni.cz/~pepca/>

Barevné palety

◆ diskrétní

- neexistuje souvislost mezi barvou a jejím umístěním v paletě
- kreslicí programy (malířská paleta)

◆ topologické

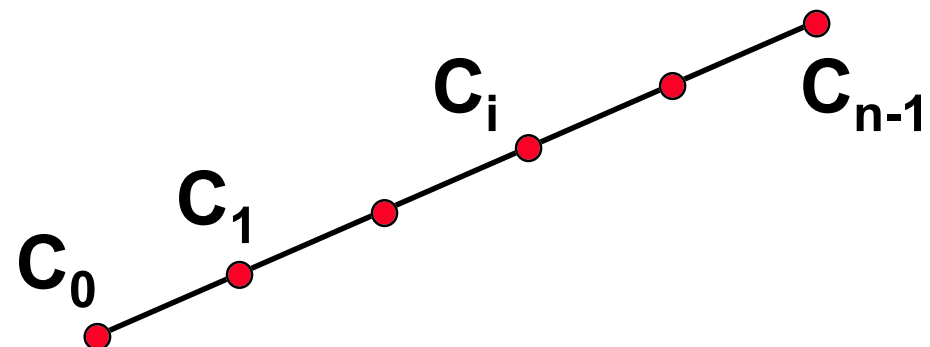
- barvy jsou v paletě uspořádány podle určitého systému
- vyhlazování (“anti-aliasing”), univerzální barevné zobrazování, rozptylování

Univerzální zobrazování barev

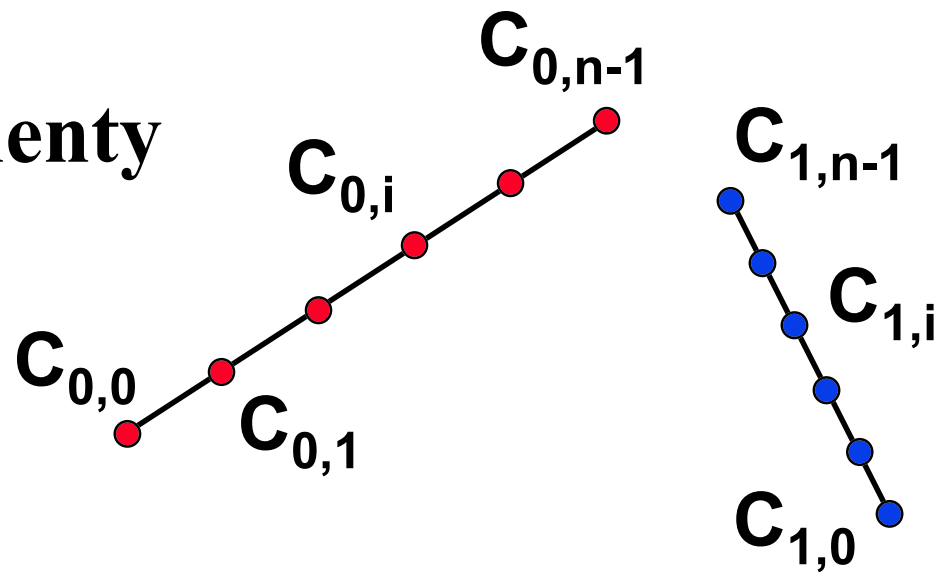
- snadný výpočet čísla barvy v paletě
 - jednoduchá implementace rozptylovacích metod
- ◆ palety pro systém **RGB**
 - paleta “**3-3-2**”: $8 \times 8 \times 4$ barev
 - paleta “**6×7×6**”: $6 \times 7 \times 6$ barev
 - paleta “**7×12×3**”: $7 \times 12 \times 3$ barev
- ◆ palety pro jiné barevné systémy
 - $12 \times (1+2+3+4+5+6)$ pro **HSV**

Vyhrazování - směs dvou barev

I) jeden segment



II) disjunktní segmenty

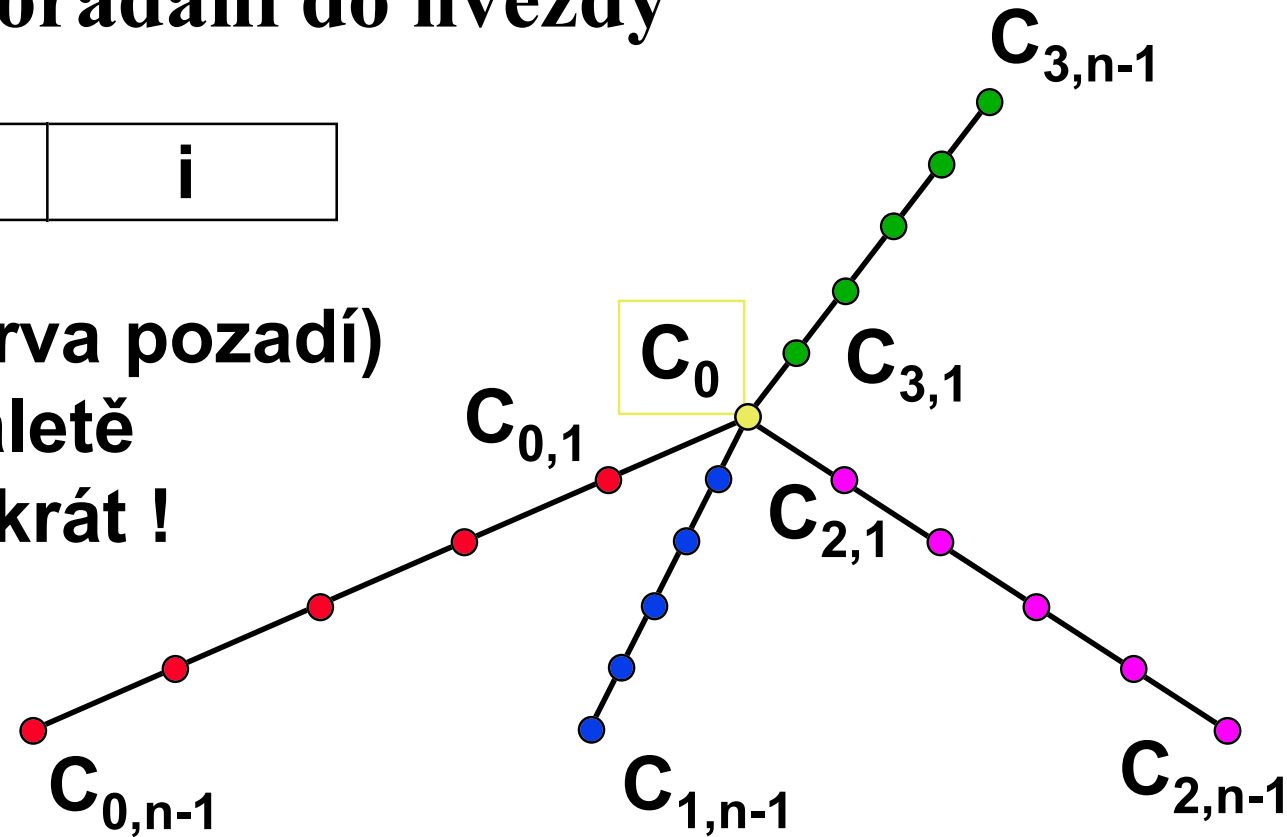


Vyhrazování - směs dvou barev

III) uspořádání do hvězdy

s	i
---	---

C_0 (barva pozadí)
je v paletě
několikrát !



Vyhrazování - směs dvou barev

IV) barevná síť'

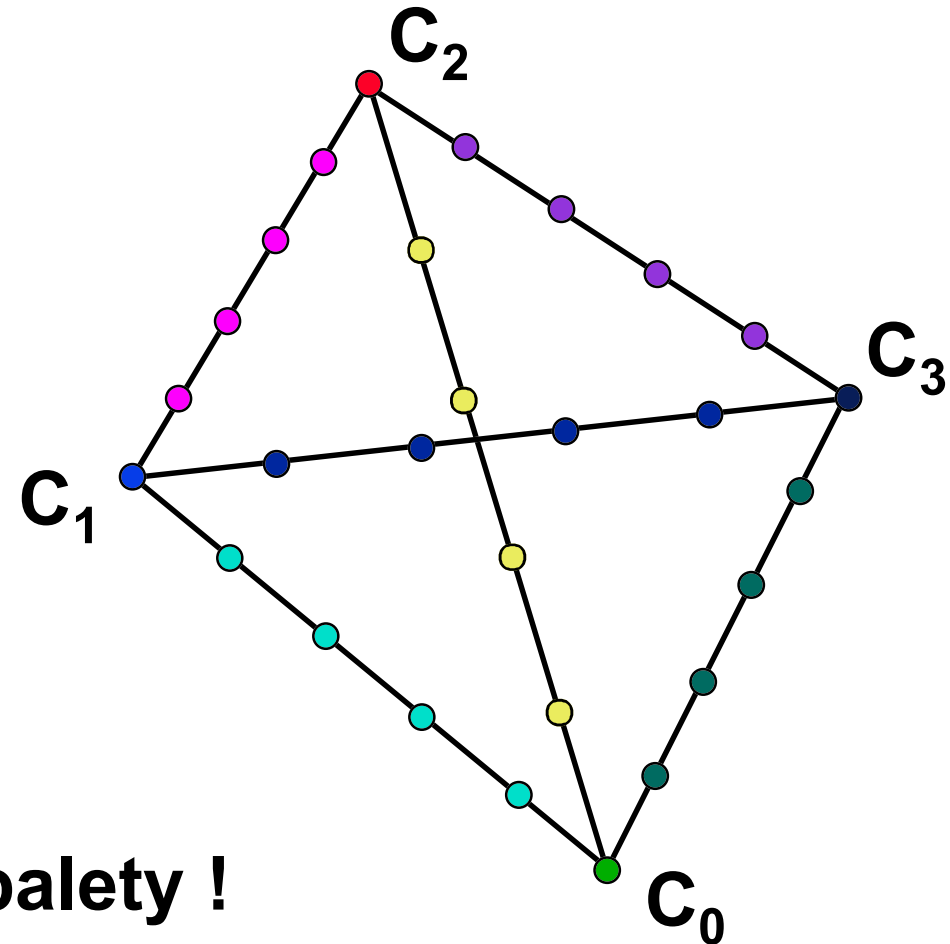
b_1	b_2	i
-------	-------	---

$$b_1 > b_2$$

$[b_1, b_2]$:

$[1,0], [2,0], [2,1],$
 $[3,0], [3,1], [3,2]$

Nesouvislý úsek palety !



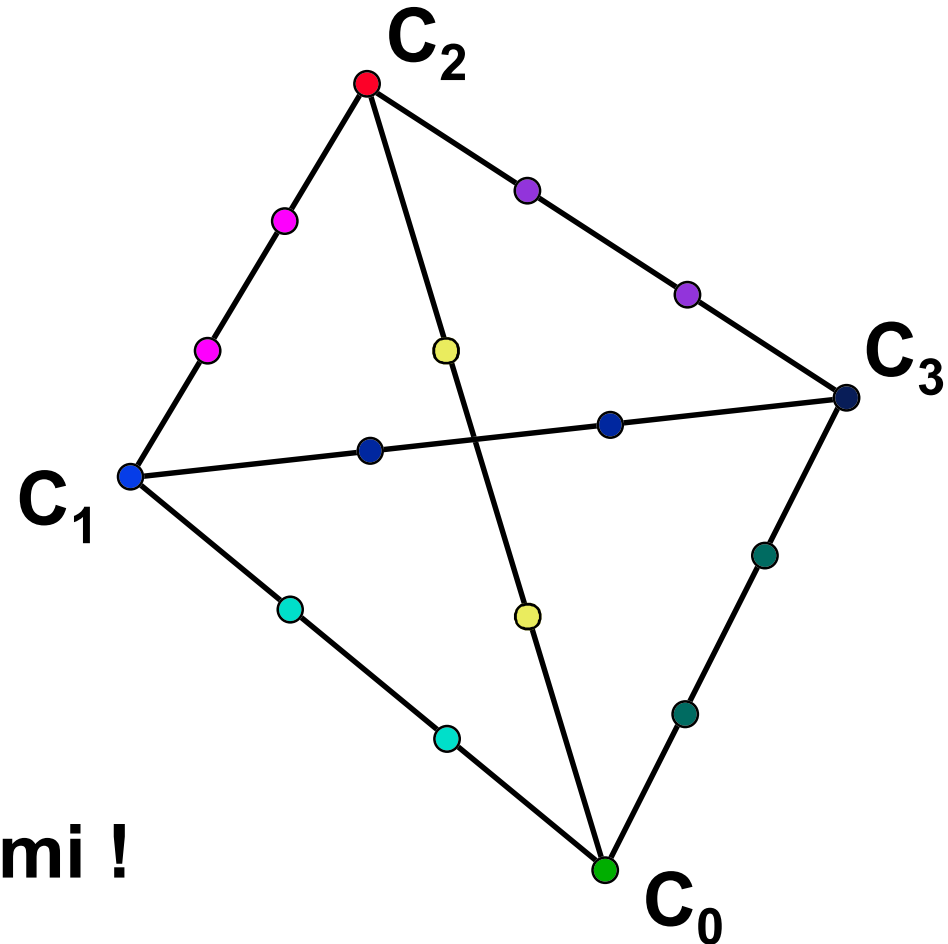
Vyhrazování - směs dvou barev

V) “major-minor”

maj	min
------------	------------

$$C_{\text{maj}} * \frac{2}{3} + C_{\text{min}} * \frac{1}{3}$$

Neplýtvá se barvami !



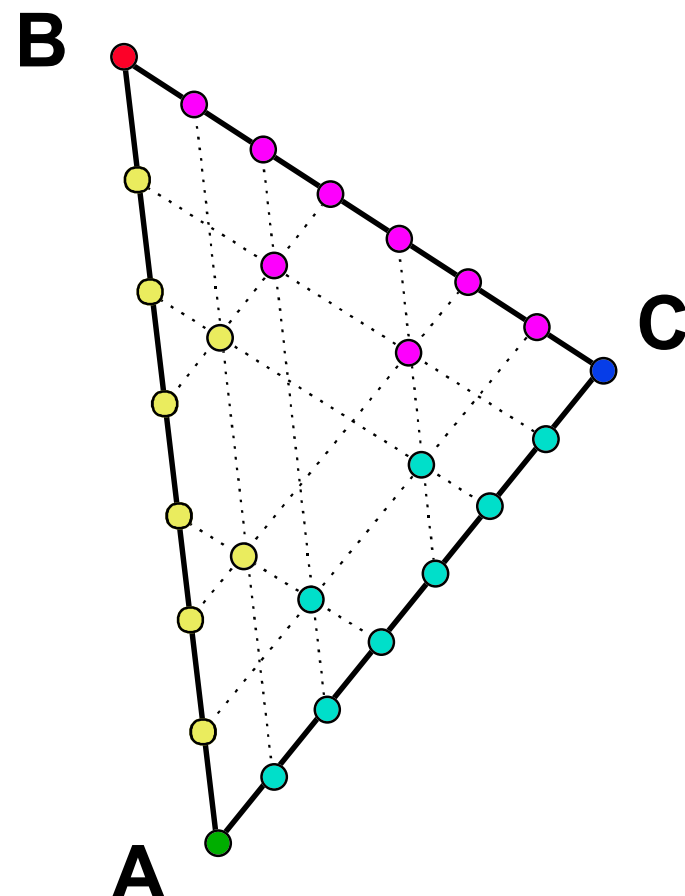
Vyhrazování - směs tří barev

VI) tři komponenty

b_1	b_2	b_3
-------	-------	-------

$$b_1 \cdot 4/7 + b_2 \cdot 2/7 + b_3 \cdot 1/7$$

Neplýtvá se barvami !



Vyhazování - směs čtyř barev

VII) čtyři komponenty

b_1	b_2	b_3	b_4
-------	-------	-------	-------

$$b_1 \cdot 8/15 + b_2 \cdot 4/15 + b_3 \cdot 2/15 + b_4 \cdot 1/15$$

mezi dvěma základními barvami: **14 odstínů**
v rovině tří základních barev: **6 dalších odstínů**
uvnitř každého čtyřstěnu: **24 dalších odstínů**

Další informace uložené v paletě

- ◆ **jednabitová maska** pro zvýraznění označených pixelů (označená oblast)
 - programy pro zpracování obrazu
- ◆ **uložení více obrázků** do jedné Video-RAM
 - pro 256-barevný režim: dva 16-barevné obrázky, čtyři čtyřbarevné, osm dvoubarevných
 - mohu zobrazit jejich libovolnou kombinaci
 - plány měst, GIS (geografické informační systémy)

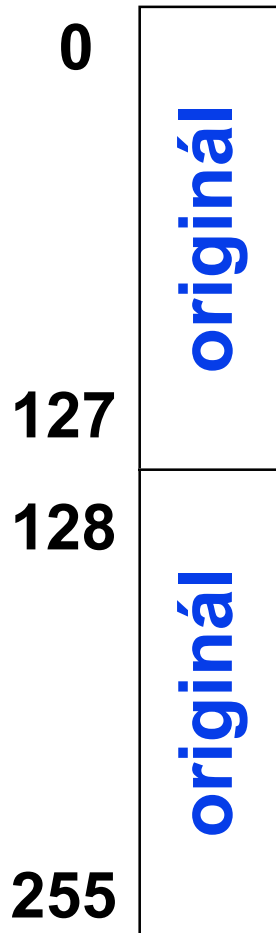
Další informace uložené v paletě

- ◆ **prolínání dvou obrázků** (“fade-in”, “fade-out”)
 - dva 16-barevné obrázky v 8-bitové Video-RAM
- ◆ **animace pomocí palety**
 - uložení více snímků do jedné Video-RAM
 - rychlé přepínání snímků pouze změnou palety
 - možnost prolínání sousedních snímků

Jednobitová maska

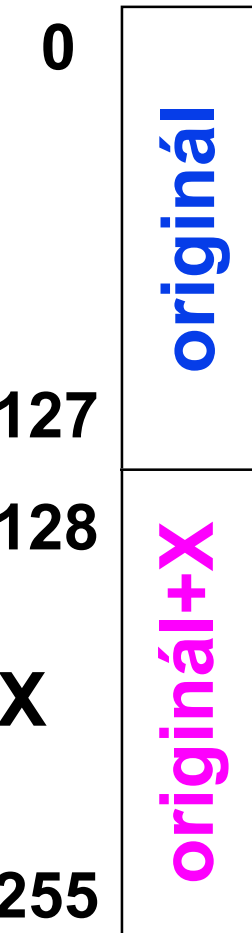
**1) maska
není vidět**

$$C_{i+128} = C_i$$



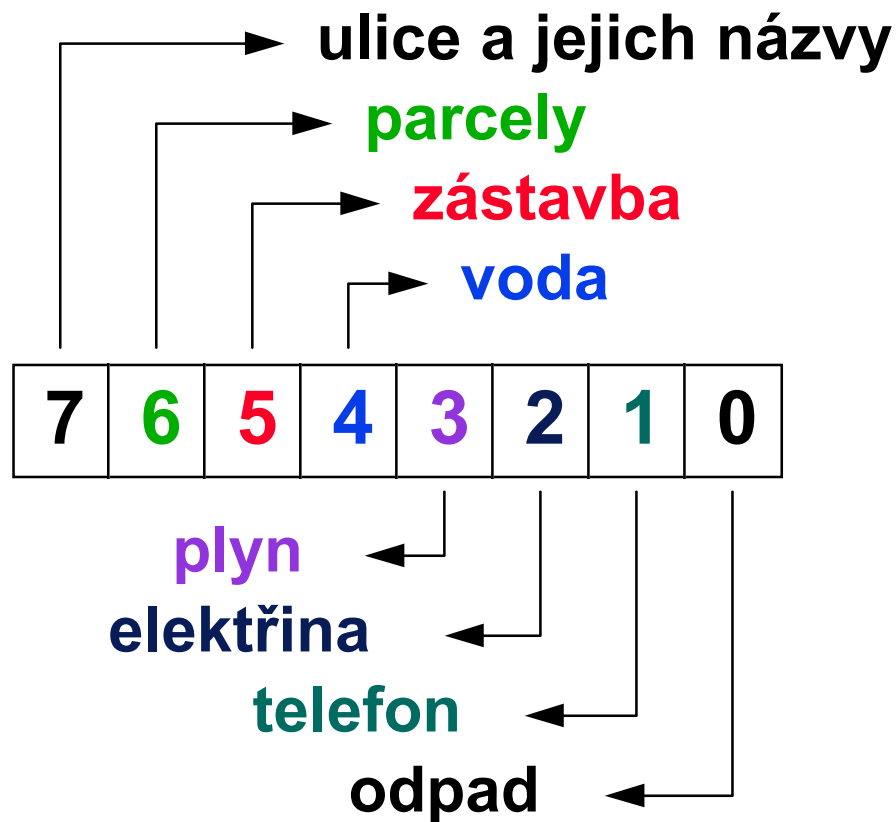
**2) maska je
zvýrazněna
odstínem X**

$$C_{i+128} = C_i + X$$



Více obrázků ve Video-RAM

Příklad z GIS:

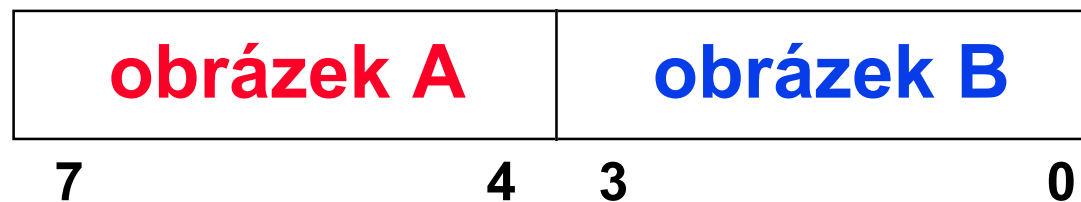


Paleta
pro
ulice a
parcely:

0	bílá
63	
64	
127	
128	zelená
191	
192	modrá
255	černá

Prolínání dvou obrázků

- ◆ dva 16-barevné obrázky v 8-bitovém bufferu
 - vstupní barvy: A_0-A_{15} , B_0-B_{15}

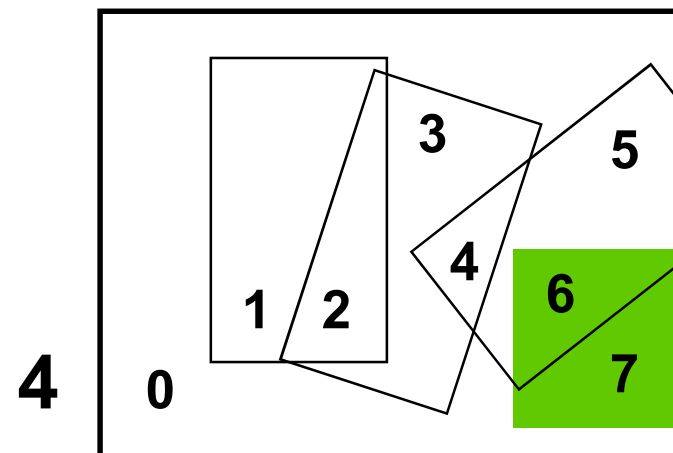
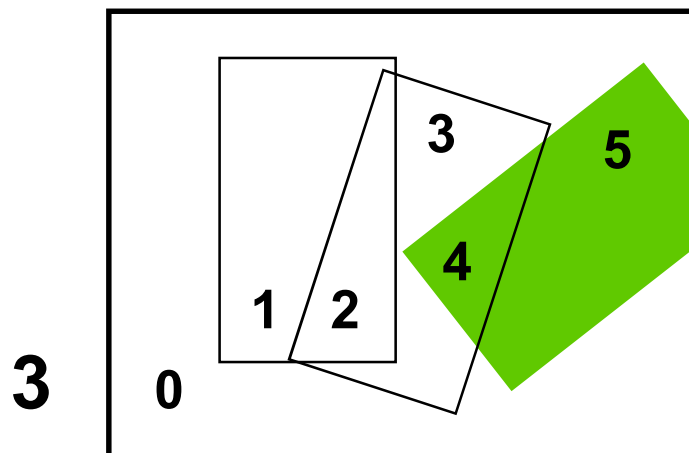
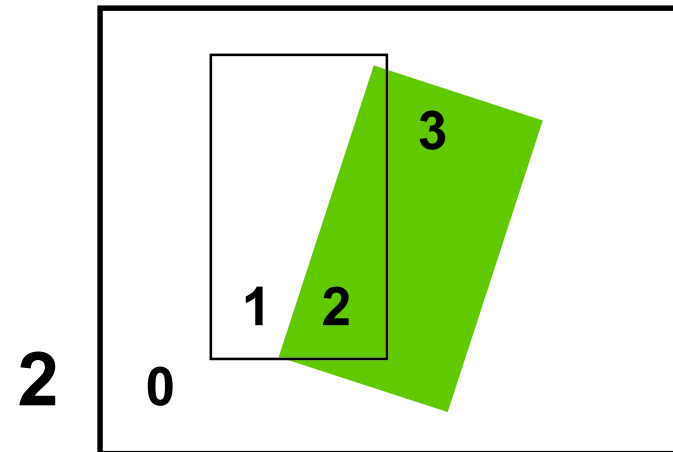
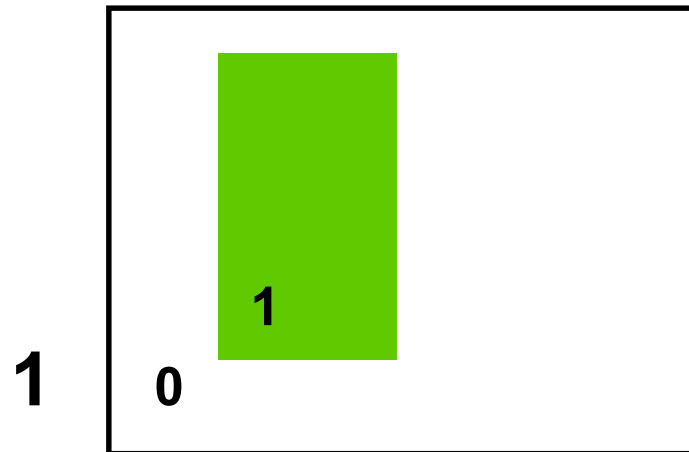


- ◆ palety pro přechod jednoho obrázku do druhého:
 - $C_i = (1-t) * A_i \text{ div } 16 + t * B_i \text{ mod } 16$
 - t se pohybuje od 0 do 1

Animace pomocí palety

- ◆ časově náročné kreslení do Video-RAM se dělá jen na začátku
 - snímky se přepínají pouze změnou palety
- **univerzální konstruktivní algoritmus:**
 - hledám rozklad všech pixelů na třídy **ekvivalence**:
 $[x,y] \sim [u,v]$, jestliže jsou v každém snímku i barvy
 $C_i[x,y] = C_i[u,v]$
 - tříd ekvivalence může být maximálně tolik, kolik barev v paletě mám k dispozici
 - inkrementální konstrukce relace “~”

Konstrukce paletové animace



Konec

Další informace:

- ➔ LAN na Malé Straně:
 - **barbora\usr:\vyuka\pelikan\5**

Kódování rastrových obrázků

**© 1996-2001 Josef Pelikán
KSVI MFF UK Praha**

e-mail: Josef.Pelikan@mff.cuni.cz
WWW: <http://cgg.ms.mff.cuni.cz/~pepca/>

Použití

- **úsporné uložení rastrového obrázku**
 - proti běžným textovým algoritmům mohu využít dvojrozměrné povahy dat
- **efektivnější operace s jednoduchými obrázky a bitovými maskami**
 - množinové operace s bitovými maskami
 - superpozice obrázků

RLE kódování (“run-length enc.”)

- ◆ využívá se **koherence** ve vodorovném směru:
 - sousední pixely mají často stejnou hodnotu
 - nejvhodnější u málo barevných obrázků

→ speciální (pří)znak pro uložení “běhu”:

ESC {počet} {pixel} (PCX)

→ dva typy paketů - “kopírovací” a “opakovací”:

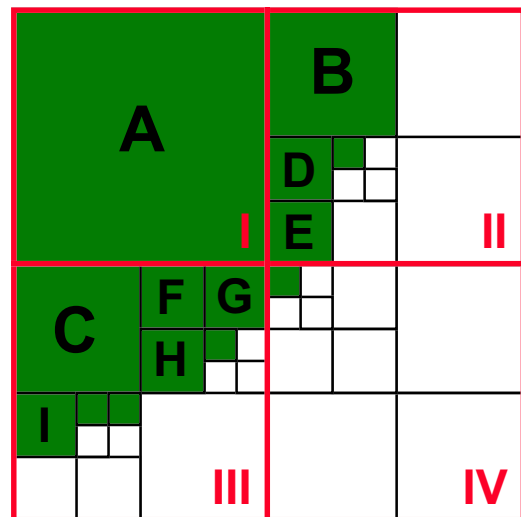
COPY {počet} {data ...} (Targa, BMP, ...)

FILL {počet} {pixel}

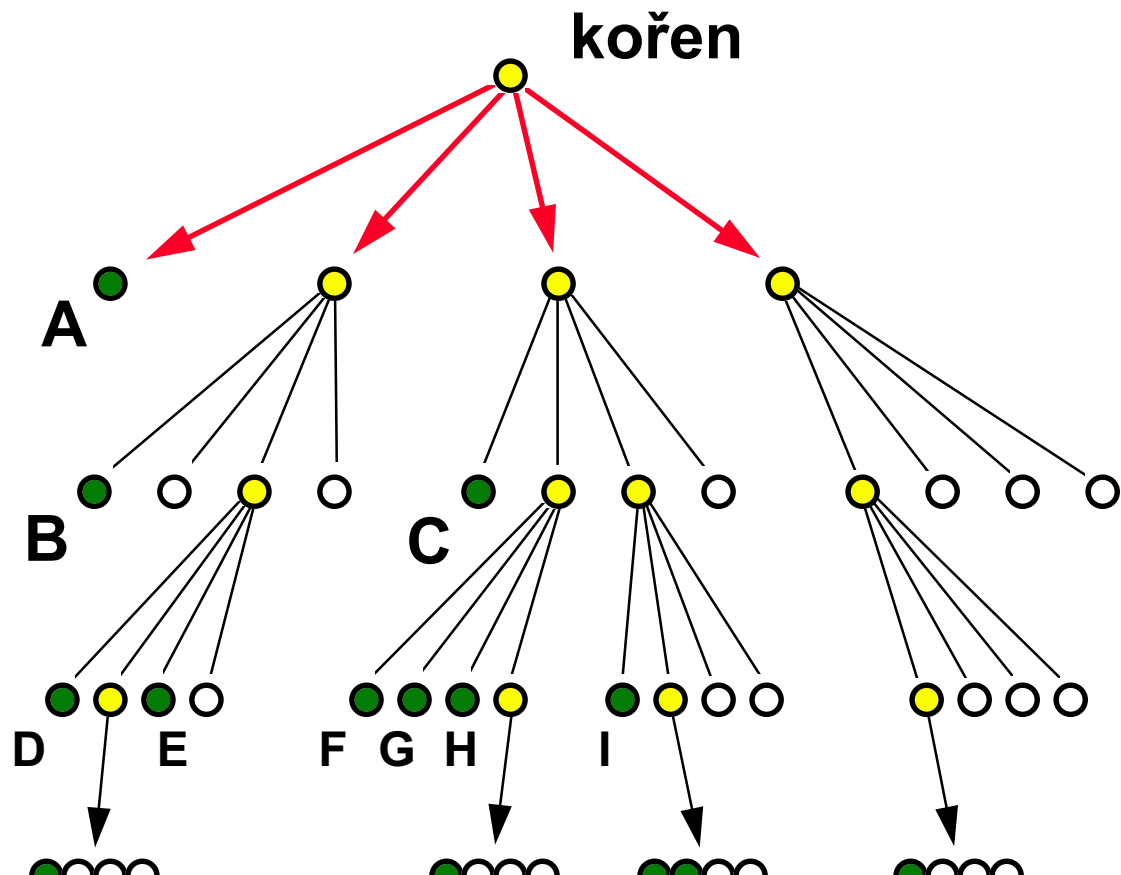
Kvadrantový strom (“quadtree”)

- ◆ využívá se **koherence** ve vodorovném i svislém směru
 - úsporně se kódují větší souvislé plochy jedné barvy
 - **adaptivní princip** (postupné dělení “zajímavých”= členitých oblastí)
- **aplikace kvadrantového stromu:**
 - kódování obrazu
 - úsporné uložení **bitové masky** (množinové operace)
 - pomocná datová struktura pro **rychlé vyhledávání**

Kvadrantový strom ("quadtree")



16×16
(256 bytů)



12 záznamů (96 bytů)

Kódování kvadrantového stromu

→ **podle definice** (metoda “shora-dolů”):

- daný čtverec zkontroluji ⇒ je-li vícebarevný, rozdělím ho na čtyři části, atd. (rekurze, “pre-order”)
- hodnoty některých pixelů čtu **několikanásobně**

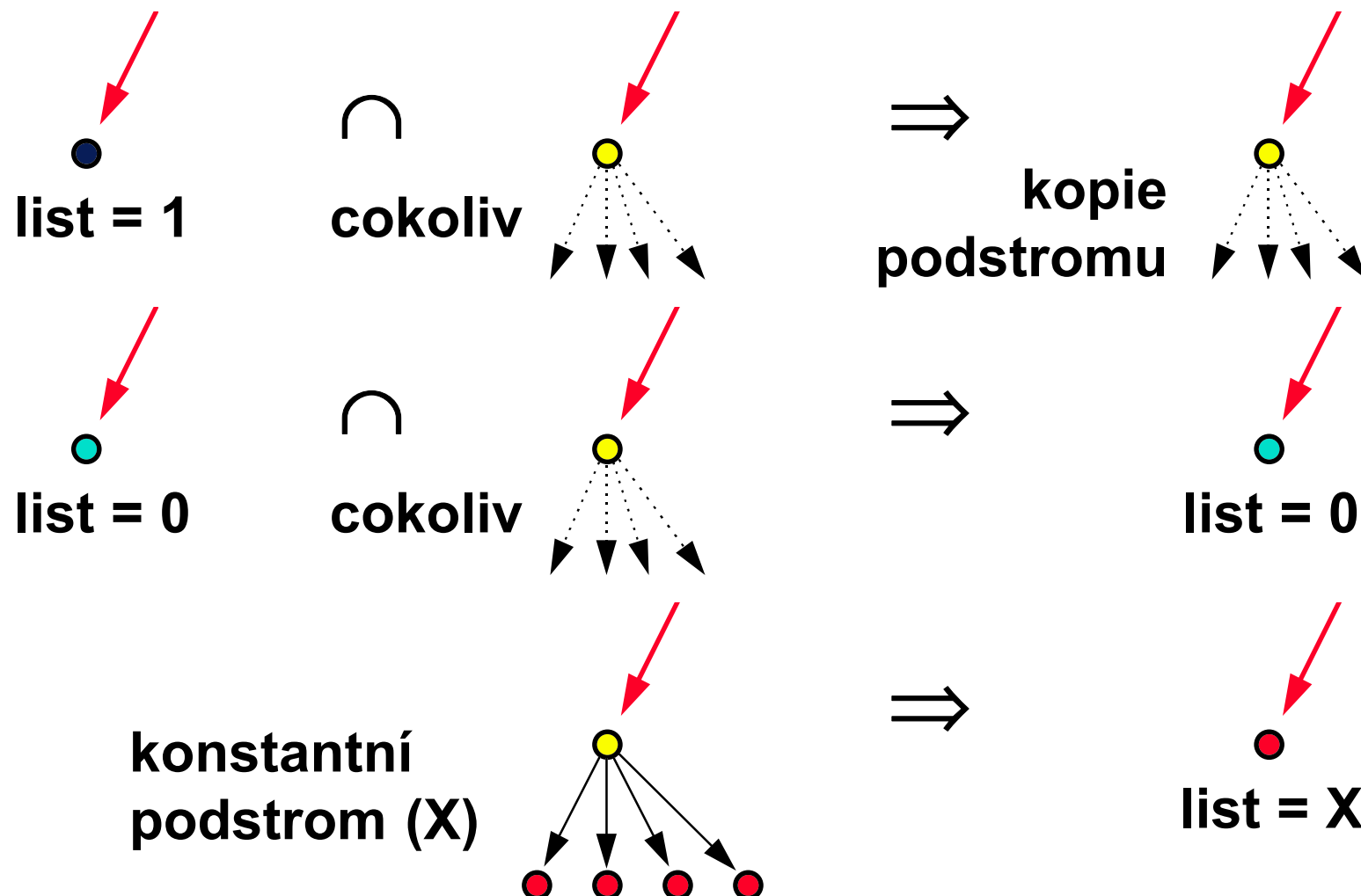
→ **metoda “zdola-nahoru”**:

- začínám od **čtverečků 2×2** , jednobarevné oblasti spojuji do větších uzlů grafu, atd., ... nakonec vytvořím **kořen stromu** (rekurze, “post-order”)
- každý pixel čtu pouze **jedenkrát**

Množinové operace

- ◆ kvadrantové stromy reprezentují **jednabitovou informaci** (množinu, masku)
 - množinové operace (sjednocení, průnik, rozdíl, ..)
 - předpokládám shodný definiční obor operandů
- procházím paralelně všechny **vstupní stromy** a současně konstruuji **výsledný strom**:
 - všechny vstupní uzly jsou vnitřní \Rightarrow “rozděl a panuj”
 - jeden vstupní uzel je listem \Rightarrow podle typu množinové operace zpracuje ostatní vstupní podstromy

Pravidla pro operaci “průnik”:



Implementační poznámky

→ kódování **obecné oblasti**:

- zakóduji nejmenší čtverec rozměru $2^n \times 2^n$, který danou oblast obsahuje
- pixely ležící **mimo oblast** zakóduji speciální hodnotou (“outside”)
- jiná varianta: vnějším pixelům přiřadím hodnotu **okrajových pixelů** (“don’t care”) - největší úspora

→ úsporné **hybridní kódování obrázku**:

- je-li podstrom větší než bitmapa, ukládám **bitmapu**

Implementační poznámky

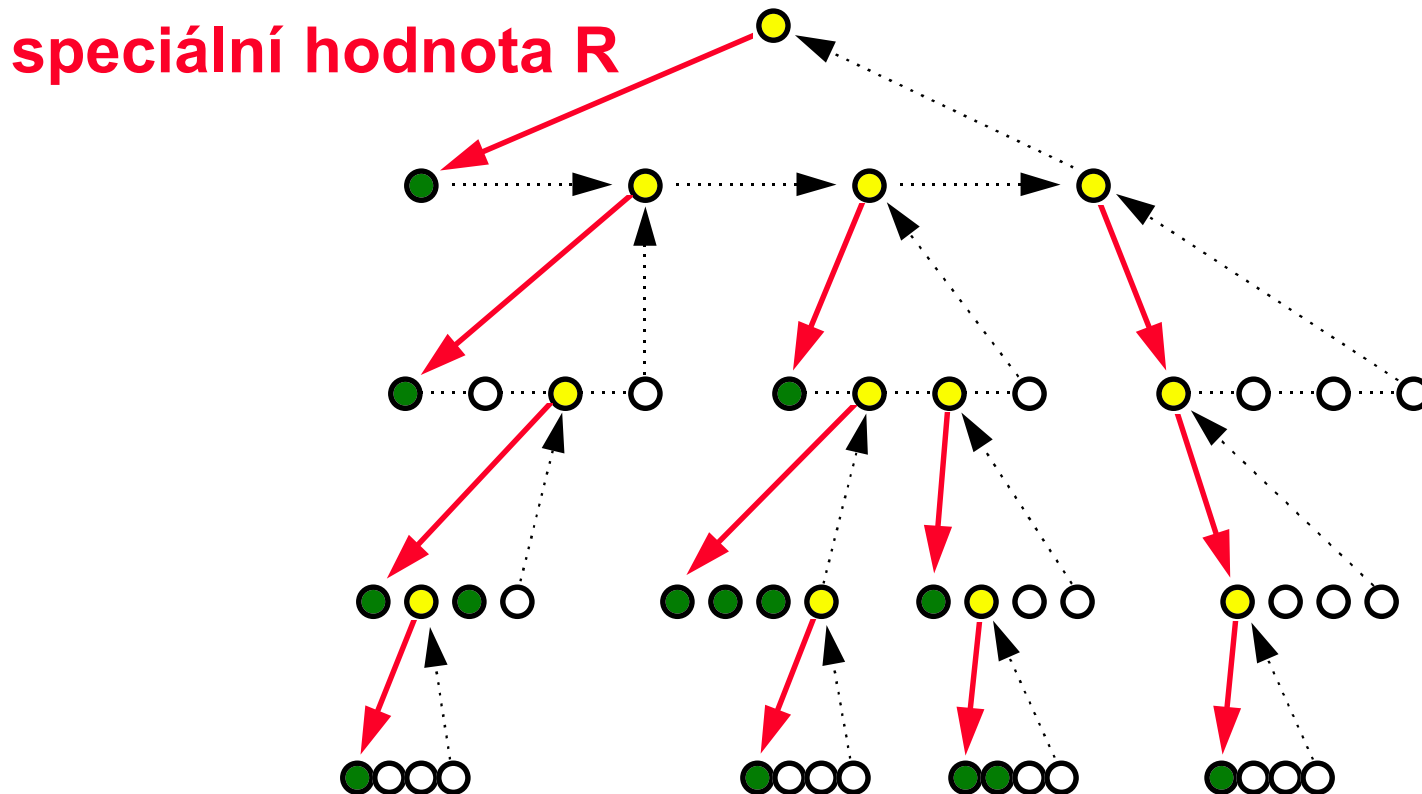
→ společné větve kvadrantového stromu:

- opakuje-li se ve stromu nějaká větev (podstrom) několikrát, uložím ji pouze jednou a odkazuji se na ni z více míst
- ze stromu se stává hierarchický **graf** (ADG - acyklický orientovaný graf)
- společná větev může být použita v různých úrovních

→ lineární uložení kvadrantového stromu (disk)

- **průchod stromem** zleva-doprava (“pre-order”)

Lineární uložení kvadr. stromu

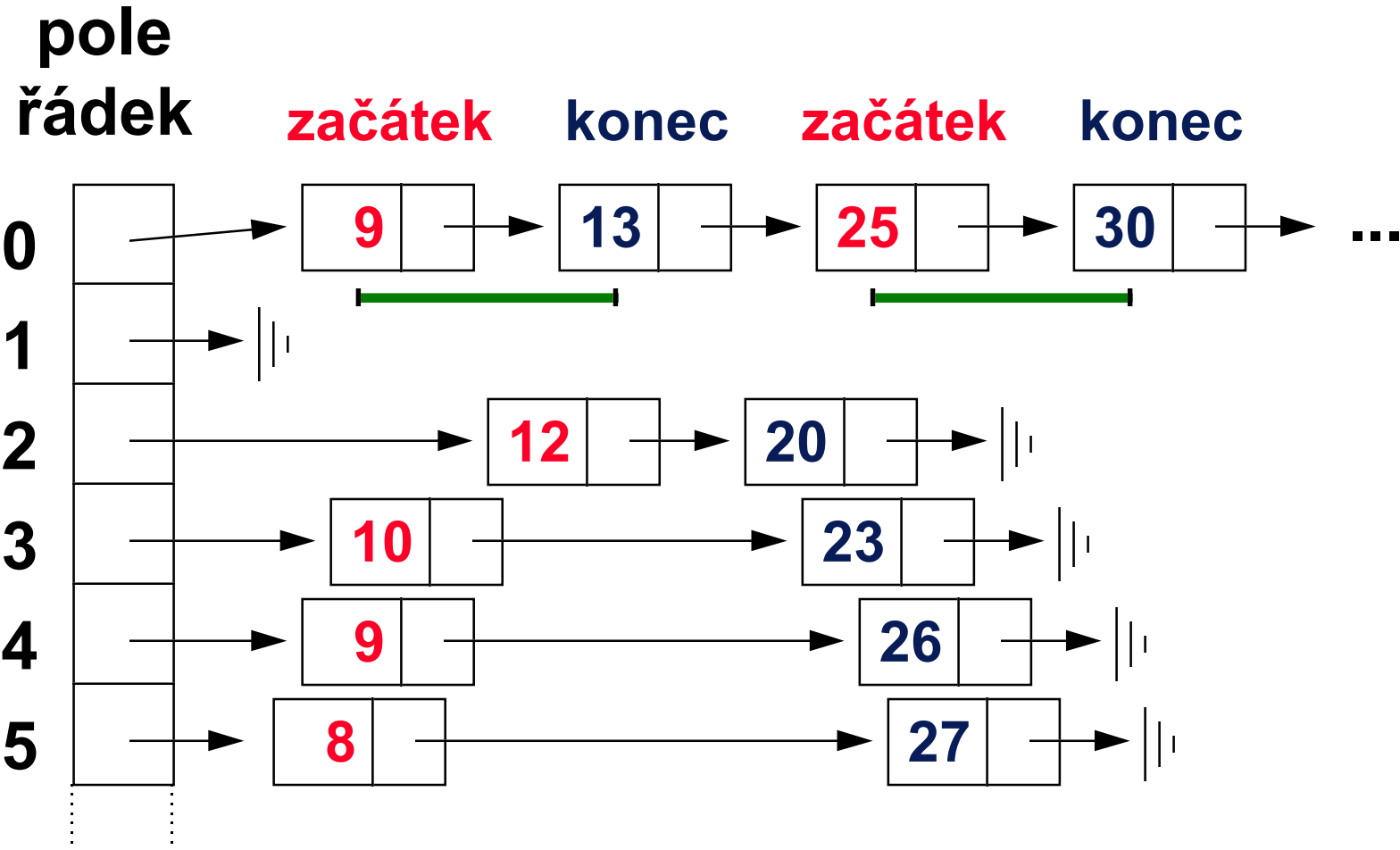


R1R10R1R1000100R1R111R1000R1R1100000
RRR1000000000 ... 49 položek

Řádkový seznam změn ("X-transition list")

- ◆ rastrová reprezentace množiny (jednobitové masky) v **rovině**
 - efektivní implementace **množinových operací** (slévání uspořádaných seznamů)
 - lze použít při **vyplňovacích algoritmech**
- výhodná pro **oblasti s jednoduchým okrajem**
- pro každou řádku ukládám uspořádaný **seznam pixelů**, kterými prochází hranice oblasti
 - v těchto pixelech se mění $0 \rightarrow 1$ nebo $1 \rightarrow 0$

Řádkový seznam změn



Množinové operace

→ **doplňek:**

- v každé řádce přidám/odstraním prvek **[0]**

→ **binární operace - slévám seznamy změn**
příslušných vstupních řádek:

- nonekvivalence (**XOR**) je nejsnazší - dělám jenom slévání (a odstraňuji duplicitní záznamy)
- u jiných operací zařazuji na výstup jen některé záznamy (stavové pomocné proměnné)

Množinová operace na 1 řádce

```
procedure MergeLists ( var L1, L2, Result : list );
var state, newstate, in1, in2 : boolean;
    x : integer;
begin
    Result.Init; state := false;          { výstupní seznam }
    in1 := false; in2 := false;           { vstupní stavy }
    while (not L1.Empty) and (not L2.Empty) do begin
        x := minimum(L1.First,L2.First);
        if x = L1.First then begin        { odebírám z L1 }
            in1 := not in1; L1.Get; end;
        if x = L2.First then begin        { odebírám z L2 }
            in2 := not in2; L2.Get; end;
        newstate := BooleanOperation(in1,in2);
        if newstate <> state then Result.Put(x);
        state := newstate;
    end;
    { dočtení zbytku vstupního seznamu }
end;
```

Konec

Další informace:

- J. Foley, A. van Dam, S. Feiner, J. Hughes:
Computer Graphics, Principles and Practice,
844-846, 552-555, 992-996
- ➔ LAN na Malé Straně:
 - barbora\usr:\vyuka\pelikan\5\

Rastrové grafické formáty

**© 1995-2001 Josef Pelikán
KSVI MFF UK Praha**

e-mail: Josef.Pelikan@mff.cuni.cz
WWW: <http://cgg.ms.mff.cuni.cz/~pepca/>

Grafické formáty

◆ rastrové

- obdélníková **matice pixelů** (“bitmapa”)
- MS-Windows Bitmap (BMP), CompuServe (GIF),
Interchange File Format (IFF), JFIF (JPG), PBM/PGM/PPM,
Paintbrush (PCX), Macintosh (PICT), Sun Raster Format,
Targa (TGA), Tagged Image File Format (TIFF), ...

◆ vektorové

- posloupnost **objektů** nebo **příkazů** (škálování)
- CorelDraw!™ (CDR), Computer Graphics Metafile (CGM),
AutoCAD™ (DXF), HPGL, (Encapsulated) PostScript™,
MS-Windows Metafile (WMF), DrawPerfect™ (WPG), ...

Rastrové grafické formáty

- ◆ **formát uložení barev**
 - barevná paleta, šedá škála, “true-color”, kanál “ α ”
- ◆ **kompresie**
 - **bezeztrátová** / **ztrátová**
 - **RLE**: PCX, TGA; **LZW**: GIF; **JPEG**: JFIF, TIFF; ..
- ◆ **rozklad obrázku**
 - prokládané režimy (GIF, TGA, JPEG, ..)
- ◆ **negrafické informace** (TIFF, GIF)
- ◆ **závislost na HW, přenositelnost** (PCX, TGA)

PCX (ZSoft Corporation 1988)

- ◆ **rastrový formát** (program PC Paintbrush)
- ◆ **omezený počet barev**
 - původně **2 ÷ 16 barev** (EGA, VGA)
 - rozšíření: **256 barev, “true-color”**
- ◆ **HW orientovaný** (IBM CGA, EGA, VGA)
 - prokládané bitové roviny (“color planes”): **RGBI**
- ◆ **jednoduchá RLE komprese**
 - bytově-orientovaná

Struktura PCX souboru

hlavička

obrazová data

VGA paleta

128 bytů

Hlavička souboru:

- PCX verze (2.5, 2.8 bez palety, 2.8 s paletou, 3.0)
- kódování: **RLE**
- počet bitových rovin, počet bitů/pixel/rovinu
- rozměr originální obrazovky
- okno obrázku: $[X_1, Y_1] - [X_2, Y_2]$
- paleta: 16×3 byty (RGB z $[0, 255]^3$), formát palety:
barvy nebo šedé odstíny

RLE komprese v PCX



N × opakuj ‘data’



$xx \neq 11$ ($\text{data} < 192$)

obyčejný datový byte

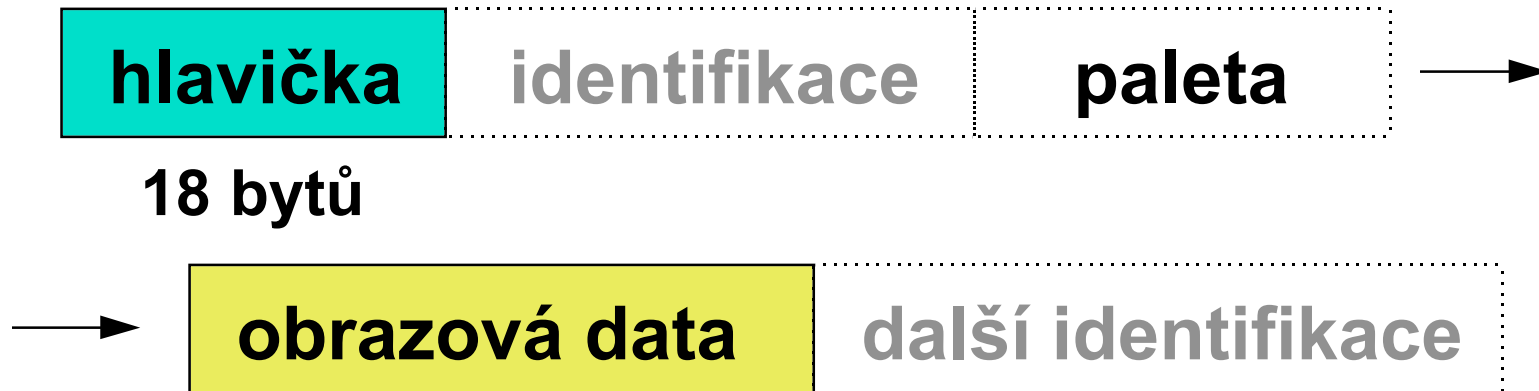
některé soubory se mohou dost prodloužit

– datový byte > 191 se musí kódovat pomocí “běhu”

Targa formát (Truevision Inc.)

- ◆ rastrový formát
- ◆ původně HW orientovaný
 - video-adaptéry Targa (Targa 16, Targa 24, ..)
- ◆ několik různých barevných formátů
 - RGB, RGB α , šedé obrázky, obrázky s paletou, atributové bity
 - různé metody komprese (RLE komprese je pixelově orientovaná)
- ◆ různé typy prokládání (přenos po síti)

Struktura TGA souboru



Hlavička souboru:

- barevný formát (paleta, RGB, RGB α , šedý obrázek)
- délka identifikace (ASCII text, maximálně 256 znaků)
- typ komprese: bez, RLE, Huffman, delta-modulace
- velikost obrázku: $[X_0, Y_0]$, šířka, výška
- orientace (shora, zdola), typ prokládání (1, 2, 4 fáze)

Formáty pixelu v TGA

paleta,
šedý obrázek



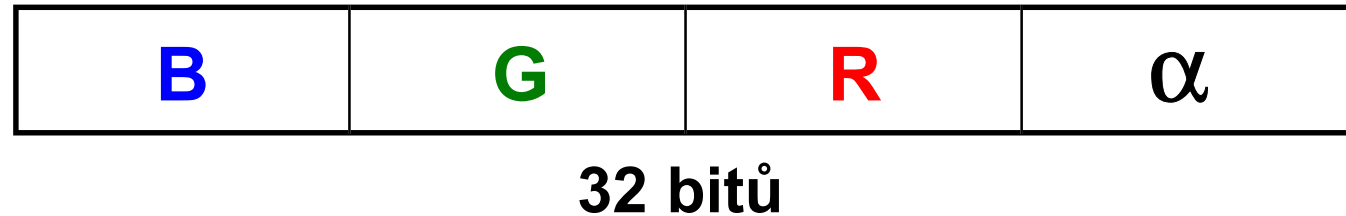
RGB 16



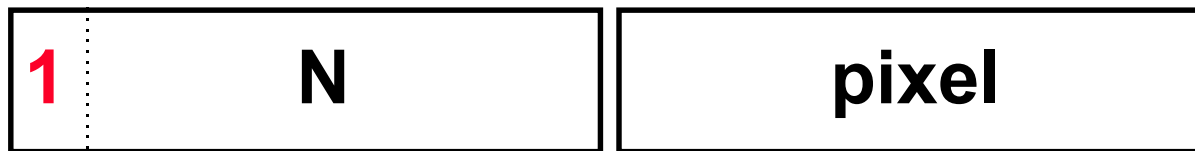
RGB 24



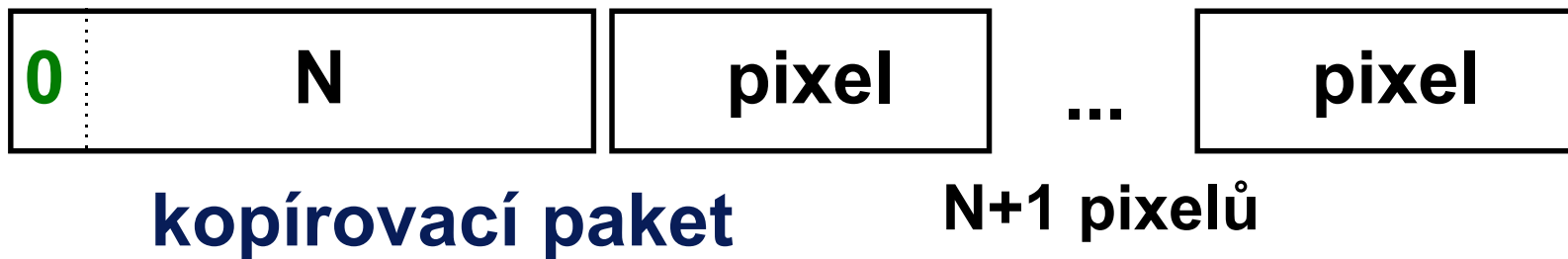
RGB 32



RLE komprese v TGA



$N+1 \times$ opakuj 'pixel'



maximální délka paketu je 128 pixelů

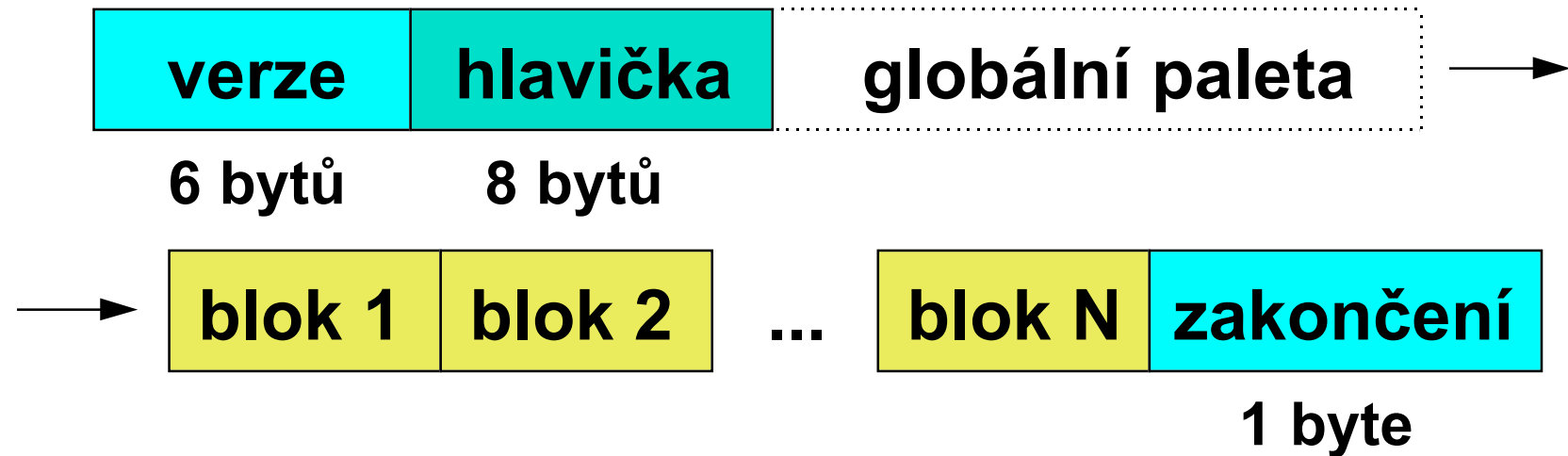
– prodloužení je v nejhorším případě 0.8 % délky souboru

GIF formát (CompuServe Inc.)

Graphics Interchange Format (verze 87a, 89a)

- ◆ **rastrový formát relativně nezávislý na HW**
- ◆ **pouze obrázky s paletou** (max. 256 barev)
- ◆ **LZW komprese** s dynamickou délkou kódu
 - patent UniSys Inc. (licenční poplatky od roku 1995)
- ◆ volitelné 8-fázové **prokládání** (přenos po síti)
- ◆ **další rozšíření:** více obdélníkových obrázků v jednom souboru, definice “průsvitné barvy”, interakce uživatele, výpis textu, aplikační neobrazové informace

Struktura GIF souboru



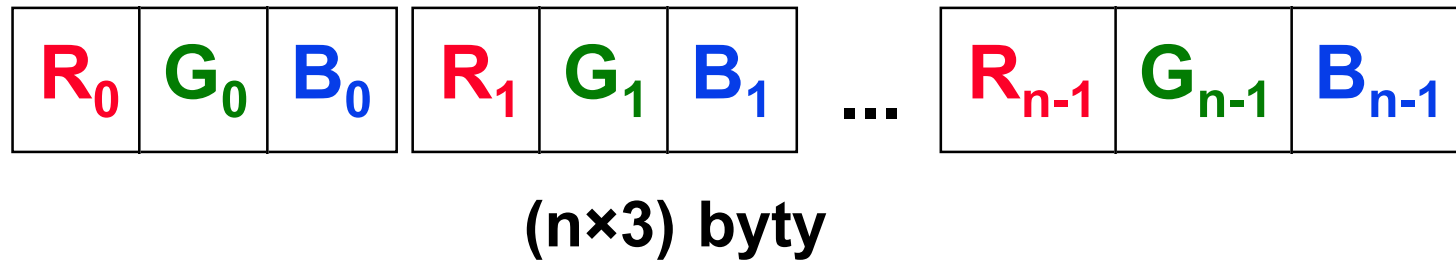
Verze: ‘**GIF87a**’ nebo ‘**GIF89a**’

Globální hlavička:

- výška a šířka **virtuální obrazovky**, počet bitů na pixel, barva pozadí, “pixel aspect ratio” (4/1 až 1/4)
- **globální paleta**: délka, setřídění (významné barvy jsou na začátku)

Struktura GIF souboru

Paleta:



Bloky:

- obrazová nebo jiná data (poznámky, aplikační data, řídící bloky)
- jednotný vnější formát: starší verze dekodéru může neznámé bloky přeskakovat

Obrazový blok

- ◆ **rozměry výřezu**
 - $[X_0, Y_0]$, šířka, výška
- ◆ **nepovinná lokální paleta**
 - počet barev, setřídění (podle důležitosti)?
- ◆ **volba - prokládání**
 - 8 fází kreslení obrázku (viz dále)
- ◆ **obrazová data**
 - počáteční délka LZW kódu, vlastní kódovaná data

Prokládání

0	I
1	IV
2	III
3	IV
4	II
5	IV
6	III
7	IV
8	I

I fáze: řádky 8i

II fáze: řádky 4 + 8i

III fáze: řádky 2 + 4i

IV fáze: řádky 1 + 2i

Rozšiřující bloky (verze 89a)

Blok řízení grafiky:

- uvolnění grafiky (nechat/smazat/obnovit)
- interakce uživatele, prodleva
- definice transparentní barvy

Blok komentáře (jakýkoliv text - pro uživatele)

Blok textu:

- výpis textu na obrazovku (neproporcionální font)

Aplikačně závislý blok:

- libovolná binární data (viz Fractint)

LZW komprese (Lempel-Ziv-Welch)

◆ slovníková kompresní metoda

- **slovník**: obsahuje přiřazení “fráze → kód”
- **fráze**: posloupnost pixelů
- **kód**: n-bitové číslo ($3 \leq n \leq 12$)

→ v průběhu kódování se mění

- **slovník** (adaptivní přizpůsobení kódovaným datům)
- **délka kódového slova “n”** se zvětšuje po jedné až do 12

Schema kódovacího algoritmu

① inicializace

- do slovníku se uloží všechny jednopixelové fráze
- **Act** := “ ” (prázdný řetězec)

② přečti další pixel ze vstupu do **K**

③ je fráze **Act + K** uložena ve slovníku?

- **Ano:** **Act** := **Act + K**
- **Ne:** zapiš na výstup kód fráze **Act**
 přidej **Act + K** do slovníku
 Act := **K**

④ pokud neskončí vstup, opakuj kroky ② a ③

⑤ zapiš na výstup kód fráze **Act**

Přidávání fráze do slovníku

→ počáteční nastavení slovníku:

- kódy $0 \div 2^p - 1$: jednopixelové fráze
- kód 2^p : “reset” (inicializace přeplněného slovníku)
- kód $2^p + 1$: ukončovací znak (EOF)
- první volný kód fráze: $2^p + 2$
- počáteční délka kódového slova: $n = p+1$ bitů

→ pokud má přidaná fráze kód 2^p , zvětším n o 1

- maximální hodnota n je 12 (**4094** fráze)
- při přeplnění zakonzervuji slovník (méně často)
nebo pošlu “reset” kód (reinicializace slovníku)

Konec

Další informace:

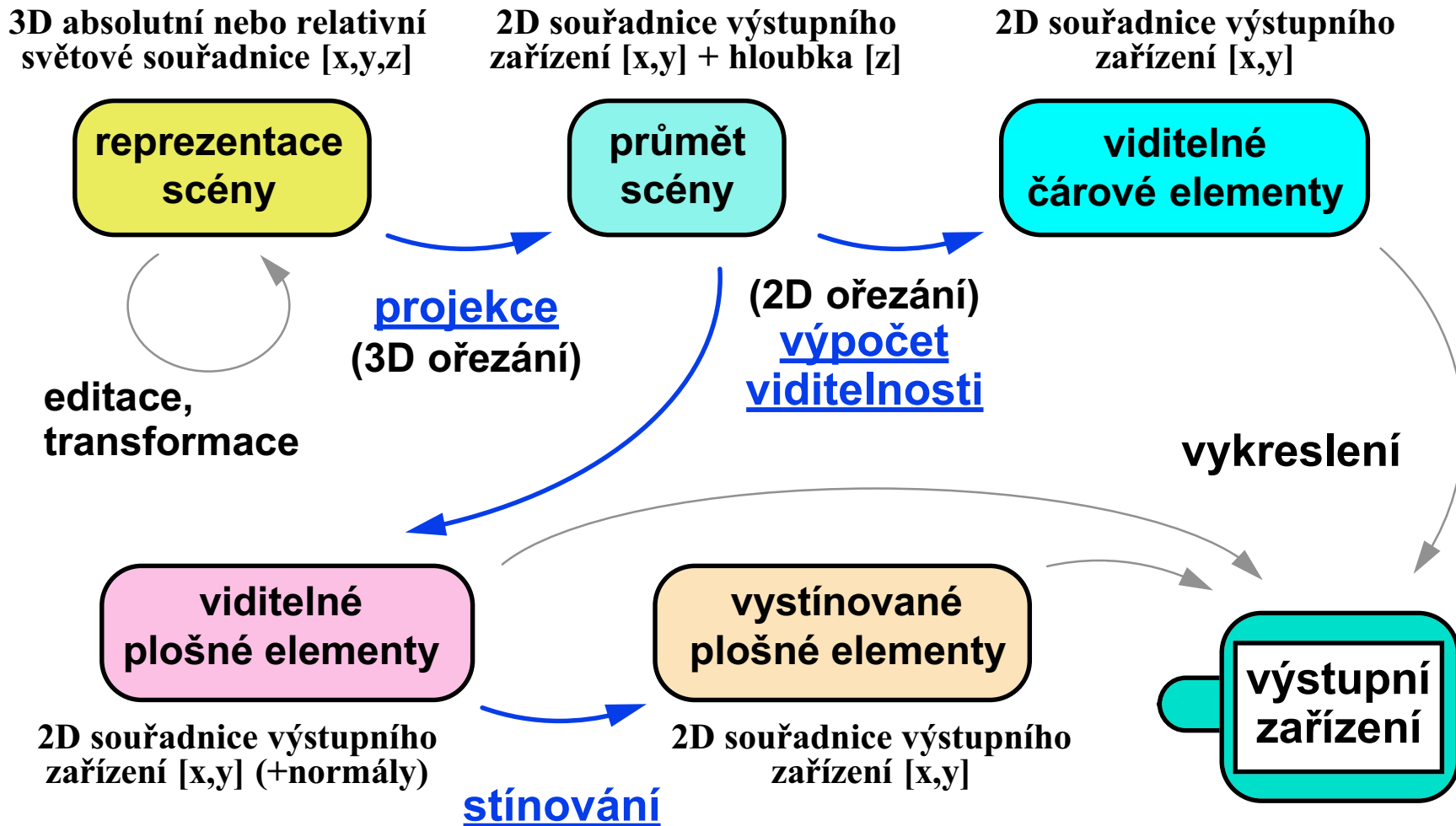
- Kay D. C., Levine J. R.: *Graphics file formats*, MGWH, 1994
- ➔ WWW: <http://www.cica.indiana.edu/graphics/>
- ➔ LAN na Malé Straně:
 - **barbora\usr:\vyuka\pelikan\zdroj**
 - ..\formaty\gformats.arj

Úvod do 3D grafiky

**© 1995-2001 Josef Pelikán
KSVI MFF UK Praha**

e-mail: Josef.Pelikan@mff.cuni.cz
WWW: <http://cgg.ms.mff.cuni.cz/~pepca/>

3D grafický systém



Fáze zpracování scény

- ◆ **editace, transformace (práce s 3D daty)**
 - funkce modelovacího programu (CAD, animační systém, ...)
 - u čistě zobrazovacích systémů chybí (simulační programy, hry, ...)
- ◆ **projekce** (příp. i s 3D ořezáním)
 - transformace prostorových souřadnic do roviny (se zachováním “hloubky” pro výpočet viditelnosti)
 - různé úhly pohledu, perspektiva

Fáze zpracování scény

◆ 2D ořezání

- odstranění objektů ležících mimo kreslený výřez

◆ výpočet viditelnosti

- odstranění zakrytých objektů nebo jejich částí
- **čárová kresba** (kreslím jen obrys ploch)
- **plošná kresba** (vybarvuje vnitřek ploch)

◆ stínování

- zlepšení prostorového vjemu napodobením osvětlení scény (někdy i vržené stíny)

Lineární transformace

**© 1995-2001 Josef Pelikán
KSVI MFF UK Praha**

e-mail: Josef.Pelikan@mff.cuni.cz
WWW: <http://cgg.ms.mff.cuni.cz/~pepca/>

Požadavky:

→ **běžně používané transformace:**

- posunutí, otočení, zvětšení/zmenšení, zkosení, ..
- rovnoběžná i perspektivní projekce

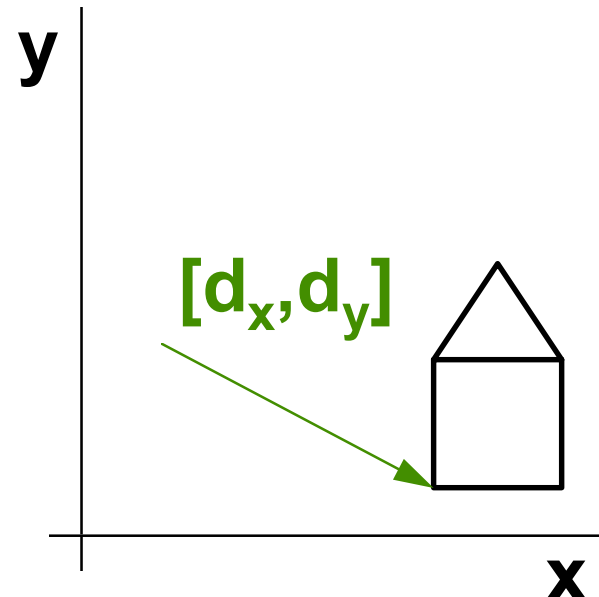
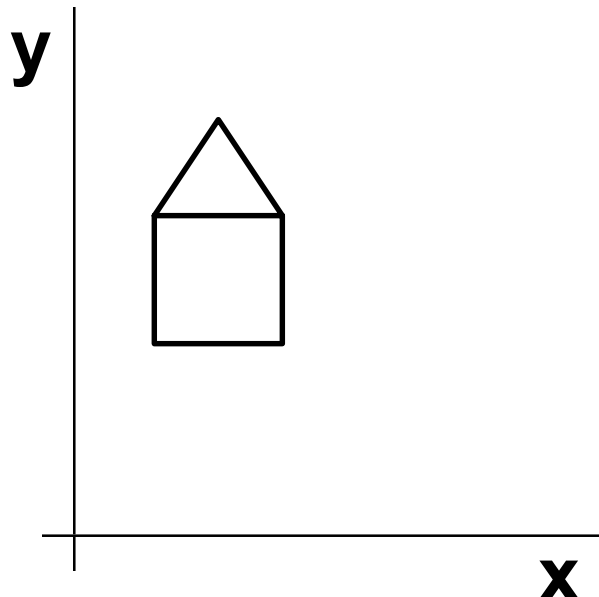
→ **snadná a efektivní implementace**

- výpočty se provádějí masově (běžně i 10^6 transformací najednou)

→ **zvláštní operace:**

- zřetězení jednoduchých transformací, výpočet inverzní transformace, ...

Posunutí v rovině



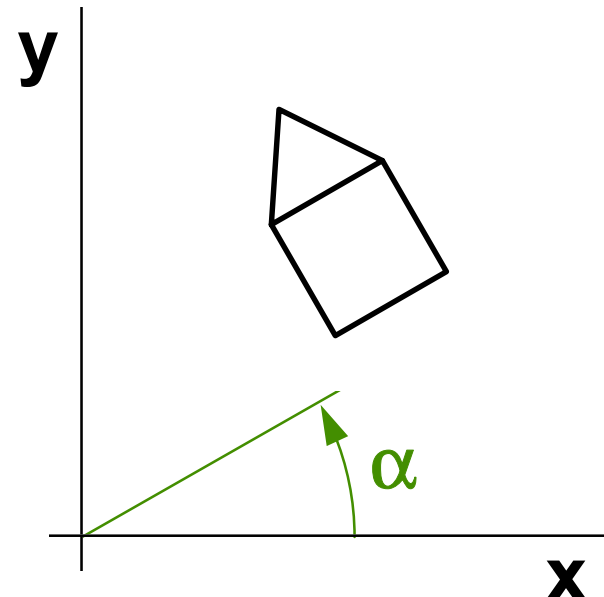
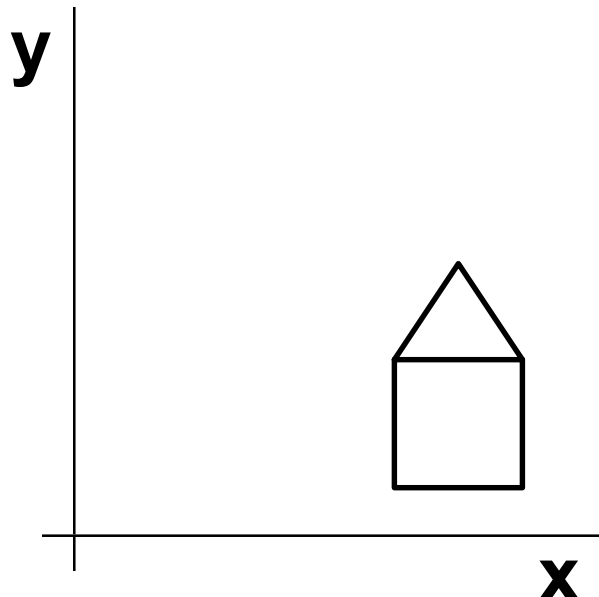
$$\begin{bmatrix} x' & y' \end{bmatrix} = \begin{bmatrix} x & y \end{bmatrix} + \begin{bmatrix} d_x & d_y \end{bmatrix}$$

Maticové transformace

- ◆ násobení vektoru souřadnic **maticí zprava**
 - kartézské souřadnice bodu **[x,y]** tvoří řádkový **vektor**
 - **transformační matici** je čtvercová (v rovině má rozměr 2×2)

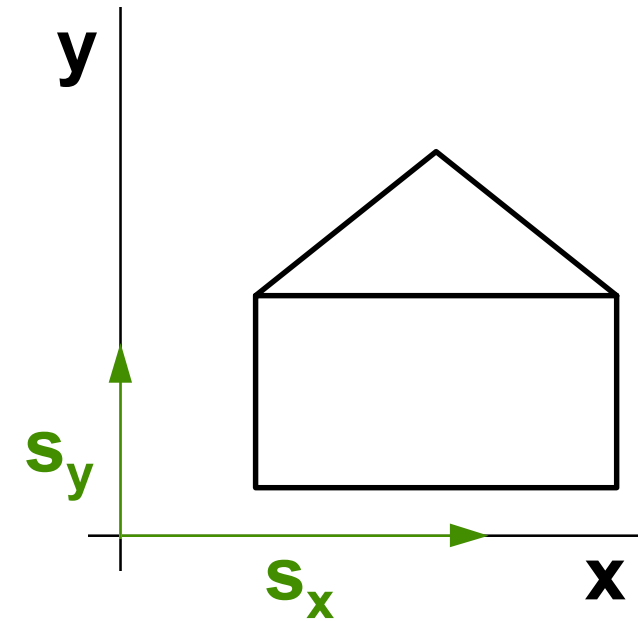
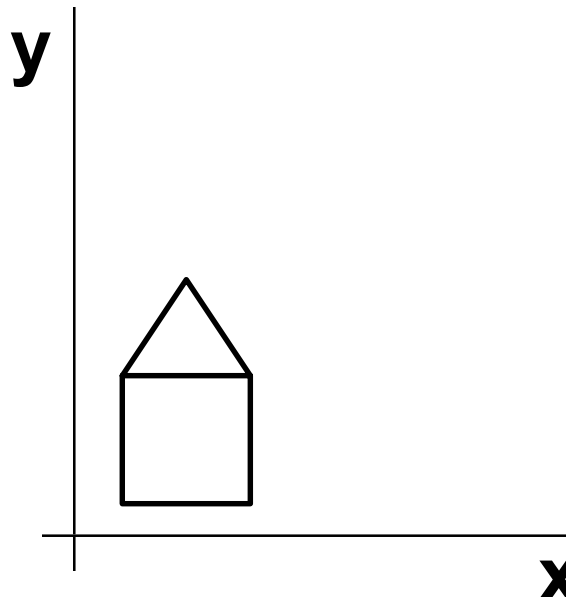
$$[\begin{matrix} x' & y' \end{matrix}] = [\begin{matrix} x & y \end{matrix}] \cdot \begin{bmatrix} t_{11} & t_{12} \\ t_{21} & t_{22} \end{bmatrix}$$

Otočení v rovině (kolem počátku)



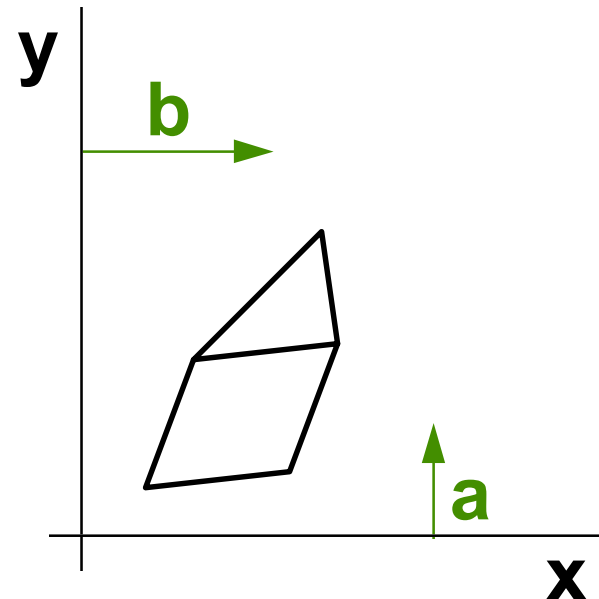
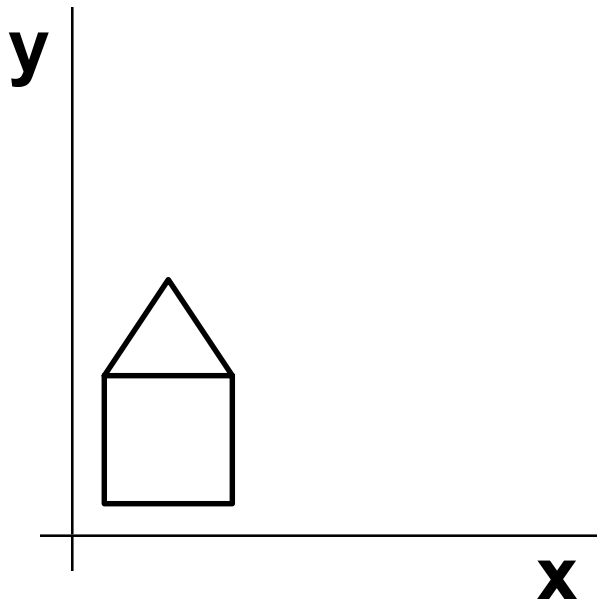
$$R(\alpha) = \begin{bmatrix} \cos \alpha & \sin \alpha \\ -\sin \alpha & \cos \alpha \end{bmatrix}$$

Zmenšení/zvětšení v rovině



$$S(s_x, s_y) = \begin{bmatrix} s_x & 0 \\ 0 & s_y \end{bmatrix}$$

Zkosení v rovině



$$\text{Sh}(a, b) = \begin{bmatrix} 1 & a \\ b & 1 \end{bmatrix}$$

Homogenní souřadnice

- jednotná reprezentace **afinních transformací**
 - transformace zachovávající rovnoběžnost
 - **posunutí** nelze v kartézských souřadnicích reprezentovat maticově
- nejpoužívanější **neaffinní transformace**
 - **perspektivní transformace** (projekce)
- reprezentace složených transformací
 - násobení matic (asociativita)

Algebraická motivace

Přímka v rovině má souřadnice **[a,b,c]**

(mnohoznačné):

$$\mathbf{a} \cdot \mathbf{x} + \mathbf{b} \cdot \mathbf{y} + \mathbf{c} = 0,$$

bod v rovině má souřadnice **[x,y]** (jednoznačné).

Úloha 1: hledání přímky **[a,b,c]** procházející dvěma danými body **[x₁,y₁]** a **[x₂,y₂]**:

$$\mathbf{a} \cdot \mathbf{x}_1 + \mathbf{b} \cdot \mathbf{y}_1 + \mathbf{c} = 0$$

soustava (1)

$$\mathbf{a} \cdot \mathbf{x}_2 + \mathbf{b} \cdot \mathbf{y}_2 + \mathbf{c} = 0$$

Algebraická motivace

Úloha 2: hledání **bodu** $[x,y]$, ve kterém se protnou dvě dané přímky $[a_1, b_1, c_1]$ a $[a_2, b_2, c_2]$:

$$\begin{aligned} a_1 \cdot x + b_1 \cdot y + c_1 &= 0 && \text{soustava (2)} \\ a_2 \cdot x + b_2 \cdot y + c_2 &= 0 \end{aligned}$$

Soustava (1) má vždy (nekonečně mnoho) řešení,
soustava (2) má řešení jen pokud není $a_1 \cdot b_2 = a_2 \cdot b_1$

Algebraická motivace

Po rozříšení roviny o **nevlastní body** a zavedení **homogenních souřadnic [x,y,w]** budou obě předchozí úlohy symetrické a soustava **(2')** bude vždy řešitelná:

$$\begin{aligned} \mathbf{a} \cdot \mathbf{x}_1 + \mathbf{b} \cdot \mathbf{y}_1 + \mathbf{c} \cdot \mathbf{w}_1 &= 0 \\ \mathbf{a} \cdot \mathbf{x}_2 + \mathbf{b} \cdot \mathbf{y}_2 + \mathbf{c} \cdot \mathbf{w}_2 &= 0 \end{aligned} \quad \text{soustava (1')}$$

$$\begin{aligned} \mathbf{a}_1 \cdot \mathbf{x} + \mathbf{b}_1 \cdot \mathbf{y} + \mathbf{c}_1 \cdot \mathbf{w} &= 0 \\ \mathbf{a}_2 \cdot \mathbf{x} + \mathbf{b}_2 \cdot \mathbf{y} + \mathbf{c}_2 \cdot \mathbf{w} &= 0 \end{aligned} \quad \text{soustava (2')}$$

Převody souřadnic

Kartézské na homogenní:

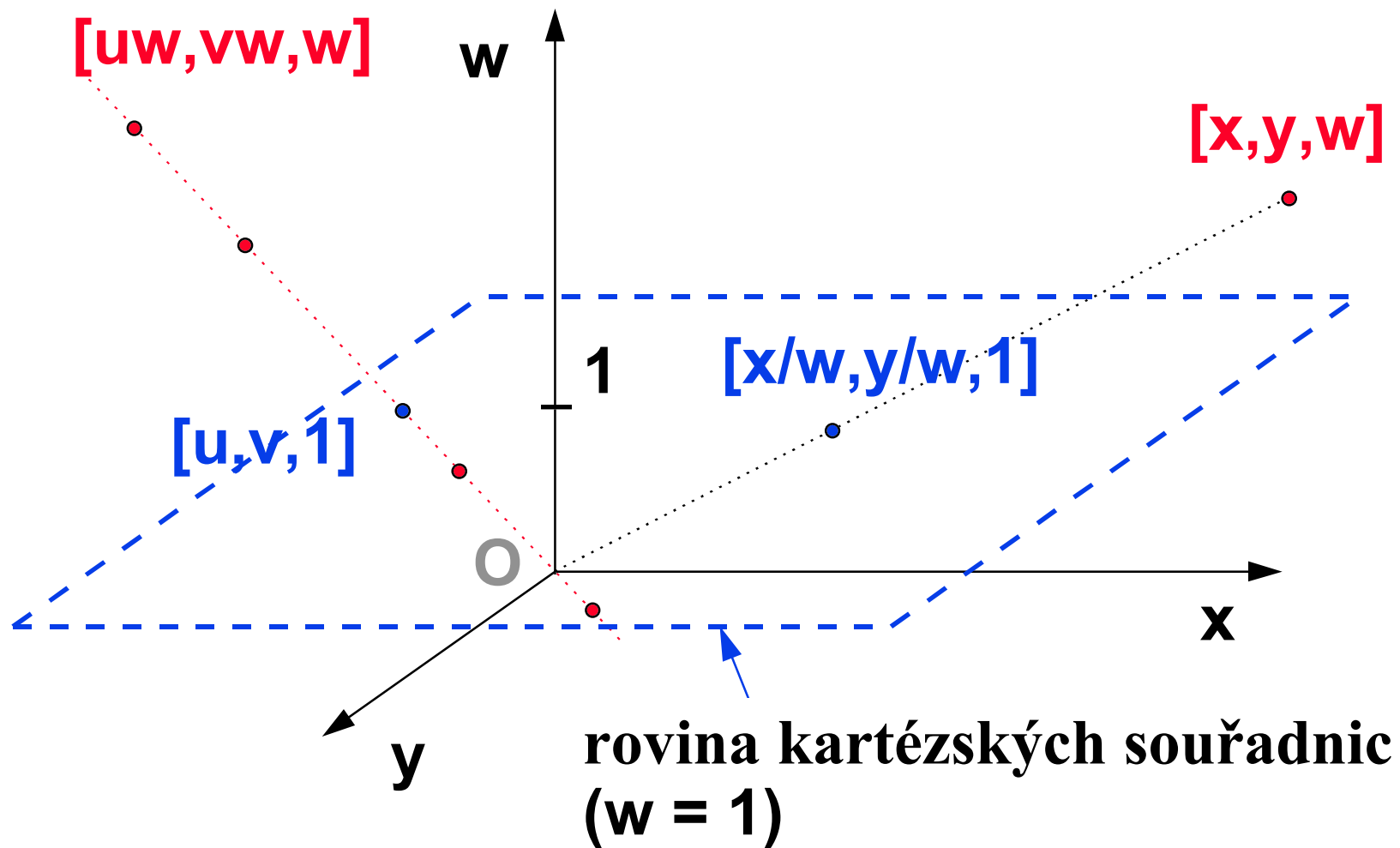
$$[\mathbf{x} \quad \mathbf{y}] \rightarrow [\mathbf{x} \quad \mathbf{y} \quad 1]$$

Homogenní na kartézské (jen vlastní body):

$$[\mathbf{x} \quad \mathbf{y} \quad \mathbf{w}] \rightarrow \left[\frac{\mathbf{x}}{\mathbf{w}} \quad \frac{\mathbf{y}}{\mathbf{w}} \right]$$

$$\mathbf{w} \neq 0$$

Geometrická představa



Homogenní transformační matice

Posunutí
("translation")

$$T(t_x, t_y) = \begin{bmatrix} 1 & 0 & 0 \\ 0 & 1 & 0 \\ t_x & t_y & 1 \end{bmatrix}$$

Otočení ("rotation")
kolem počátku

$$R(\alpha) = \begin{bmatrix} \cos \alpha & \sin \alpha & 0 \\ -\sin \alpha & \cos \alpha & 0 \\ 0 & 0 & 1 \end{bmatrix}$$

Zmenšení/zvětšení
("scale")

$$S(s_x, s_y) = \begin{bmatrix} s_x & 0 & 0 \\ 0 & s_y & 0 \\ 0 & 0 & 1 \end{bmatrix}$$

Homogenní transformační matice

Zkosení
("shear")

$$\mathbf{Sh}(a,b) = \begin{bmatrix} 1 & a & 0 \\ b & 1 & 0 \\ 0 & 0 & 1 \end{bmatrix}$$

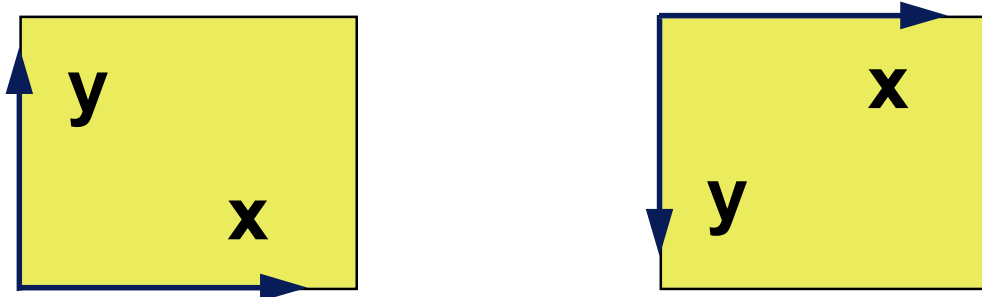
Složené transformace:

$$(((\mathbf{x}, \mathbf{y}, w] \cdot T_1) \cdot T_2) \cdot T_3) = [\mathbf{x}, \mathbf{y}, w] \cdot (T_1 \cdot T_2 \cdot T_3)$$

Otočení o úhel α kolem bodu $[x,y]$:

$$R(x, y, \alpha) = T(-x, -y) \cdot R(\alpha) \cdot T(x, y)$$

Transformace v průmětně



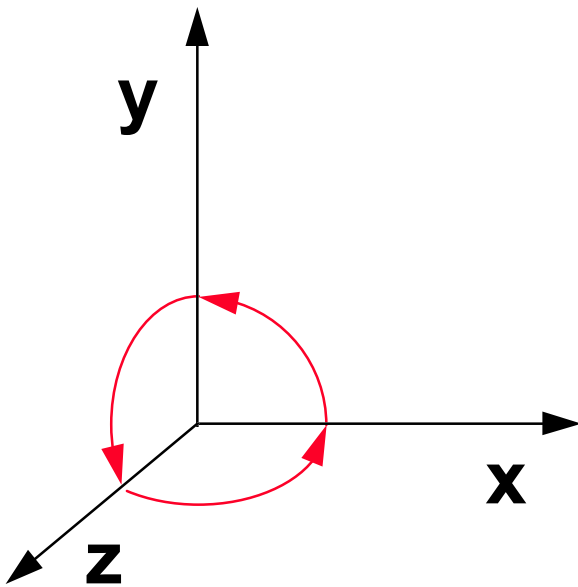
souřadné systémy na obrazovce

Převod reálných souřadnic do **souřadnic
zobrazovaného okna**:

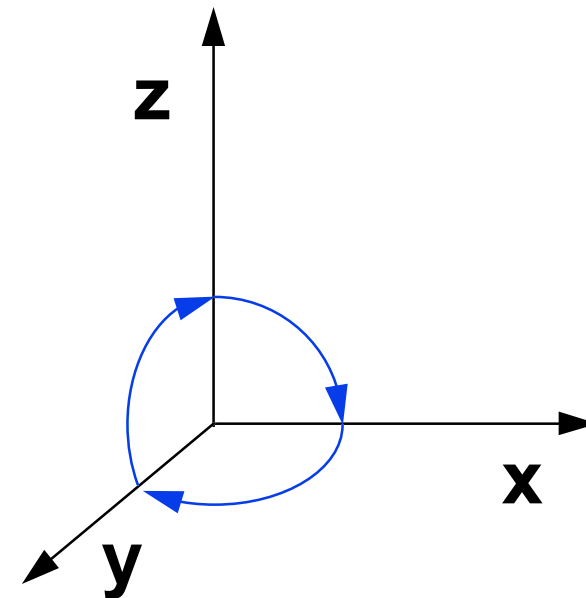
$$X_{int} = \text{round} (D_x + S_x * X_{re})$$

$$Y_{int} = \text{round} (D_y + S_y * Y_{re})$$

Prostorové souřadnice



levotočivý systém
("right-handed")



pravotočivý systém
("left-handed")

Homogenní souřadnice

$$\begin{bmatrix} x & y & z \end{bmatrix} \rightarrow \begin{bmatrix} x & y & z & 1 \end{bmatrix}$$

$$\begin{bmatrix} x & y & z & w \end{bmatrix} \rightarrow \begin{bmatrix} \frac{x}{w} & \frac{y}{w} & \frac{z}{w} \end{bmatrix} \quad (w \neq 0)$$

Maticová transformace:

$$\begin{bmatrix} x' & y' & z' & w' \end{bmatrix} = \begin{bmatrix} x & y & z & w \end{bmatrix} \cdot \begin{bmatrix} t_{11} & t_{12} & t_{13} & t_{14} \\ t_{21} & t_{22} & t_{23} & t_{24} \\ t_{31} & t_{32} & t_{33} & t_{34} \\ t_{41} & t_{42} & t_{43} & t_{44} \end{bmatrix}$$

Homogenní transformační matice

Posunutí

$$T(t_x, t_y, t_z) = \begin{bmatrix} 1 & 0 & 0 & 0 \\ 0 & 1 & 0 & 0 \\ 0 & 0 & 1 & 0 \\ t_x & t_y & t_z & 1 \end{bmatrix}$$

Zkosení

$$Sh(a, b, c, d, e, f) = \begin{bmatrix} 1 & a & b & 0 \\ c & 1 & d & 0 \\ e & f & 1 & 0 \\ 0 & 0 & 0 & 1 \end{bmatrix}$$

Homogenní transformační matice

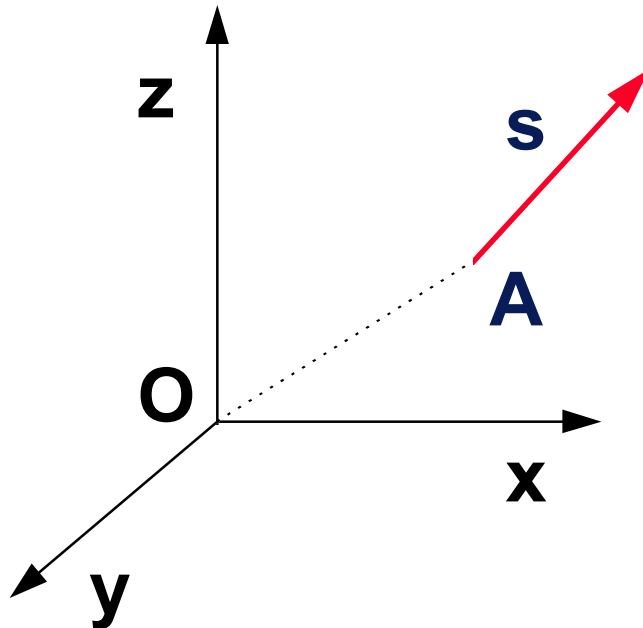
Otočení
kolem osy y

$$R_y(\alpha) = \begin{bmatrix} \cos\alpha & 0 & -\sin\alpha & 0 \\ 0 & 1 & 0 & 0 \\ \sin\alpha & 0 & \cos\alpha & 0 \\ 0 & 0 & 0 & 1 \end{bmatrix}$$

Otočení
kolem osy z

$$R_z(\alpha) = \begin{bmatrix} \cos\alpha & \sin\alpha & 0 & 0 \\ -\sin\alpha & \cos\alpha & 0 & 0 \\ 0 & 0 & 1 & 0 \\ 0 & 0 & 0 & 1 \end{bmatrix}$$

Přenos polopřímky do osy z



Polopřímka je zadána bodem **A** a směrovým vektorem **S**

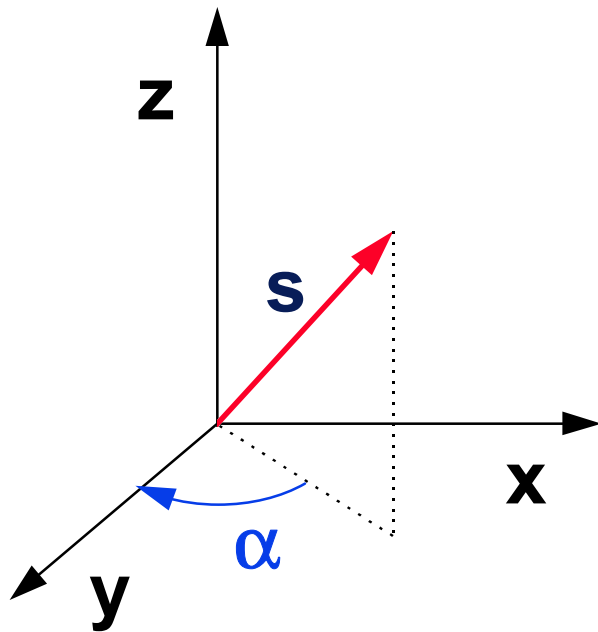
$$M = T(-A)$$

$$M^{-1} = T(A)$$

1. krok:

přenesení bodu **A** do počátku

Přenos polopřímky do osy z



$$M = T(-A) \cdot R_z(\alpha)$$

$$M^{-1} = R_z(-\alpha) \cdot T(A)$$

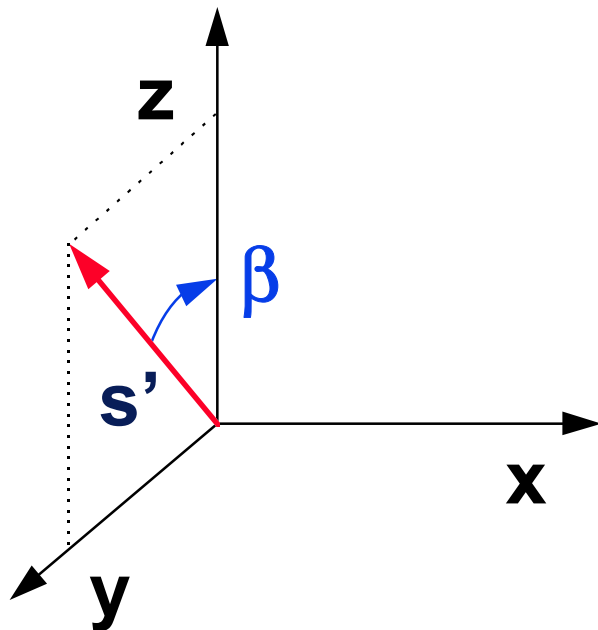
$$\cos \alpha = \frac{s_y}{\sqrt{s_x^2 + s_y^2}}$$

$$\sin \alpha = \frac{s_x}{\sqrt{s_x^2 + s_y^2}}$$

2. krok:

otočení polopřímky do roviny **yz** (okolo osy **z**)

Přenos polopřímky do osy z



$$M = T(-A) \cdot R_z(\alpha) \cdot R_x(\beta)$$

$$M^{-1} = R_x(-\beta) \cdot R_z(-\alpha) \cdot T(A)$$

$$\cos \beta = \frac{s_z}{\sqrt{s_x^2 + s_y^2 + s_z^2}}$$

$$|\sin \beta| = \frac{\sqrt{s_x^2 + s_y^2}}{\sqrt{s_x^2 + s_y^2 + s_z^2}}$$

3. krok:

otočení polopřímky do osy z (okolo osy x)

Aplikace transformace \mathbf{M}

$$\mathbf{M}(\mathbf{A}, \mathbf{s}) = \mathbf{T}(-\mathbf{A}) \cdot \mathbf{R}_z(\alpha) \cdot \mathbf{R}_x(\beta)$$

$$\mathbf{M}(\mathbf{A}, \mathbf{s})^{-1} = \mathbf{R}_x(-\beta) \cdot \mathbf{R}_z(-\alpha) \cdot \mathbf{T}(\mathbf{A})$$

Otočení kolem dané osy:

$$\mathbf{R}(\mathbf{A}, \mathbf{s}, \theta) = \mathbf{M}(\mathbf{A}, \mathbf{s}) \cdot \mathbf{R}_z(\theta) \cdot \mathbf{M}(\mathbf{A}, \mathbf{s})^{-1}$$

Zrcadlové převrácení podle dané roviny:

$$\mathbf{Mirror}(\mathbf{A}, \mathbf{n}) = \mathbf{M}(\mathbf{A}, \mathbf{n}) \cdot \mathbf{S}(1, 1, -1) \cdot \mathbf{M}(\mathbf{A}, \mathbf{n})^{-1}$$

Výpočet inverzní transformace

1. inverze matice: M^{-1}

2. po krocích:

$$M = A \cdot B \cdot C$$

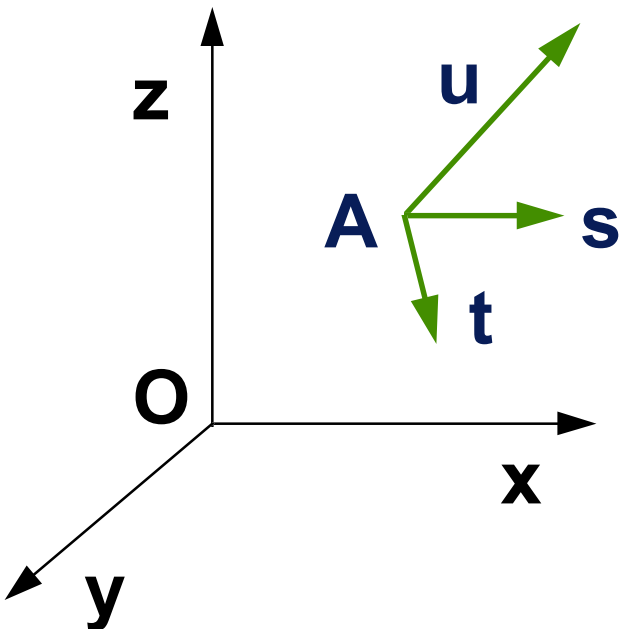
$$M^{-1} = C^{-1} \cdot B^{-1} \cdot A^{-1}$$

3. transpozice (ortonormální matice):

$R^{-1} = R^T$ pro ortonormální matici R

(ortonormální jsou např. všechny rotační matice)

Převod mezi souřadnými systémy



Souřadný systém je zadán svým počátkem \mathbf{A} a trojicí vektorů $\mathbf{s}, \mathbf{t}, \mathbf{u}$

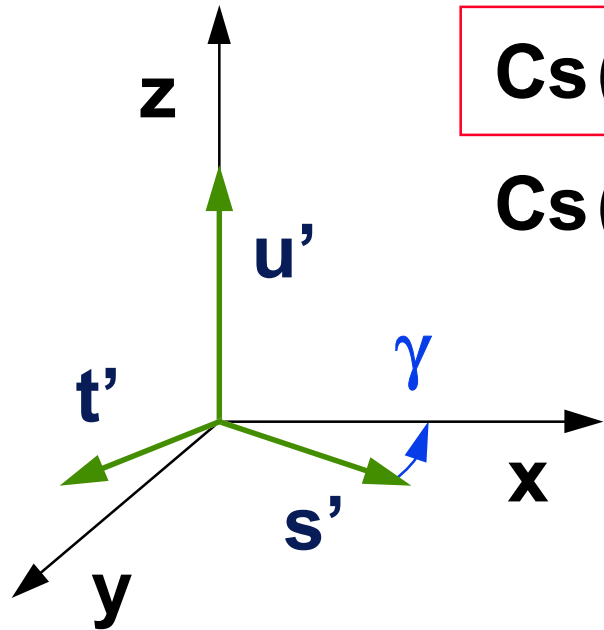
$$\mathbf{Cs} = \mathbf{M}(\mathbf{A}, \mathbf{u})$$

$$\mathbf{Cs}^{-1} = \mathbf{M}(\mathbf{A}, \mathbf{u})^{-1}$$

1. krok:

přenesení polopřímky (\mathbf{A}, \mathbf{u}) do osy \mathbf{z}

Převod mezi souřadnými systémy



$$Cs(A, s, t, u) = M(A, u) \cdot R_z(\gamma)$$

$$Cs(A, s, t, u)^{-1} = R_z(-\gamma) \cdot M(A, u)^{-1}$$

$$\cos \gamma = \frac{|s \cdot M(A, u)|_x}{|s \cdot M(A, u)|}$$

$$\sin \gamma = \frac{|s \cdot M(A, u)|_y}{|s \cdot M(A, u)|}$$

2. krok:

ztožnění os $s' \rightarrow x$ a $t' \rightarrow y$ (otočením kolem $z=u'$)

Konec

Další informace:

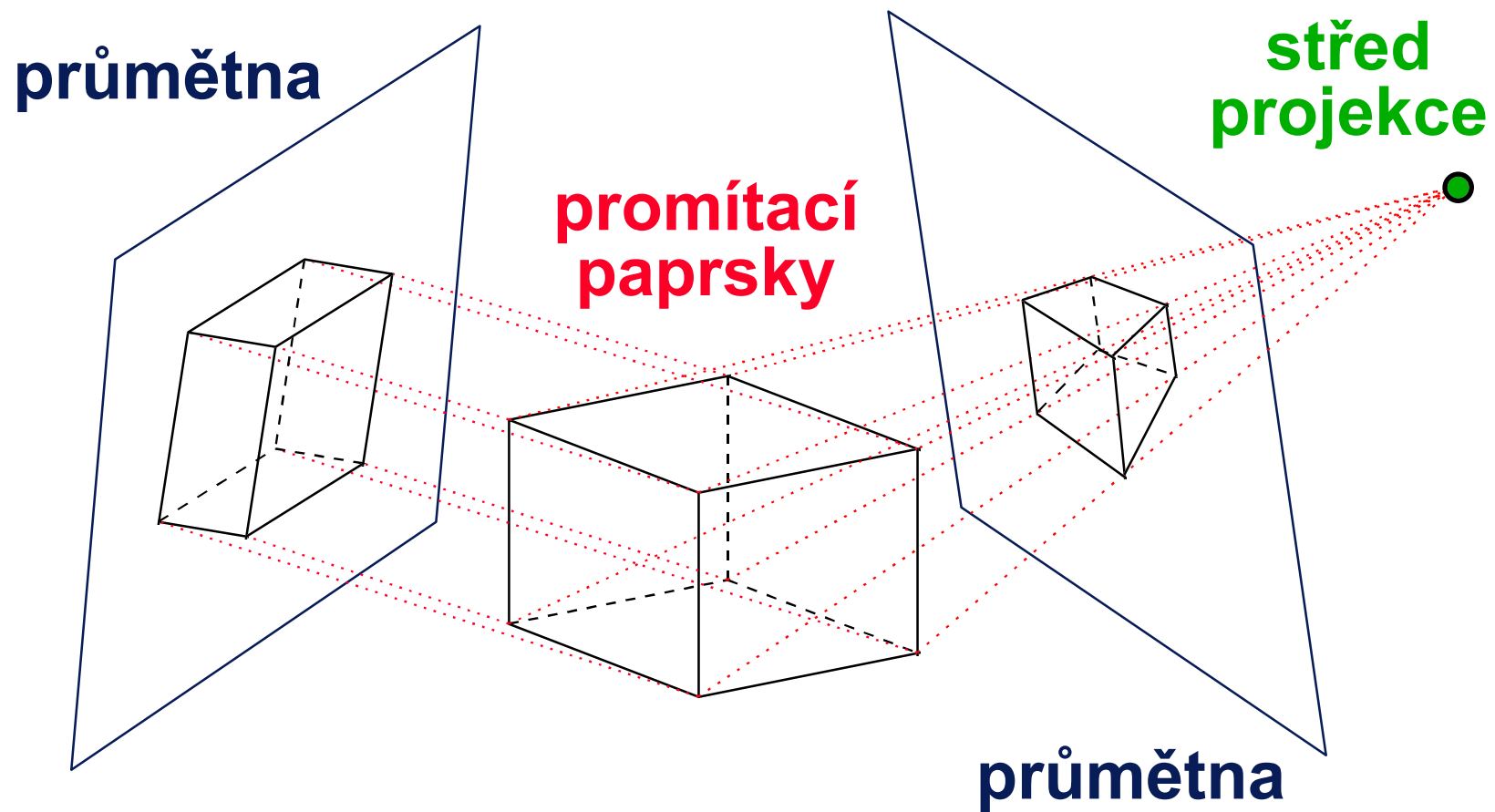
- J. Foley, A. van Dam, S. Feiner, J. Hughes:
Computer Graphics, Principles and Practice,
201-227
- Jiří Žára a kol.: *Počítačová grafika*, principy
a algoritmy, 73-84
- ➔ LAN na Malé Straně:
 - **barbora\usr:\vyuka\pelikan\6**

Promítání

© 1995-2001 Josef Pelikán
KSVI MFF UK Praha

e-mail: Josef.Pelikan@mff.cuni.cz
WWW: <http://cgg.ms.mff.cuni.cz/~pepca/>

Základní pojmy



Klasifikace lineárních projekcí

→ rovnoběžné projekce

- promítací paprsky jsou navzájem rovnoběžné

◆ kolmé projekce

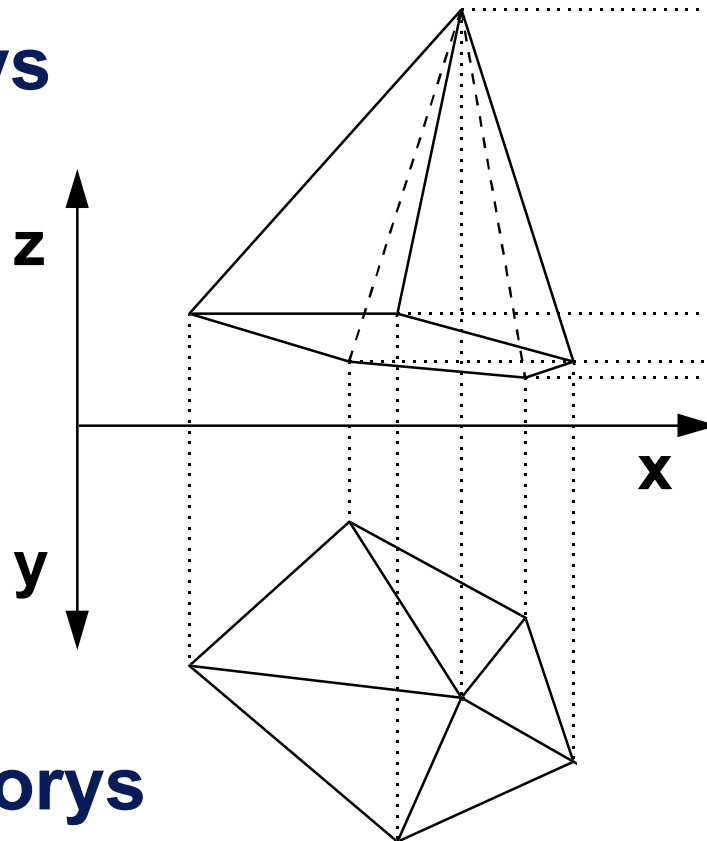
- promítací paprsky jsou kolmé na průmětnu
- Mongeova projekce, půdorys, nárys, bokorys
- axonometrie (obecná kolmá projekce)

◆ kosoúhlé projekce

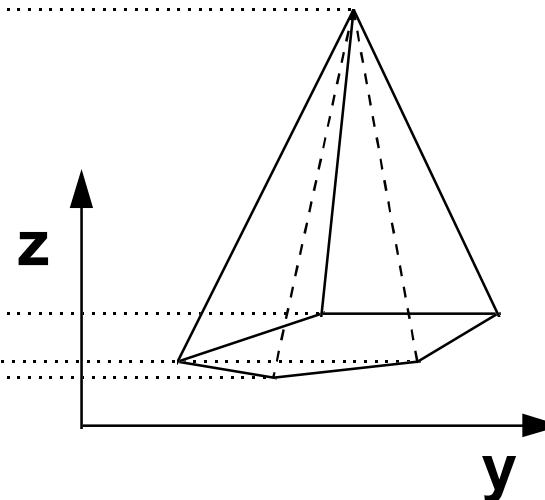
- kabinetní projekce (zkrácení měřítka osy z na 1/2)
- kavalírní projekce (stejné měřítko na všech osách)

Mongeova projekce

nárys

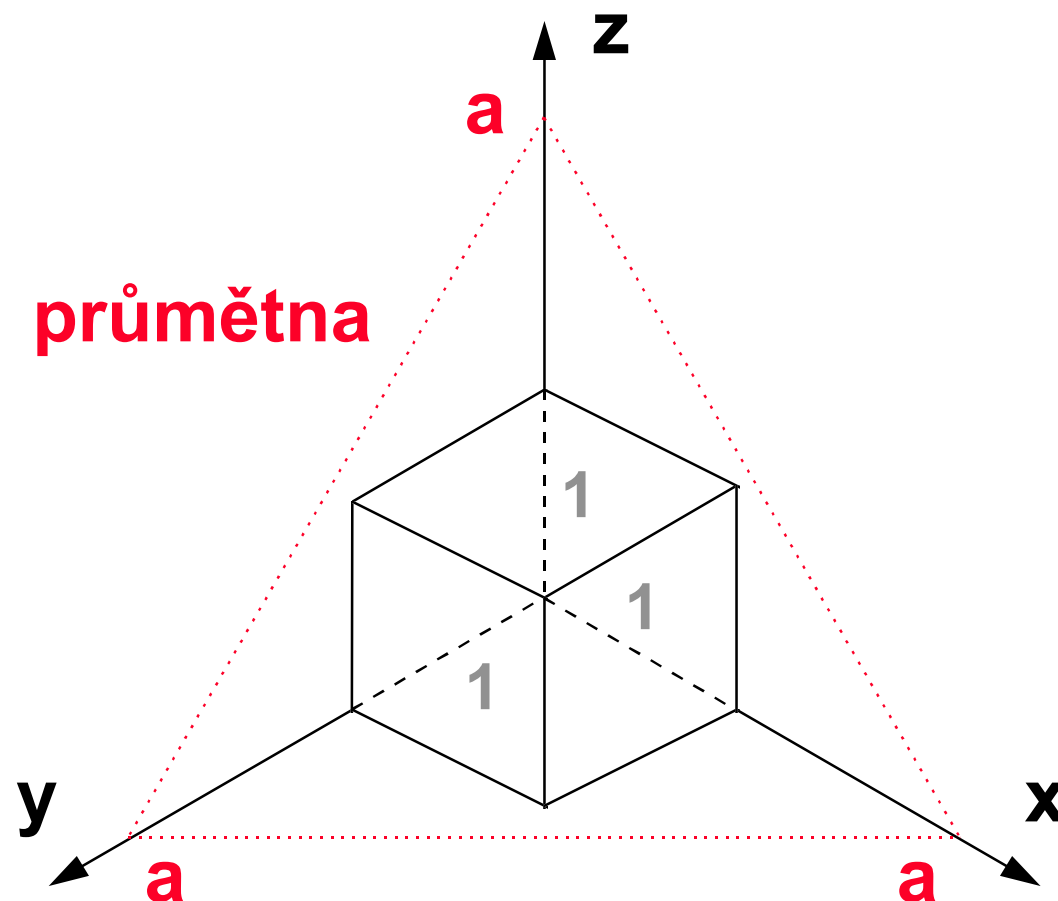


půdorys

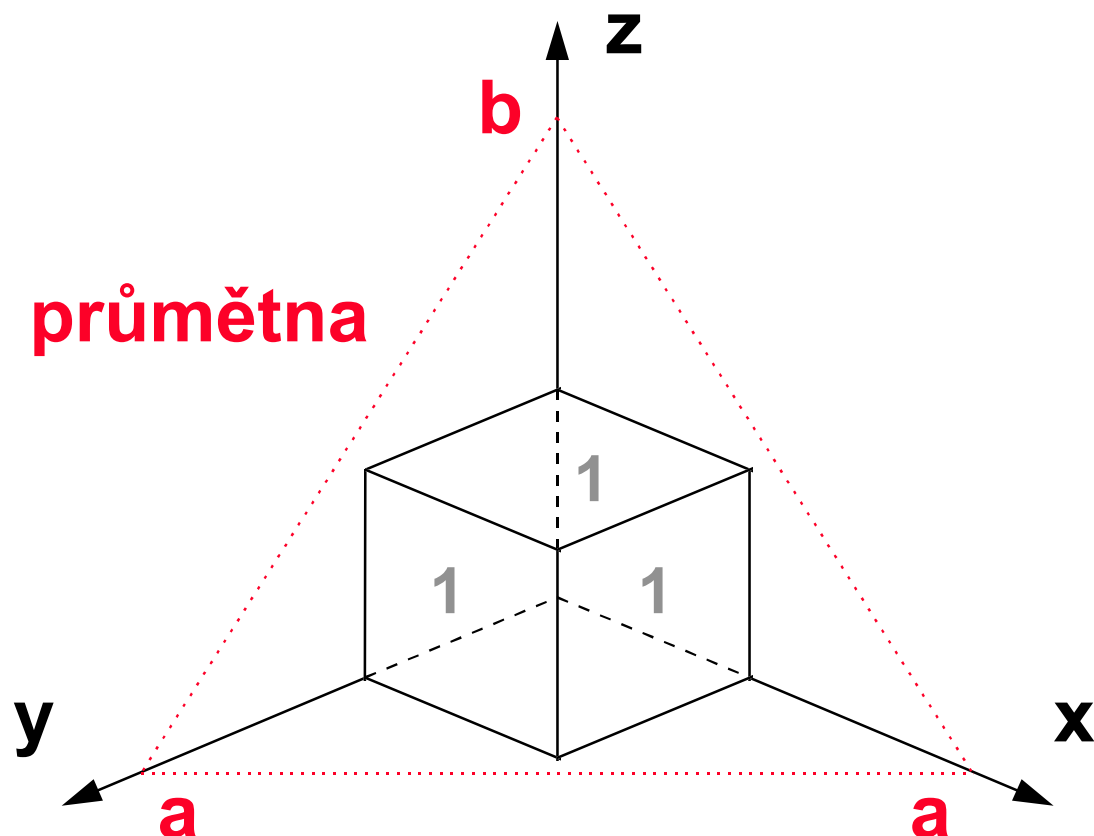


bokorys
zleva

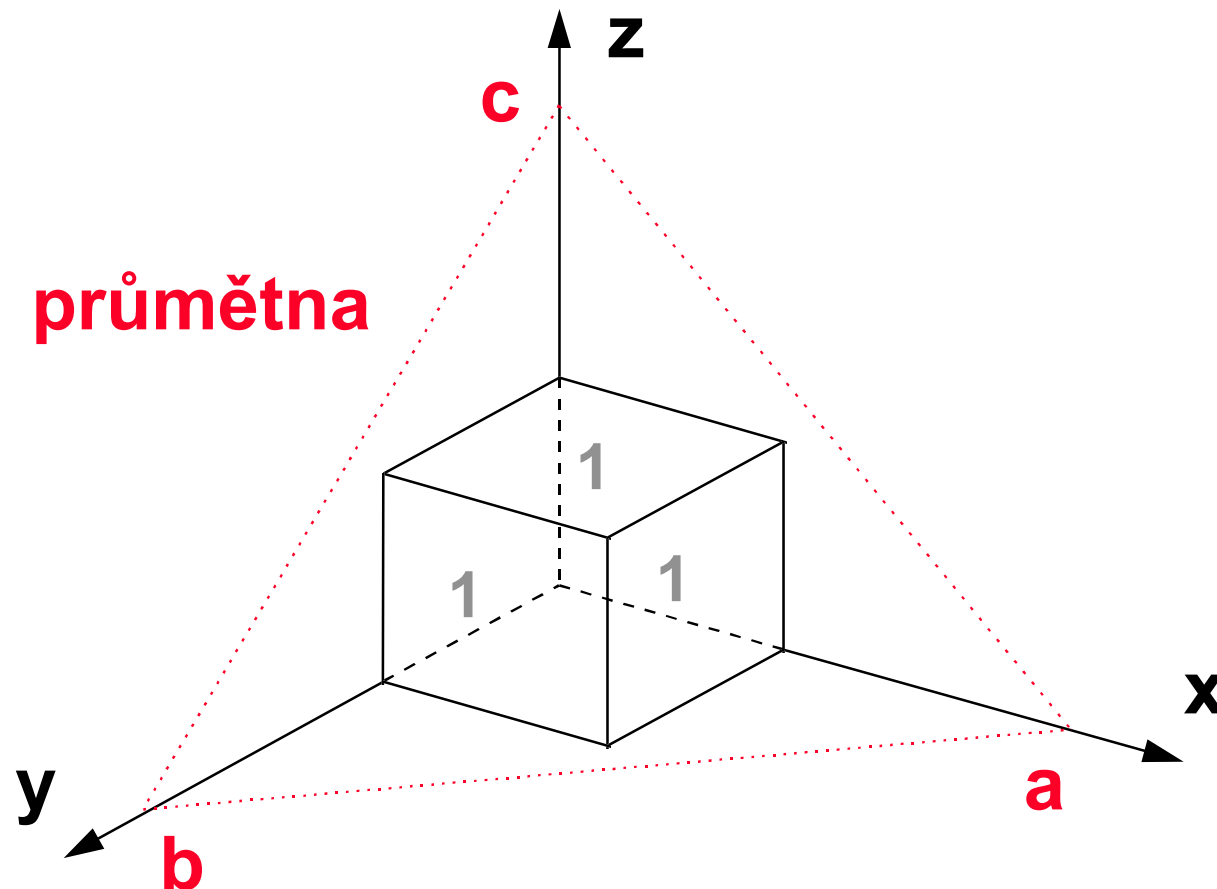
Axonometrie - isometrie



Axonometrie - dimetrie

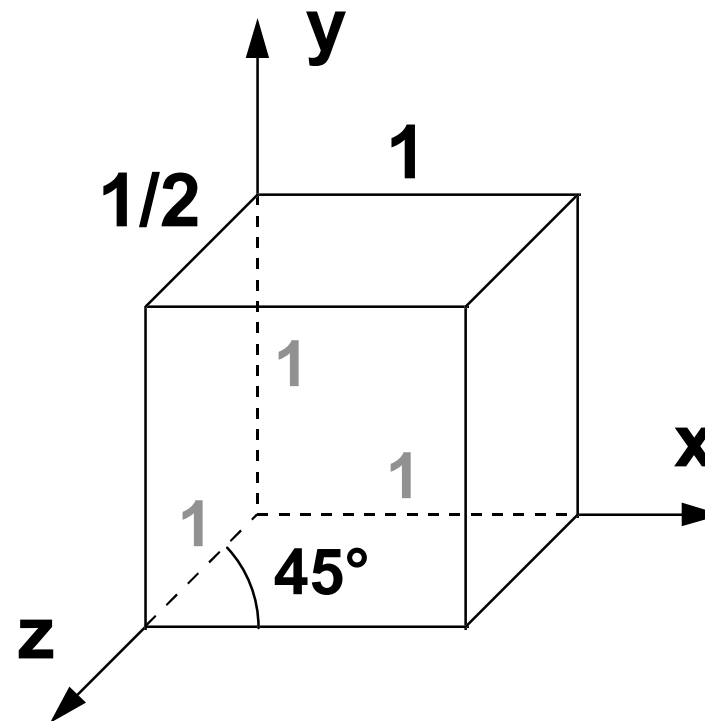
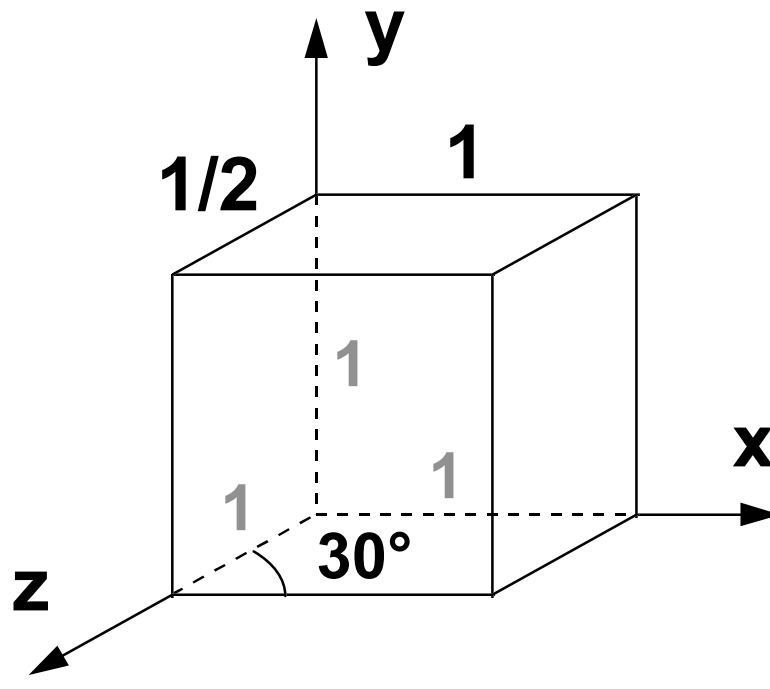


Axonometrie - trimetrie



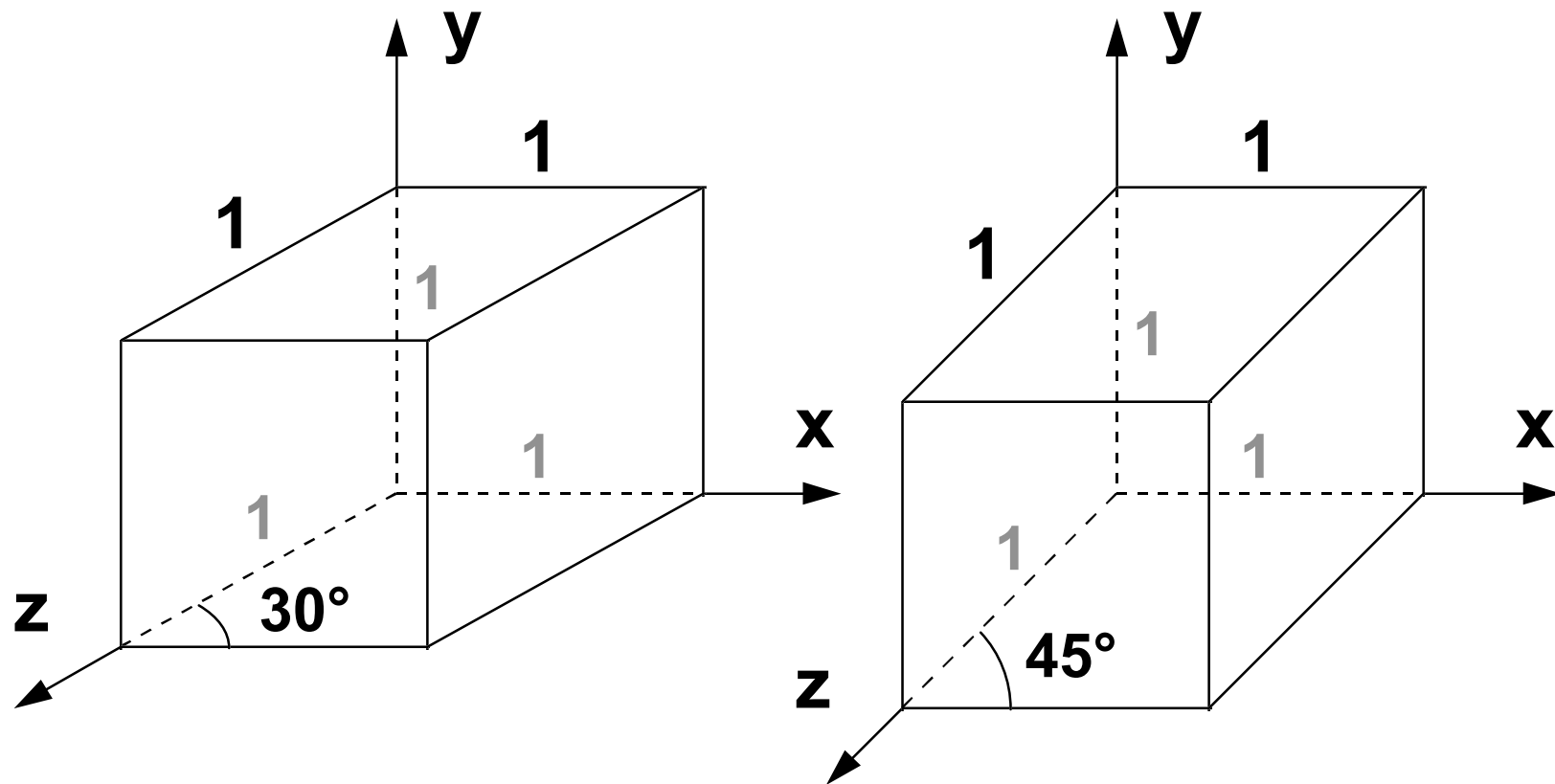
Kabinetní projekce

průmětna = xy



Kavalírní projekce

průmětna = xy



Klasifikace lineárních projekcí

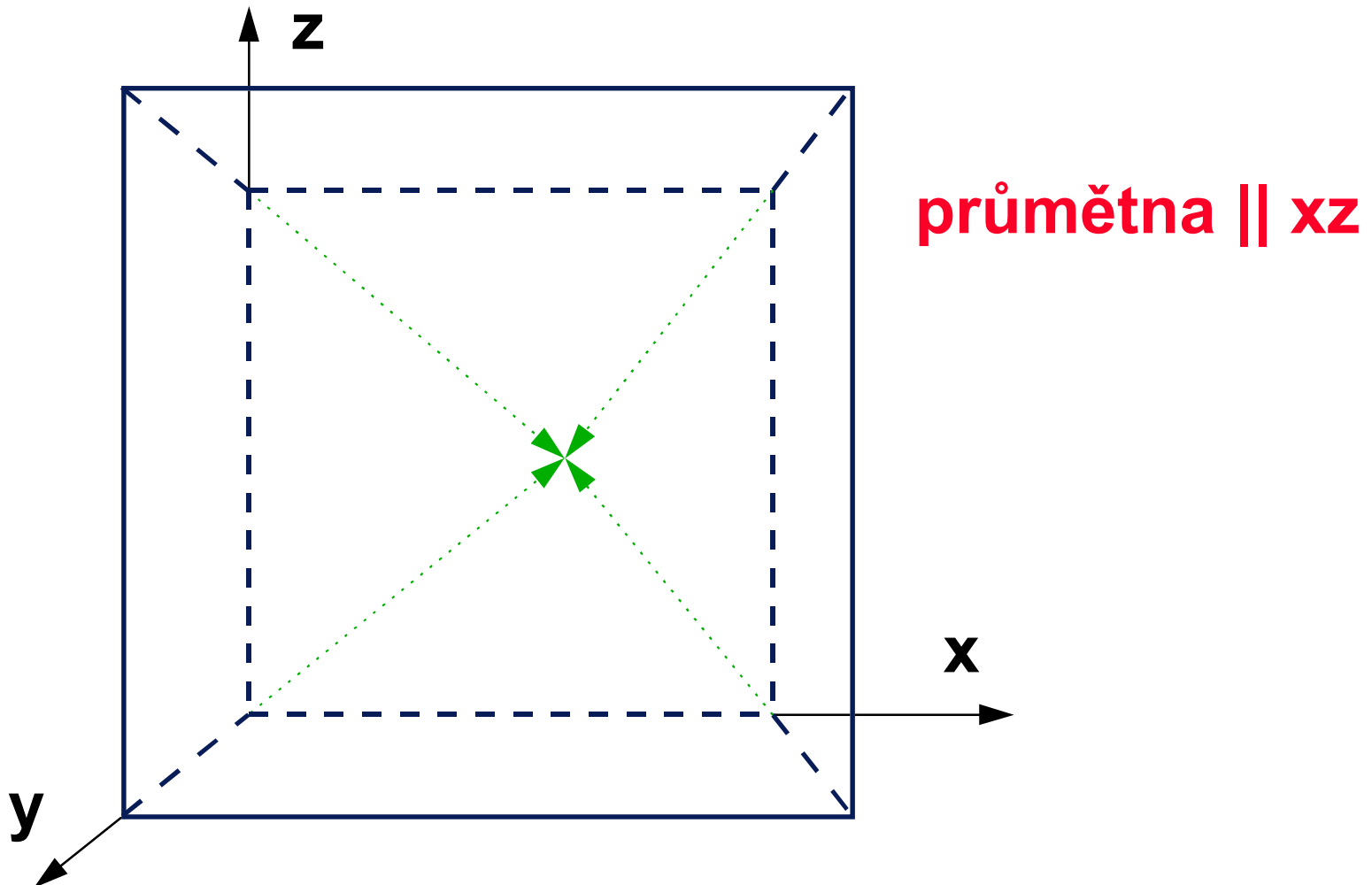
→ perspektivní (středové) projekce

- promítací paprsky tvoří svazek procházející jedním bodem, **středem projekce**
- nezachovává se rovnoběžnost (úběžníky)

◆ jednobodová perspektiva

- průmětna je rovnoběžná se dvěma souřadnými osami
- rovnoběžky se třetí osou se protínají v jednom hlavním úběžníku

Jednobodová perspektiva



Klasifikace lineárních projekcí

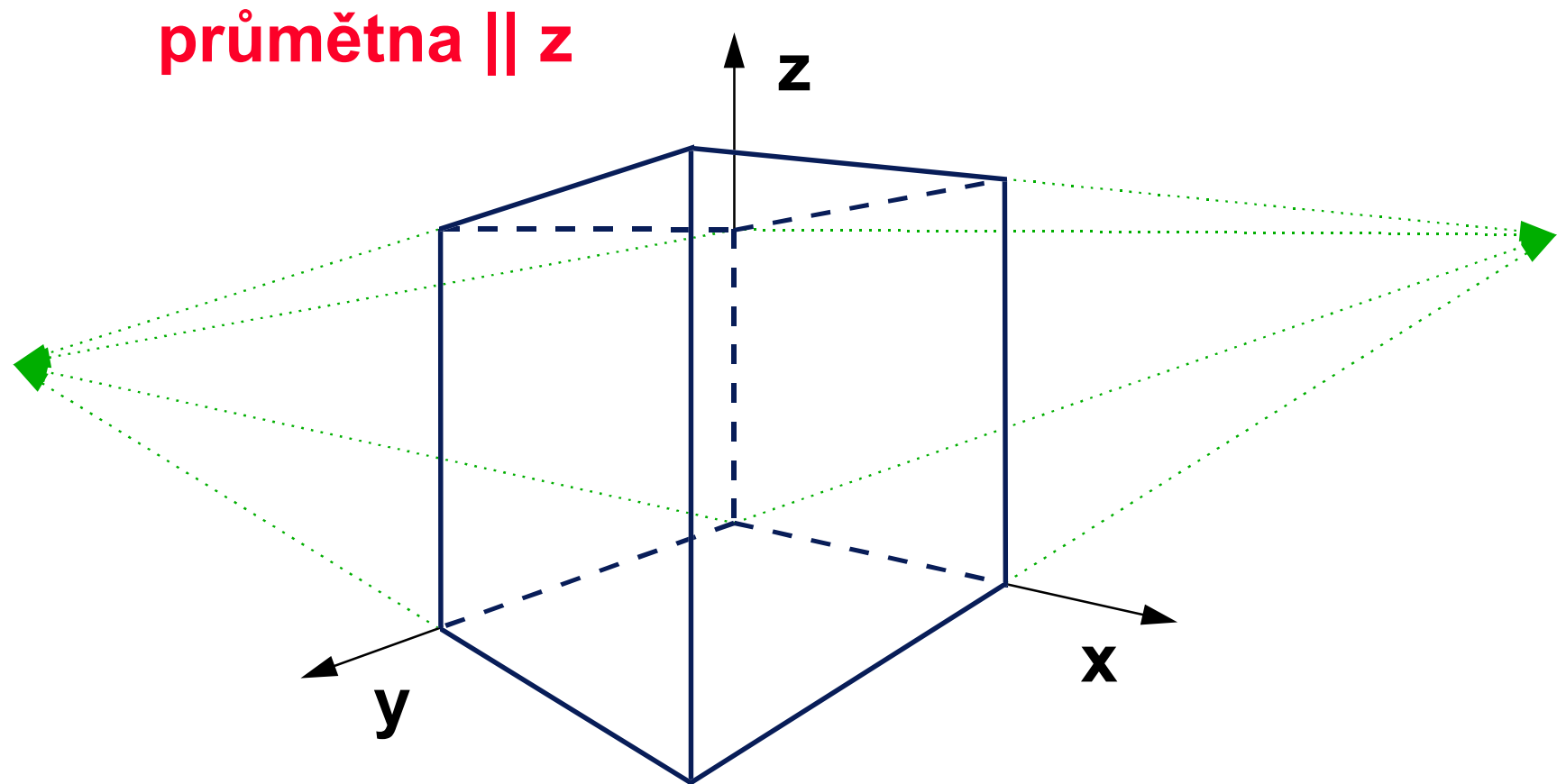
◆ dvoubodová perspektiva

- průmětna je rovnoběžná s jednou souřadnou osou
- rovnoběžky s ostatními osami se protínají ve dvou hlavních úběžnících

◆ tříbodová perspektiva

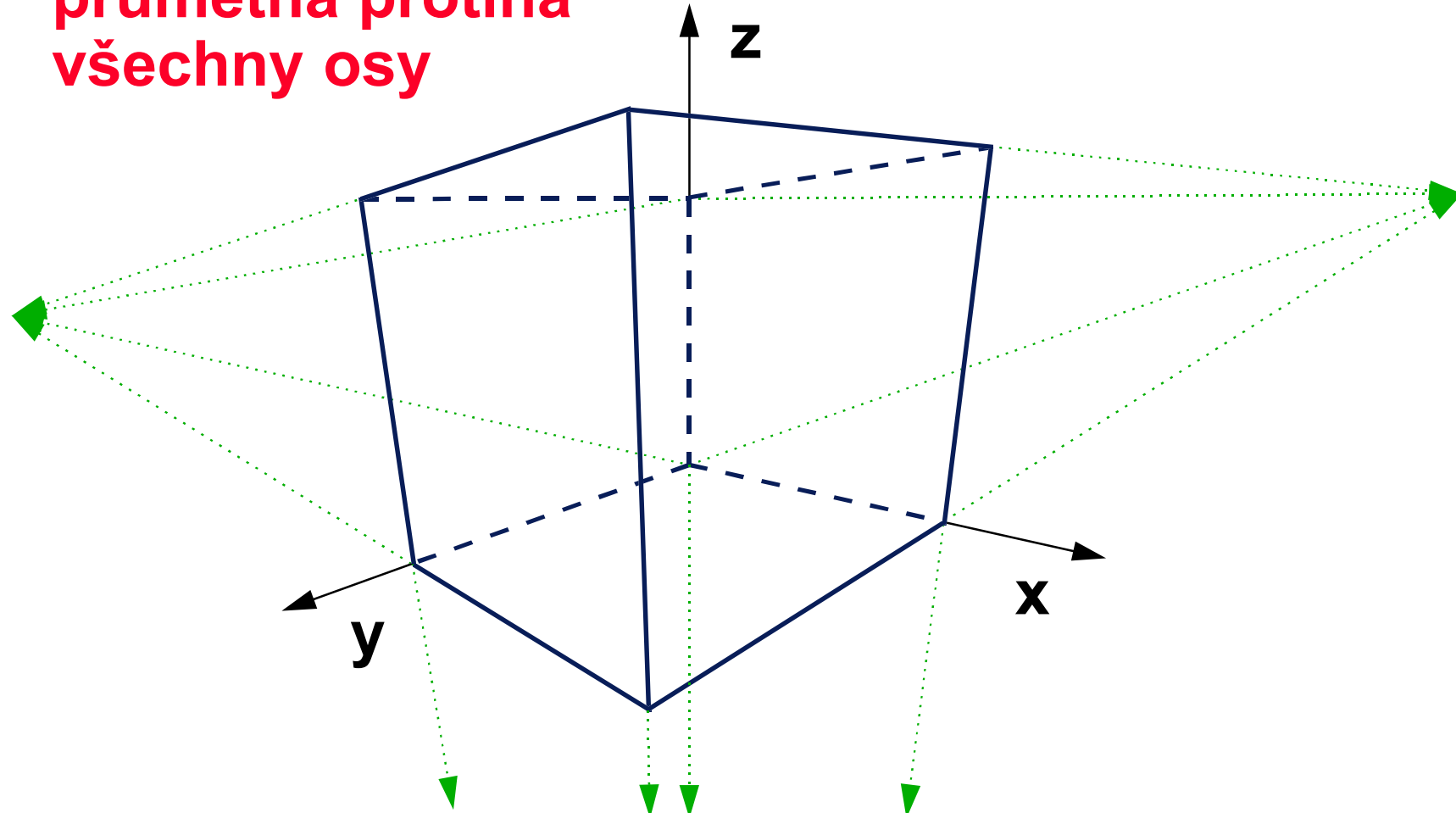
- průmětna má zcela obecnou polohu
- rovnoběžky se souřadnými osami se protínají ve třech hlavních úběžnících

Dvoubodová perspektiva



Tříbodová perspektiva

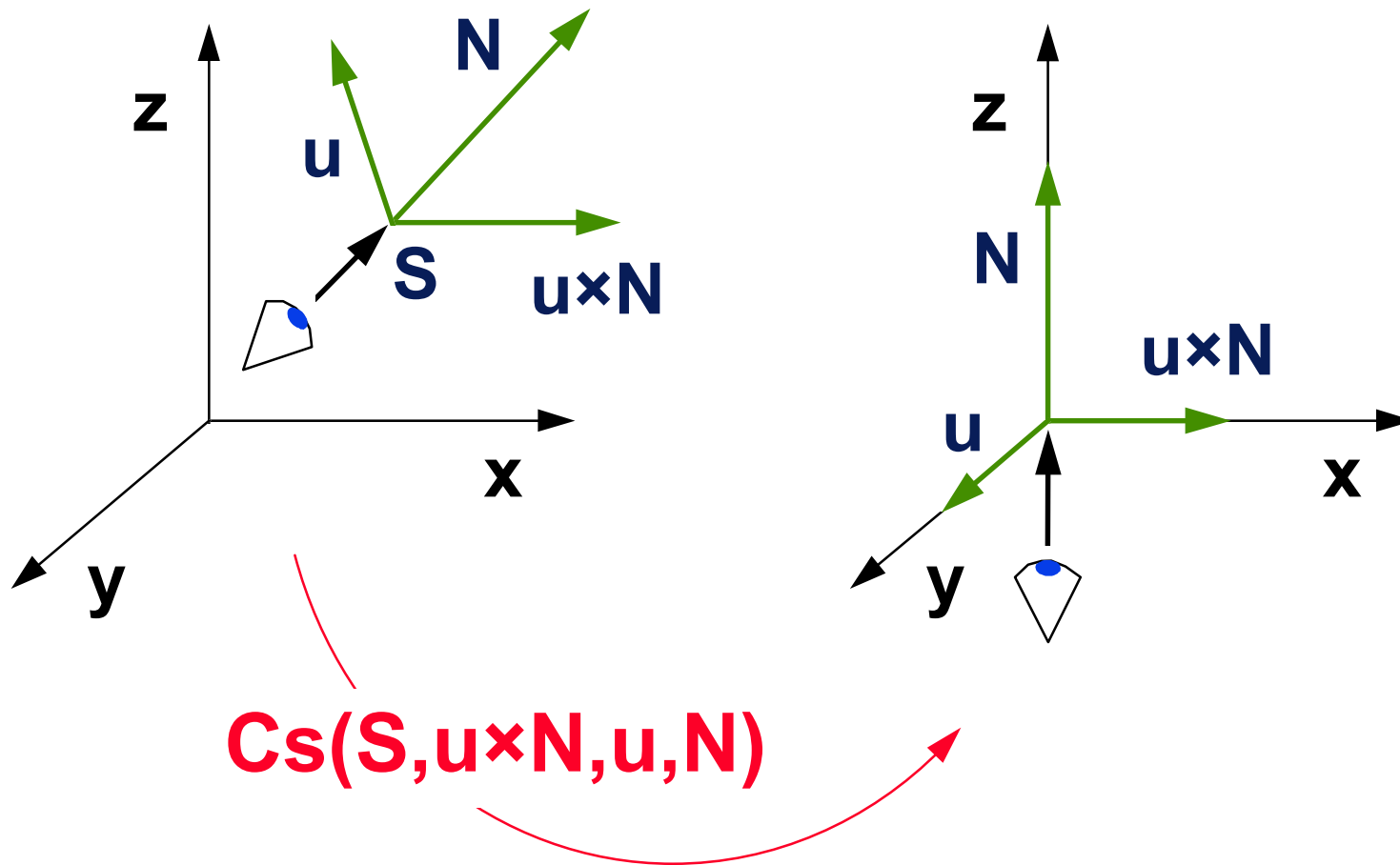
průmětna protíná
všechny osy



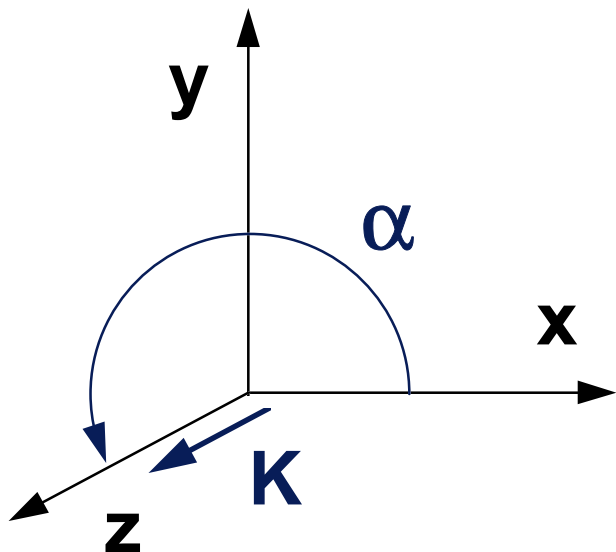
Implementace kolmé projekce

- ◆ [x,y] budou souřadnice bodu v průmětu, z jeho hloubka (vzdálenost od pozorovatele)
- **základní pohledy** (půdorys, nárys, bokorys)
 - pouze permutace složek x, y a z (s příp. změnou znaménka)
- **obecná kolmá projekce** (axonometrie)
 - **směr pohledu** (normálový vektor průmětny): N
 - **svislý vektor**: u
 - převedení do základního pohledu: **Cs(S,u×N,u,N)**

Obecná kolmá projekce



Implementace kosoúhlé projekce



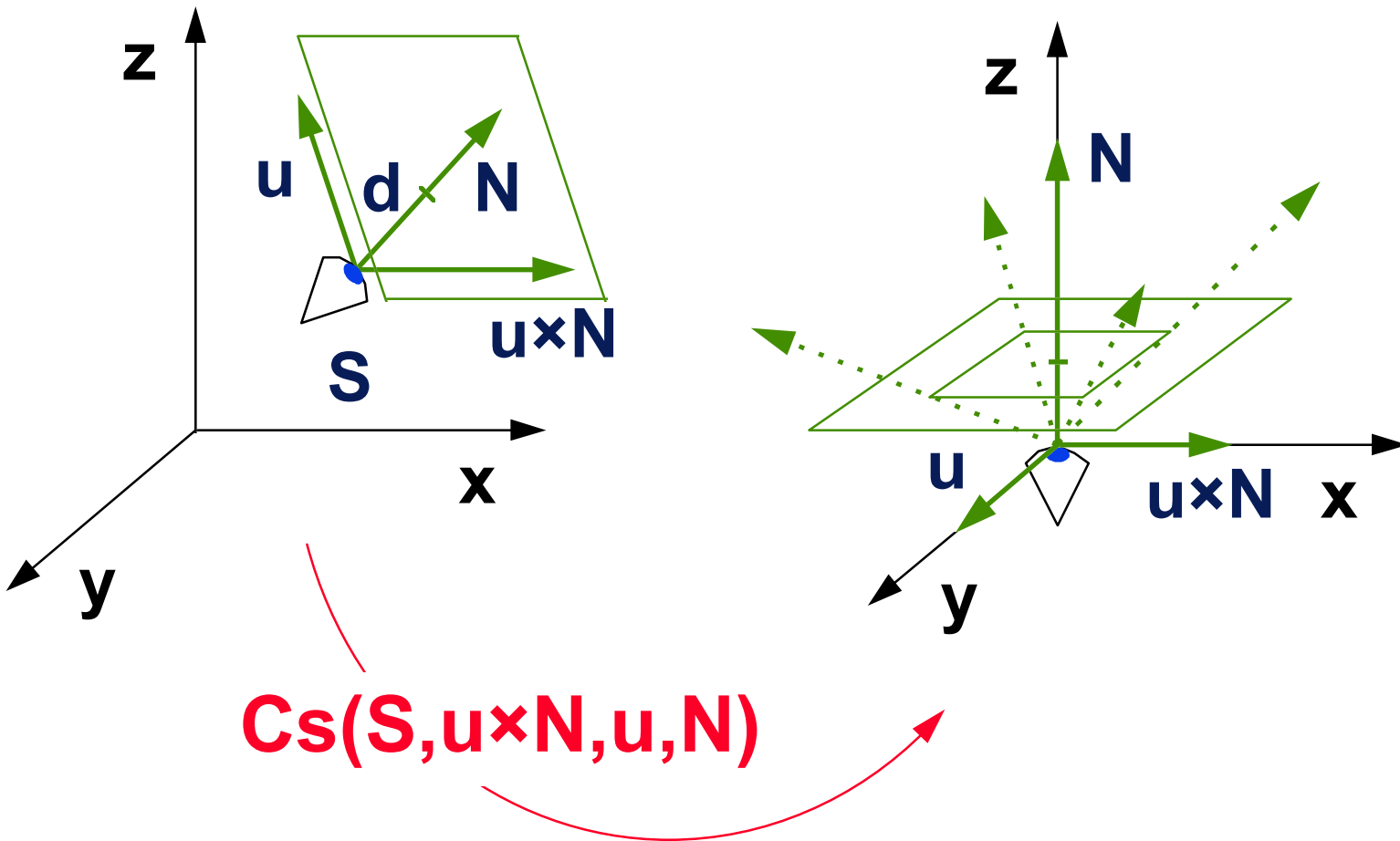
průmětna: xy
koeficient zkrácení: K
úhel průmětu osy z: α

$$\begin{bmatrix} 1 & 0 & 0 & 0 \\ 0 & 1 & 0 & 0 \\ K \cdot \cos \alpha & K \cdot \sin \alpha & 1 & 0 \\ 0 & 0 & 0 & 1 \end{bmatrix}$$

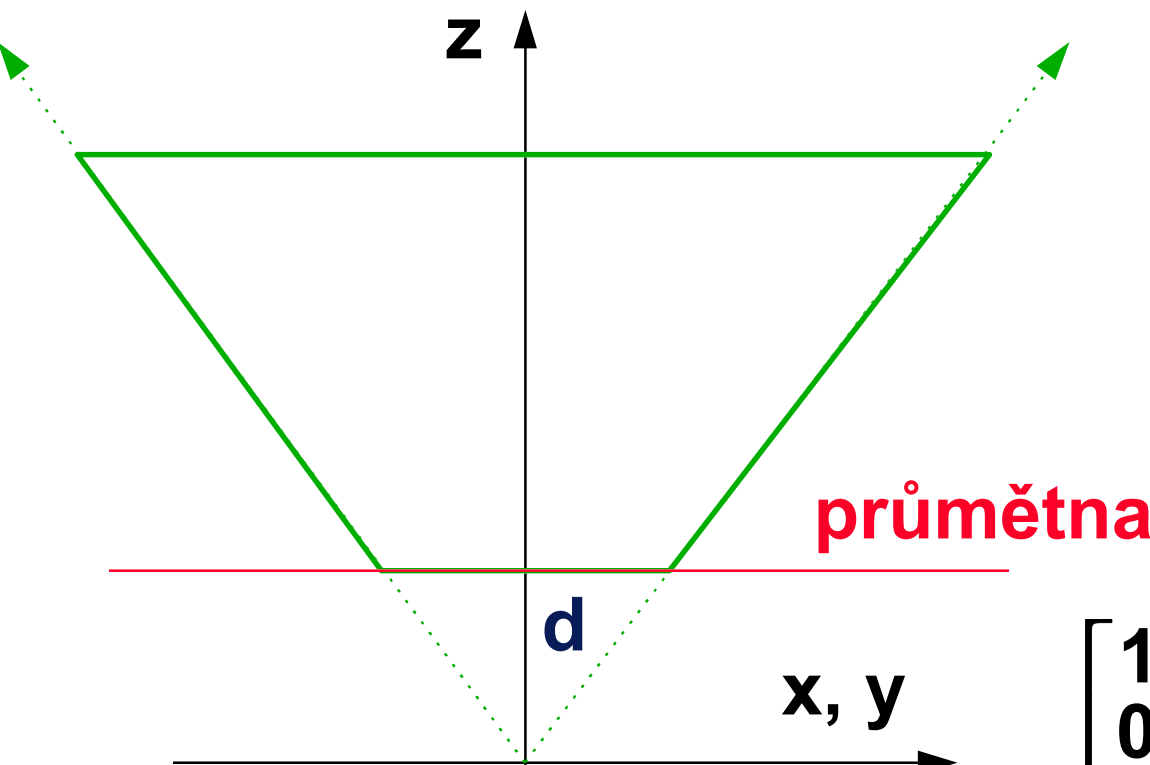
Implementace středové projekce

- ◆ **obecná perspektivní projekce:**
 - střed projekce: **S**
 - směr pohledu (normálový vektor průmětny): **N**
 - vzdálenost průmětny od středu projekce: **d**
 - svislý vektor: **u**
- **promítací transformace:**
 - převedení do **základní polohy** (střed projekce do počátku, směr pohledu do osy **z**): **Cs(S,u×N,u,N)**
 - **perspektivní projekce**: např. [**x· d/z, y· d/z, z]**

Převedení do základní polohy



Perspektivní transformace



Nezachovává
linearitu
útvarů!

$$\begin{bmatrix} 1 & 0 & 0 & 0 \\ 0 & 1 & 0 & 0 \\ 0 & 0 & 1 & \frac{1}{d} \\ 0 & 0 & 0 & 0 \end{bmatrix}$$

Transformace lineárních útvarů

◆ perspektivní transformace úsečky **Per**:

- je zřejmé, že **neplatí** rovnost

$$\mathbf{Per(A + t \cdot [B - A])} = \mathbf{Per(A)} + t \cdot [\mathbf{Per(B)} - \mathbf{Per(A)}]$$

→ použití **diferenčních algoritmů (DDA)** při výpočtu viditelnosti:

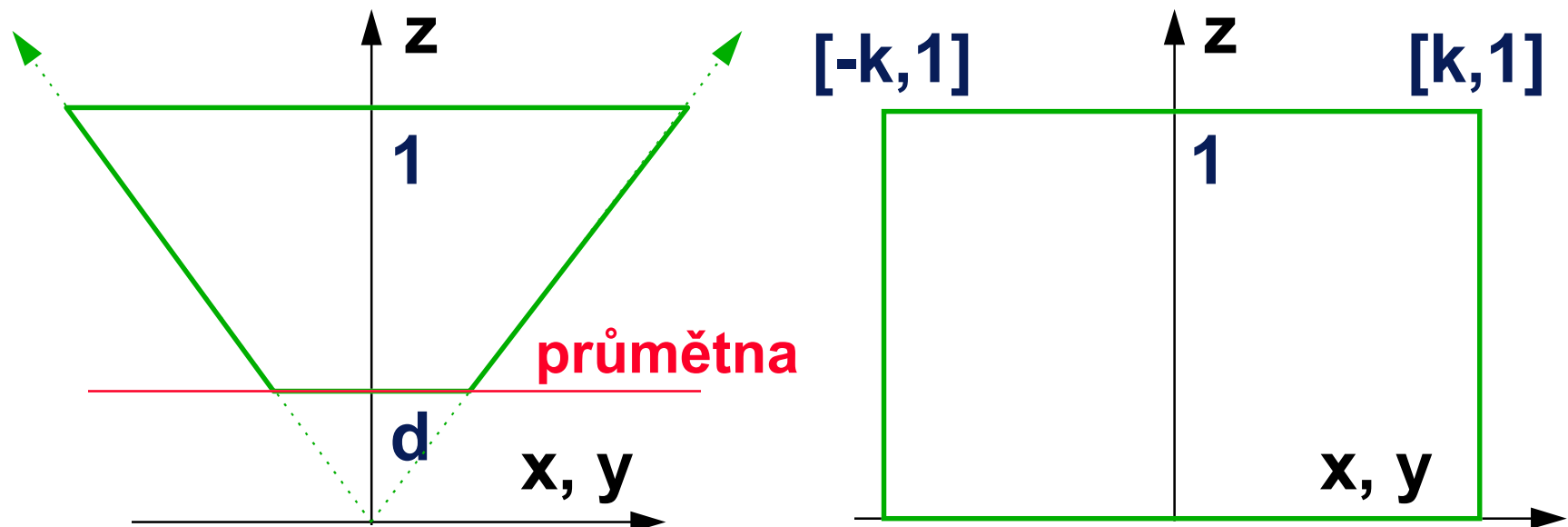
- mějme bod **C(u)** na úsečce **Per(A)Per(B)**:

$$\mathbf{C(u)_{x,y}} = \mathbf{Per(A)_{x,y}} + u \cdot [\mathbf{Per(B)_{x,y}} - \mathbf{Per(A)_{x,y}}]$$

- potřebujeme, aby i pro hloubku **z** platilo:

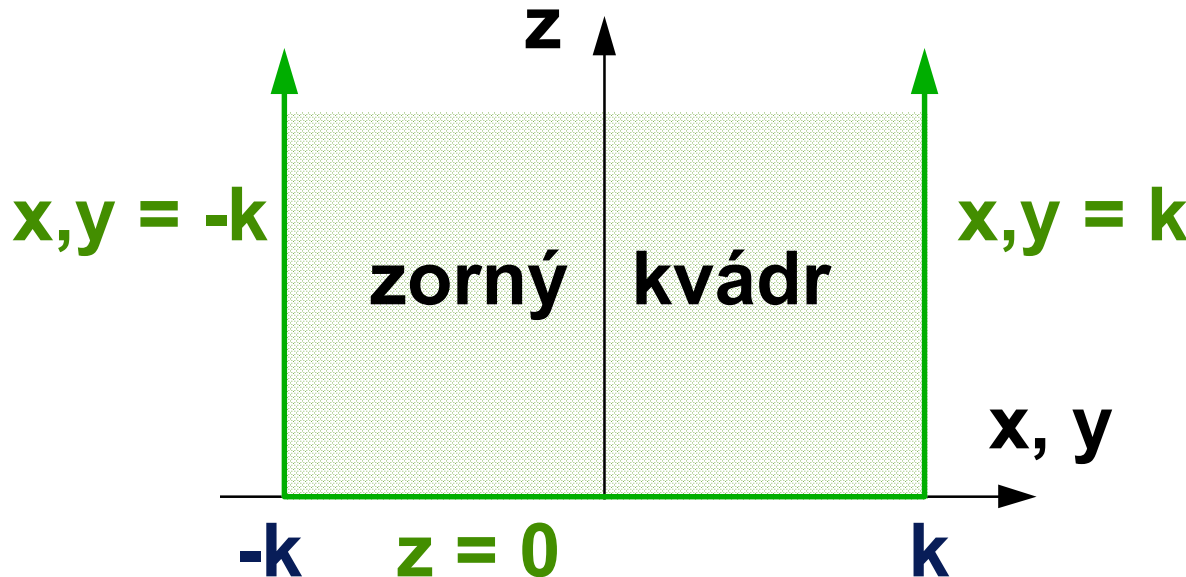
$$\mathbf{C(u)_z} = \mathbf{Per(A)_z} + u \cdot [\mathbf{Per(B)_z} - \mathbf{Per(A)_z}]$$

Zachování linearity



$$\begin{bmatrix} 1 & 0 & 0 & 0 \\ 0 & 1 & 0 & 0 \\ 0 & 0 & \frac{1}{1-d} & 1 \\ 0 & 0 & \frac{-d}{1-d} & 0 \end{bmatrix}$$

4D ořezávání



hraniční nadroviny:

$$\underline{x = -kw}, \underline{x = kw}, \underline{y = -kw}, \underline{y = kw}, \underline{z = 0}$$

$$\text{pro } w > 0: \underline{-kw < x < kw}, \underline{-kw < y < kw}, \underline{0 < z}$$

Konec

Další informace:

- J. Foley, A. van Dam, S. Feiner, J. Hughes:
Computer Graphics, Principles and Practice,
229-283
- Jiří Žára a kol.: *Počítačová grafika*, principy
a algoritmy, 277-291
- ➔ LAN na Malé Straně:
 - **barbora\usr:\vyuka\pelikan\6**

Reprezentace 3D scény

**© 1995-2001 Josef Pelikán
KSVI MFF UK Praha**

e-mail: Josef.Pelikan@mff.cuni.cz
WWW: <http://cgg.ms.mff.cuni.cz/~pepca/>

Metody reprezentace 3D scén

◆ objemové reprezentace

- přímé informace o vnitřních objemech těles
- snadný test “**bod**×**těleso**” (leží daný bod uvnitř tělesa?), **zobrazování** může být obtížnější
- používají se též jako **pomocné datové struktury** pro rychlé vyhledávání

◆ povrchové reprezentace

- přímé informace o povrchu těles (hrany, stěny)
- obtížnější test “**bod**×**těleso**” (tělesa vůbec nemusí mít vnitřní objem), poměrně snadné **zobrazování**

Objemové reprezentace

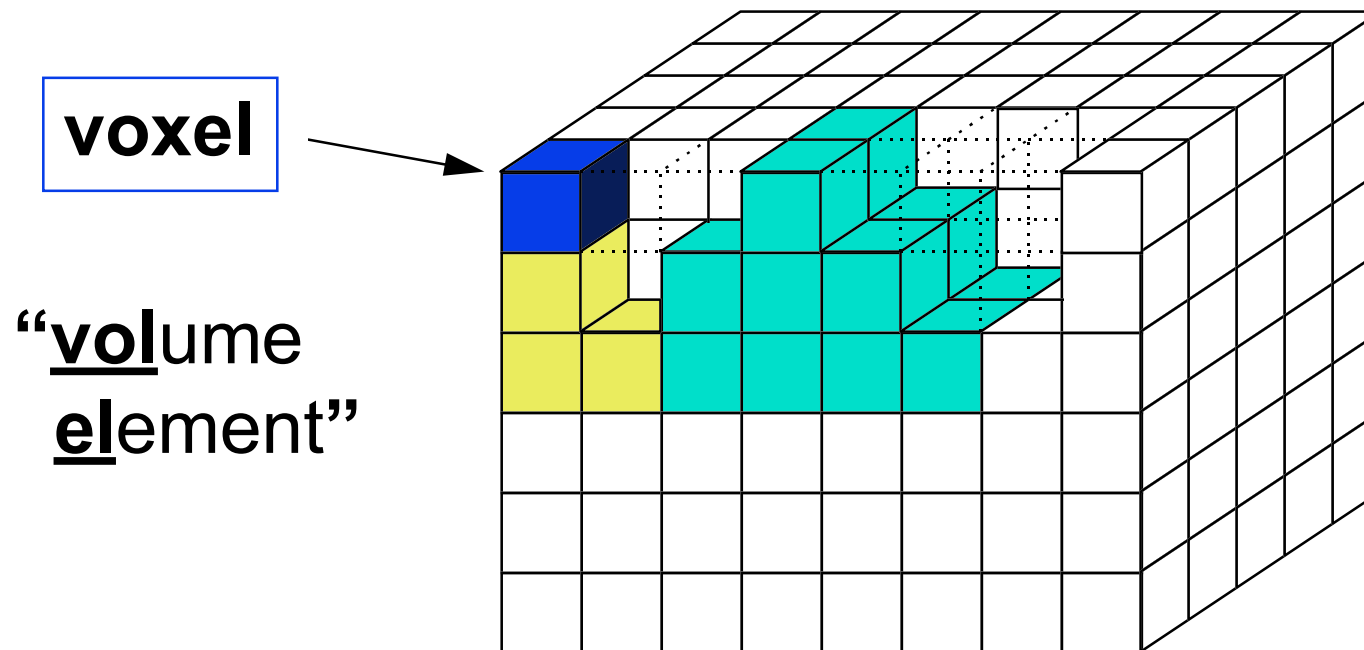
✓ výčtové reprezentace

- přímé vyčíslení obsazeného prostoru (diskrétní reprezentace - omezená přesnost)
- používají se hlavně jako pomocné datové struktury pro rychlé vyhledávání
- **buněčný model, oktantový strom**

✓ CSG reprezentace

- velice silná a přesná metoda (elementární tělesa, geometrické transformace, množinové operace)
- obtížnější **zobrazování** (vrhání paprsku)

Buněčný model



pole $k \times l \times m$ voxelů

jednobitová varianta: 0 - nic, 1 - těleso

vícebitová varianta: 0 - nic, $n > 0$ - těleso číslo n

Zobrazování buněčného modelu

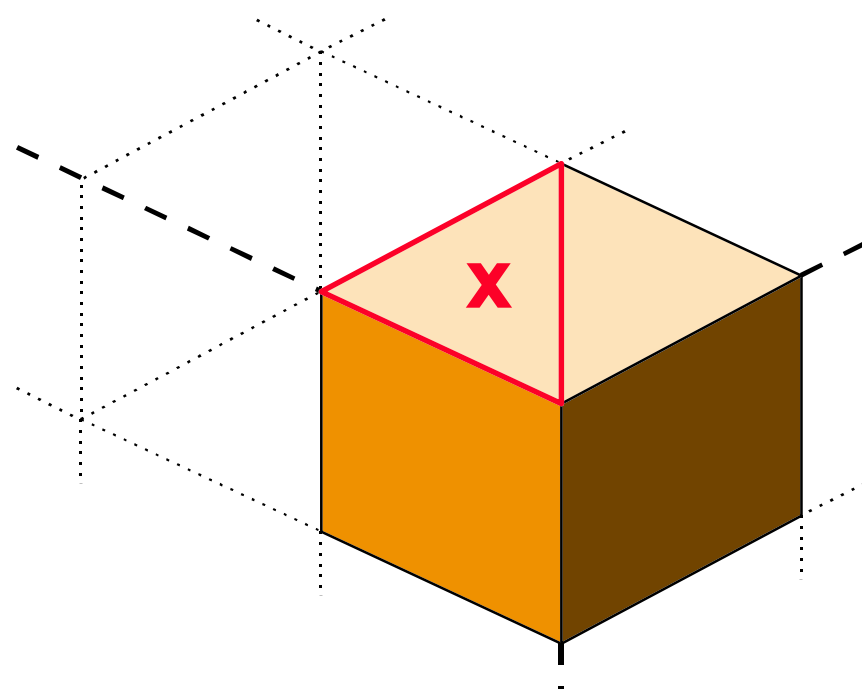
→ kreslení odzadu-dopředu

- pouze přivrácené stěny voxelů
- pouze stěny na povrchu těles (stěny mezi **0** a **>0**)
- vícenásobné překreslování

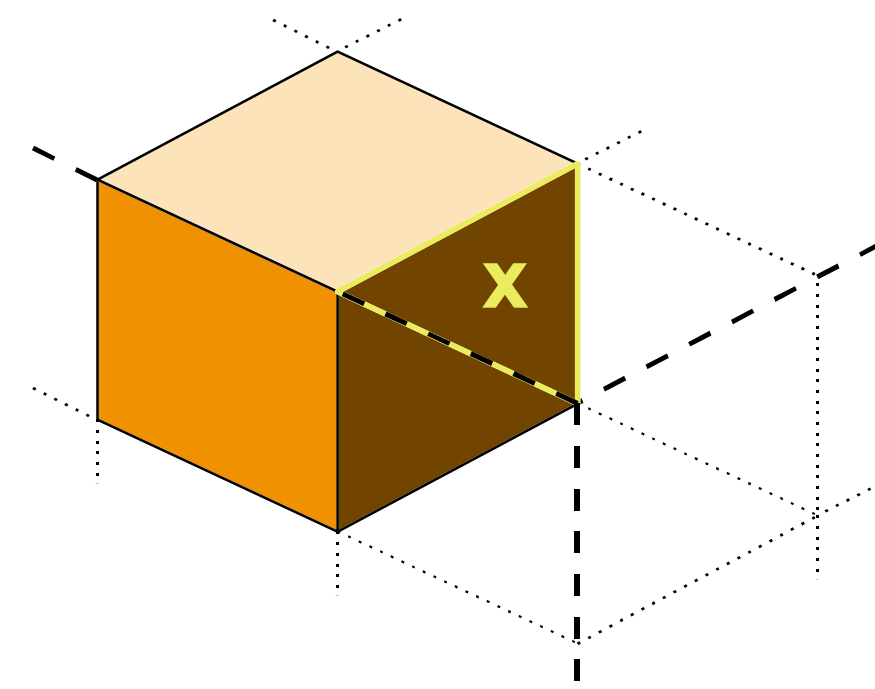
→ speciální promítání

- velmi efektivní algoritmus bez zbytečného překreslování
- “**Ant-attack**” na ZX-Spectru ($128 \times 128 \times 8$ voxelů)

Speciální promítání

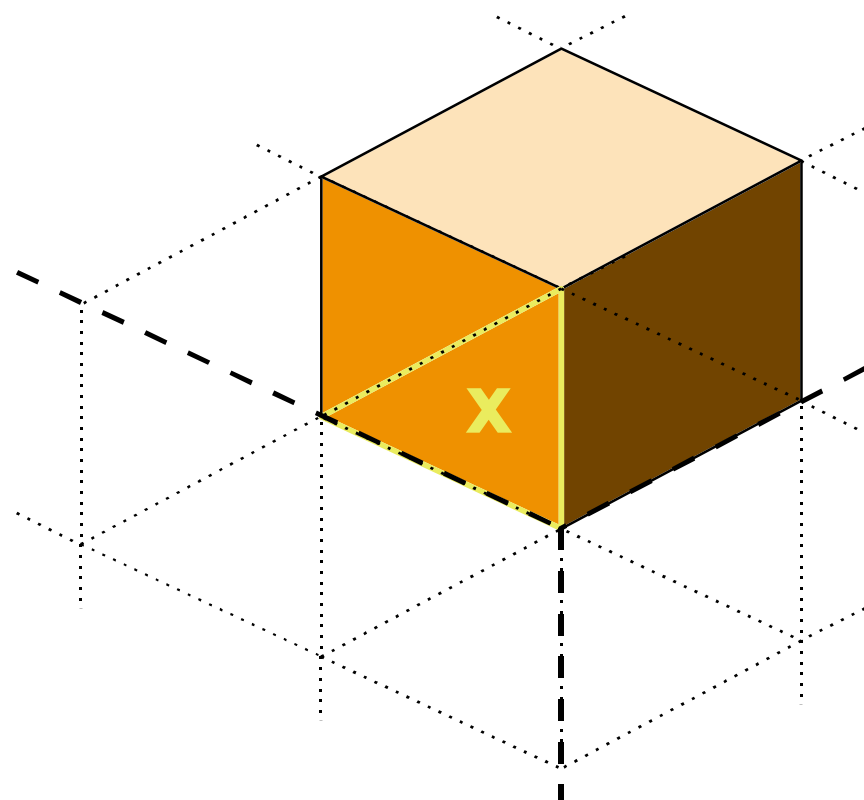


1. horní stěna
[0,0,0]

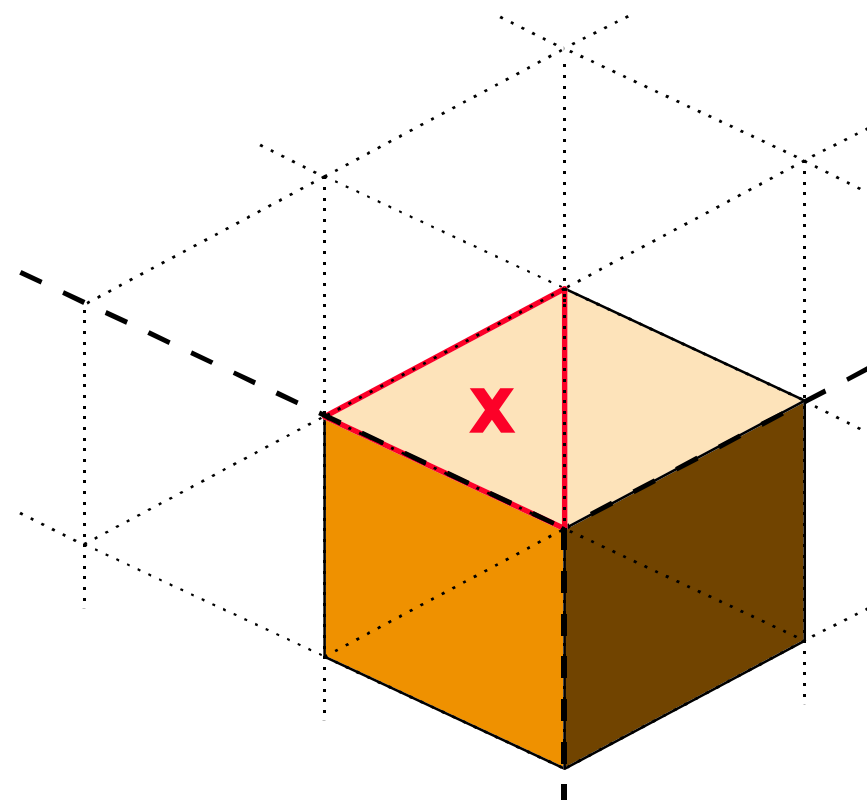


2. pravá stěna
[0,1,0]

Speciální promítání

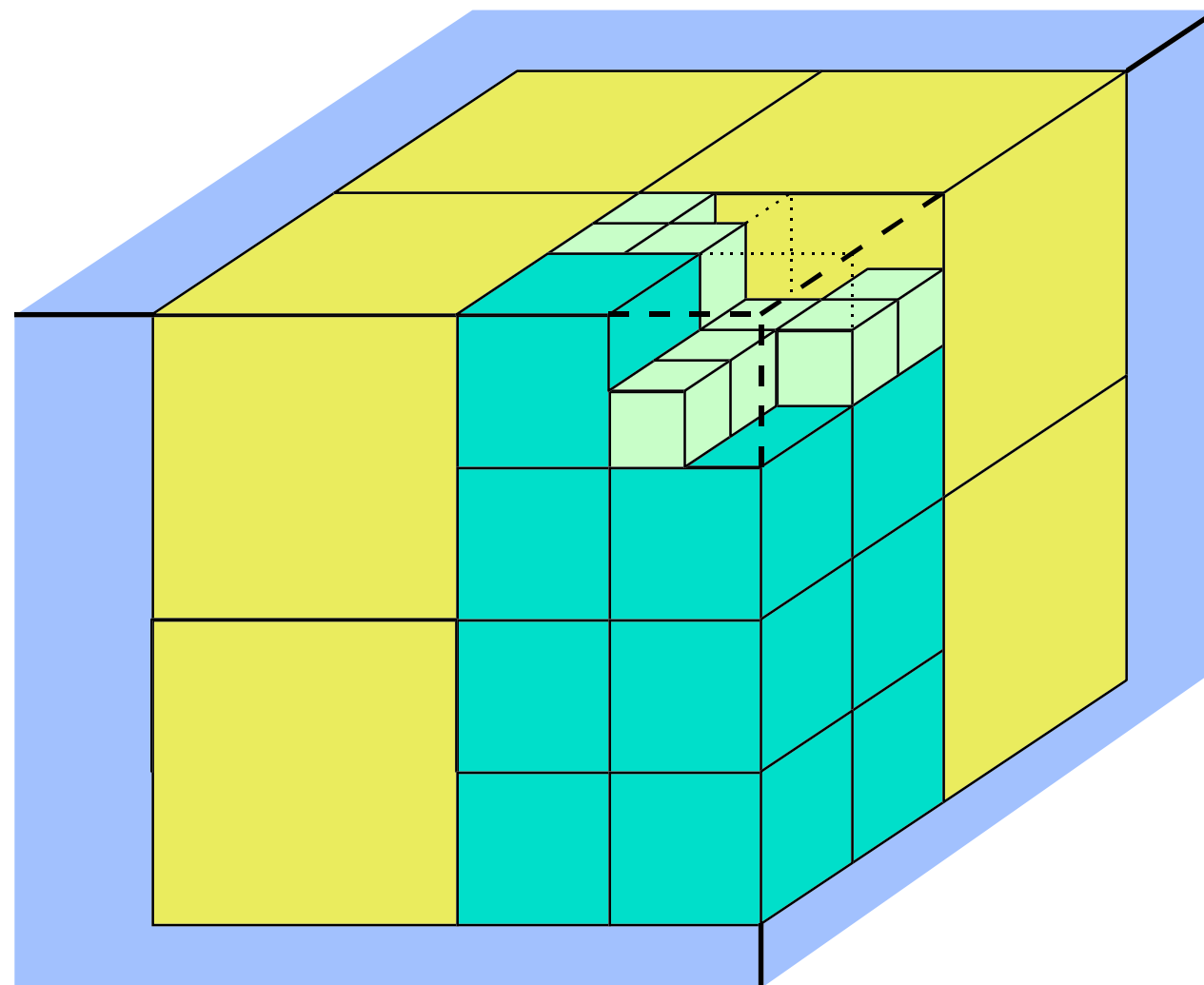


3. levá stěna
[1,1,0]



4. horní stěna
[1,1,1]

Oktantový strom (“octree”)



Oktantový strom

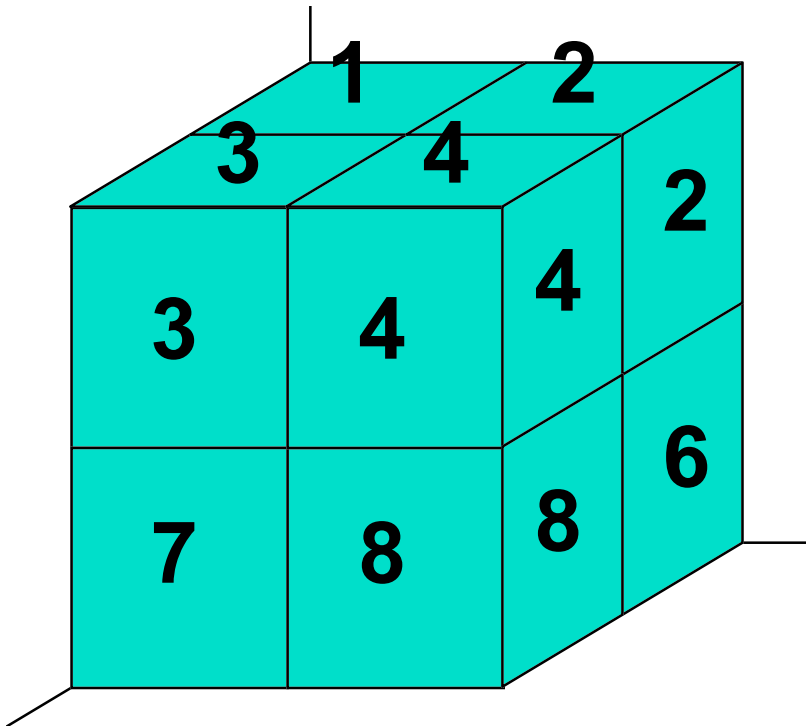
- ◆ **3D analogie kvadrantového stromu**

- je-li vnitřek krychle nehomogenní, rozdělí se na osm částí (dělí se až do úrovně voxelu)
- úspora paměti proti buněčnému modelu

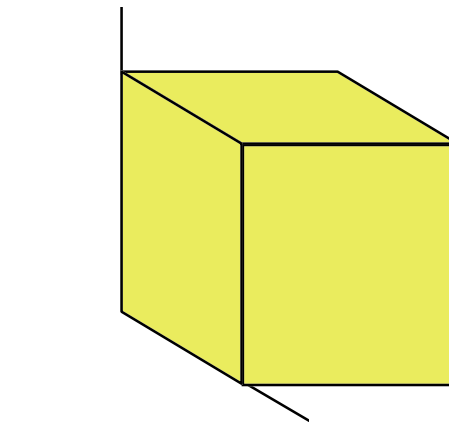
- **kreslení odzadu-dopředu**

- pouze přivrácené stěny krychlí
- pouze stěny na povrchu těles (stěny mezi **0** a **>0**)
- několikanásobné překreslování některých pixelů

Kreslení od zadu-dopředu



pořadí:
5-6-1-2-7-8-3-4



pořadí:
6-5-2-1-8-7-4-3

CSG (Constructive Solid Geometry)

- ◆ **elementární geometrická tělesa**

- snadno definovatelná a vyčíslitelná
- kvádr, poloprostor, hranol, koule, válec, kužel, ...

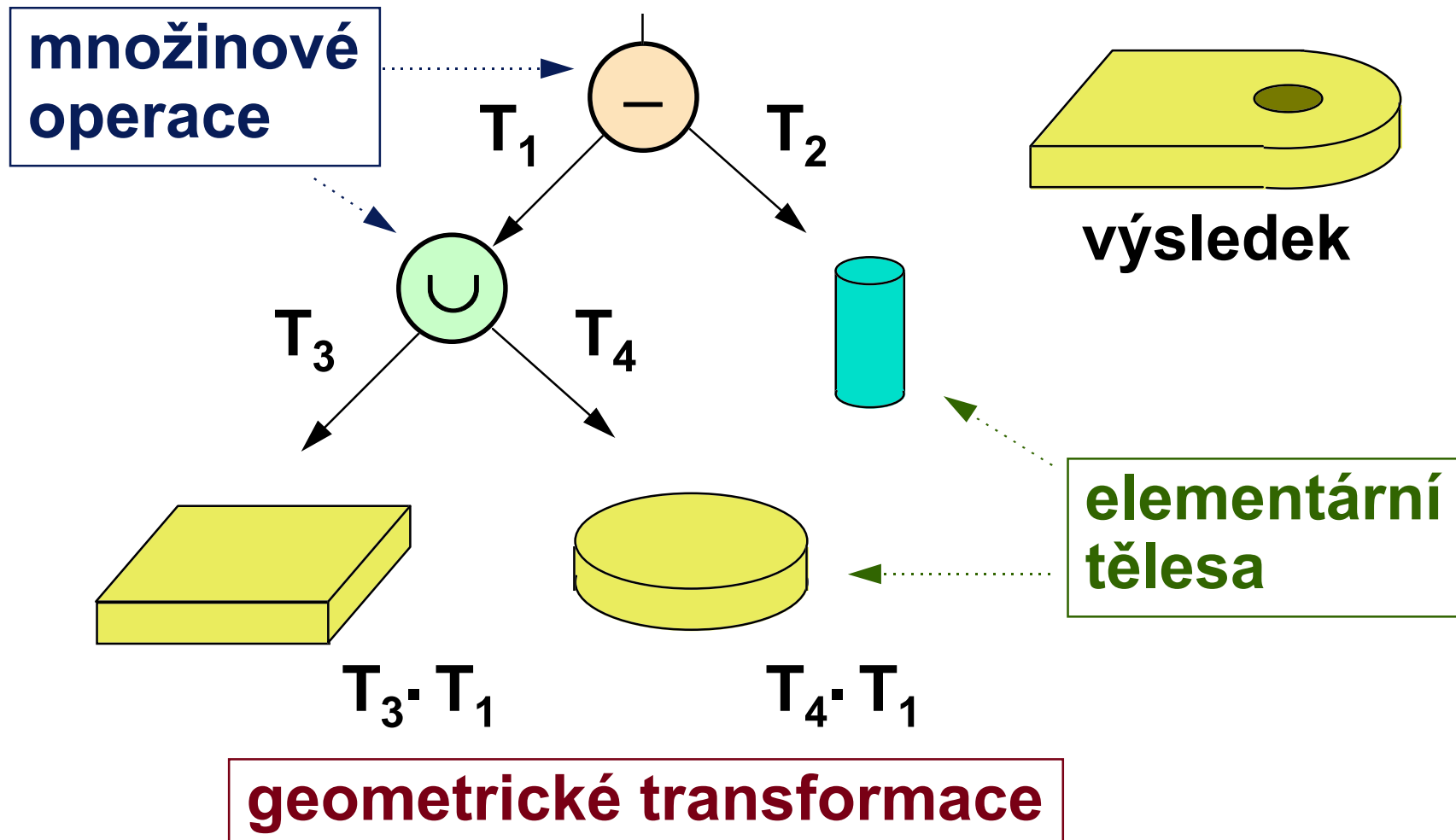
- ◆ **množinové operace**

- kompozice složitějších těles z elementárních
- sjednocení, průnik, rozdíl, ..

- ◆ **geometrické transformace**

- modifikace elementárních i složitějších těles
- (homogenní) maticové transformace

CSG strom



Transformace v CSG stromu

- ◆ **význam (sémantika) transformace T_i**
 - T_i mohou být uloženy v každé hraně CSG stromu
 - převod souřadnic ze soustavy podtělesa (podstromu, elementárního tělesa) do soustavy nadtělesa
 - “podtěleso transformuji pomocí T_i před tím, než ho přidám do nadtělesa”
- **snadná transformace libovolného podstromu**
 - změním pouze jednu matici
- **inverzní transformace T_i^{-1}**
 - pro vyčíslovací algoritmy (test bod \times CSG, zobrazení)

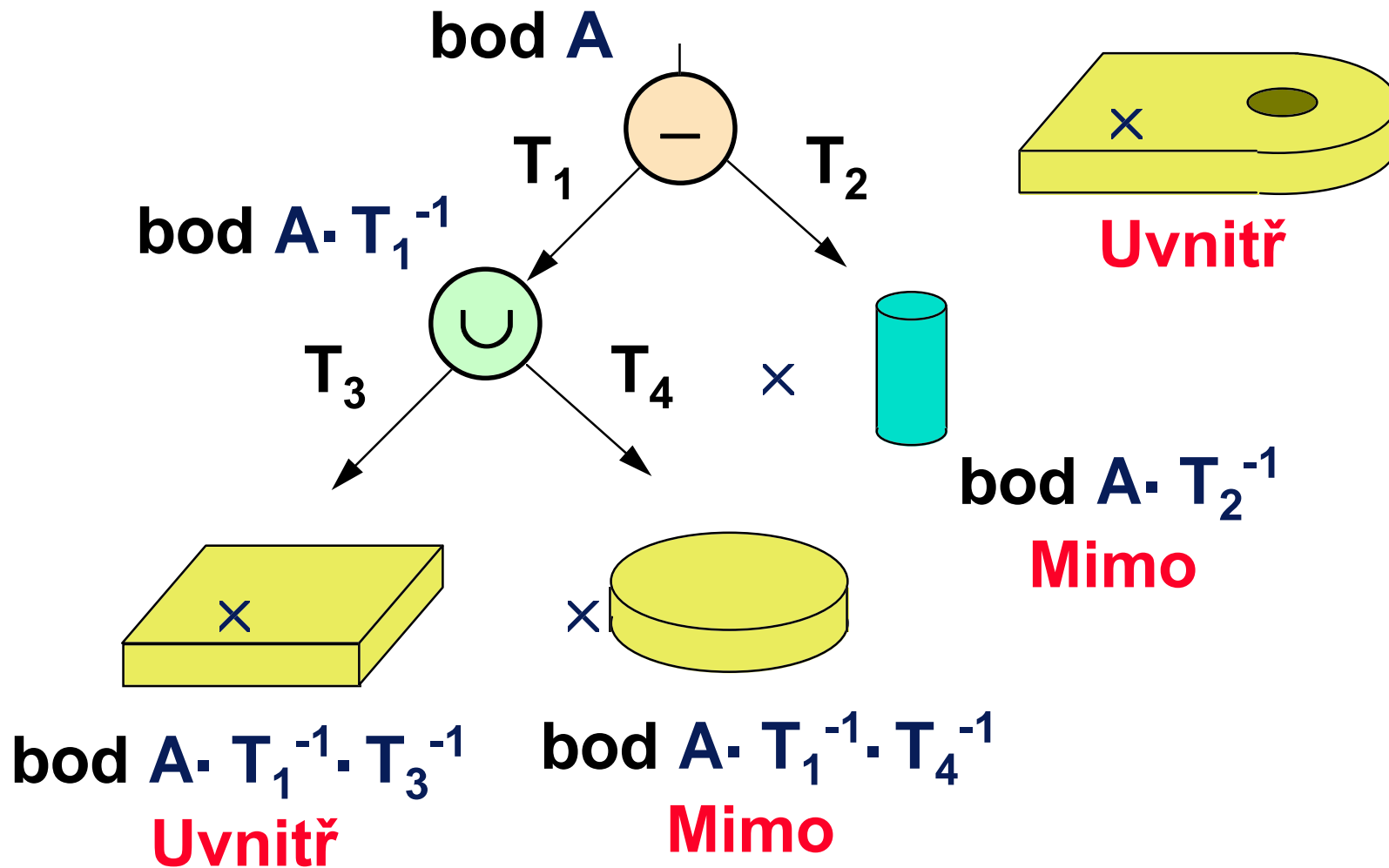
Transformace v CSG stromu

- ➔ **uložení transformací jen v listech**
 - kumulované součiny (např. $T_3 \cdot T_2 \cdot T_1$ nebo inverzní $T_1^{-1} \cdot T_2^{-1} \cdot T_3^{-1}$)
 - urychlení vyčíslovacích algoritmů (pro editaci je výhodnější distribuované uložení transformací)
- ➔ **úsporné uložení elementárních těles**
 - tělesa jsou uložena v **normovaném tvaru**, všechny změny se provádí geometrickými transformacemi
 - krychle (jednotková, vrchol v počátku), koule (jednotková, střed v počátku), válec (vodorovná podstava - jednotkový kruh, svislá osa, výška 1), ...

Test “bod×CSG strom”

- ◆ leží daný bod **A** uvnitř tělesa?
 - někdy chceme zjistit i podtělesa obsahující bod **A**
- testy “**bod×elementární těleso**” jsou snadné!
(především pro normované tvary těles)
- **průchod CSG stromem**
 - souřadnice bodu **A** se převádějí do souřadných soustav elementárních těles (inverzní transformace)
 - místo množinových operací se provádějí jejich **booleovské ekvivalenty** (\vee místo \cup , \wedge místo \cap , ...)

Test “bod×CSG strom”



Zobrazování CSG reprezentace

→ převedení do povrchové reprezentace

- pro každý druh **elementárního tělesa**: rutina převádějící těleso na **mnohostěn**
- **množinové operace nad mnohostěny** (omezená přesnost - výsledek nemusí být správně ani v topologickém smyslu)

→ vrhání paprsku (“Ray-casting”)

- přesné zobrazování v **rastrovém prostředí** (pixelová přesnost)
- výpočetně náročnější metoda

Povrchové reprezentace

✓ “drátový model”

- pseudo-povrchová reprezentace
- pouze **vrcholy** a **hrany** těles (nelze použít pro výpočet viditelnosti)

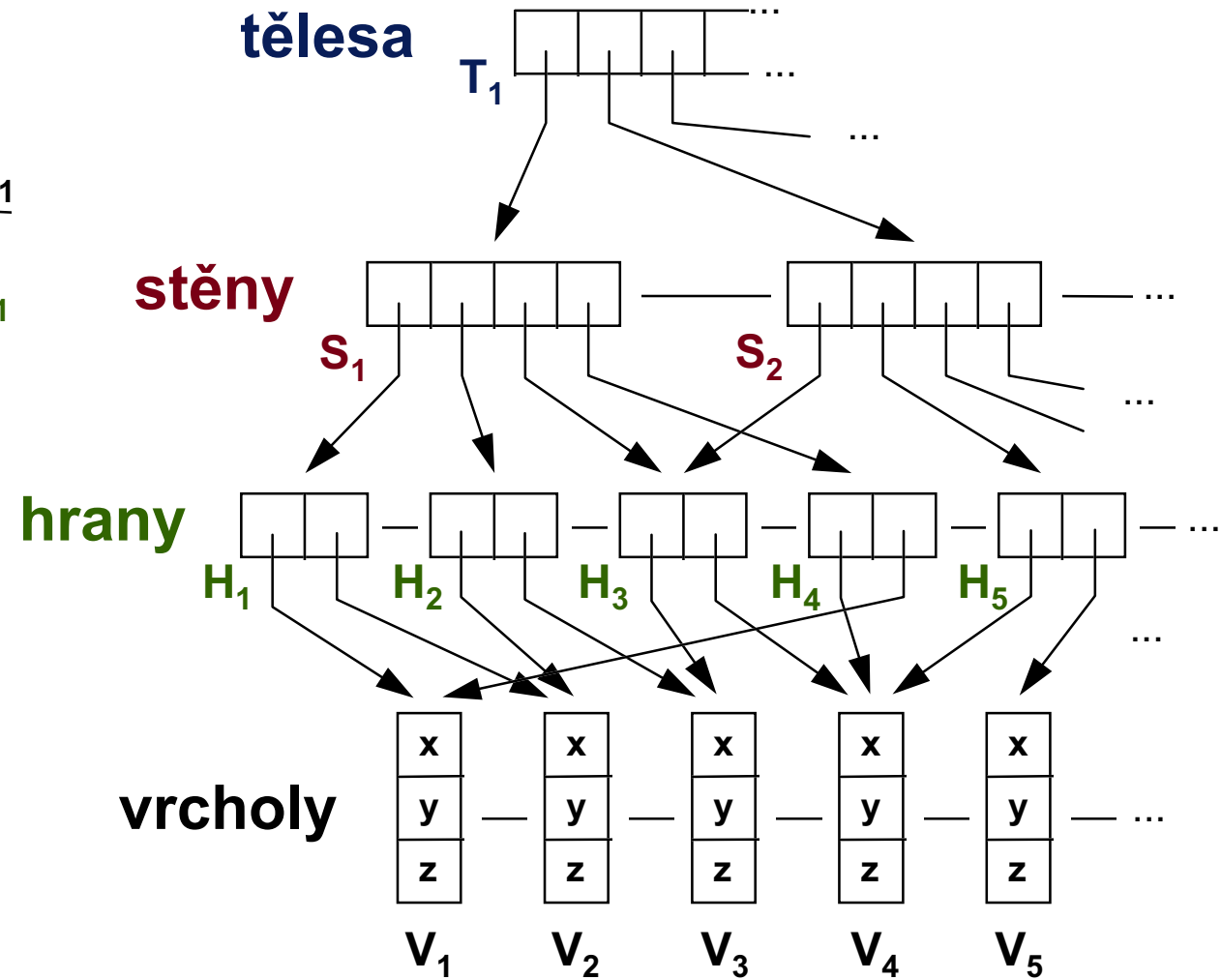
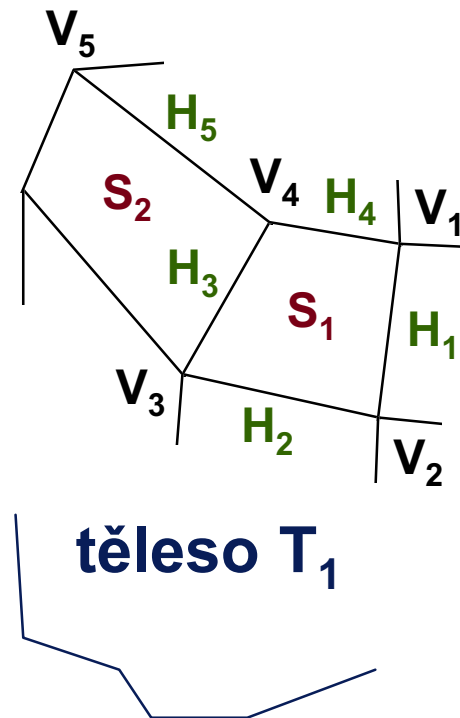
✓ VHS(T) reprezentace

- kompletní topologická informace: seznamy **vrcholů**, **hran**, **stěn** (a **těles**)

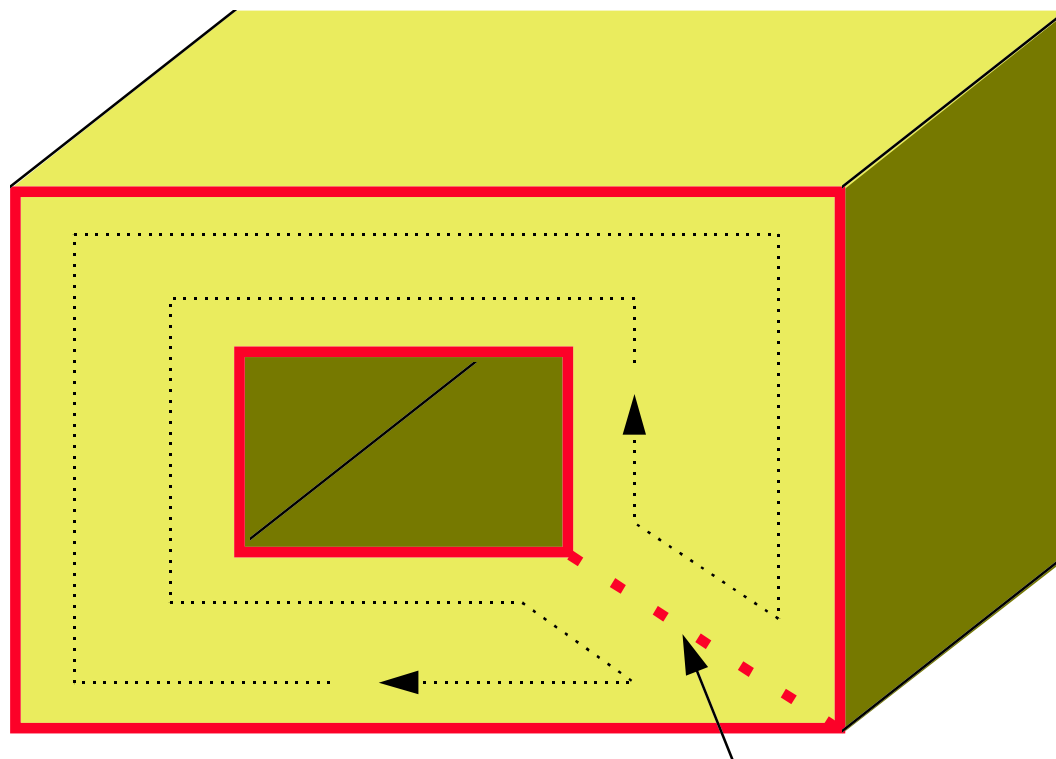
✓ “okřídlená hrana” (“winged-edge”)

- redundantní informace pro **rychlé vyhledávání** sousedních objektů (hrany incidentní s vrcholem, ..)

Povrchová reprezentace VHST



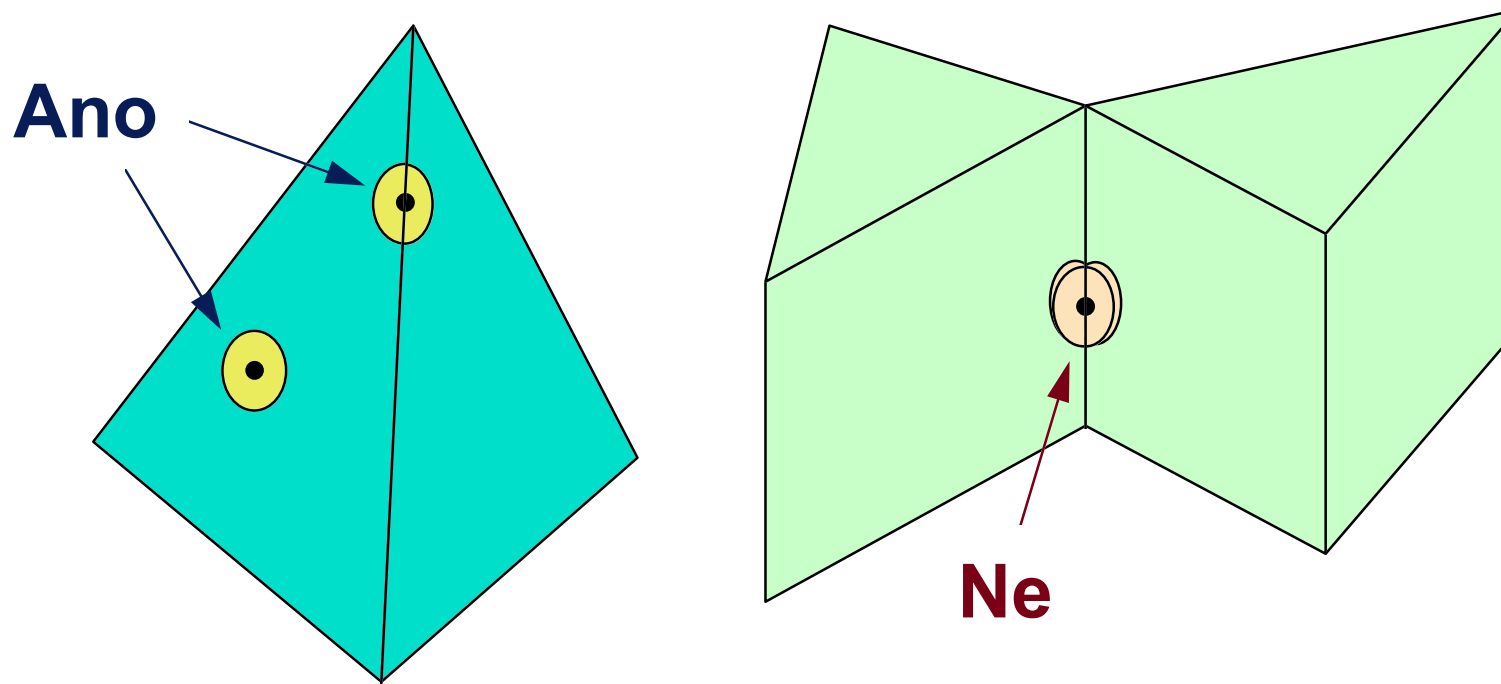
“Děravá” stěna



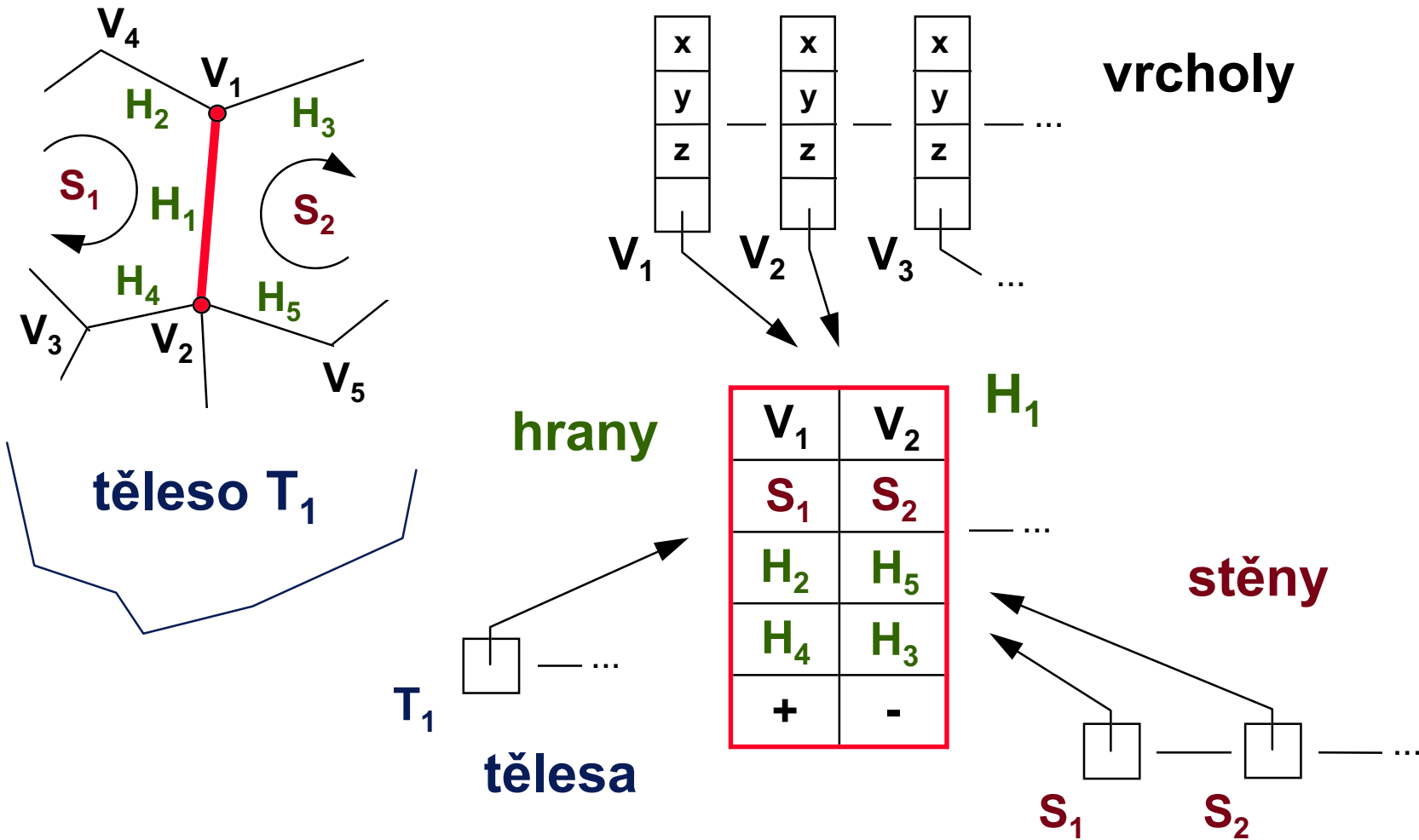
**umělá hrana
(nevykresluje se)**

“2-manifold” (manifold)

Def: Pro každý povrchový bod existuje okolí, které je topologicky ekvivalentní s rovinou



Okřídlená hrana (“winged-edge”)



Další informace v databázi

◆ **vrchol:**

- (normálový vektor pro spojité stínování)

◆ **hrana:**

- příznak umělé hrany: pro reprezentaci děravých stěn nebo approximaci křivých ploch sítí polygonů

◆ **stěna:**

- barva
- normálový vektor (stínování, přivrácená/odvrácená)

◆ **těleso:**

- barva

Eulerovy zákony

→ pro jednoduchý polyedr (bez děr) platí vzorec

$$V - H + S = 2$$

V - počet vrcholů, **H** - počet hran, **S** - počet stěn

→ zobecněný vzorec (dovoluje díry):

$$V - H + S - D = 2 \cdot (T - G)$$

D - počet děr ve stěnách, **T** - počet těles, **G** - počet děr procházejících celým tělesem (Genus)

Eulerovy operátory

→ konstrukce 2-manifoldu po krocích

- v každém kroku je zajištěna platnost Eulerových vzorců (těleso je topologicky korektní)
- ke každému operátoru existuje inverzní (snadná implementace příkazu “undo”)

→ příklady Eulerových operátorů:

Msfvv(P_1, P_2): “make solid, face, edge, vertex, vert.”,

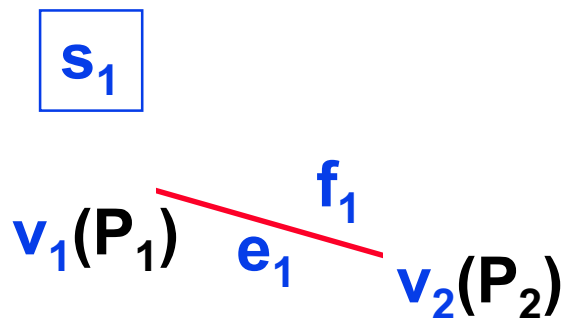
Mev(f_1, v_1, P_2): “make edge, vertex”,

Mef(f_1, v_1, v_2): “make edge, face”,

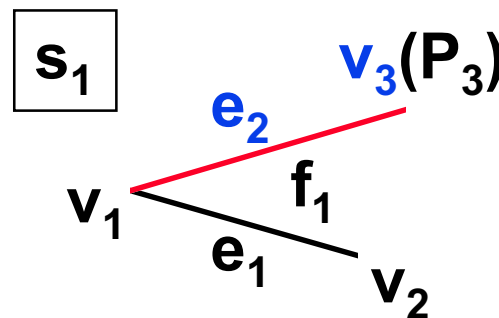
Kef(e): “kill edge, face”, ...

Konstrukce čtyřstěnu

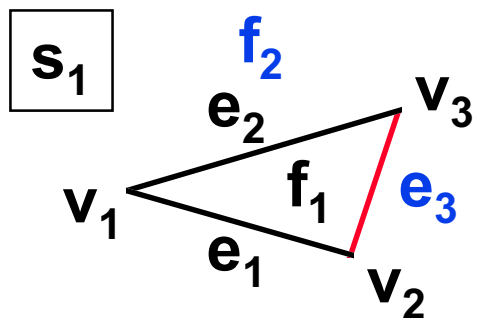
1. Msfevv(P_1, P_2)



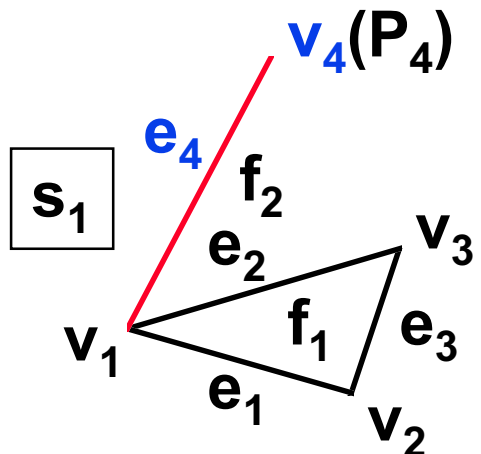
2. Mev(f_1, v_1, P_3)



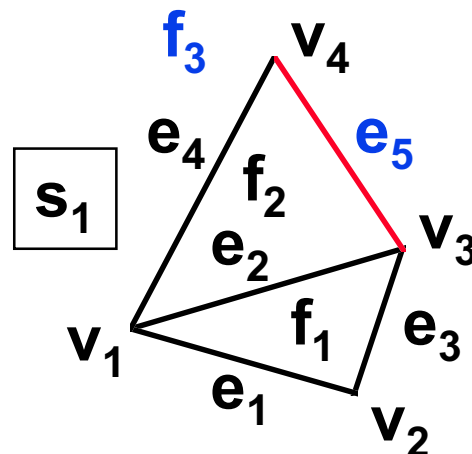
3. Mef(f_1, v_2, v_3)



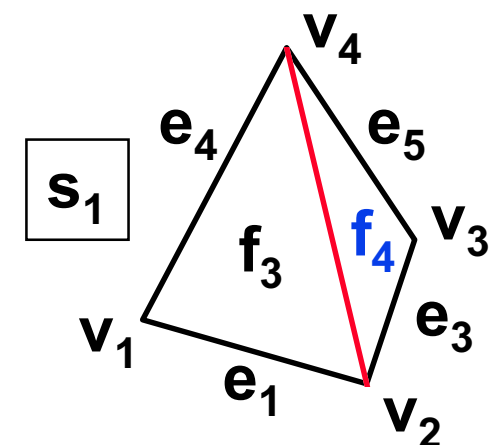
4. Mev(f_2, v_1, P_4)



5. Mef(f_2, v_3, v_4)



6. Mef(f_3, v_2, v_4)



Konec

Další informace:

- J. Foley, A. van Dam, S. Feiner, J. Hughes:
Computer Graphics, Principles and Practice,
534-562, 712-714
- Jiří Žára a kol.: *Počítačová grafika*, principy
a algoritmy, 234-238
- ➔ LAN na Malé Straně:
 - **barbora\usr:\vyuka\pelikan\6**

Hierarchický model

**© 1995-2001 Josef Pelikán
KSVI MFF UK Praha**

e-mail: Josef.Pelikan@mff.cuni.cz
WWW: <http://cgg.ms.mff.cuni.cz/~pepca/>

Hierarchie v 3D modelování

→ kompozice “zdola-nahoru”

- složitější objekty se sestavují z jednodušších
- při modelování se často několikanásobně opakují některé části objektů (stavební prvky, součástky)

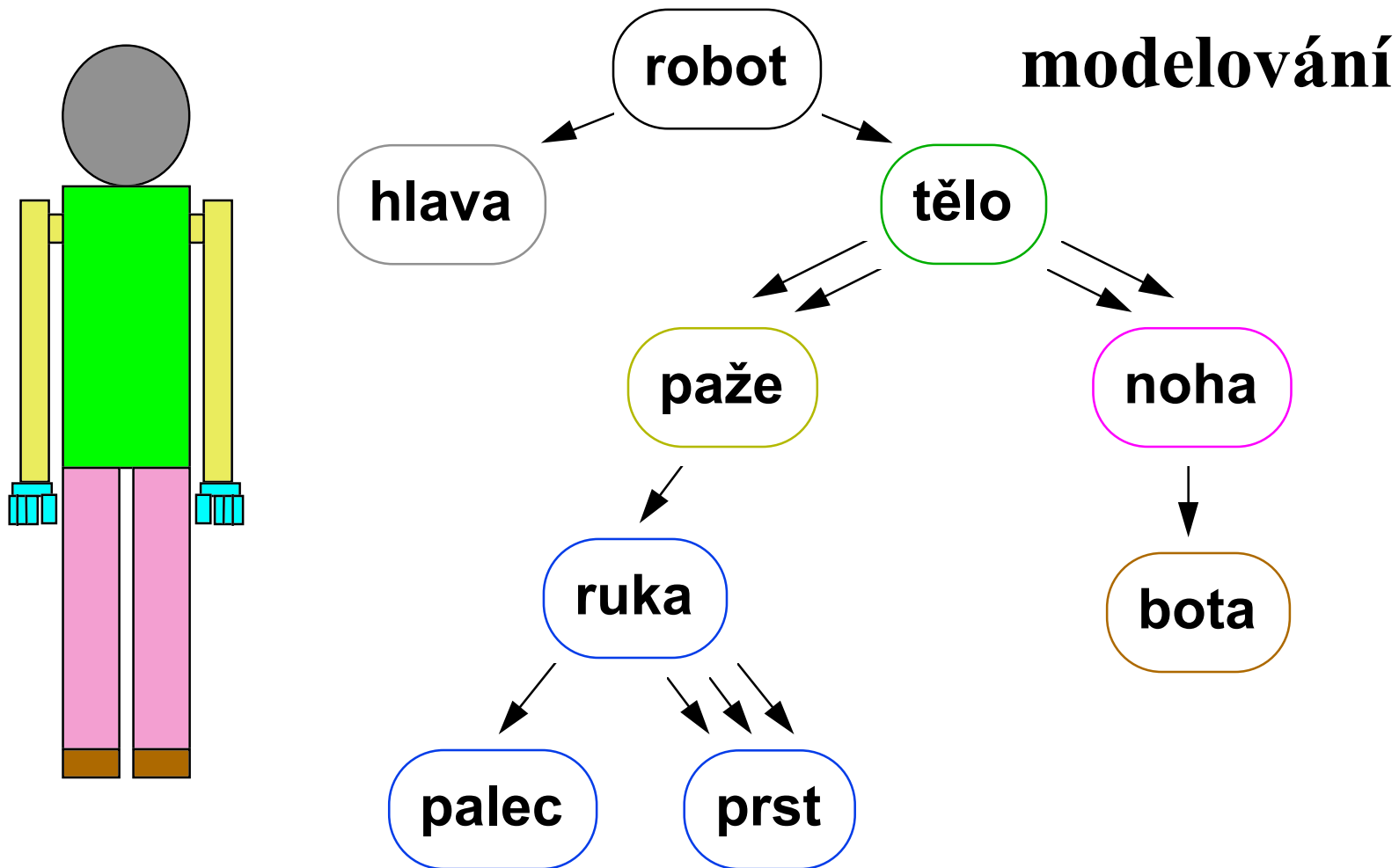
→ databáze 3D objektů

- ve strojírenství a stavebnictví se často používají standardní (normalizované) prvky

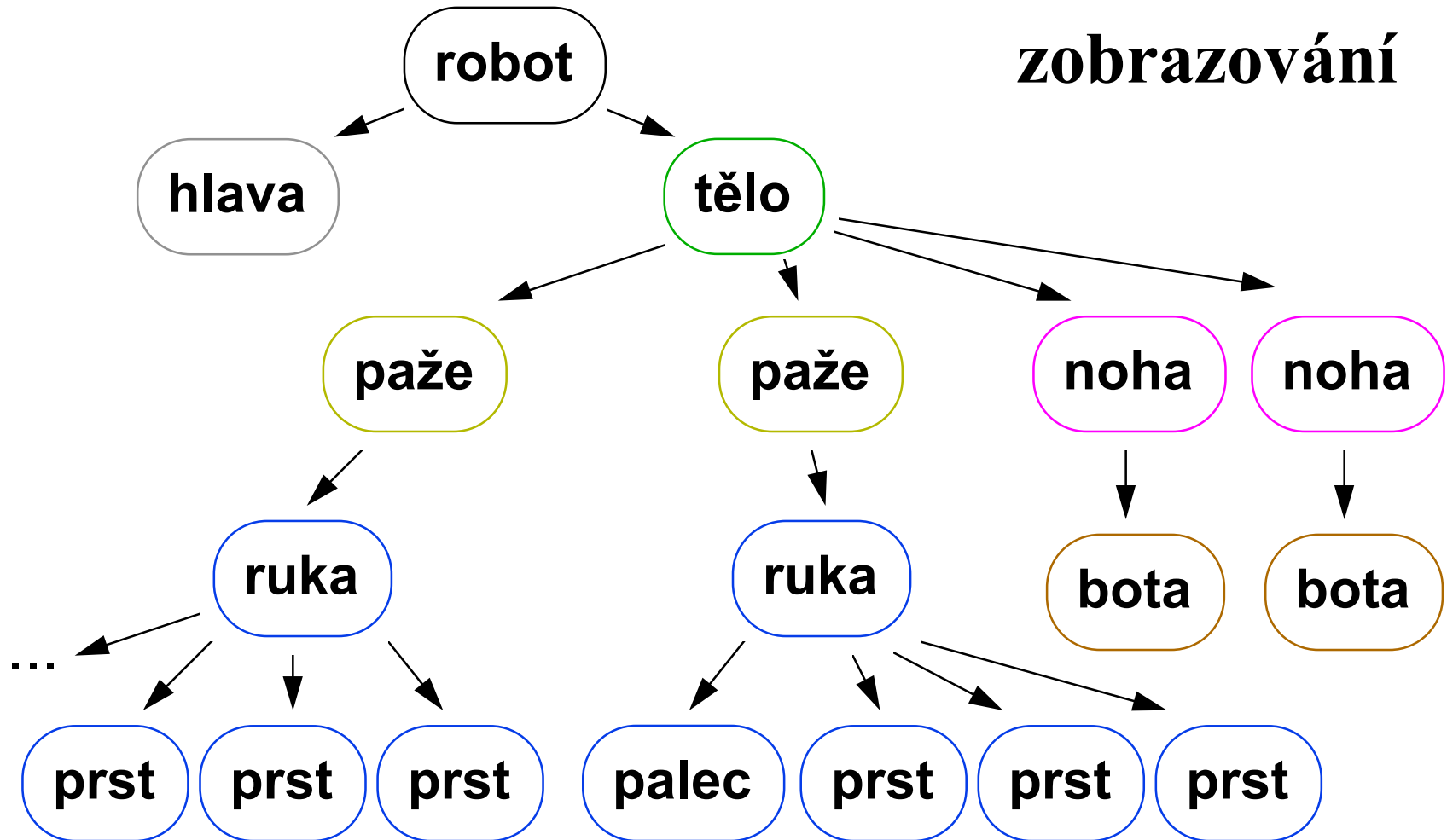
→ parametrické modelování

- jednotlivé instance objektu se mohou mírně lišit

Hierarchický model robota



Strom modelu robota



Uložení objektu v databázi

- **globální (implicitní) atributy a parametry**
 - barva, materiál, přesnost approximace křivek, ...
- **vlastní 3D prvky**
 - tělesa, stěny, plochy, ... (podle typu modelu)
 - souřadná soustava spojená s objektem
 - lokální hodnoty atributů a parametrů
- **odkazy na použité podobjekty**
 - transformační matice (relativní transformace)
 - modifikace parametrů a atributů podobjektu

Reprezentace modelu v paměti

- ◆ převedení acyklického grafu do formy **stromu**
 - uzel = **instance objektu**
 - geometrická data se nesdílejí
- ◆ souřadnice **vrcholů těles, řídících uzlů ploch, ..**
 - podléhají geometrickým transformacím a projekci
 - ~ relativní souřadnice uvnitř objektu - 3D
 - ~ absolutní (světové) souřadnice ve scéně - 3D
 - ~ promítnuté souřadnice - 2D nebo 3D (z = hloubka)
 - ~ souřadnice výstupního zařízení - 2D (celočíselné)

Pole souřadnic (vrcholů, uzlů, ...)

Objekty
na disku

objekt A

objekt B

...

↓ vytvoření instancí objektů ↓

paměť

Světové
souřadnice

3D nebo homogenní

↓ ↘ projekce, (ořezání) ↗ ↓

Různé
pohledy
na scénu

3D (z=hloubka)

3D (z=hloubka)

...

↓ (ořezání), viditelnost ↓

Výstupní
zařízení

2D (celočíselné)

2D (celočíselné)

...

Hierarchické 3D formáty

- ◆ **PHIGS(+)** (ANSI, ISO)
 - “Programmer’s Hierarchical Interactive Graphics System”
- ◆ **OpenInventor** (Silicon Graphics Inc.)
 - objektová nadstavba OpenGL systému
- ◆ **VRML** (“Virtual Reality Modeling Language”)
 - WebSpace (World-Wide Web)
- ◆ **vstupní formáty** zobrazovacích programů
 - PoV Ray, RayShade, Radiance, ...

Konec

Další informace:

- J. Foley, A. van Dam, S. Feiner, J. Hughes:
Computer Graphics, Principles and Practice,
285-346

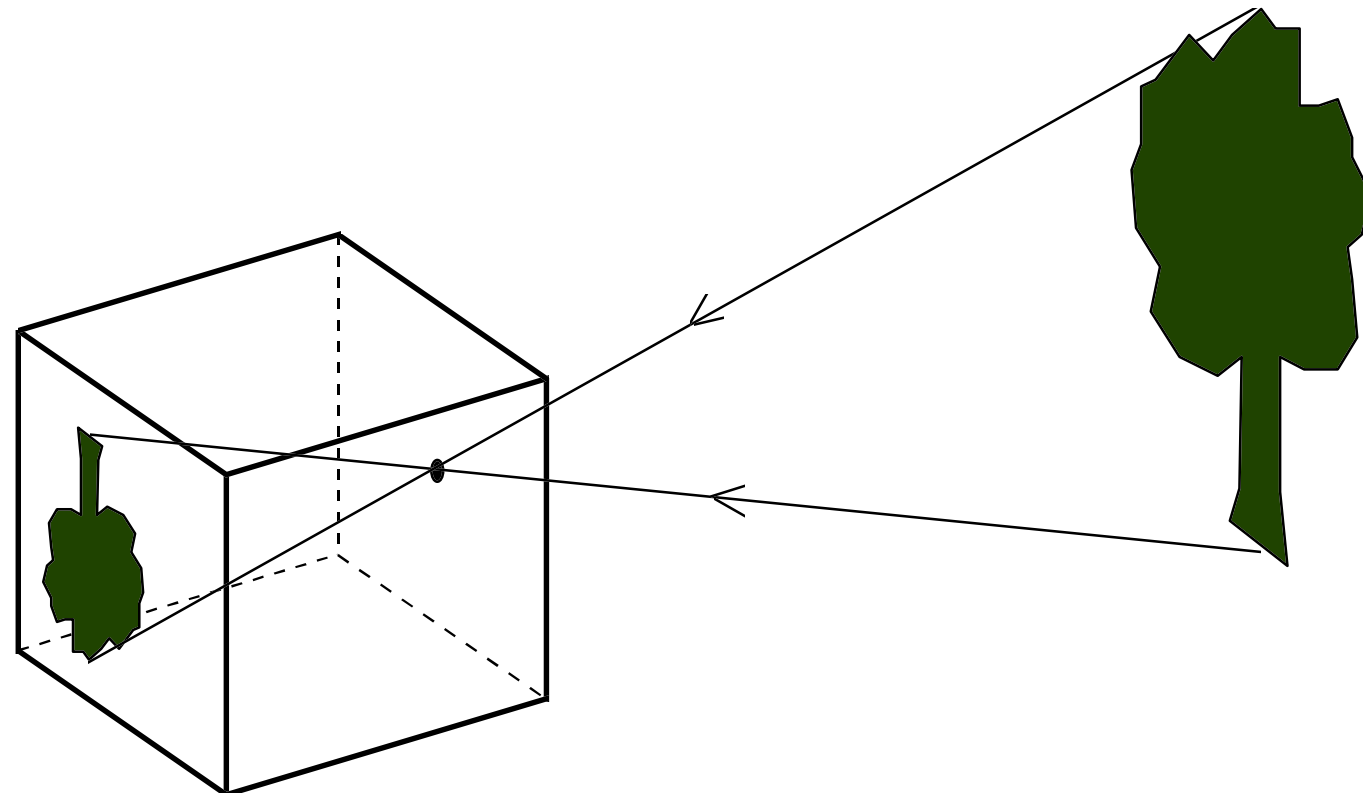
- ➔ LAN na Malé Straně:
– **barbora\usr:\vyuka\pelikan\7**

Vrhání paprsku (CSG)

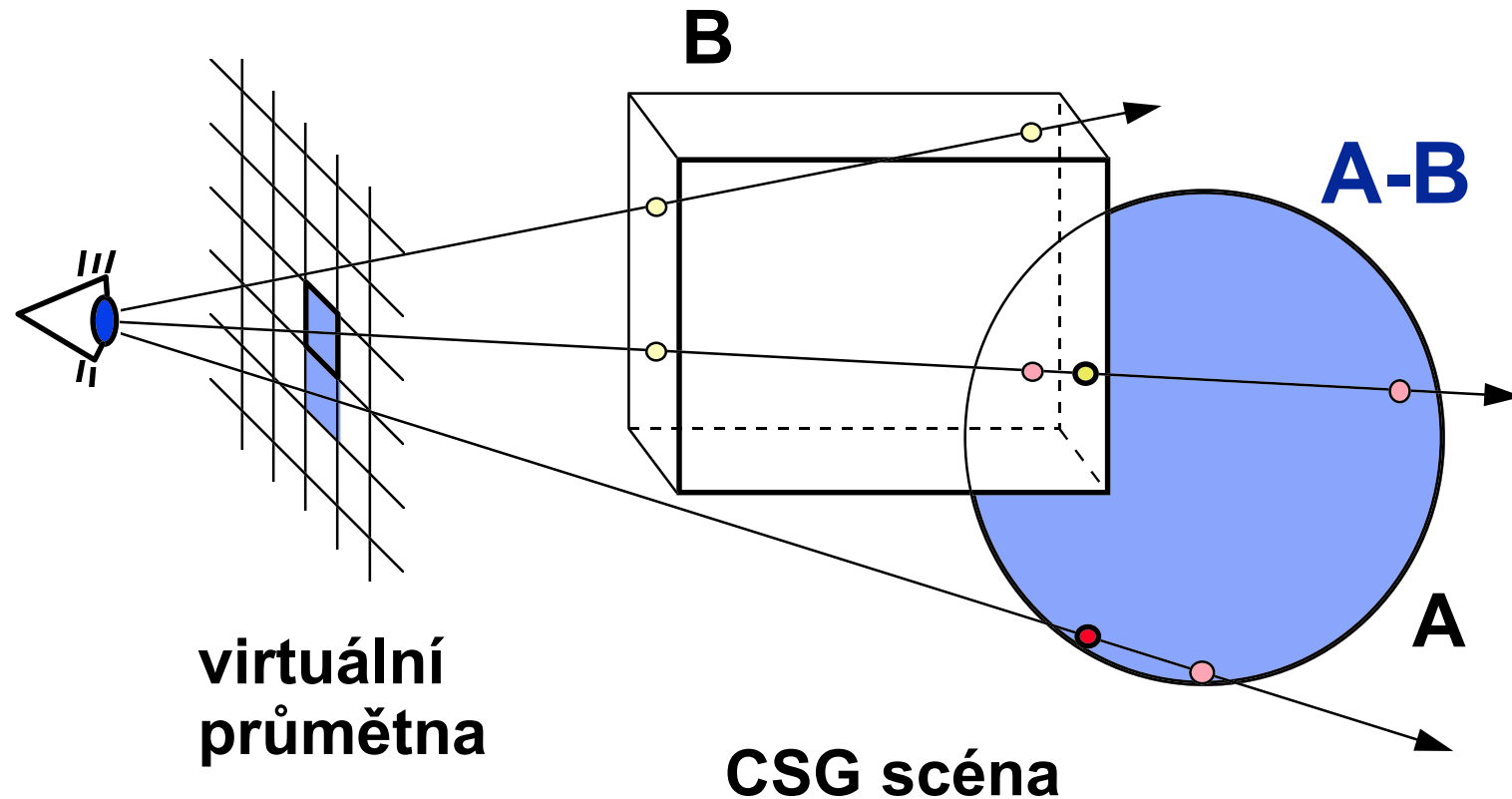
**© 1996-2001 Josef Pelikán
KSVI MFF UK Praha**

e-mail: Josef.Pelikan@mff.cuni.cz
WWW: <http://cgg.ms.mff.cuni.cz/~pepca/>

Model dírkové kamery



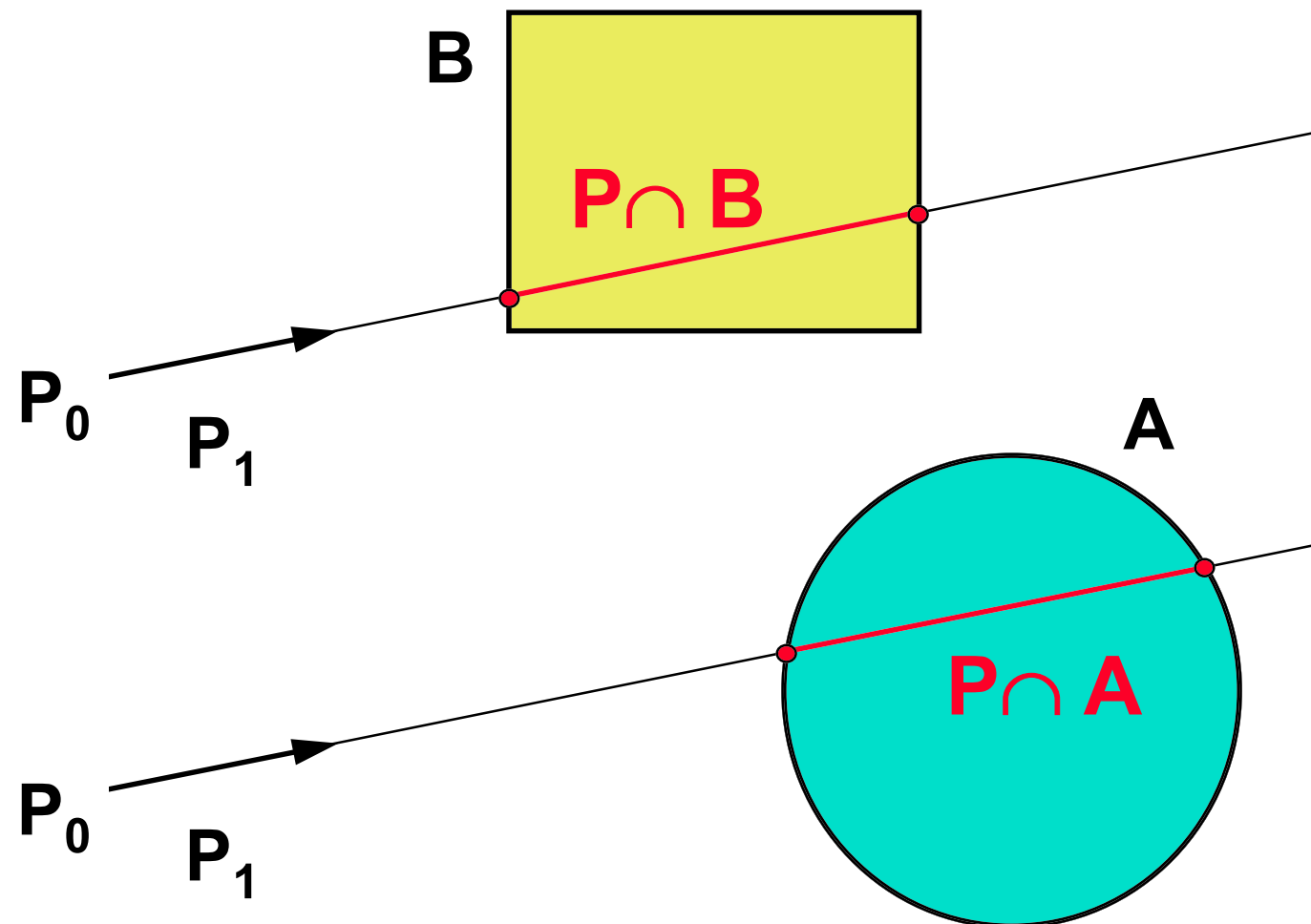
Zobrazování vrháním paprsku



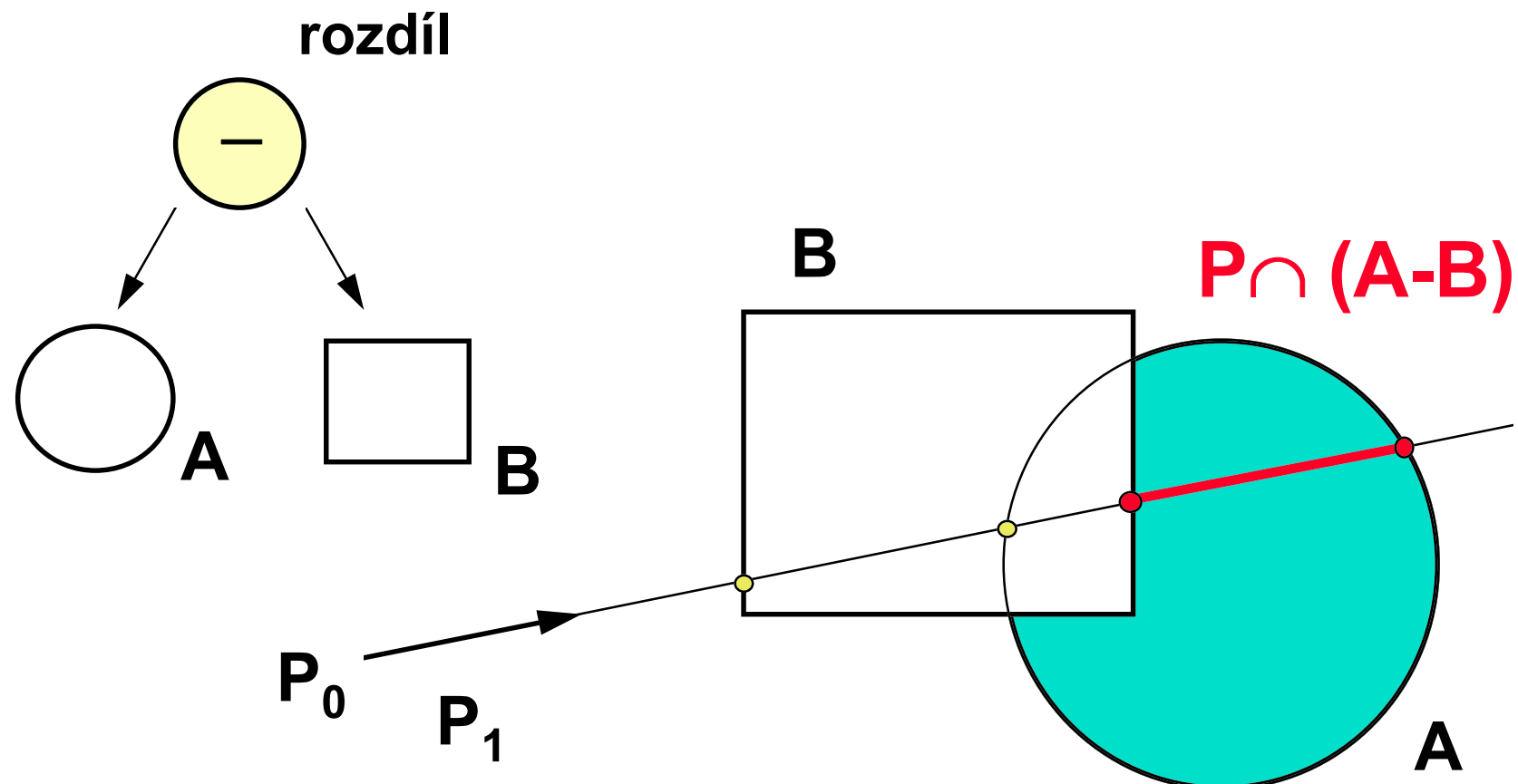
Průsečík paprsku s CSG scénou

- ◆ pro **elementární tělesa** umím průsečíky spočítat
 - začátek a konec průniku paprsku s tělesem pro konvexní tělesa
- ◆ **množinové operace** provádím na polopřímce paprsku:
 - distributivita: $P \cap (A-B) = (P \cap A) - (P \cap B)$
 - obecný průnik paprsku se scénou je množina intervalů
- ◆ **geometrické transformace:**
 - na paprsek aplikuji inverzní transformace

Průsečíky $P \cap A, P \cap B:$



Průsečík $P \cap (A-B)$:



Implementace

→ **paprsek:**

- počáteční bod \mathbf{P}_0 a směrový vektor \mathbf{P}_1
- transformuje se inverzními maticemi \mathbf{T}_i^{-1}

→ **průnik paprsku se scénou** (částí scény):

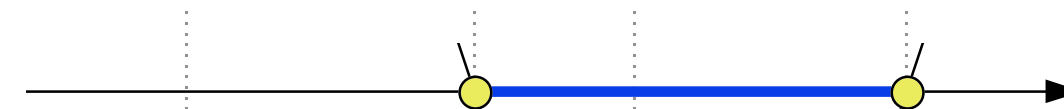
- uspořádaný seznam hodnot parametru t : $[t_1, t_2, t_3, \dots]$

→ **množinové operace:**

- zobecněné slévání vstupních seznamů - např. $[t_1, t_2, t_3, \dots]$ a $[\mathbf{u}_1, \mathbf{u}_2, \mathbf{u}_3, \dots]$
- viz seznam řádkových změn (“X-transition list”)

Množinové operace na paprsku

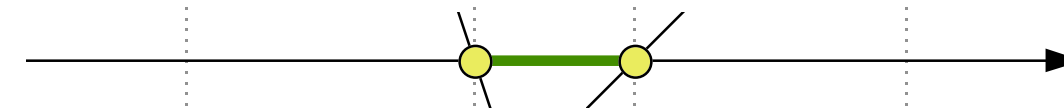
A



B



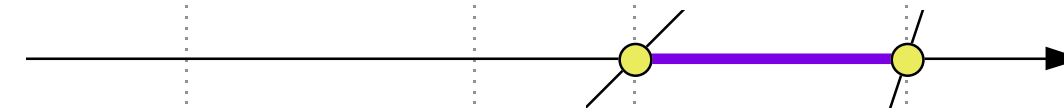
$A \cap B$



$A \cup B$



$A - B$



Určení barvy pixelu

- **průnik paprsku s CSG scénou je prázdný:**
 - barva pozadí
- **průnik je neprázdný:**
 - barva tělesa (podle prvního záznamu - t_1)
- ◆ **obarvení podle typu množinové operace:**
 - složitější pravidla přenášení barev při výpočtu množinových operací
 - např. speciální barva pro odečtenou část tělesa

Konec

Další informace:

■ J. Foley, A. van Dam, S. Feiner, J. Hughes:
Computer Graphics, Principles and Practice,
712-714

➔ LAN na Malé Straně:
– **barbora\usr:\vyuka\pelikan\7**

Algoritmus plovoucího horizontu

**© 1995-2001 Josef Pelikán
KSVI MFF UK Praha**

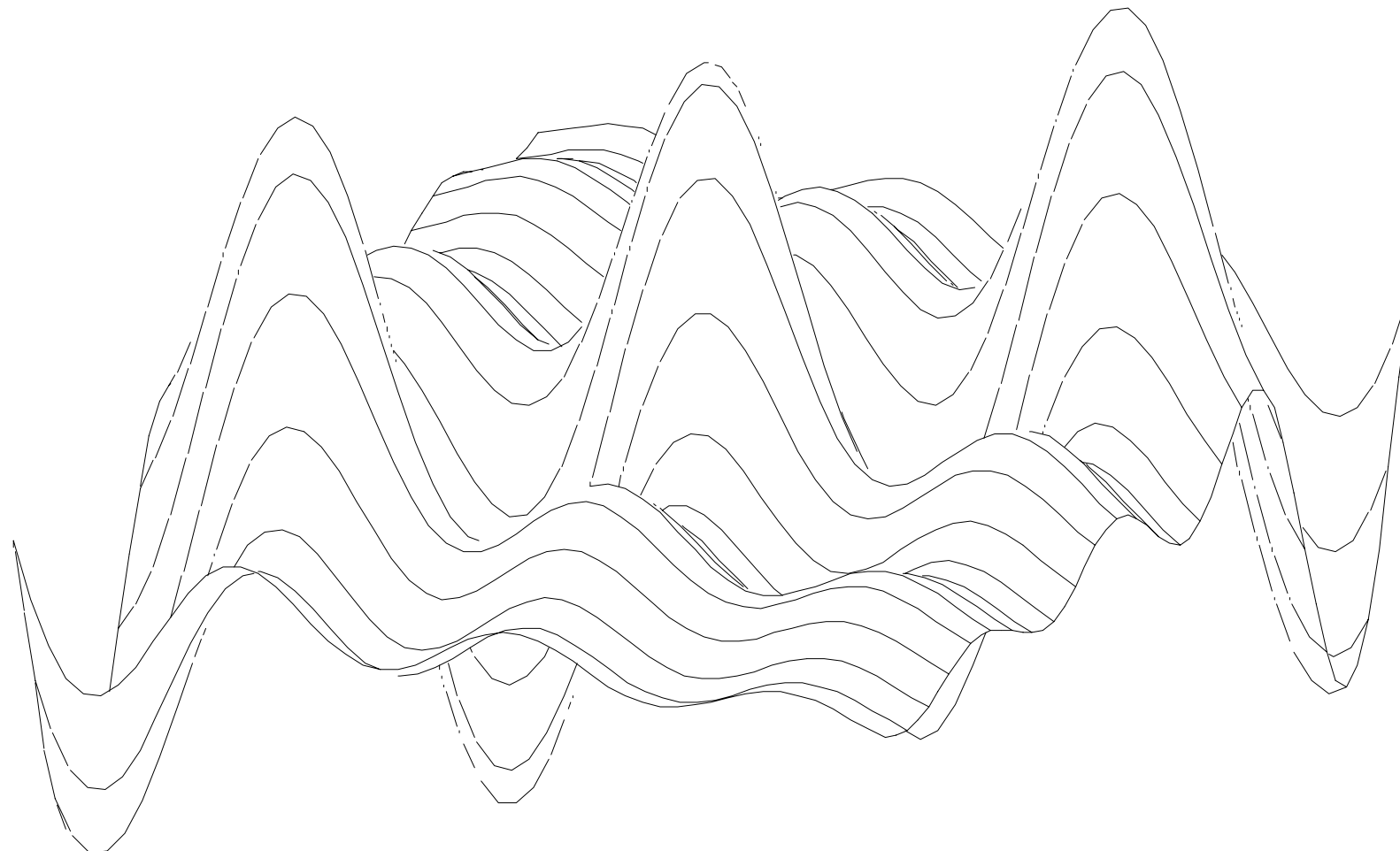
e-mail: Josef.Pelikan@mff.cuni.cz

WWW: <http://cgg.ms.mff.cuni.cz/~pepca/>

Algoritmus plovoucího horizontu

- pouze pro **graf funkce dvou proměnných**
 - plocha $z = f(x,y)$
- pro některé parametry **středové projekce** nedává správné výsledky
- generuje **čárovou kresbu**
 - umí vytvořit vektorový výstup na plotter
- rychlejší **rastrová varianta**
 - existuje i varianta vyplňující plochy

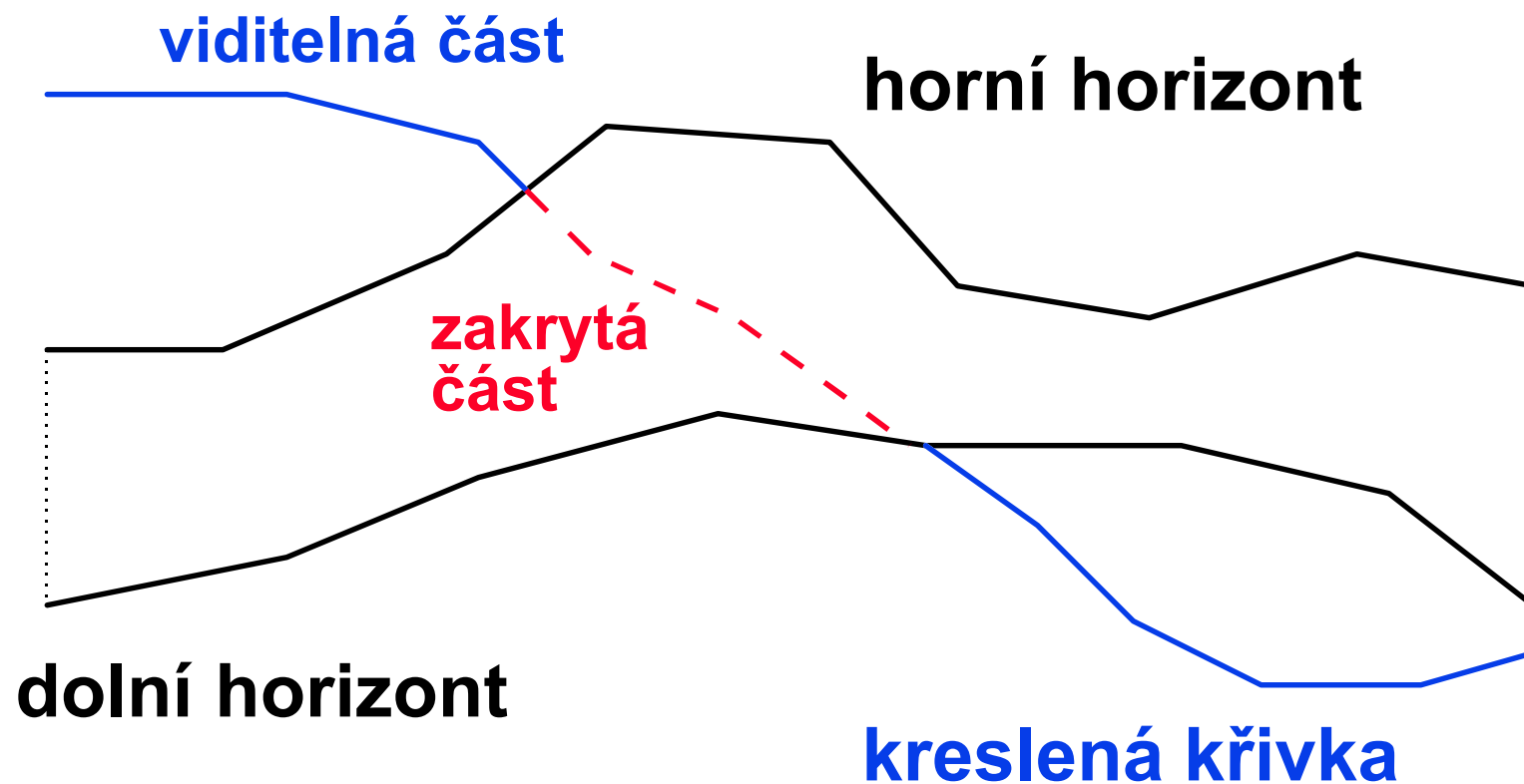
Odstranění neviditelných čar



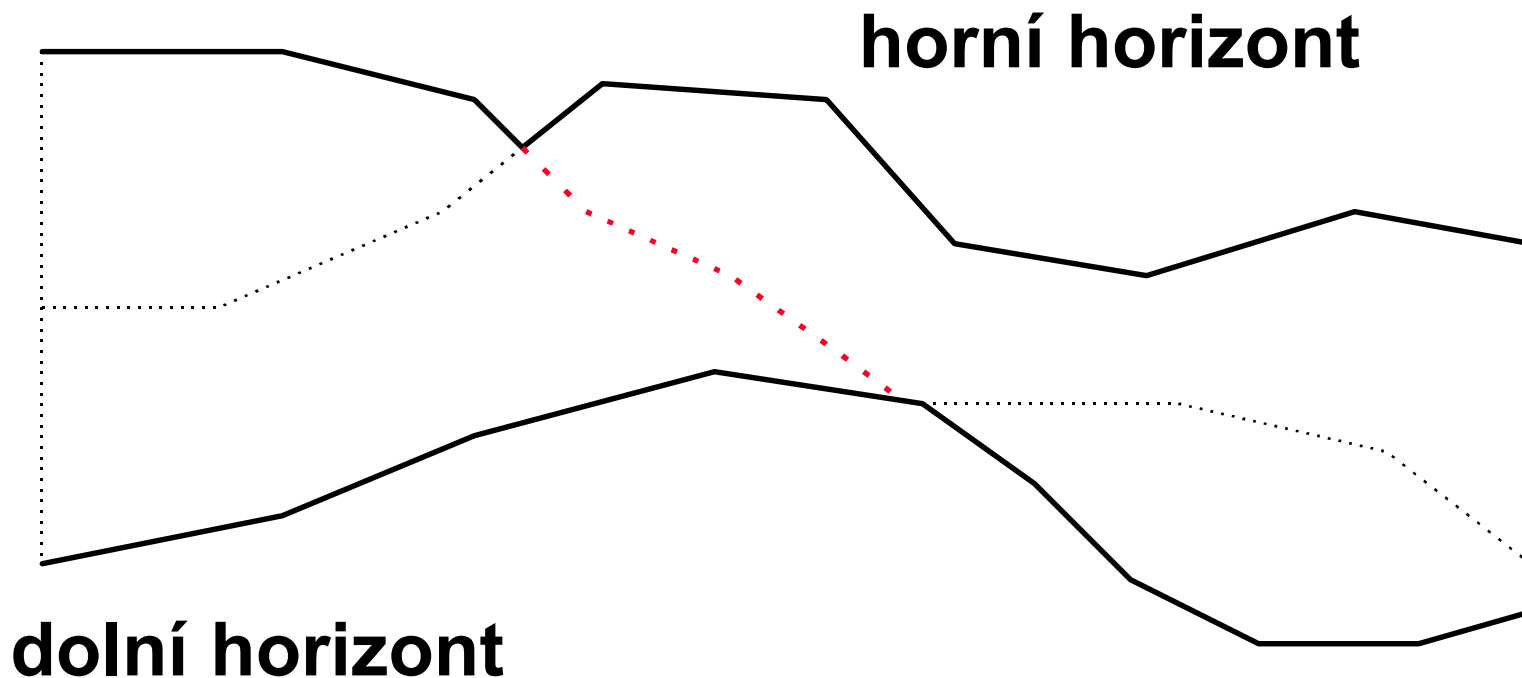
Princip práce algoritmu

- povrchové křivky dané plochy kreslím
odpředu dozadu
 - objekt může být zakryt pouze objekty nakreslenými již dříve
- udržuji si **obrys** dosud nakreslené části roviny
 - graf funkce dvou proměnných: dvě křivky (lomené čáry) - **horní a dolní horizont**
- viditelné části křivek musí ležet **mimo aktuální obrys**

Výpočet viditelnosti



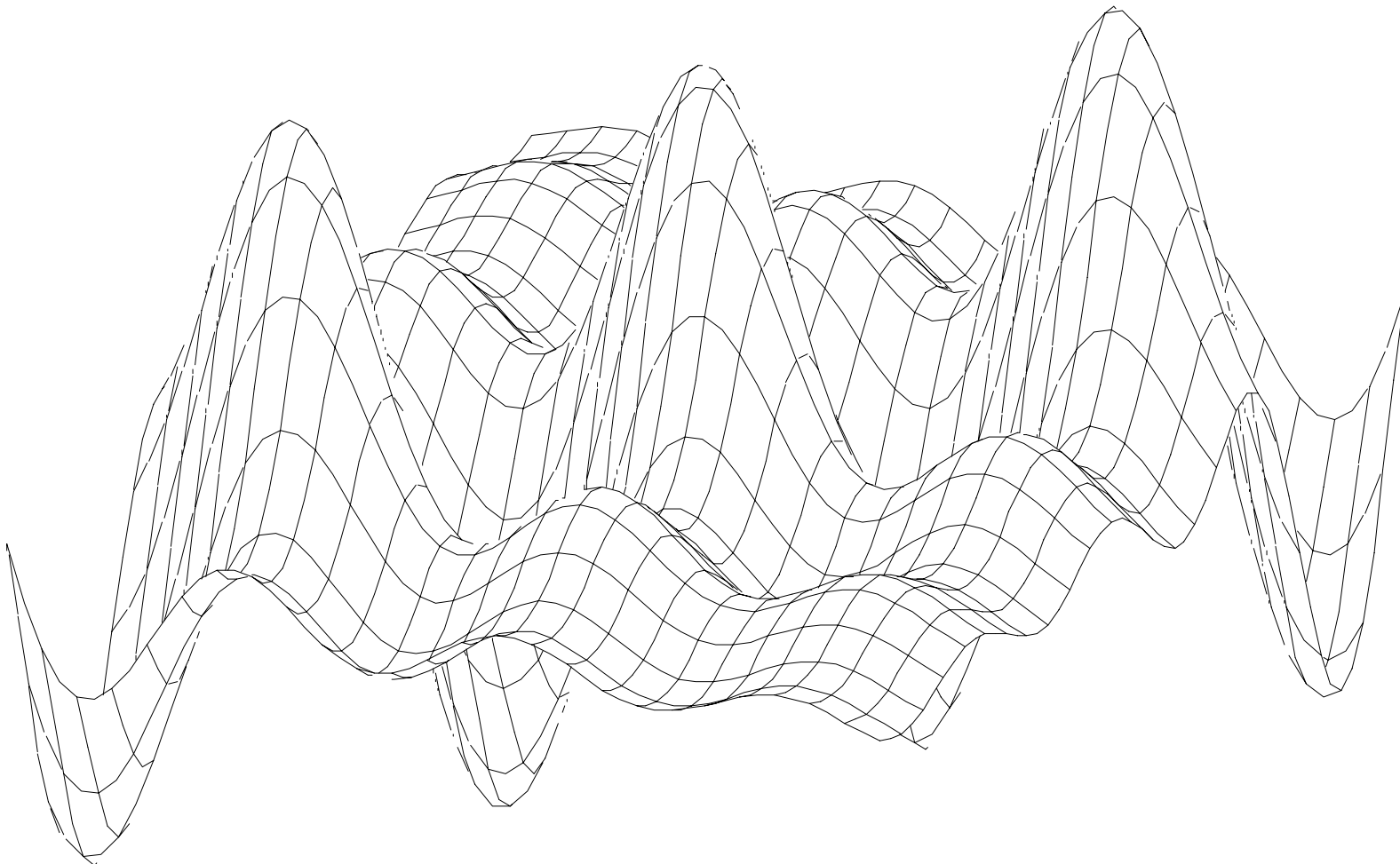
Oprava obrysových křivek



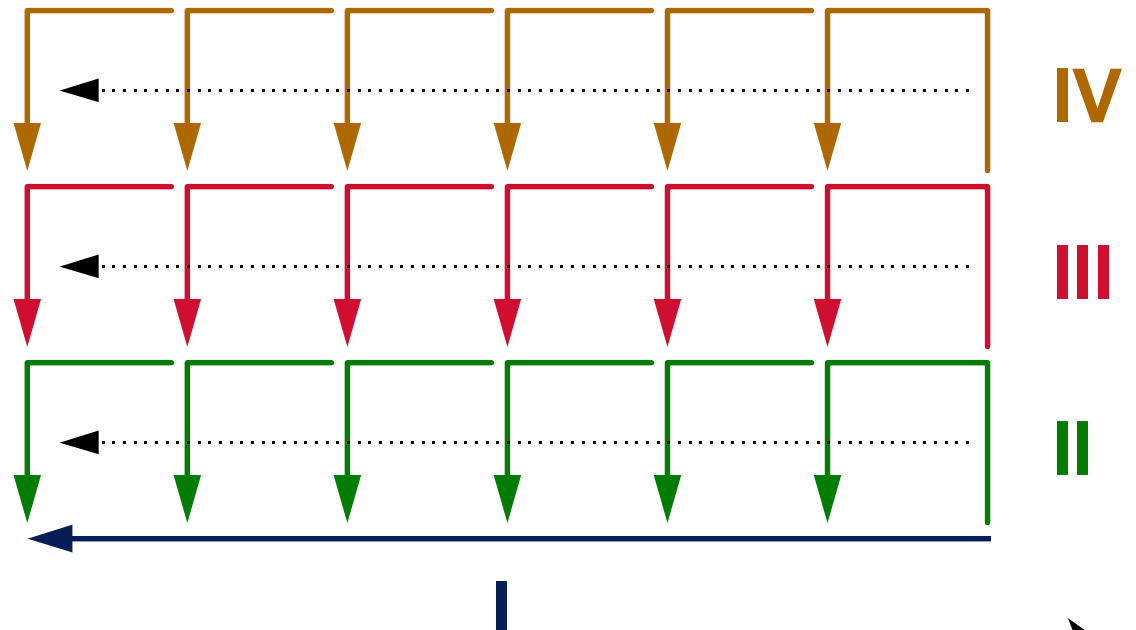
Implementace horizontu

- ① lomené čáry: $[x_1, y_1], [x_2, y_2] \dots [x_n, y_n]$, $x_i < x_{i+1}$**
 - vektorový výstup (velká přesnost)
 - nutnost počítat průsečíky lomených čar
- ② pole mezních hodnot: $y_{\min}[i], y_{\max}[i], 0 \leq i < x_{\text{res}}$**
 - rastrový výstup (omezená přesnost)
 - testování na úrovni pixelů (pro menší rozlišení je efektivnější)
 - snadnější implementace

Dvě sítě povrchových křivek



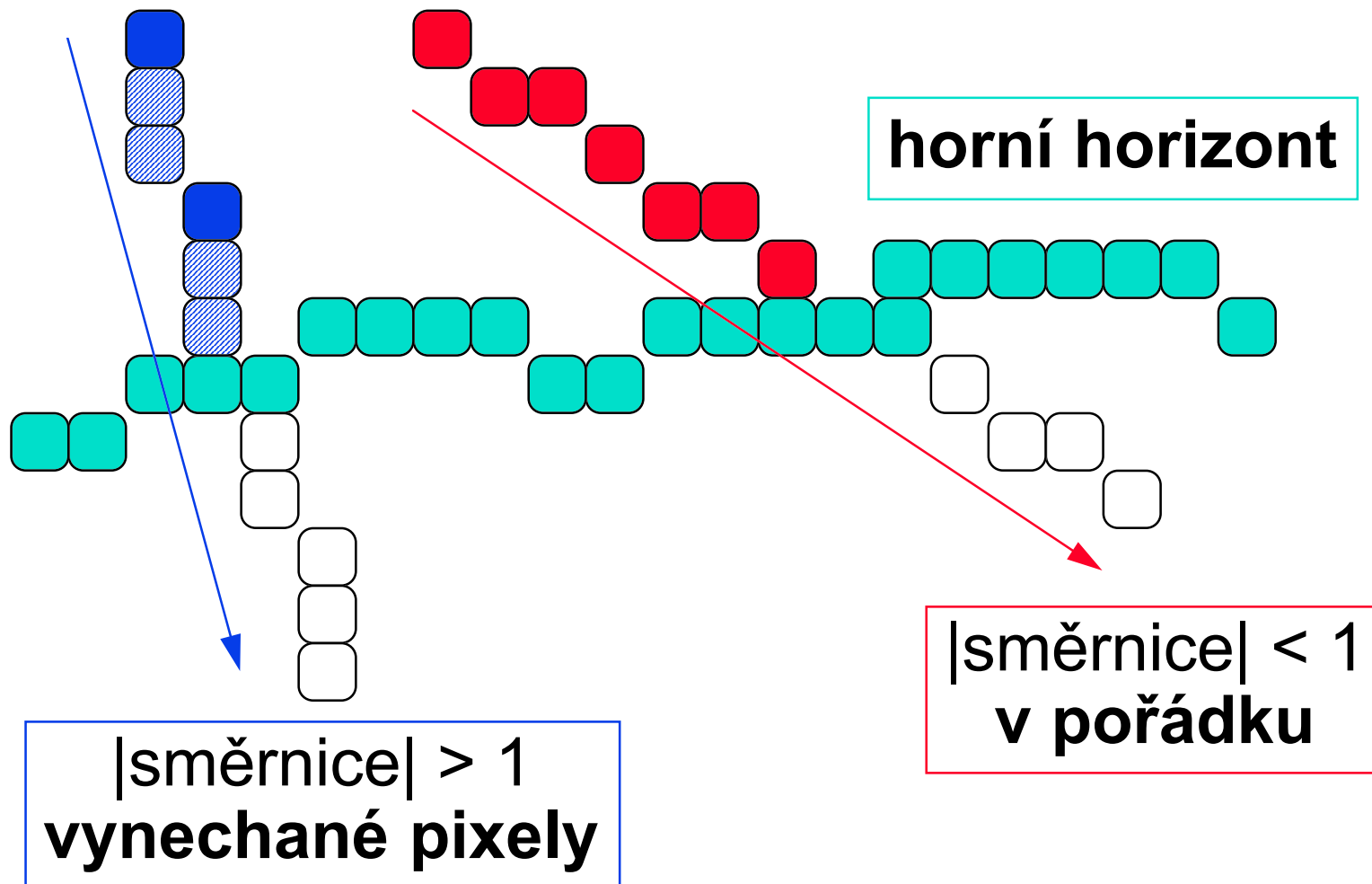
Pořadí vykreslování



přední

směr
pohledu

Úsečky s velkou směrnicí



Oprava rastrového algoritmu

→ odstředivé kreslení

- úsečku kreslím ve směru od horizontu
- obtížné úpravy pro velmi dlouhé úsečky

→ dvě fáze zpracování každé úsečky

1. kreslím úsečku (testuji každý pixel)
2. opravuji horizonty

→ dvě sady horizontů (ztotožňované po každé úsečce)

1. sadu používám k ořezávání kreslené úsečky
2. sadu aktualizuji podle kreslené úsečky

Konec

Další informace:

- J. Foley, A. van Dam, S. Feiner, J. Hughes:
Computer Graphics, Principles and Practice,
651-656
- Jiří Žára a kol.: *Počítačová grafika*, principy
a algoritmy, 307-311
- ➔ LAN na Malé Straně:
 - **barbora\usr:\vyuka\pelikan\6**

Appelův algoritmus

**© 1995-2001 Josef Pelikán
KSVI MFF UK Praha**

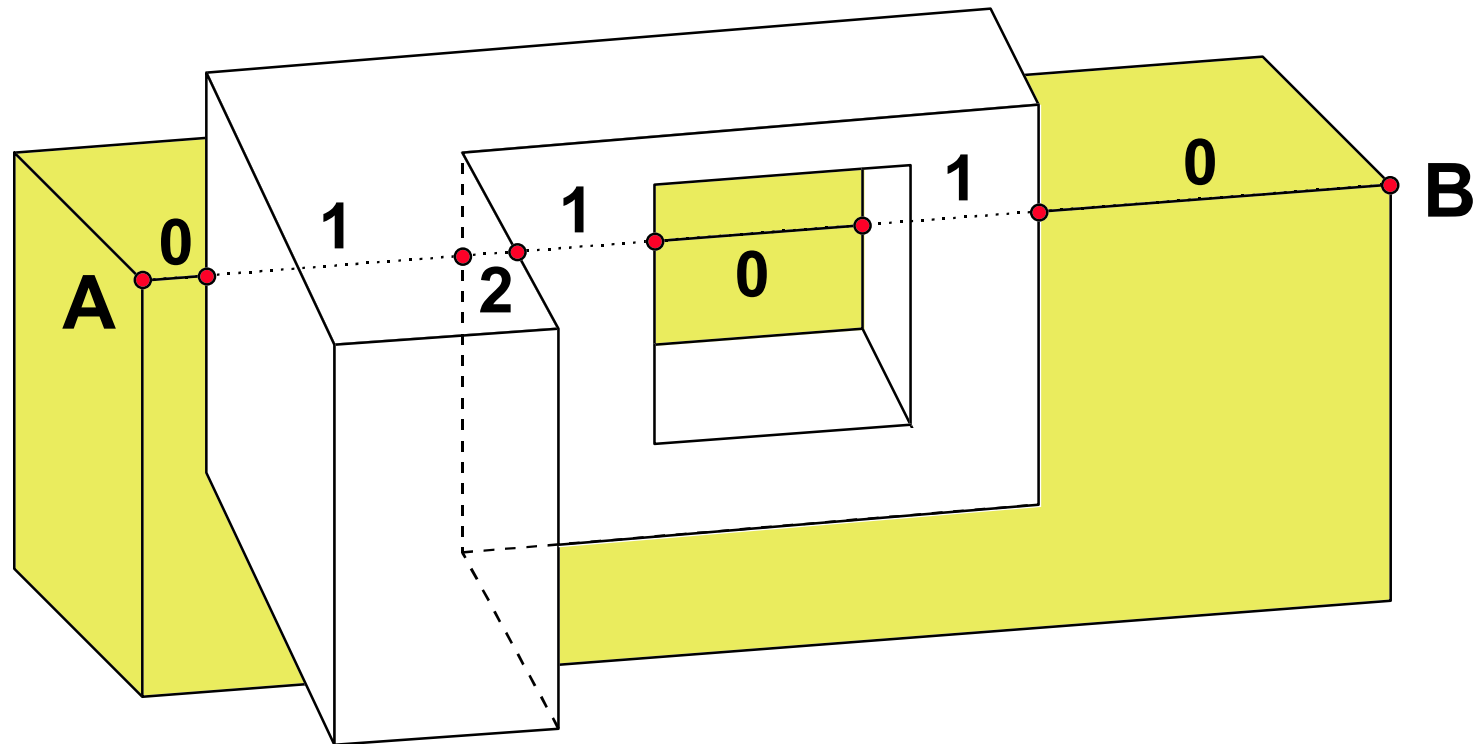
e-mail: Josef.Pelikan@mff.cuni.cz
WWW: <http://cgg.ms.mff.cuni.cz/~pepca/>

Appelův algoritmus

- ◆ **generuje vektorovou čárovou kresbu**
 - vhodný např. pro výstup na plotter
 - velká přesnost výstupu (možnost škálování)
 - nelze vyplňovat
- ◆ **scéna složená z (uzavřených) mnohostěnů**
- ➔ viditelnost mohou změnit pouze **obrysové hrany**
- ➔ **koeficient zakrytí** bodů na úsečce

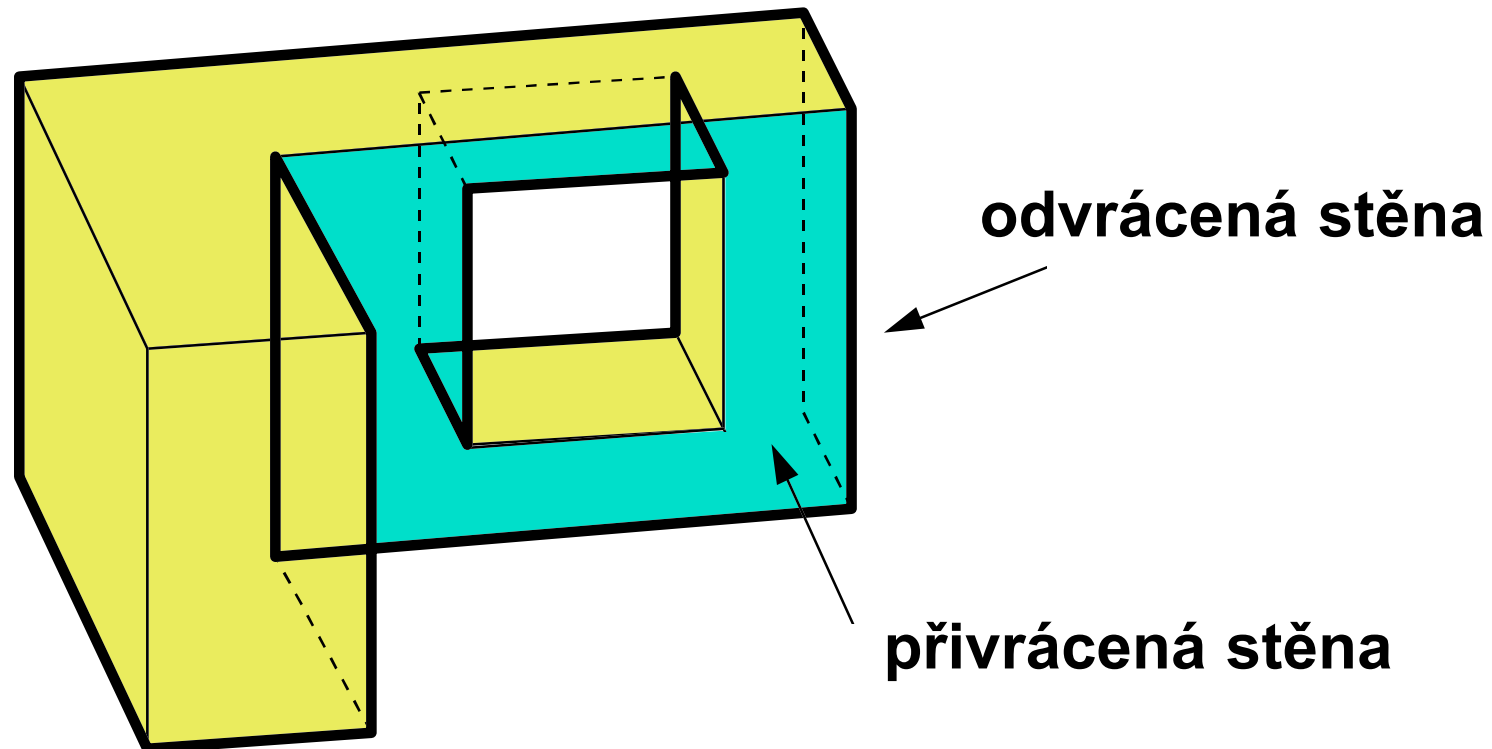
Koeficient zakrytí

Počet přivrácených stěn, které daný bod zakrývají



Obrysová hrana

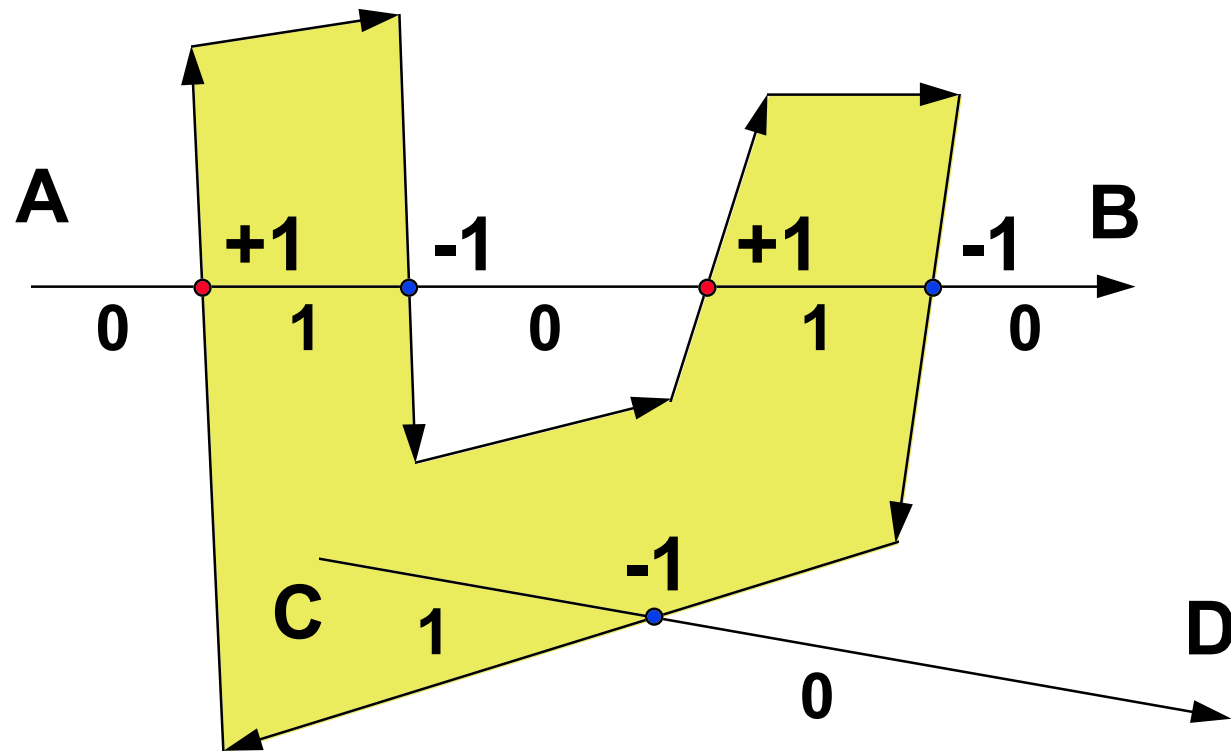
Hrana ležící mezi přivrácenou a odvrácenou stěnou
nebo hrana, která nesousedí se dvěma stěnami



Postup výpočtu

- ① výpočet koeficientu zakrytí dosud nezpracovaného vrcholu **A**
 - hrubou silou (podle definice)
- ② výpočet viditelnosti úsečky **AB**
 - v průmětu: nalezení průsečíků s obrysovými hranami ležícími před úsečkou **AB**
 - uspořádání průsečíků a určení jejich příspěvků $+1/-1$ (orientované smyčky obrysových hran)
 - výpočet koeficientů zakrytí (0: úsek hrany je vidět)

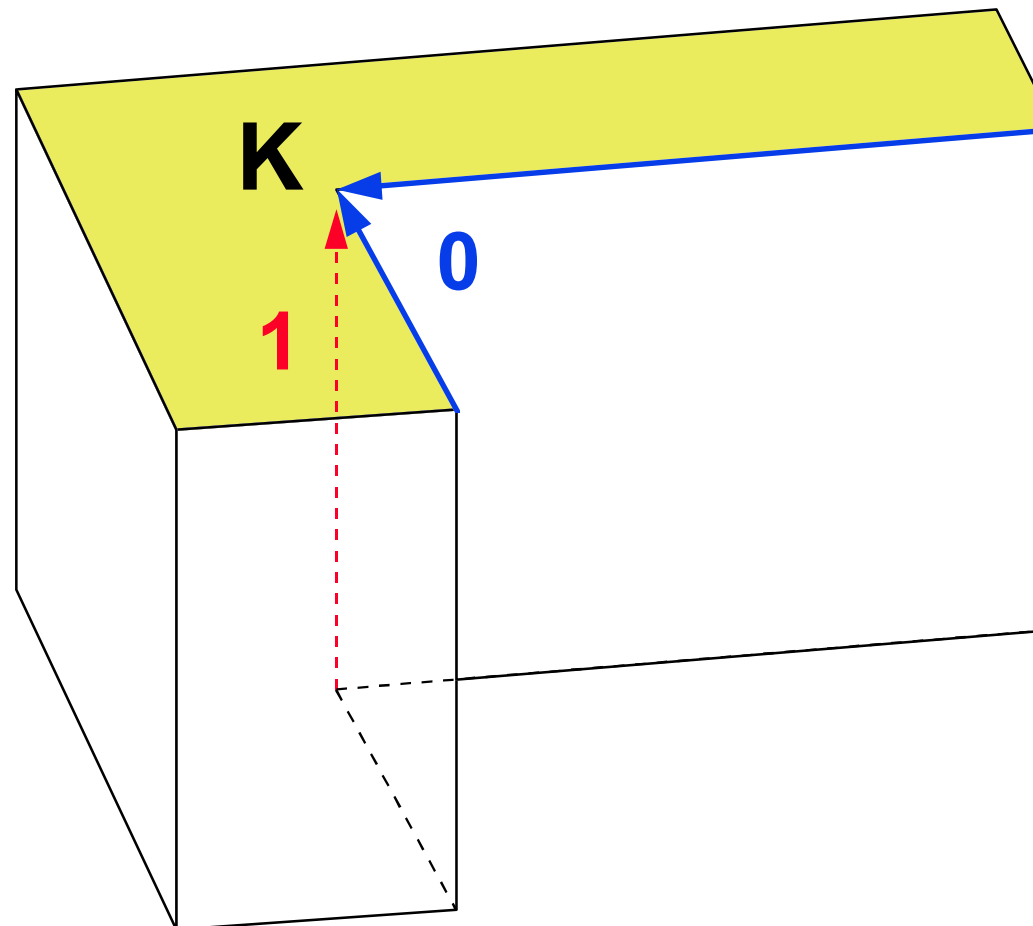
Koeficient zakrytí na úsečce



Postup výpočtu

- ③ krok ② se opakuje pro všechny **potenciálně viditelné hrany**
 - hrany sousedící alespoň s jednou přivrácenou stěnou
 - v případě potřeby se provádí krok ①
- propagace koeficientu zakrytí z **obrysových vrcholů**
 - některé úsečky mohou být zakryté přivrácenou stěnou obsahující daný vrchol
 - speciální test v obrysových vrcholech

Konflikt v obrysovém vrcholu



Konec

Další informace:

- J. Foley, A. van Dam, S. Feiner, J. Hughes:
Computer Graphics, Principles and Practice,
666-667

Malířův algoritmus

**© 1995-2001 Josef Pelikán
KSVI MFF UK Praha**

e-mail: Josef.Pelikan@mff.cuni.cz
WWW: <http://cgg.ms.mff.cuni.cz/~pepca/>

Malířův algoritmus

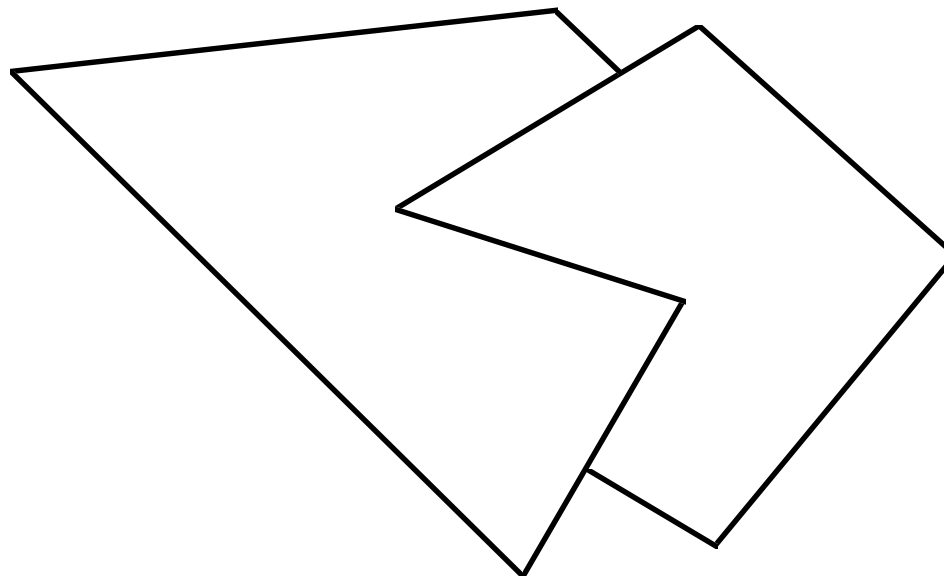
- ◆ **kreslení do bufferu**
 - video-RAM, rastrová tiskárna s bufferem
- ◆ **vyplňování ploch**
 - lze i stínovat
- ➔ **kreslení odzadu dopředu**
 - překreslování dříve nakreslených objektů
- ➔ **určení správného pořadí ploch**

Zjednodušené varianty

- ◆ **explicitní pořadí kreslení**
 - např. funkce dvou proměnných: $z = f(x,y)$
- ◆ **hloubkové třídění** (“depth-sort”)
 - **setřídění objektů** (plošek) **podle souřadnice z**
(střed, těžiště)
 - dobře funguje při velkém množství malých objektů
 - nesprávná kresba velkých ploch (velká stolní deska s malými předměty)

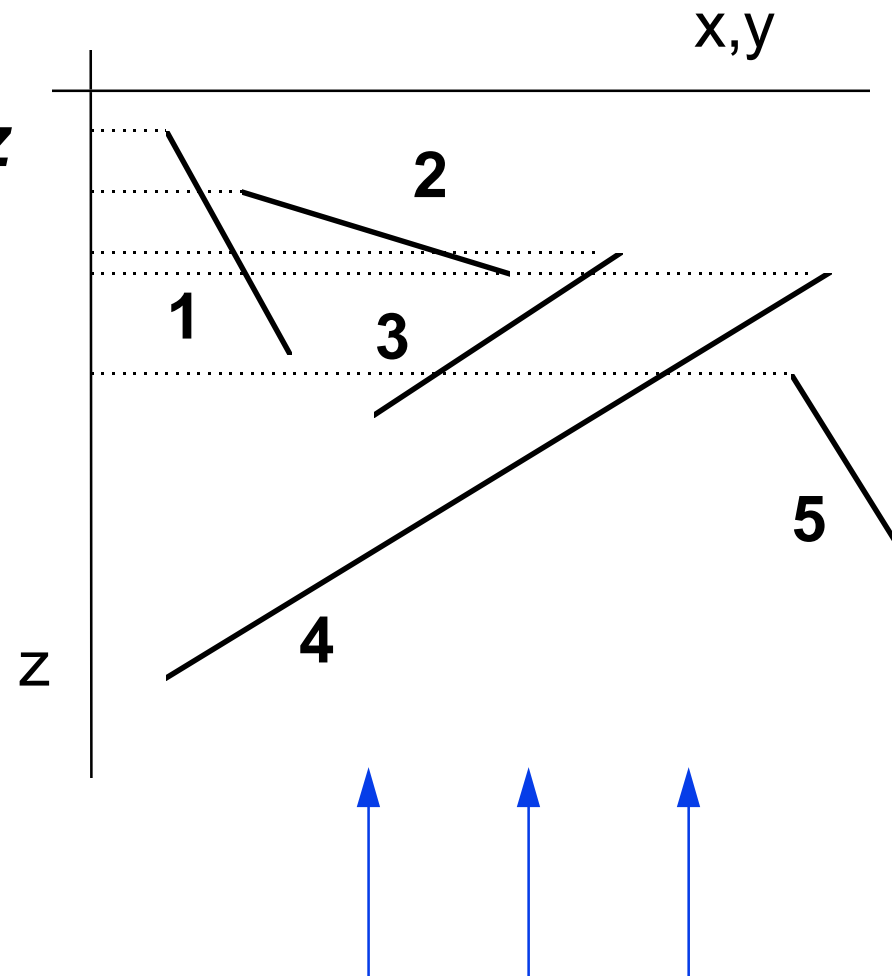
Korektní algoritmus:

- ◆ scéna je složena z **rovinných plošek**
- ◆ plošky mohou mít společné body **pouze na obvodu** (nesmějí se prosekávat)



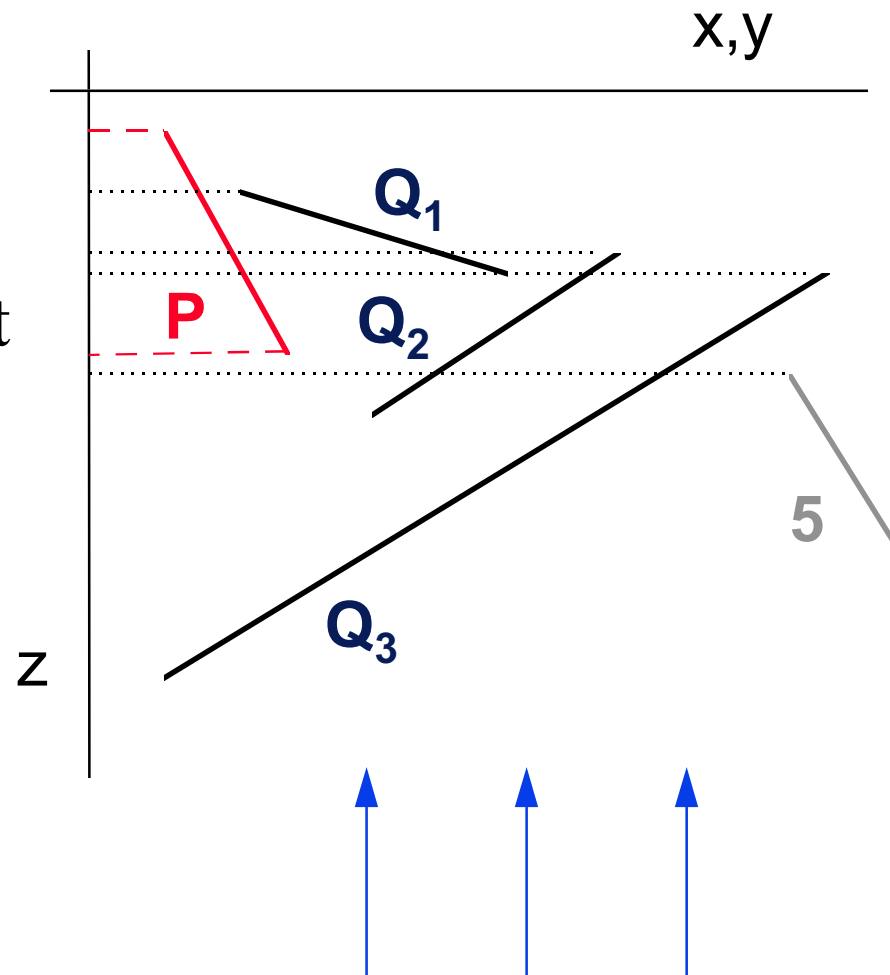
1. fáze: třídění

- ① plošky setřídíme podle
minimální souřadnice z
vzestupně - tj. od zadu
dopředu - vytvoříme tak
vstupní seznam S



2. fáze: kontrola pořadí

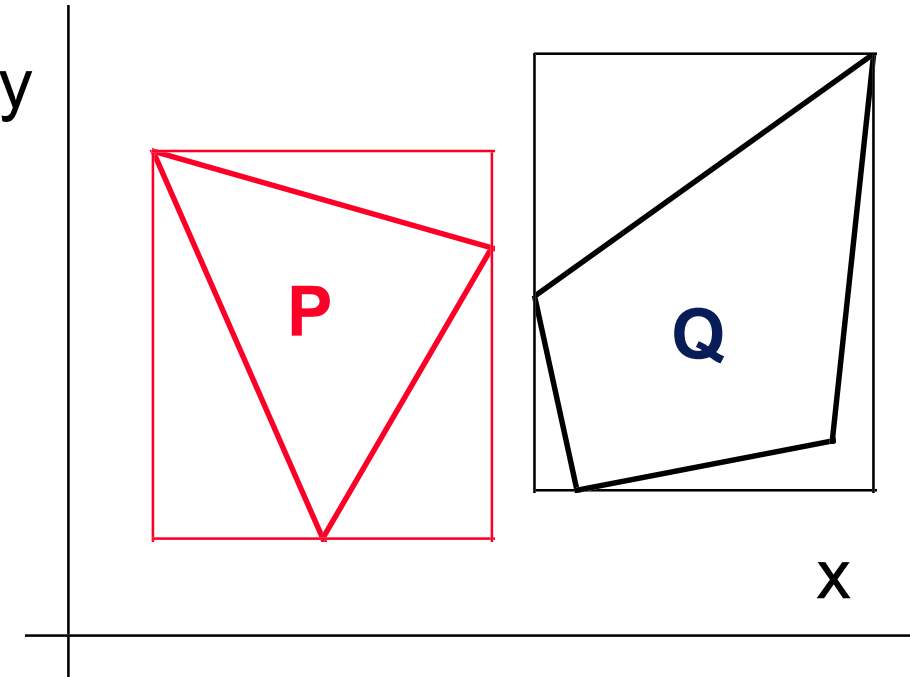
- ② ze začátku seznamu S vezmeme plošku P - **kandidáta** pro kresbu. Proti P musíme otestovat ostatní plošky, které s ní mohou kolidovat. Právě testovanou plošku označíme Q



2.A fáze: “minimax test”

- ① nejprve provedeme **nejjjednodušší test** - v průmětu porovnáme obdélníky opsané oběma ploškám. Jestliže nemají společný bod, testování Q končí.

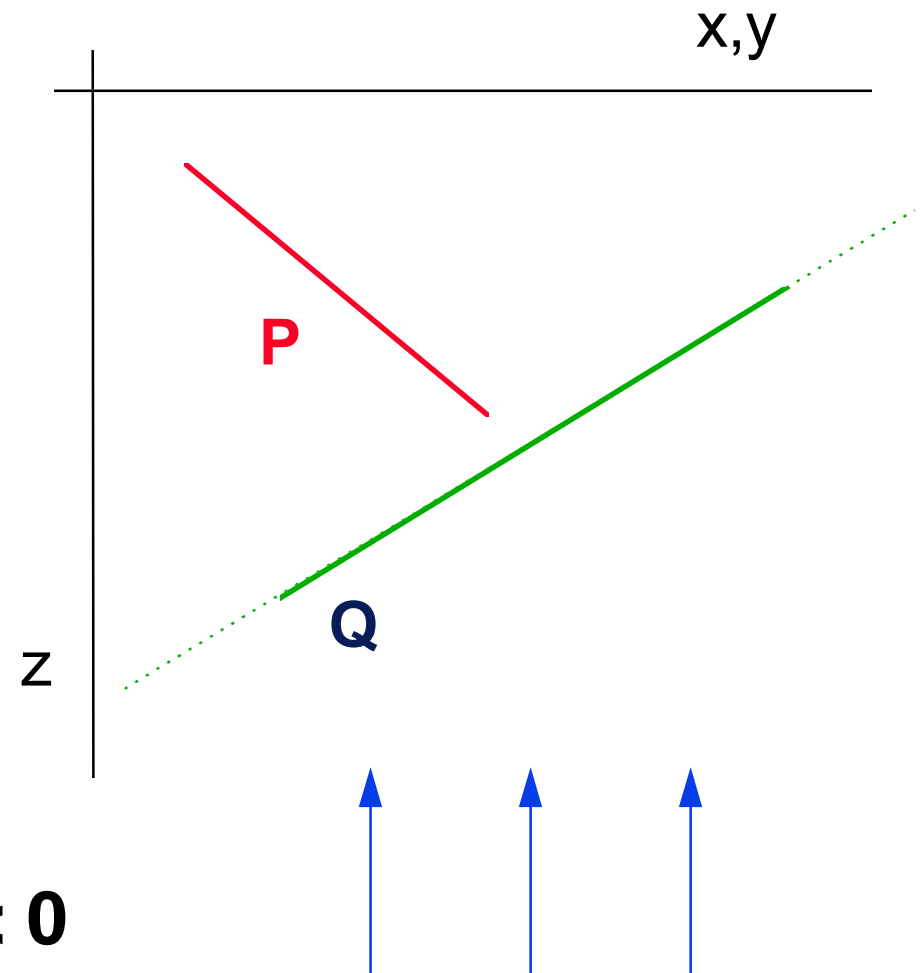
Jinak pokračujeme dalším testem P a Q



2.B fáze: P versus rovina Q

- ② dále testujeme, zda ploška P neleží celá za rovinou danou ploškou Q . V kladném případě testování Q končí.

Jinak pokračujeme dalším testem P a Q



$$a \cdot x + b \cdot y + c \cdot z + d < 0$$

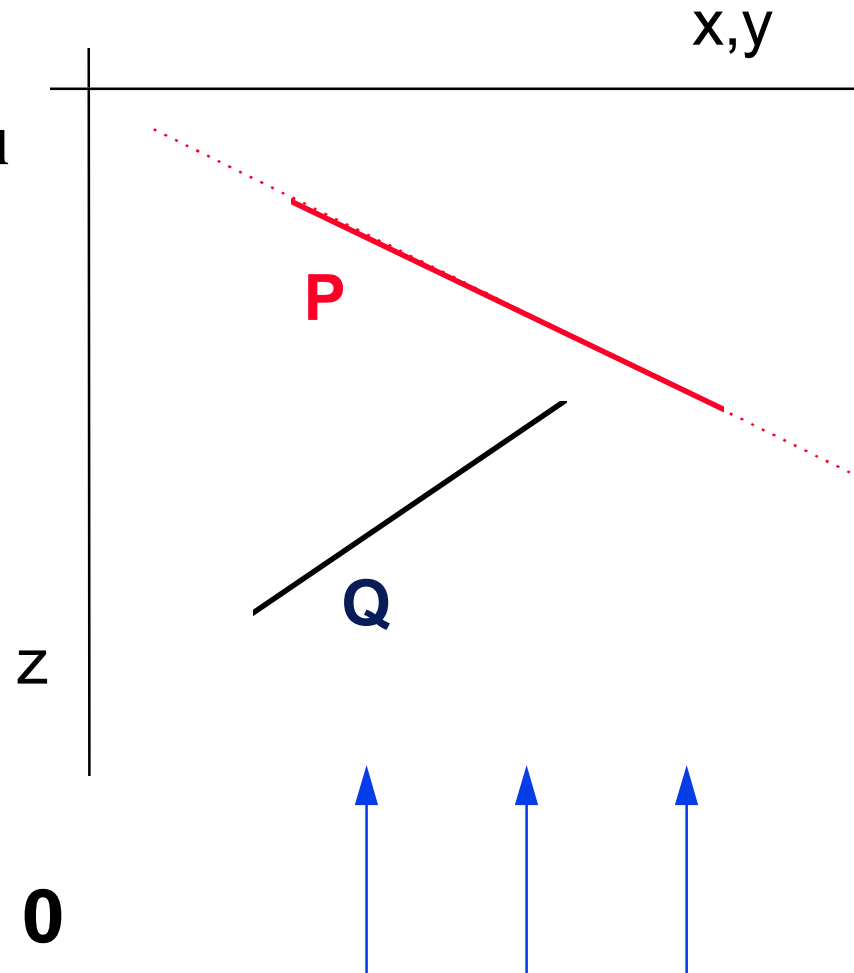
2.C fáze: Q versus rovina P

- ③ testujeme, zda ploška Q neleží celá před rovinou danou ploškou P .

V kladném případě testování Q končí.

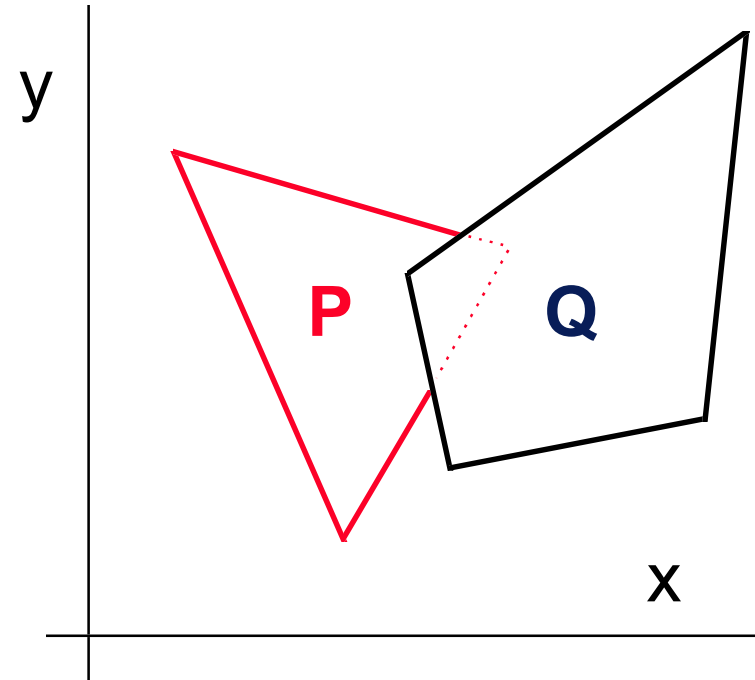
Jinak pokračujeme dalším testem P a Q

$$a \cdot x + b \cdot y + c \cdot z + d > 0$$



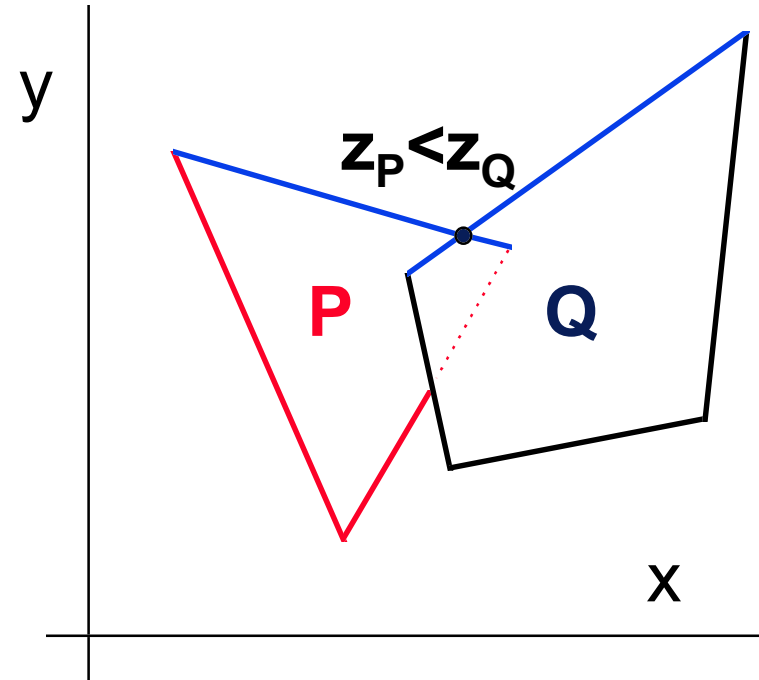
2.D fáze: úplný test v průmětu

- ④ pokud předchozí testy neuspěly, musíme provést **úplný test** plošek **P** a **Q** v **průmětu**. Je potřeba zjistit, zda není některá část **Q** překrytá ploškou **P** . V takovém případě by nešlo nakreslit **P** před **Q** !



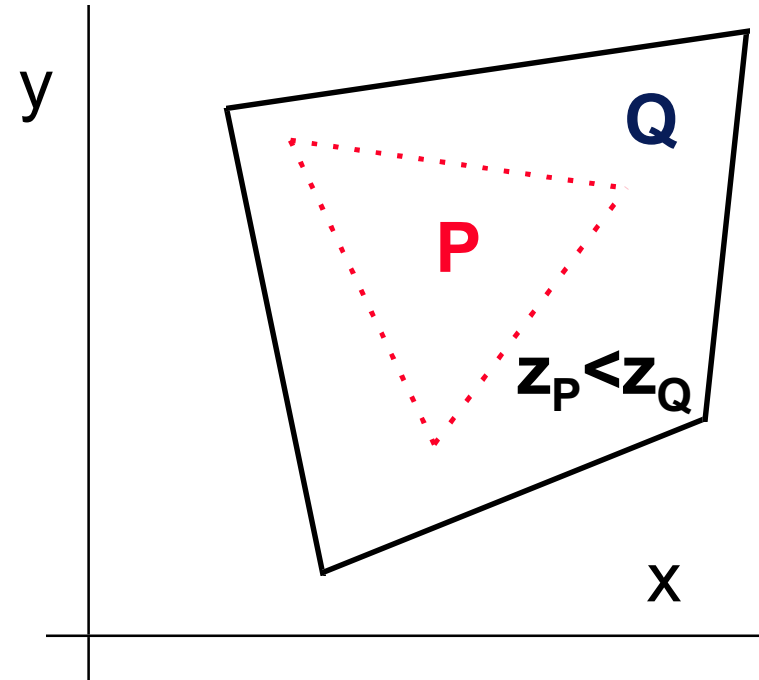
2.D fáze: úplný test v průmětu

- testujeme proti sobě všechny hrany P a Q .
Najdeme-li průsečíky, porovnáme v nich souřadnice \mathbf{z} . Je-li vždy P za Q , test Q končí.
Jinak nelze P nakreslit před Q !



2.D fáze: úplný test v průmětu

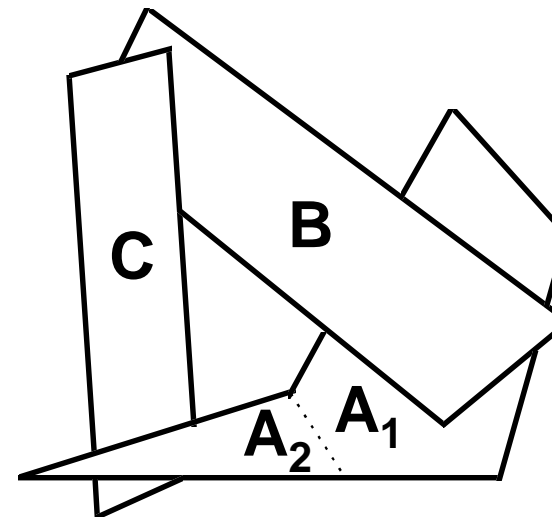
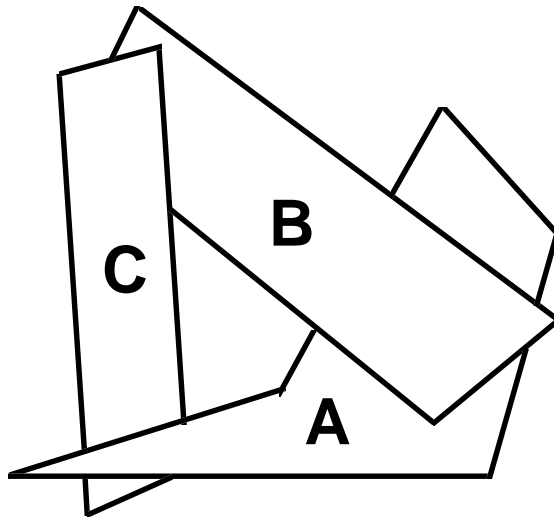
→ jestliže neexistuje průsečík hran P a Q , je třeba ještě zkontrolovat, zda neleží ploška P celá **uvnitř** Q nebo naopak.
V takovém případě opět porovnáme souřadnice z



2. fáze: změna pořadí

- jestliže nelze z nějakého důvodu nakreslit P před Q , zkusíme přesunout plošku Q na **začátek seznamu S** (ještě před P)
 - pro Q budeme opět provádět všechny testy 2. fáze (jak jsme je popsali s ploškou P)
 - testy nového kandidáta Q proti P už byly z velké části provedeny, stačí pouze doplnit obrácené testy **B** a **C**
- kvůli **zacyklení** se musí každý kandidát označit zvláštním příznakem

2. fáze: zacyklení



- jestliže je testován některý kandidát podruhé, došlo k **zacyklení**
- cyklus lze odstranit **rozštěpením** některé plošky (správné pořadí je pak A₁, B, C, A₂)

Konec

Další informace:

- J. Foley, A. van Dam, S. Feiner, J. Hughes:
Computer Graphics, Principles and Practice,
672-675
- Jiří Žára a kol.: *Počítačová grafika*, principy
a algoritmy, 302-304
- ➔ LAN na Malé Straně:
 - **barbora\usr:\vyuka\pelikan\6**

Z-buffer (paměť hloubky)

**© 1995-2001 Josef Pelikán
KSVI MFF UK Praha**

e-mail: Josef.Pelikan@mff.cuni.cz
WWW: <http://cgg.ms.mff.cuni.cz/~pepca/>

Z-buffer (paměť hloubky)

- ◆ **kreslení do bufferu**
 - video-RAM, rastrová tiskárna s bufferem
- ◆ **vyplňování ploch**
 - lze i stínovat
- ➔ **není třeba třídit**
- ➔ **správné vykreslení nestandardních situací**
 - prosekávání ploch, cyklické zákryty, ...

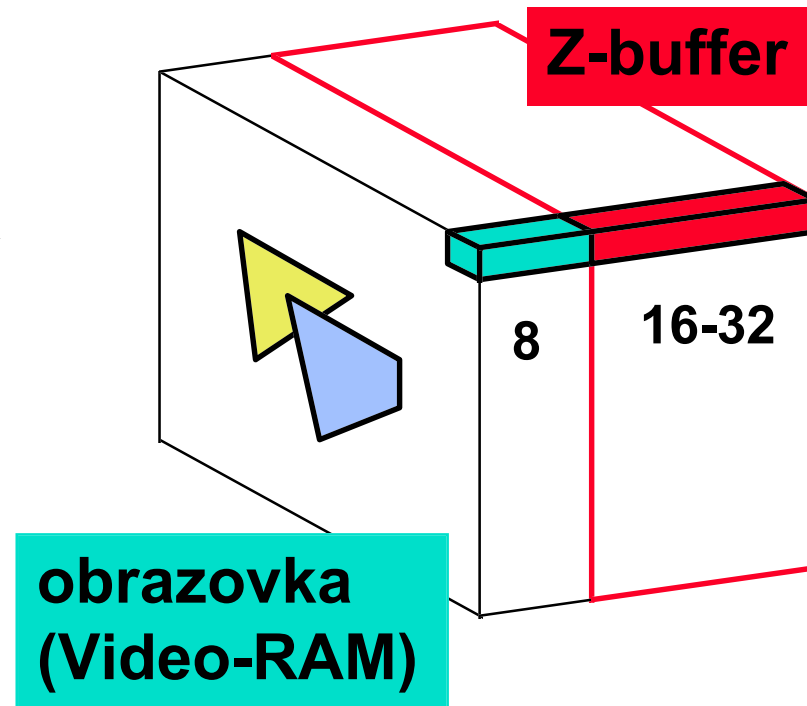
Paměť hloubky

Pro každý pixel ukládám:

- ◆ **barvu** (Video-RAM)
- ◆ **hloubku** = vzdálenost od pozorovatele (**Z-buffer**)

real: jednoduší

integer: rychlejší, úspora paměti (16-32 bitů)



Algoritmus:

① inicializace:

- Video-RAM := *barva pozadí*
- Z-buffer := “*nekonečno*”

② zápis všech objektů do Z-bufferu:

- rozložení na jednotlivé pixely (vyplňování)
- test hloubky

```
WritePixel ( x, y, z, barva : integer ) ;  
  if z < Zbuf[x,y] then begin  
    Zbuf[x,y] := z;  
    PutPixel(x,y,barva) ;  
  end;
```

Výhody Z-bufferu

- ➔ **jednoduchost výpočtů**
 - celočíselná aritmetika
 - HW implementace 500k až 20M plošek/s
- ➔ **není nutné třídění**
- ➔ **správné vykreslení nestandardních situací**
- ➔ **nemusím kreslit pouze rovinné plošky**
 - rutina pro rozklad objektu na pixely (s výpočtem hloubky **z**)

Nevýhody Z-bufferu

- ➔ **velká spotřeba paměti** (kdysi)
 - $800 \times 600 \times 16 \text{ bitů} = 937 \text{ KB}$
 - $1024 \times 768 \times 24 \text{ bitů} = 2.25 \text{ MB}$
- ➔ některé pixely ve Video-RAM se
několikanásobně překreslují

Úspora paměti hloubky

- ◆ **kreslení po pásech**
 - Z-buffer pro **vodorovný pás** obrazu
 - více průchodů scénou (pro každý pás jeden)
 - ořezávání
- ◆ **“řádkový Z-buffer”**
 - každá řádka se kreslí zvlášť
 - větší efektivita: seznam aktuálních stěn (hran, objektů)

Konec

Další informace:

- J. Foley, A. van Dam, S. Feiner, J. Hughes:
Computer Graphics, Principles and Practice,
668-672
- Jiří Žára a kol.: *Počítačová grafika*, principy
a algoritmy, 298-300
- ➔ LAN na Malé Straně:
 - **barbora\usr:\vyuka\pelikan\6**

Watkinsův algoritmus řádkového rozkladu

**© 1995-2001 Josef Pelikán
KSVI MFF UK Praha**

e-mail: Josef.Pelikan@mff.cuni.cz
WWW: <http://cgg.ms.mff.cuni.cz/~pepca/>

Watkinsův algoritmus

- ➔ **nepotřebuje výstupní buffer**
 - rastrový výstup generuje po jednotlivých řádkách
- ➔ **vyplňuje plochy**
 - lze i stínovat
- ➔ **žádné pixely se nekreslí zbytečně**
 - nepřekresluje se
 - výhodné zejména pro stínování
- ➔ **vychází z 2D algoritmu - vyplňování n-úhelníka v rovině**

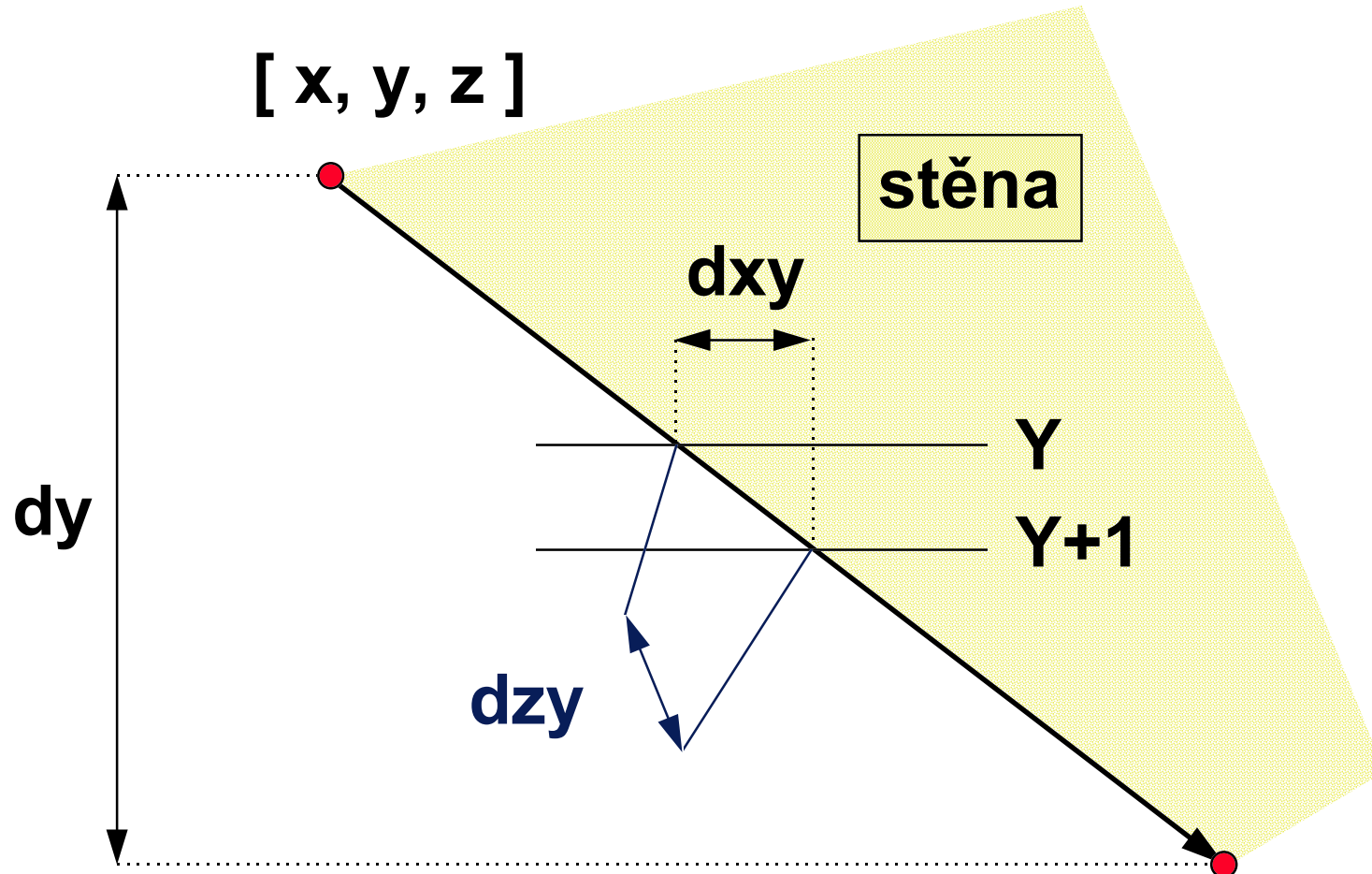
Předpoklady:

- ◆ scéna je složena z **rovinných plošek**
- ◆ každá ploška je zadána posloupností svých vrcholů (3D souřadnice, **z** je hloubka)
- ✓ **zjednodušení:** plošky smějí mít společné body pouze na obvodu (nesmějí se prosekávat)

1. předzpracování

- ze scény **odstraníme odvrácené plošky**
 - podle normálového vektoru
- přivrácené plošky rozložíme na **jednotlivé hrany**
- odstraníme **vodorovné hrany**
- pro ostatní hrany vytvoříme tzv. **pracovní záznamy**

pracovní záznam pro hranu:



Pracovní záznam pro hranu:

x : real ;	{ x horního koncového bodu, později souřadnice průsečíku s aktuální řádkou }
y : integer ;	{ y horního koncového bodu }
z : real ;	{ z horního koncového bodu }
dy : integer ;	{ výška hrany v pixelech: y2-y }
dxy : real ;	{ změna x při posunutí na následující řádku (směrnice pro x): (x2-x)/dy }
dzy : real ;	{ změna z při posunutí na následující řádku (směrnice pro z): (z2-z)/dy }
st : ^stena ;	{ odkaz na stěnu, do které patří }

Záznam pro stěnu:

dzx : **real**; { změna **z** při posunutí na následující pixel (směrnice pro **z**): dz/dx }

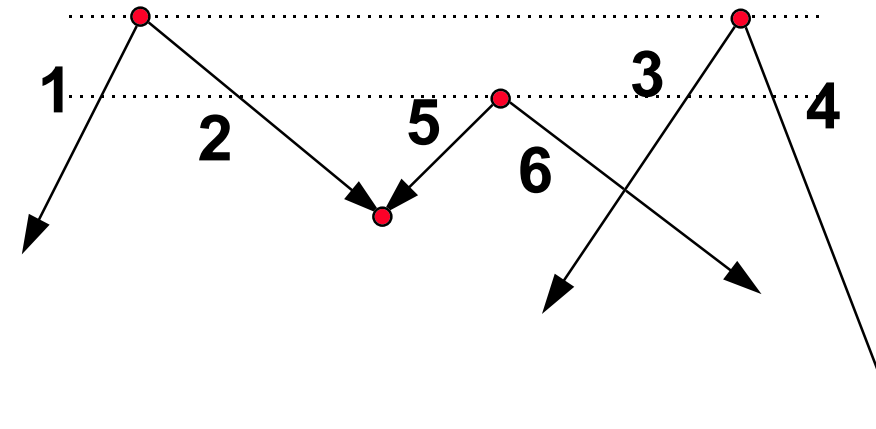
barva : **barvy**; { barva stěny }

. . . ; { další pomocné údaje pro výpočet viditelnosti }

2. inicializace seznamu S

Všechny předzpracované hrany setřídíme do vstupního seznamu S podle kritérií:

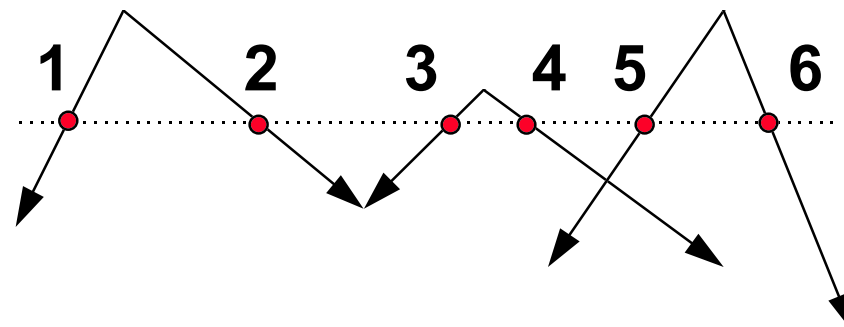
- ① vzestupně podle y
- ② vzestupně podle x
- ③ vzestupně podle dxy



3. inicializace seznamu A

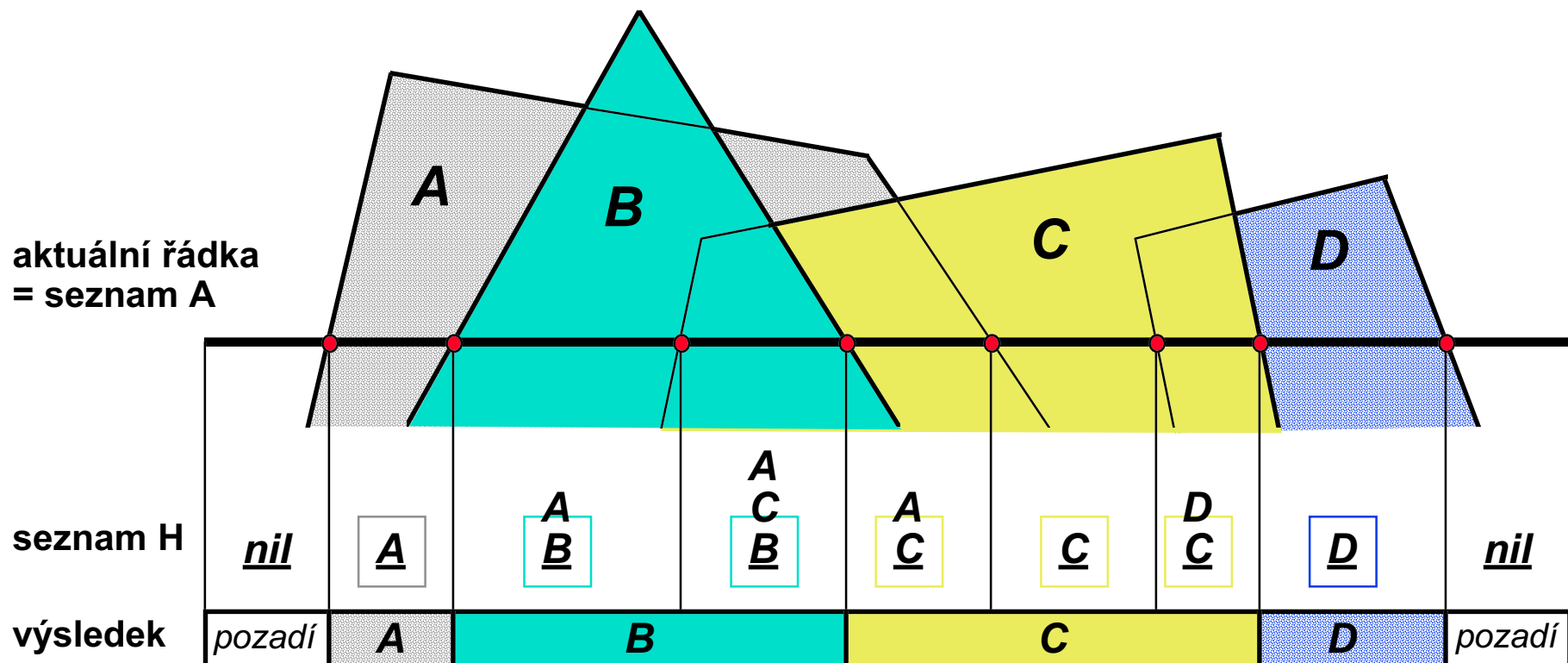
Aktuální seznam A bude obsahovat všechny hrany, které protínají aktuální řádku. Seznam budeme udržovat setříděný:

- ② vzestupně podle x
- ③ vzestupně podle dxy



Na začátku zařadíme do A počáteční úsek seznamu S - hrany se shodným (minimálním) y

4. výpočet viditelnosti na řádce



4. výpočet viditelnosti na řádce

Je třeba projít **aktuální seznam** A a určit viditelnost. K tomu se dá použít **pomocný seznam stěn** H seřazených podle hloubky:

- ① procházíme A a na stěnu každé hrany se podíváme do H
- ② je-li stěna v seznamu H , odstraníme ji a naopak

Při zatříd'ování stěn do H používáme **z , dzy**

- **první prvek** H určuje viditelnou stěnu, pokud je H prázdný, kreslíme barvu pozadí

5. přechod na další řádku

Aktualizace seznamu A :

dy := **dy** - 1;

if **dy**=0 **then** "odstraň hranu ze seznamu A "

x := **x** + **dxy**;

z := **z** + **dzy**;

- kontrola setřídění A
- zatřídění nových hran z S do A (počáteční úsek S)

6. podmínka ukončení cyklu

- ◆ jestliže je alespoň jeden ze seznamů A , S neprázdný a ještě jsme nedokreslili celou obrazovku, výpočet pokračuje krokem 4
- jinak algoritmus **končí**
 - případný nedokreslený zbytek obrazovky vybarvíme barvou pozadí

Průnik dvou ploch

- ◆ v seznamu H si vymění dvě plochy své pořadí během procházení aktuální řádky
- do A přidáme umělou **pomocnou hranu**
- v určování viditelnosti se vrátíme na jejího **předchůdce**

Konec

Další informace:

- J. Foley, A. van Dam, S. Feiner, J. Hughes:
Computer Graphics, Principles and Practice,
680-686

- ➔ LAN na Malé Straně:
 - **barbora\usr\vyuka\pelikan\6**

Warnockův algoritmus (dělení obrazovky)

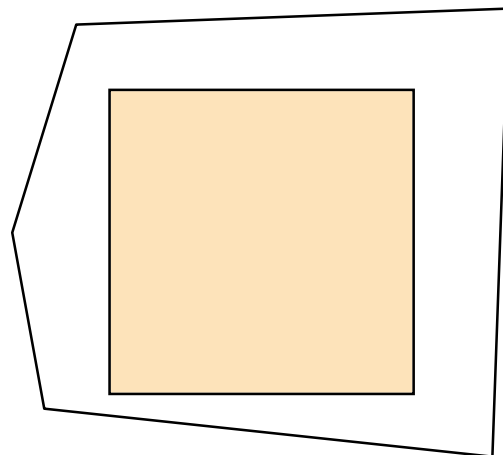
**© 1995-2001 Josef Pelikán
KSVI MFF UK Praha**

e-mail: Josef.Pelikan@mff.cuni.cz
WWW: <http://cgg.ms.mff.cuni.cz/~pepca/>

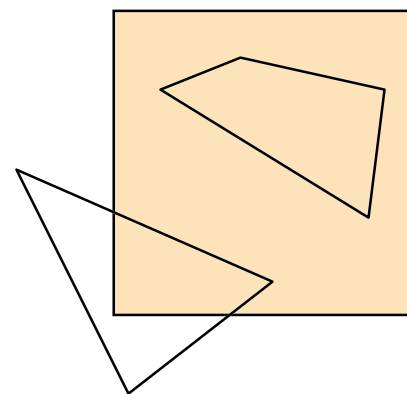
Warnockův algoritmus

- ◆ **vyplňování ploch v rastrovém prostředí**
 - každý pixel se kreslí pouze jednou
 - lze stínovat
- ◆ **scéna složená z rovinných stěn**
 - plošky se mohou prosekávat
- ➔ **metoda “rozděl a panuj”**
- ➔ **jednoduché případy** se kreslí přímo
 - složitější situace se řeší rekurzivním dělením

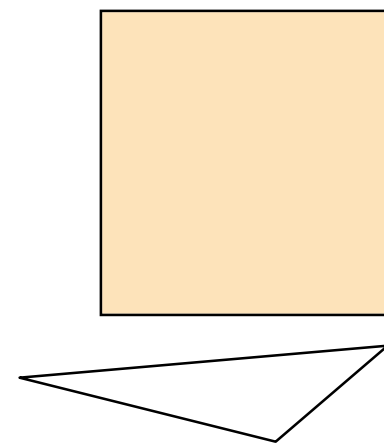
Poloha stěny vzhledem k oknu



**1. stěna
pokrývá
okno**



**2. stěna
zasahuje
do okna**



**3. stěna
nezasahuje
do okna**

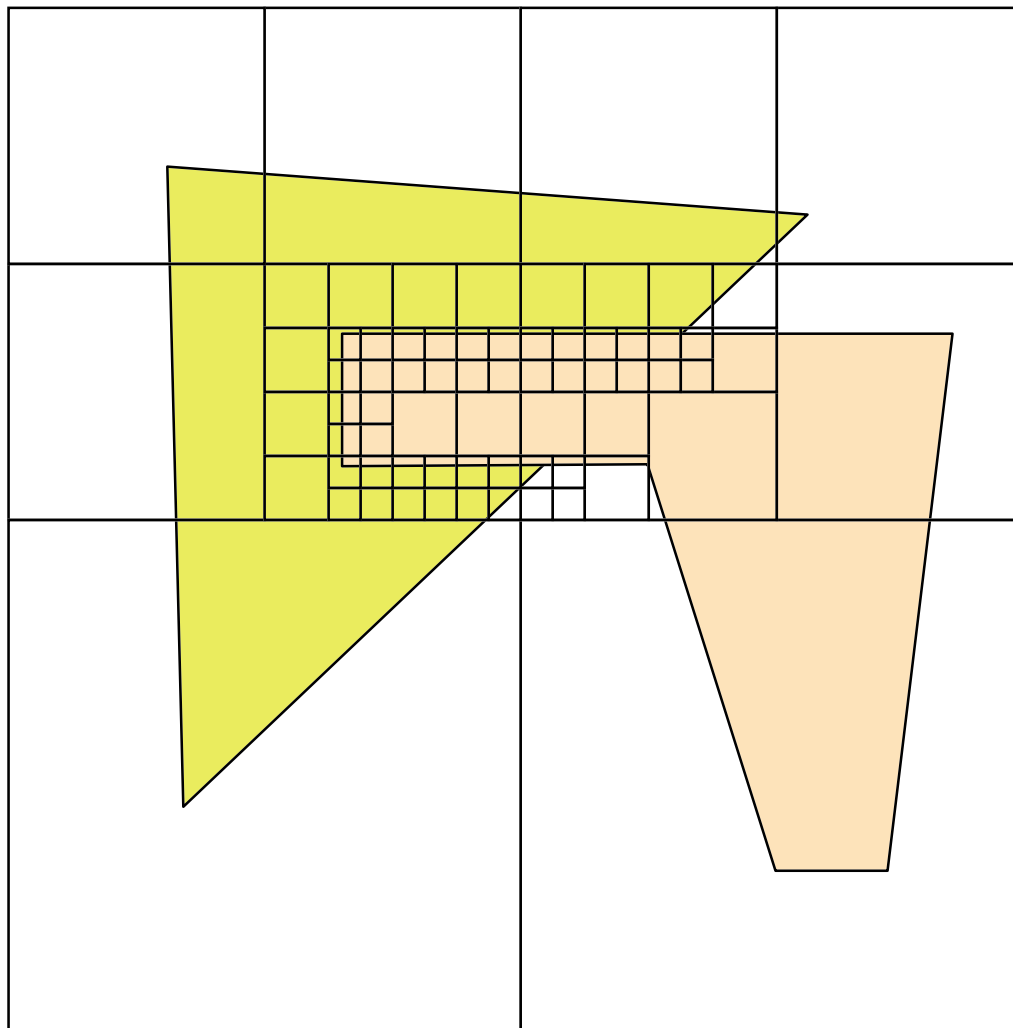
Výpočet viditelnosti v okně

- ① žádná stěna **nezasahuje ani nepokrývá** okno
 - okno vyplníme barvou pozadí
- ② jediná stěna **pokrývá** okno, ostatní do něj nezasahují
 - okno vyplníme barvou stěny
- ③ pouze jedna stěna **zasahuje** do okna
 - okno vyplníme barvou pozadí a pak nakreslíme stěnu (ořezanou vzhledem k oknu)

Výpočet viditelnosti v okně

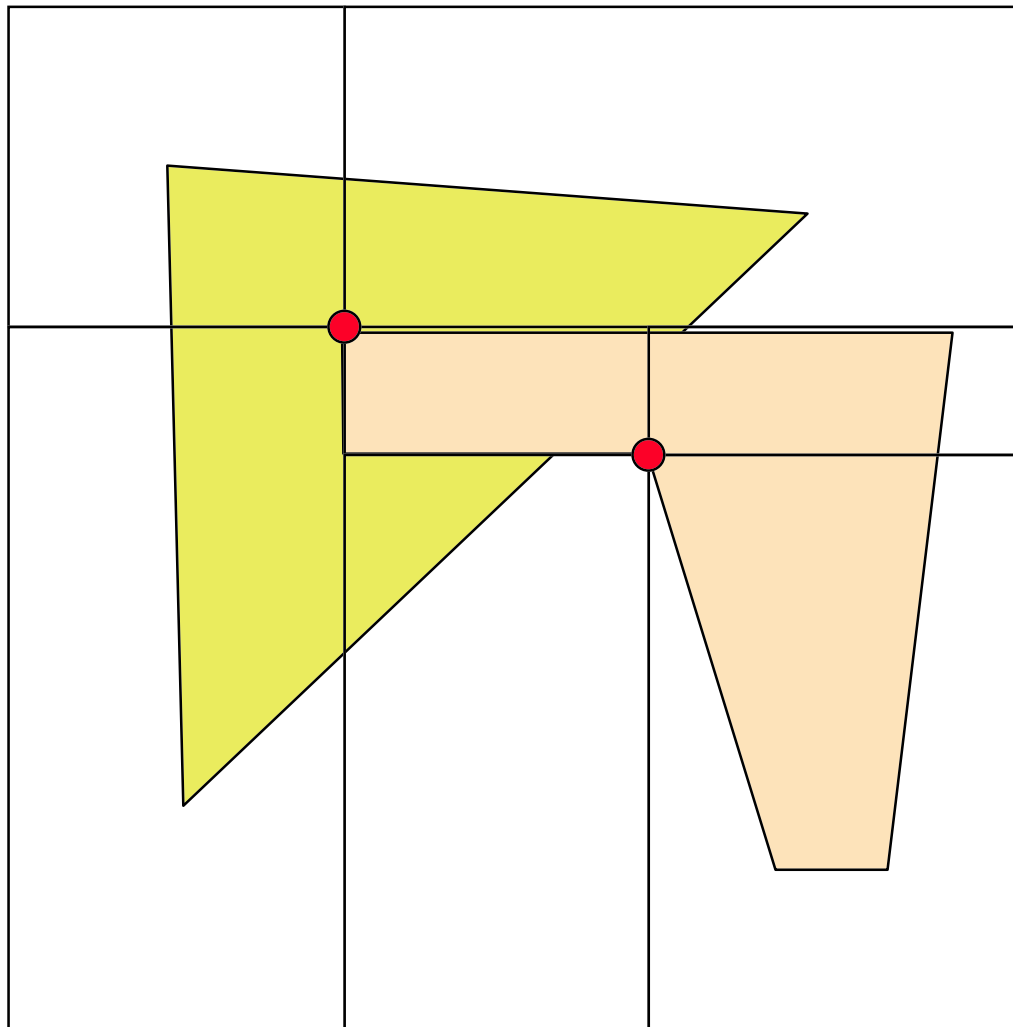
- ④ několik stěn **zasahuje** nebo **pokrývá** okno,
jedna z pokrývajících leží před všemi ostatními
 - testy se provádějí v rozích okna
 - okno vyplníme barvou přední stěny
 - ⑤ nenastává žádný z předchozích případů
 - okno **rozdělíme na čtyři** (shodné) **části** a v každé z nich aplikujeme stejný algoritmus rekurzivně
- v případě potřeby dělíme až na úroveň pixelů
 - pixel nakreslíme barvou nejbližší stěny

Rekurzivní dělení okna



**pravidelné
dělení**

Rekurzivní dělení okna



**dělení
podle
vrcholů**

Implementace

- testování **zákrytu stěn** v okně:
 - každou stěnu proložíme rovinou
 - porovnáváme hloubky (souřadnice **z**) v rozích okna
 - pokrývající stěna leží přede všemi ostatními, když její rovina je nejblíž ve **všech čtyřech rozích okna**
- při dělení okna počítáme **hloubky v nových vrcholech** pouze pomocí starých hodnot
 - dělení na shodné části: aritmetický průměr
 - obecné dělení: trojčlenka

Implementace

→ **seznamy incidentních stěn** pro každé okno:

- stěny pokrývající okno
- stěny zasahující do okna

→ **aktualizace seznamů** při dělení okna:

- pokrývající stěny se dědí beze změny
- zasahující stěny se testují proti novému oknu
(mohou vypadnout ze hry, zůstat zasahujícími nebo se stát pokrývajícími)

Konec

Další informace:

- J. Foley, A. van Dam, S. Feiner, J. Hughes:
Computer Graphics, Principles and Practice,
686-689
- Jiří Žára a kol.: *Počítačová grafika*, principy
a algoritmy, 297-298